



MINISTERO DELLE INFRASTRUTTURE E
DEI TRASPORTI



E.N.A.C.
ENTE NAZIONALE per L'AVIAZIONE
CIVILE

Committente Principale



AEROPORTO INTERNAZIONALE DI FIRENZE - "AMERIGO VESPUCCI"

Opera

PROJECT REVIEW - PIANO DI SVILUPPO AEROPORTUALE AL 2035

Titolo Documento Completo

OPERE IDRAULICHE ESTERNE AL SEDIME
Documentazione Generale - Relazione Idraulica e allegati

Livello di Progetto

SCHEDE DI APPROFONDIMENTO PROGETTUALE A LIVELLO MINIMO DI PROGETTO DI
FATTIBILITÀ TECNICA ED ECONOMICA

LIV	REV	DATA EMISSIONE	SCALA	CODICE FILE COMPLETO
PSA	02	MARZO 2024	-	FLR-MPL-PSA-OIE1-004-IL-RT_Rel Idr
				TITOLO RIDOTTO
				Rel Idr

02	03/2024	EMISSIONE PER PROCEDURA VIA-VAS	S. MONNI	C. NALDI	L. TENERANI
01	03/2023	EMISSIONE PER APPROVAZIONE IN LINEA TECNICA DI ENAC	S. MONNI	C. NALDI	L. TENERANI
00	10/2022	EMISSIONE PER DIBATTITO PUBBLICO	S. MONNI	C. NALDI	L. TENERANI
REV	DATA	DESCRIZIONE	REDATTO	VERIFICATO	APPROVATO

COMMITTENTE PRINCIPALE	GRUPPO DI PROGETTAZIONE	SUPPORTI SPECIALISTICI
 ACCOUNTABLE MANAGER Dott. Vittorio Fanti	 DIRETTORE TECNICO Ing. Lorenzo Tenerani Ordine degli Ingegneri di Massa Carrara n°631	PROGETTAZIONE SPECIALISTICA Ing. Claudia Naldi Ordine degli Ingegneri di Firenze n. 7122
POST HOLDER PROGETTAZIONE Ing. Lorenzo Tenerani	RESPONSABILE INTEGRAZIONE PRESTAZIONI SPECIALISTICHE Ing. Claudia Naldi Ordine degli Ingegneri di Firenze n. 7122	SUPPORTO SPECIALISTICO HYDEA S.p.A. Via del Rosso Fiorentino, 2g 50142 Firenze Italia
POST HOLDER MANUTENZIONE Ing. Nicola D'ippolito		PROGETTISTA SPECIALISTICO Dott. Ing. Stefano Monni
POST HOLDER AREA DI MOVIMENTO Geom. Luca Ermini		

È SEVERAMENTE VIETATA LA RIPRODUZIONE E/O LA CESSIONE A TERZI SENZA AUTORIZZAZIONE DELLA COMMITTENTE

RELAZIONE IDRAULICA

INDICE

1	PREMESSA.....	3
2	INQUADRAMENTO TERRITORIALE.....	7
	2.1.1 <i>Pericolosità idraulica - Piano Strutturale del Comune di Firenze</i>	7
	2.1.2 <i>Pericolosità idraulica – Piano strutturale del Comune di Sesto Fiorentino</i>	9
	2.1.3 <i>Piano di Gestione del Rischio Alluvioni 2021-2027 (ottobre 2022)</i>	11
3	DESCRIZIONE DEL RETICOLO IDRAULICO ED ANALISI IDROLOGICA	13
	3.1 RETICOLO ACQUE ALTE E MODALITÀ DI DETERMINAZIONE DELLE PORTATE DI PROGETTO.....	20
	3.2 RETICOLO ACQUE BASSE E MODALITÀ DI DETERMINAZIONE DELLE PORTATE DI PROGETTO	21
4	CONDIZIONI AL CONTORNO.....	23
	4.1 ACQUE ALTE	23
	4.2 ACQUE BASSE.....	24
5	MODELLAZIONI EFFETTUATE.....	27
	5.1 CANALI DI CINTA E FOSSO REALE (COMPENSORIO ACQUE ALTE).....	27
	5.2 FOSSO REALE (COMPENSORIO ACQUE ALTE).....	31
	5.3 RETICOLO ACQUE BASSE INTERFERENTI CON L'AREA DI PROGETTO (COMPENSORIO ACQUE BASSE)	33
6	MODIFICA AL TRACCIATO E ADEGUAMENTO IDRAULICO DEL FOSSO REALE.....	38
	6.1 STATO ATTUALE	38
	6.2 STATO DI PROGETTO – NUOVA INALVEAZIONE DEL FOSSO REALE CON DERIVAZIONE DELLE PORTATE DI MAGRA.....	40
	6.2.1 <i>La sezione fluviale</i>	45
	6.2.2 <i>Area di laminazione A</i>	46
	6.2.3 <i>Area di laminazione B</i>	48
	6.2.4 <i>Nodo di derivazione</i>	49
	6.2.5 <i>Locale tecnico</i>	50
	6.2.6 <i>Canale di derivazione dal Fosso Reale</i>	51
	6.2.7 <i>Il tratto BC di nuova inalveazione</i>	52
	6.2.8 <i>Risagomatura tratto esistente Fosso Reale</i>	53
	6.2.9 <i>Attraversamenti stradali</i>	54
	6.2.10 <i>Attraversamenti dell'autostrada A11</i>	54

6.2.11 *Considerazioni sul deflusso di piena e della cassa di espansione del Fosso Reale.*

58

7	ADEGUAMENTO DEL SISTEMA DEI CANALI DI BONIFICA	68
7.1	NUOVO CANALE DI GRONDA.....	68
7.2	DRENAGGIO AREA BACINO “EX GAVINE”	69
7.3	NUOVO LUPAIA GIUNCHI	69
7.4	PISTE DI MANUTENZIONE E RAMPE DI ACCESSO.....	70
7.5	FASCE DI RISPETTO	70
8	INTERVENTI INDIRETTAMENTE CONNESSI AL RETICOLO IDROGRAFICO	72
8.1	NUOVO COLLETTORE FOGNARIO POLO UNIFI	72
8.2	COLLETTORE DI SCARICO CASSA ORIENTALE	75
Allegato 1: Piano di gestione delle Paratoie di regolazione.....		77
Allegato 2: Fascicolo verifiche idrauliche		83

1 PREMESSA

Il presente documento costituisce la Relazione Idraulica , parte integrante della Project Review del Piano di Sviluppo Aeroportuale (o Masterplan) al 2035 dell'aeroporto di Firenze, qui sviluppata e dettagliata ad un livello tecnico ritenuto congruo con le finalità della presente fase procedurale, comunque non inferiore a quello del progetto di fattibilità tecnica ed economica di cui all'art. 41 del D. Lgs. n. 36/2023.

Il citato approfondimento tecnico viene previsto ad integrazione della Sezione Generale della Project Review del Piano di Sviluppo Aeroportuale al 2035, predisposta in aderenza alle normative e/o regolamenti specifici del settore aeronautico, rispetto alla quale si pone l'obiettivo di elaborare ulteriori elementi tecnici di studio, dettaglio, analisi e progettazione, ritenuti necessari ai fini del compiuto espletamento dei procedimenti amministrativi (di compatibilità ambientale e di autorizzazione) ai quali risulta per legge assoggettato lo strumento del Piano di Sviluppo Aeroportuale, così integrato in modo da rafforzarne la valenza e la funzione progettuale, strettamente interconnessa con quella pianificatoria e programmatica di investimento.

Le informazioni di seguito riportate vanno, pertanto, analizzate in stretta correlazione rispetto ai più ampi ed estesi aspetti tecnico-economici trattati all'interno dei documenti afferenti alla Sezione Generale del Masterplan, con i quali esse si relazionano secondo un processo capillare di progressivo approfondimento e dettaglio, ritenuto utile per una più completa, consapevole e piena visione dell'insieme delle previsioni di trasformazione dello scalo aeroportuale e delle aree circostanti, e per una più esauriente analisi e comprensione della Project Review del Piano di Sviluppo Aeroportuale.

La citata Project Review costituisce la nuova formulazione tecnica delle previsioni progettuali e di investimento che ENAC prevede di attuare, nel medio-lungo periodo (orizzonte 2035, coerente con quello del Piano Nazionale degli Aeroporti in fase di aggiornamento), relativamente all'infrastruttura aeroportuale di Firenze, redatta dal Gestore aeroportuale di intesa con l'Ente regolatore in attuazione degli obblighi di miglioramento, ottimizzazione e sviluppo dell'aeroporto insiti nel contratto di concessione che lega lo stesso Gestore alle Istituzioni dello Stato (Ministero delle Infrastrutture e ENAC) per la gestione totale dell'infrastruttura aeroportuale (bene dello Stato). Ne consegue che l'insieme documentale di cui la presente relazione costituisce parte integrante deve essere visto e analizzato nella propria autonomia e indipendenza sostanziale, per quanto inevitabilmente consequenziale rispetto al precedente Masterplan 2014-2029 col quale risultano ancora sussistenti più elementi di dialogo che, tuttavia, ci si pone l'obiettivo di non assurgere a valenza prodromica e a funzionalità necessaria per una completa illustrazione, definizione e comprensione del nuovo Piano di Sviluppo Aeroportuale 2035.

Si auspica, infine, di aver esaurientemente e correttamente tradotto e trasferito, all'interno della documentazione di cui al nuovo Masterplan 2035, quel prezioso bagaglio di esperienza e quell'insieme di utili risultanze derivanti dal dialogo costruttivo e dialettico che, nell'ultimo decennio, ha visto in più momenti la partecipazione di ENAC, del Gestore aeroportuale, degli Enti/Amministrazioni interessati, delle Istituzioni nazionali e regionali, dei vari stakeholders e della cittadinanza attiva intorno ai temi relativi al trasporto aereo, alla multimodalità della mobilità, al ruolo della rete aeroportuale territoriale toscana e al futuro dello scalo aeroportuale di Firenze, che ENAC vede sempre più strategico, integrato e funzionale alla rete nazionale ed europea dei trasporti.

Nello specifico, la relazione illustra le opere e gli interventi idraulici previsti nell'area esterna al nuovo sedime aeroportuale volti sia al **riassetto** vero e proprio del reticolo idrografico, sia ad esso **connessi**.

Fra gli **interventi di riassetto** del reticolo idrografico si elencano:

- L'intervento sul Fosso Reale con modifica del suo tracciato attuale nel tratto interferente con la nuova Pista e adeguamento di parte dell'esistente, con la realizzazione di due casse d'espansione per la laminazione delle portate di piena (Area di Laminazione A e Area di Laminazione B).
- L'adeguamento del reticolo dei canali di bonifica con la realizzazione del nuovo canale di Gronda;
- Demolizione dei tombini T2, T3 e T4 con ripristino "idraulicamente trasparente", nell'area del PUE di Castello, come indicato negli elaborati grafici.

Fra gli interventi **indirettamente connessi** al reticolo idrografico sono invece previsti, ma necessari:

- La trasformazione del Canale Colatore Sinistro in collettore fognario asservito al Polo Scientifico e Tecnologico Universitario;
- La realizzazione del collettore di scarico della Vasca di compensazione idraulica sul Canale di Cinta Orientale prevista nel RUC del comune di Sesto Fiorentino.

Gli interventi **non oggetto della presente progettazione** ma necessari al riassetto del reticolo idrografico sono:

- Realizzazione della Cassa sul Canale di Cinta Orientale;
- Adeguamento del Tombino T1 su via Lorenzini, anch'esso nell'area del PUE di Castello.

Per quanto riguarda gli interventi sul Fosso Reale, lo sviluppo lineare della nuova inalveazione proposta nel progetto, adeguatamente dettagliata nel seguito del documento, prevede uno sviluppo lineare che garantisce condizioni della pendenza e deflusso delle acque tali da non prevedere eventuali rischi di stagnazione delle acque legati alla bassa velocità.

Dagli studi e dalle modellazioni eseguite in questa fase progettuale è risultato che il solo ramo di Nuova inalveazione del Fosso Reale risulta idoneo per le finalità idrauliche, ciò nonostante, è stato valutato anche l'intervento di realizzazione di un canale di derivazione delle portate di magra. Nelle successive fasi di interlocuzione formale con gli Enti competenti in materia si provvederà a recepire quanto da essi espresso in merito all'interno dei relativi pareri di competenza.

A seguito della prima fase consultoria si riporta di seguito l'inquadramento generale della "Soluzione 1" (con derivazione delle portate di magra).

La **Soluzione 1**: è la soluzione che prevede la realizzazione del tracciato di Nuova inalveazione del Fosso Reale per aggirare la nuova pista di volo e la derivazione delle portate di magra, che attraverserà l'autostrada A11 in corrispondenza di un nuovo sottoattraversamento fino alla reimmissione nel Fosso Reale.

Tale soluzione di riassetto del reticolo idraulico prevede anche la realizzazione di due casse di laminazione, denominate "Area di laminazione A" e "Area di laminazione B", e la realizzazione del Nuovo Canale di Gronda, che sotto attraversa l'autostrada A11 in corrispondenza di uno scatolare esistente affiancato a quello nuovo sfruttato per il canale di derivazione del Fosso Reale.

Il dimensionamento di tutte le opere è stato effettuato con l'impiego delle Linee Segnalatrici di Possibilità Pluviometrica – LSPP - aggiornate al 2012.

I parametri caratteristici di progetto (dati pluviometrici, portate, durate dell'evento critico e tempi di ritorno) utilizzati per il dimensionamento delle opere sia per il sistema della Acque Alte che delle Acque Basse sono descritti nel capitolo 5.

Le opere che definiscono il nuovo assetto idraulico di tutta l'area interessata dal Masterplan, sono state progettate nel rispetto alle infrastrutture stradali, esistenti e di previsione, ed agli altri interventi attuativi dei piani urbanistici.

Nella relazione viene descritto l'esito delle verifiche della probabilità di allagamento del territorio ai sensi della Legge Regionale n.41 del 24/07/18 "Disposizioni in materia di rischio di alluvioni e di tutela dei corsi d'acqua in attuazione del decreto legislativo 23 febbraio 2010, n.49".

Nella verifica sono stati analizzati sia gli effetti degli interventi di trasformazione previsti per le opere realizzate nel nuovo sedime aeroportuale (rif elab. FLR-MPL-PSA-GEN1-014-IL-RT "Relazione Tecnica Idrologica e Fattibilità idraulica - Nuovo sedime aeroportuale") sia gli effetti degli interventi di adeguamento già previsti dagli strumenti di governo del territorio. In particolare, per quanto attiene il territorio d'interesse sono stati considerati gli interventi previsti per l'adeguamento idraulico del Canale di Cinta Orientale, nel territorio comunale di Sesto Fiorentino, che risultano già da tempo pianificati, nonché previsti nel Piano Strutturale comunale in relazione alla sicurezza idraulica dell'urbanizzazione del Polo Scientifico e Tecnologico Universitario. Si tratta, in particolare, della realizzazione della cassa d'espansione del Polo Universitario e

dell'adeguamento dei cigli di sponda del canale in sinistra idraulica per un tratto di lunghezza circa 300 m, contenuti nel progetto: "Progettazione delle opere di messa in sicurezza idraulica del Polo Scientifico e Tecnologico di Sesto Fiorentino" - 2012 redatto dall'Università di Firenze e già approvato da specifica conferenza di servizi. Oltre a questi interventi sono stati considerati gli adeguamenti dei tombini T2, T3 e T4 (oggetto del Masterplan Aeroportuale 2035, di cui alla già citata "Relazione Tecnica Idrologica e Fattibilità idraulica - Nuovo sedime aeroportuale" rif elab. FLR-MPL-PSA-GEN1-014-IL-RT) e T1 su via Lorenzini.

2 INQUADRAMENTO TERRITORIALE


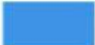

Si riportano di seguito gli scenari di pericolosità idraulica degli studi idrologici e idraulici a sostegno dei Piani Territoriali dei Comuni interessati dalle opere e lo stralcio del Piano di Gestione del Rischio Alluvioni (PGRA) 2021-2027 promosso dall’Autorità di Bacino Distrettuale dell’Appennino Settentrionale.

2.1.1 Pericolosità idraulica - Piano Strutturale del Comune di Firenze

Nel sito del Comune è stata reperita la cartografia relativa alla pericolosità idraulica di cui si riporta nella figura seguente un estratto relativamente alla zona sulla quale insisterà il sedime del nuovo aeroporto. Sono presenti zone a Pericolosità da alluvioni frequenti (Tr 30 anni) per criticità vicino al Canale dell’aeroporto e per il tombino di via delle due case per l’attraversamento del Canale di Cinta Orientale.

Di seguito la legenda della carta di pericolosità idraulica secondo il Piano Strutturale del Comune di Firenze.

Pericolosità Dominio Fluviale

	P1
	P2
	P3



2.1.2 Pericolosità idraulica – Piano strutturale del Comune di Sesto Fiorentino

Nel sito del Comune è stata reperita la cartografia relativa alla pericolosità idraulica di cui si riporta nella figura seguente un estratto relativamente alla zona sulla quale insisterà il sedime del nuovo aeroporto. Il Piano Strutturale presenta una cartografia in cui sono presenti criticità che gravano sull'area dove si trova il Polo Scientifico, dovute al Canale di Cinta Orientale. Inoltre, si evidenzia come l'intera area della Piana di Sesto sia indicata con pericolosità I3*, vale a dire che con un evento con TR200 anni, l'insufficienza di drenaggio della rete di acque basse comporti l'interessamento dell'intera zona a fenomeni di allagamento.

Di seguito la legenda con le classi di pericolosità secondo DPGR 53/R, ancora vigente per quanto riguarda il Piano Strutturale di Sesto Fiorentino e Calenzano.

Classi di pericolosità ai sensi del 53R

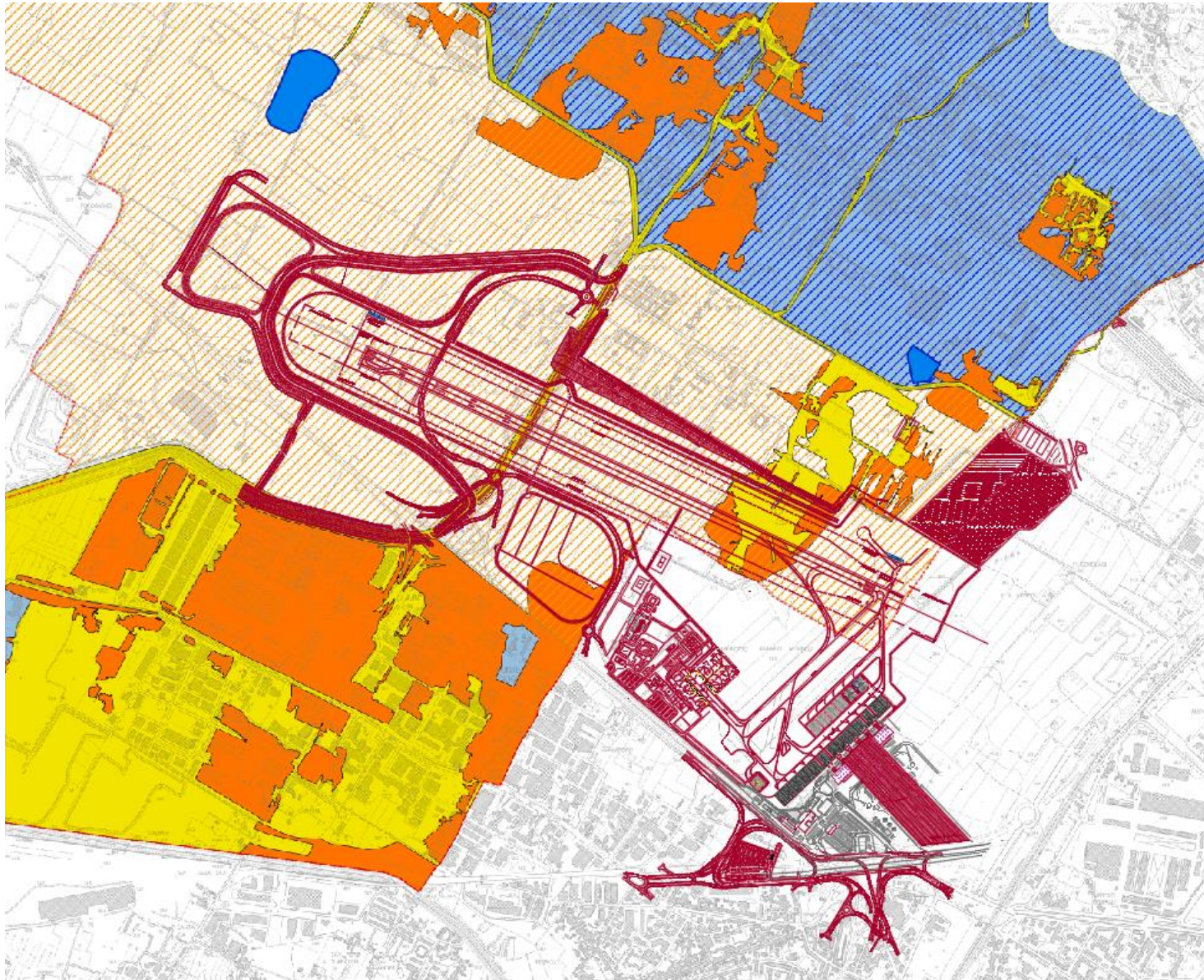
 I2

 I3

 I4

 I3* (Aree di potenziale ristagno e/o insufficienza di drenaggio della rete di acque basse)

 I2* (Aree di potenziale insufficienza della rete fognaria)






2.1.3 Piano di Gestione del Rischio Alluvioni 2021-2027 (ottobre 2022)

Nel sito dell’Autorità di Bacino Distrettuali dell’Appennino Settentrionale è stata reperita la cartografia relativa alla pericolosità prevista nel vigente Piano PGRA. Si evidenzia come già allo stato attuale, l’area della Piana sia interamente classificata come area soggetta a pericolosità P2 - alluvioni poco frequenti (TR200).

Di seguito la legenda della carta della Pericolosità da PGRA.

Pericolosità Dominio Fluviale

-  P1
-  P2
-  P3



3 DESCRIZIONE DEL RETICOLO IDRAULICO ED ANALISI IDROLOGICA

Il nuovo sistema aeroportuale si inserisce a nord-ovest di Firenze, nella piana di Sesto Fiorentino, che si estende fra il Torrente Terzolle (ad est), il Fiume Arno (a sud), il Fiume Bisenzio (a ovest) e le aree pedecollinari (a nord).

Tale area rientra nel comprensorio del Consorzio di Bonifica 3 Medio Valdarno (di seguito denominato anche Consorzio), che attraverso una rete di canali e collettori regola l'assetto idraulico della zona.



Figura 3-1. Inquadramento dell'area della piana interessata dagli interventi idraulici connessi al progetto di Master Plan 2035

Fino ai primi decenni del secolo scorso quest'area, pianeggiante e leggermente depressa, presentava ampie aree di ristagno stagionale delle acque. Nel primo dopoguerra è iniziata una trasformazione profonda a seguito di un'opera di bonifica, il cui "Progetto generale di massima" è stato elaborato nel 1929 dal prof. ing. Manfredi De Horatiis e costituisce lo strumento in base al quale è stata realizzata la quasi totalità della rete idraulica di bonifica oggi esistente.

I principi di base del progetto furono la stabilizzazione della parte montana e pedecollinare mediante rimboschimenti e la realizzazione di numerose briglie sulle aste torrentizie che, intercettate allo sbocco nella pianura alluvionale da due *Canali di Cinta* disposti in direzione est-ovest - *Orientale* e *Occidentale* - vengono convogliate nel fiume Bisenzio mediante un unico collettore pensile e arginato (*Collettore Acque Alte* o *Fosso Reale*). In questo modo è stata

realizzata la separazione tra le acque "alte", di origine esterna alla pianura, e quelle "basse", interne ad essa.

Le *acque basse*, private degli apporti esterni, sono state poi riorganizzate e portate a confluire, mediante un unico Collettore Principale, nel Fiume Bisenzio all'altezza di Viaccia (Comune di Signa), con il risultato di un sostanziale prosciugamento dell'area.

Nonostante la bonifica, il territorio era ancora soggetto ad estesi allagamenti stagionali, che almeno temporaneamente mantenevano le caratteristiche tipiche dell'ambiente umido originario. Pratiche di gestione agricola non intensive e solo in parte meccanizzate, unitamente allo scarso inquinamento delle acque, permettevano peraltro il mantenimento di una buona biodiversità tanto che da quanto risulta dalla tradizione orale anche la fauna ittica, che per la sua natura non può prescindere da qualità e quantità della risorsa idrica, riusciva in qualche modo a superare, nei fossi di scolo dei campi, i mesi di maggiore siccità.

Successivamente, a partire dagli anni '60, si è realizzata una progressiva ed estesa urbanizzazione con conseguente abbandono dell'attività agricola nella *Piana*, che ha comportato la necessità di un costante riadeguamento della rete di bonifica come elemento di riduzione del rischio idraulico per i territori edificati.



Figura 3-2. Lavori di ampliamento del Fosso Reale (a sinistra) e adeguamento della sezione idraulica del Canale Nuovo Garille alla fine degli anni Settanta (a destra)

Allo stato attuale, dell'originario ambiente umido della piana si rinvengono solo pochi elementi fra loro isolati, costituiti da qualche torrente e da alcuni specchi d'acqua per lo più artificiali, dovuti a interventi di rinaturalizzazione, ripristino ambientale e attività venatoria.

Al di là del Fiume Arno, il *Fiume Bisenzio* è fra i principali corsi d'acqua della piana, l'unico di origine naturale. Scorre pensile nella piana da cui riceve, in sponda sinistra, la Gora del Ciliegio, il Torrente Marinella di Travalle, il Collettore Acque Basse di Crucignano, il Torrente Marina, il Collettore Acque Alte (Fosso Reale), il Fosso Macinante, il Collettore Principale Acque Basse. I lavori di adeguamento dell'alveo e la realizzazione delle arginature in calcestruzzo hanno contribuito a velocizzare la corrente e a degradare il corso del fiume dal punto di vista ecologico, naturalistico e ambientale.

La *Gora del Ciliegio* si origina dalla zona dell'interporto di Prato e si getta nel Bisenzio. Nel suo tratto terminale è pensile e di nessuna valenza naturalistica; è soggetta a prosciugamento nel corso dei mesi estivi.

Il *Torrente Marinella di Travalle* scorre pensile fra arginature in pietra e calcestruzzo, fino al suo sbocco nel Bisenzio. Il corso d'acqua è esposto al rischio di prosciugamento nel corso dei mesi estivi.

Il *Collettore delle Acque Basse di Crucignano* raccoglie le acque di scolo della porzione della piana fiorentina e pratese compresa fra l'interporto pratese e il Torrente Marina. L'immissione nel Bisenzio, in località Crucignano, avviene grazie all'omonimo impianto dotato di paratoie mobili e di idrovore di sollevamento.

Il *Torrente Marina* scende dai monti della Calvana e penetra nella piana all'altezza di Calenzano, l'attraversa e sbocca nel Bisenzio in località Crucignano, in riva sinistra dell'omonimo Collettore delle Acque Basse e a fianco dell'impianto idraulico di sversamento. La portata idrica, notevole nei mesi a maggiore piovosità, cala praticamente a zero in estate. Nella piana l'alveo scorre fra arginature in pietra e in calcestruzzo; alcune centinaia di metri a monte della foce riceve, in sponda sinistra, le acque del Canale Nuovo Garille.

Il *Canale Nuovo Garille* raccoglie le acque del Torrente Chiosina (avente il suo bacino idrografico sul versante sud-ovest del Monte Morello) e le convoglia nel Torrente Marina dopo aver attraversato il territorio della piana. Nel tratto scorre pensile fra due arginature in calcestruzzo, privo di valenza naturalistica; nel periodo estivo la portata si annulla.

Il *Fosso Reale* (detto anche Collettore delle Acque Alte) è uno dei principali corsi d'acqua della piana, alimentato dai due *Canali di Cinta (Occidentale e Orientale)*, che a loro volta raccolgono le acque dei torrenti che scendono dal versante meridionale del Monte Morello. Questi sono: il *Torrente Gavine*, il *Torrente Rimaggio*, il *Torrente Zambra*, la *Gora di Quinto*, il *Fosso del Termine* e il *Fosso di Castello*.



Figura 3-3. T. Rimaggio alle pendici di Monte Morello (a sinistra) e T. Zambra nel tratto collinare (a destra)

Il Fosso Reale prende origine, con detta denominazione, in corrispondenza della confluenza del Canale di Cinta Occidentale col Canale di Cinta Orientale, in prossimità delle propaggini

meridionali dell'abitato di Sesto Fiorentino, poi attraversa la piana dell'Osmannoro e fa per un lungo tratto da confine comunale tra Sesto Fiorentino e Campi Bisenzio, fino ad arrivare in prossimità di San Donnino e proseguire verso San Mauro a Signo, nelle cui vicinanze si getta nel Bisenzio. Scorre pensile fino allo sbocco e può contare su una certa portata d'acqua anche in estate. Il Fosso è affiancato da due scolmatori di appoggio, collegati tra di loro da un canale che by-passa il fosso nella zona di San Donnino.

Recenti lavori hanno interessato il Torrente Gavine ed hanno avuto l'obiettivo di chiudere l'attuale collegamento tra il Torrente Gavine e il Canale di Gronda, e di ripristinare il corso del Torrente in modo da ripristinare anche la sua continuità fino all'immissione nel Fosso Reale.



Figura 3-4. Punto di ingresso del Canale di Cinta Occidentale ed Orientale nel Fosso Reale

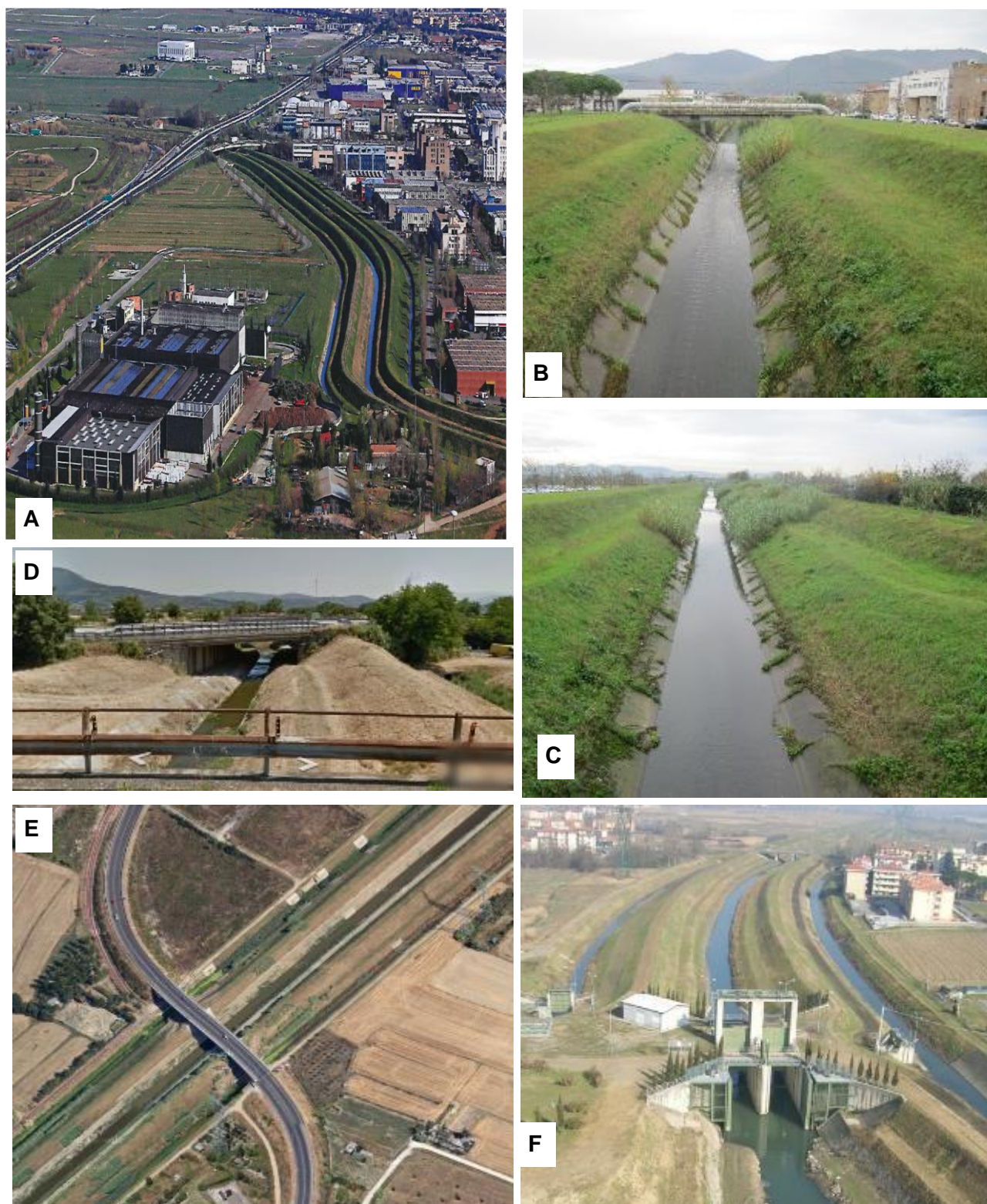


Figura 3-5. Fosso Reale (acque alte) e, a fianco, i Colatori destro e sinistro (acque basse) del Fosso reale in corrispondenza di diversi ambiti della piana: A) zona Osmannoro e impianto di compostaggio; B) e C) zona Polo scientifico e tecnologico di Sesto Fiorentino; D) passaggio autostradale A11; E) località San Piero a Ponti; F) paratoia presso l'immissione nel Fiume Bisenzio

Il *Collettore delle Acque Basse* è uno dei principali corsi d'acqua della piana, alimentato dalle acque raccolte dai canali di bonifica e dai fossi di scolo dell'area compresa fra il corso del Torrente Marina e del Fiume Bisenzio a ovest, dei Canali di Cinta a nord, del Torrente Terzolle a est, e infine, dal corso del Torrente Mugnone e del Fiume Arno a sud. Il Collettore, di origine artificiale, scorre pensile nella piana e sbocca nel Bisenzio in località Renai, nel Comune di Signa. La portata diviene minima in estate.

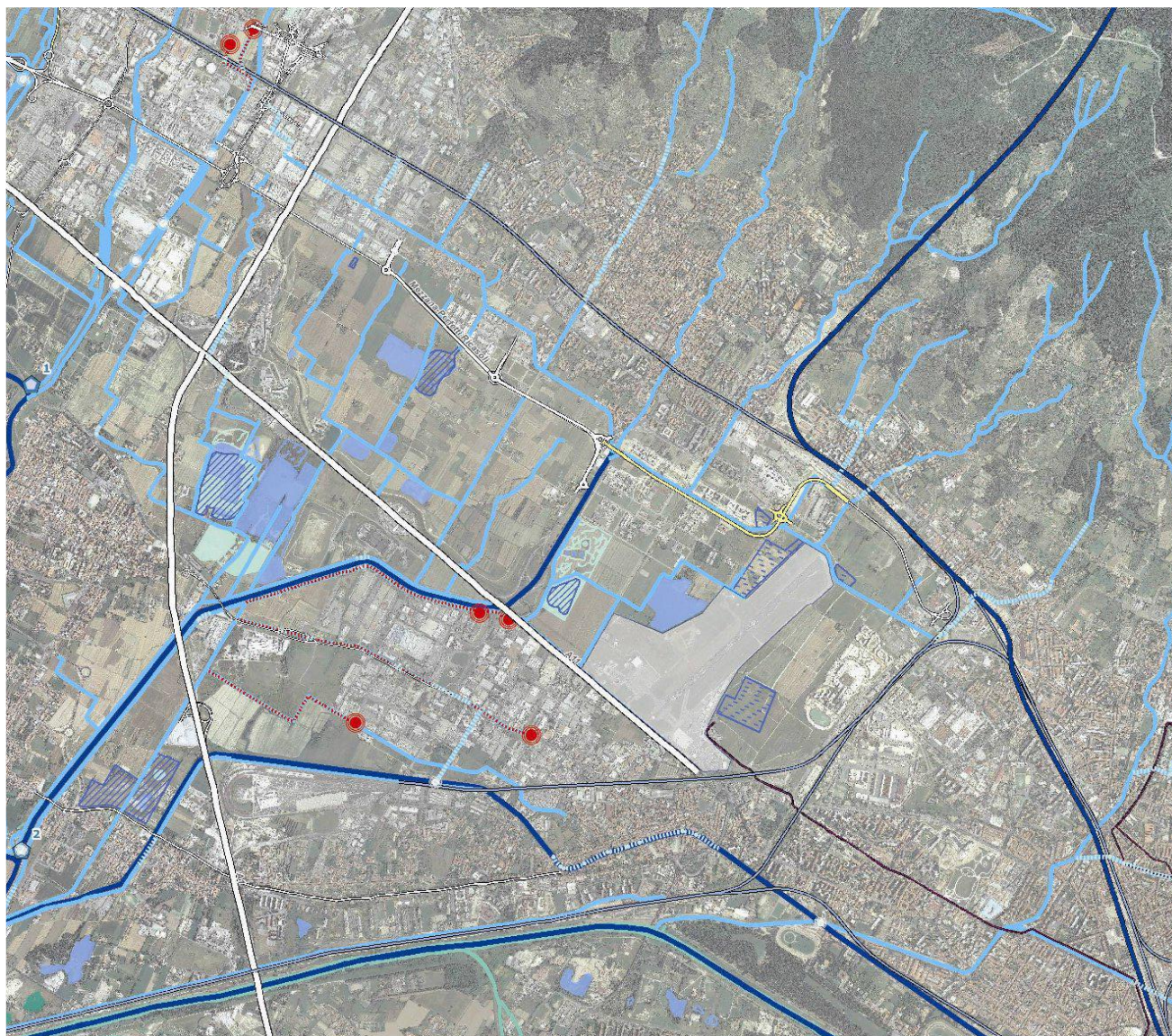


Figura 3-6. Reticolo idraulico attuale nella piana fiorentina e pratese

L'area della piana sopra descritta rientra nel comprensorio del Consorzio di Bonifica dell'Area Fiorentina che, come analizzato, attraverso una rete di canali e collettori regola l'assetto idraulico della zona.

Le condizioni di pericolosità idraulica della porzione pianeggiante del territorio risultano determinate dalla sommatoria di due fattori:

- pericolosità legate alla rete idrografica direttamente afferente al territorio di bonifica;

- pericolosità indotte dalla rete idrografica esterna (in particolare dalle possibili esondazioni dell'Arno e del Bisenzio).

Quanto descritto spiega la necessità di porre la massima attenzione per ogni intervento nell'area che possa ulteriormente modificarne l'assetto idraulico.

Si riporta il reticolo raffigurato nella documentazione del Consorzio previgente che sostanzialmente fa riferimento al sistema idraulico e infrastrutturale tuttora esistente, con modifiche che hanno riguardato ad ora solo le acque basse a seguito di interventi infrastrutturali nell'area.

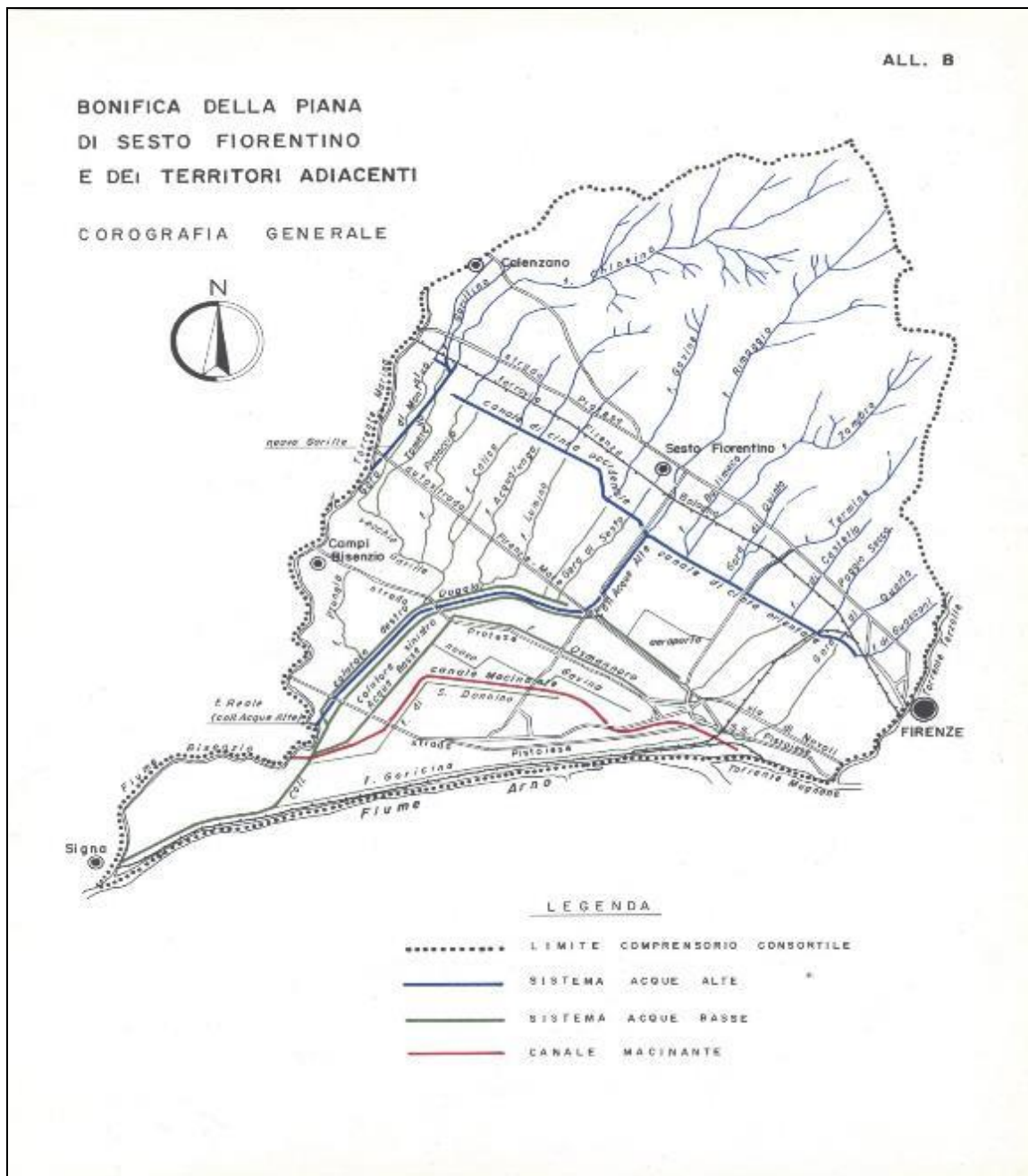


Figura 3-7. Corografia del Consorzio nella configurazione susseguente all'attuazione delle opere di bonifica per la separazione tra i sistemi di Acque Alte e di acque basse (Fonte: Consorzio)

Nella relazione **Relazione Idrologica-Idraulica: Acque Alte - Parte A** (rif. elab. FLR-MPL-PSA-OIE1-005-IL-RT) sono descritte le analisi idrologiche e le verifiche idrauliche svolte a supporto della Progettazione della Nuova inalveazione del **Fosso Reale**, collettore principale del sistema idrografico collinare (delle **Acque Alte**), inquadrato nella riorganizzazione del sistema delle *acque basse* già del sistema di bonifica.

La sistemazione e le verifiche del sistema delle **Acque Basse** sono invece analizzate nel dettaglio nella **Relazione Idrologica-Idraulica: Acque Basse - Parte B** (rif elab. FLR-MPL-PSA-OIE1-006-IL-RT).

3.1 RETICOLO ACQUE ALTE E MODALITÀ DI DETERMINAZIONE DELLE PORTATE DI PROGETTO

Il bacino idrografico sotteso dal Fosso Reale è di 2.744,90 ha con quote variabili fra 400 m s.l.m. e 50 m s.l.m.

I corsi d'acqua principali che affluiscono al *Fosso Reale* tramite i *Canali di Cinta, Occidentale e Orientale*, sono:

- il Fosso Prataccio
- il Fosso Calice
- il Fosso Acqualunga di Settimello
- il Torrente Gavine
- il Torrente Rimaggio
- il Torrente Zambra
- il Torrente Alberaccio del Termine
- il Fosso di Quinto
- Il Fosso di Poggio Secco.

Pressoché tutti questi corsi d'acqua attraversano ampie zone urbanizzate prima della loro immissione finale nei due canali di gronda: Canale di Cinta Orientale e Canale di Cinta Occidentale. Nella seguente tabella sono riportati i principali parametri caratteristici del bacino idrografico sotteso dal Fosso Reale.

	Superficie	Lunghezza asta principale	Pendenza media
Fosso Reale	2.744,90 ha	6,2 km	0,0007 m/m

Esistono diversi studi che hanno determinato con metodi diversi le portate idrologiche per il Bacino del Fosso Reale.

Nel presente progetto si è scelto di adeguarsi al modello dello Studio di Area Vasta del Bacino del Fosso Reale (Physis Ingegneria 2008) che fornisce portate più alte rispetto agli altri studi. Le

portate di progetto del reticolo delle Acque Alte sono state determinate aggiornando il modello idrologico dello Studio di Area Vasta (Metodo SCS Modello a parametri distribuiti) implementato da Physis Ingegneria con i nuovi dati di pioggia.

Per il dettaglio delle verifiche riguardanti il sistema delle Acqua Alte si veda la Relazione Idrologica-Idraulica: Acque Alte- Parte A (rif. elab. FLR-MPL-PSA-OIE1-005-IL-RT)

3.2 RETICOLO ACQUE BASSE E MODALITÀ DI DETERMINAZIONE DELLE PORTATE DI PROGETTO

Allo stato attuale, la gestione e gli interventi sulle acque basse (di competenza del Consorzio) viene fatta sulla base dello studio denominato “Aggiornamento del Piano Generale di Bonifica” e risalente al 1996; in questo studio sono riportate (per TR 50 anni):

- le portate di riferimento per i diversi corsi d’acqua su diverse sezioni di chiusura;
- le insufficienze del reticolo e proposte di adeguamento della rete.

Per la determinazione delle portate di progetto del reticolo delle Acque Basse si è deciso quindi di utilizzare il Piano Generale di Bonifica invece di usare formule di letteratura per la determinazione del tempo di corrivazione o modelli idrologici di difficile taratura per un contesto così particolare come la Piana di Sesto Fiorentino.

Il Piano è stato aggiornato sulla base della configurazione attuale (con i più recenti rilievi topografici del reticolo) e di progetto (a seguito della costruzione del nuovo aeroporto) e delle nuove Linee Segnalatrici di possibilità Pluviometrica (LSPP2012).

L’aggiornamento del Piano Generale di Bonifica si configura come uno strumento che amplia il quadro conoscitivo dello strumento vigente ed ha il vantaggio:

- di avere delle portate aggiornate con i nuovi dati di pioggia;
- di essere coerente con la trasformazione urbanistica che il territorio ha subito dal 1996 a oggi;
- di tenere conto dei diversi interventi già realizzati dal Consorzio di Bonifica.

La presente progettazione ha quindi costituito anche l’occasione per rivisitare il Piano di Bonifica di tutto il sistema che fa capo al *Collettore Acqua Basse*, che a sua volta raccoglie i contributi dei due colatori in destra e in sinistra al Fosso Reale. Il piano era stato elaborato e aggiornato con la procedura del *Volume di Invaso* (Supino et al¹).

Con il succedersi della realizzazione di interventi infrastrutturali nelle aree d’interesse, l’impianto originale del sistema idraulico di bonifica, Acque Basse, aveva subito modifiche in termini di tracciati, sezioni e rivestimenti degli alvei, sottobacini afferenti, uso del suolo.

Pertanto, in collaborazione con il Consorzio di Bonifica 3 Medio Valdarno, si è proceduto a:

1 G. Supino - Le reti idrauliche Bonifiche - fognature - fiumi e torrenti - Ed. Patron, 1965

- **reperire la procedura di calcolo**² basata sul Metodo del Volume d'Invaso, a suo tempo utilizzata dai tecnici che avevano svolto le verifiche con simulazioni numeriche³;
- implementare e simulare la rete nella stessa **configurazione dell'aggiornamento del Piano** alla sua approvazione, con i parametri idrologici e idraulici a suo tempo utilizzati nelle simulazioni del piano di bacino in uso;
- riscontrare la sostanziale coerenza dei risultati della simulazione ora operata con quelli del Piano e ottenere un'indiretta validazione della procedura di calcolo e dei criteri di scelta dei parametri da adottare;
- simulare la rete e i bacini scolanti nello **stato attuale** effettivo, adeguati in termini di bacini afferenti, configurazioni geometriche e idrauliche, di uso del suolo del comprensorio, di curve segnalatrici della possibilità di pioggia e di condizioni idrauliche al contorno;
- verificare la rispondenza del sistema simulato alla situazione di campo in termini di insufficienze idrauliche in porzioni della rete di bonifica registrata in fase di gestione negli anni passati per determinate sollecitazioni di piogge;
- implementare il sistema nello **stato di progetto**, con l'inserimento della infrastruttura aeroportuale e delle opere complementari del progetto di bonifica;

Per il dettaglio delle verifiche riguardanti il sistema delle Acque Basse si veda la Relazione Idrologica-Idraulica: Acque Basse - Parte B (rif elab. FLR-MPL-PSA-OIE1-006-IL-RT).

² HyNet prodotto da ENGINEERING HYDRAULIC SERVICE (EHS) S.r.l. di Bologna

³ Aggiornamento del piano generale di Bonifica Progetto 5 Ottobre 1988 - R. Lugli A. Lamberti COINCO3 FI - Studio Idraulico R. Giachi - Tecnistudio FI - Progetto della rete Acque Basse.

4 CONDIZIONI AL CONTORNO

4.1 ACQUE ALTE

Nelle verifiche idrauliche del Fosso Reale, nelle conformazioni di progetto ed esistente, la condizione di valle è stata assunta con i rispettivi idrogrammi del Bisenzio forniti dall'Autorità di bacino del Fiume Arno, a parità di Tempi di Ritorno della simulazione, e per le durate di pioggia 3 ÷ 36 ore.

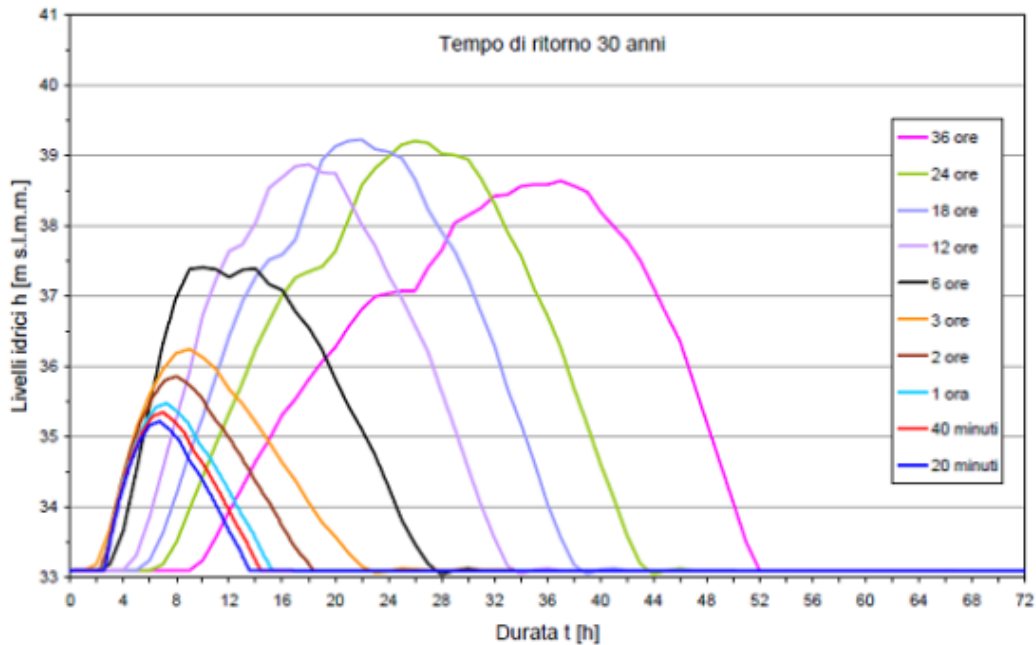


Figura 4-1. Condizione al contorno per il tempo di ritorno di 30: idrogrammi dei livelli imposto alla sezione FR4011 del F.Reale

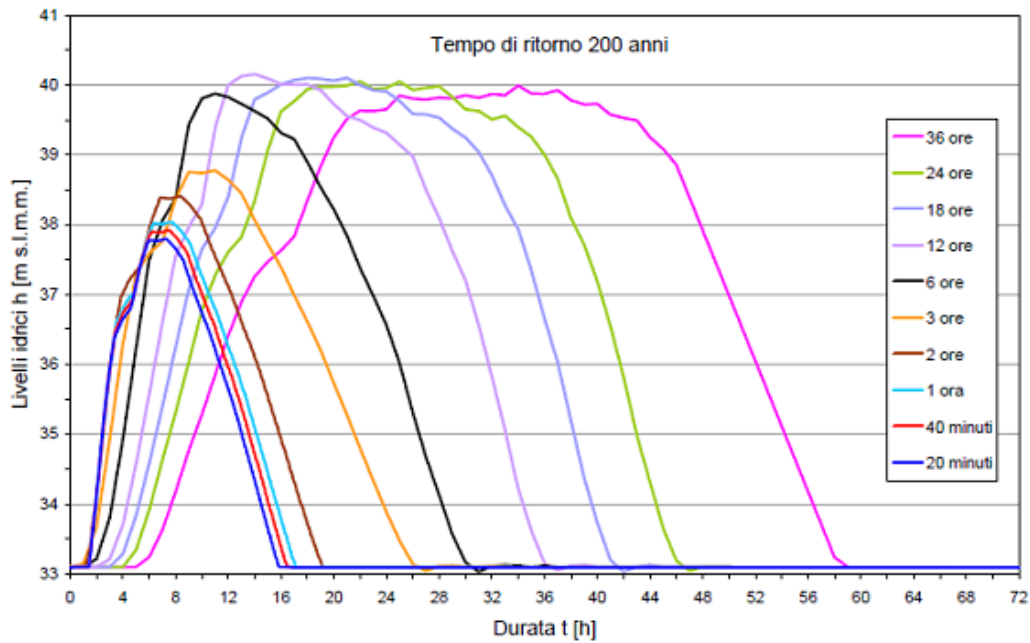


Figura 4-2. Condizione al contorno per il tempo di ritorno di 200:
idrogrammi dei livelli imposto alla sezione FR4011 del F.Reale

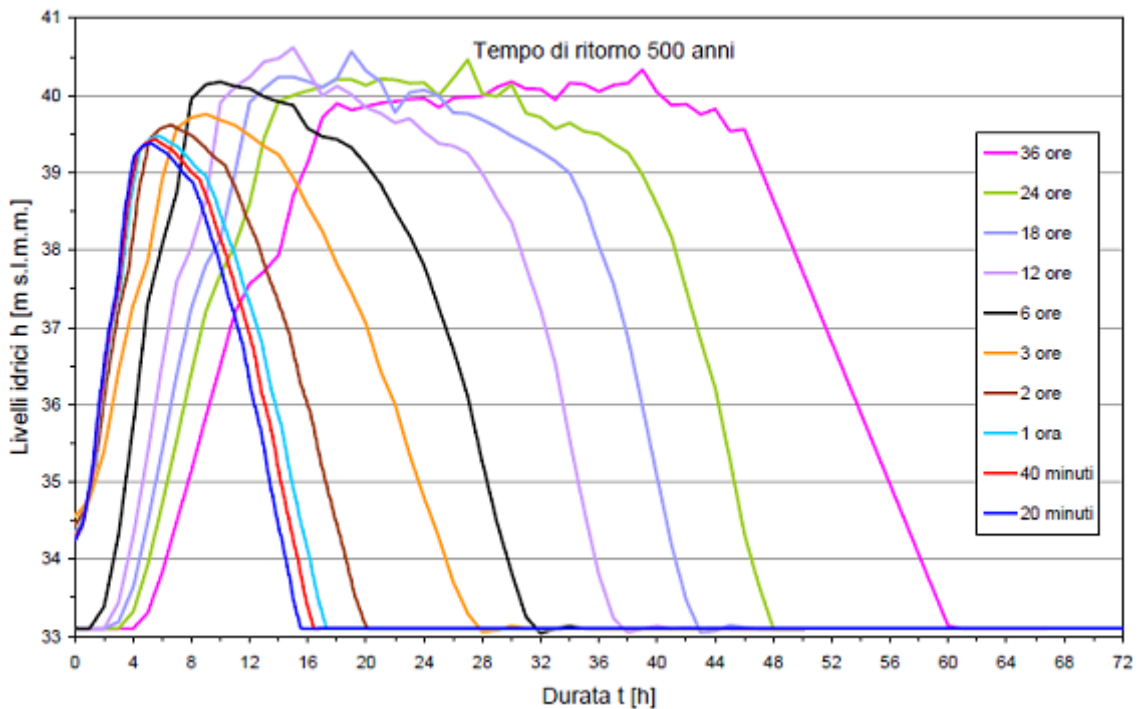


Figura 4-3. Condizione al contorno per il tempo di ritorno di 500:
idrogrammi dei livelli imposto alla sezione FR4011 del F.Reale

4.2 ACQUE BASSE

Le *acque basse*, private degli apporti esterni, sono state riorganizzate e portate a confluire a gravità, mediante un unico Collettore Principale, nel Fiume Bisenzio all'altezza di Viaccia (Comune

di Signa), con il risultato di un sostanziale prosciugamento dell'area. Lo scarico nel Bisenzio è regolato da un sistema di paratoie di magra che si chiudono alla quota 33,00 m slm in modalità automatica, l'impianto dispone di n.2 sistemi di sollevamento meccanico con avviamento automatico (Idrovora Viaccia):

- il sistema automatico PRINCIPALE vede le seguenti quote di avviamento/arresto:

a) 1° pompa 33,00 m slm

b) 2° pompa 33,20 m slm

c) 3° pompa 33,40 m slm

- il sistema automatico SECONDARIO vede le seguenti quote di avviamento:

a) pompa n.1 33,00 m slm

b) pompa n.2 33,10 m slm

c) pompa n.3 33,20 m slm

d) pompa n.4 33,30 m slm

- in TUTTI I CASI ciascuna pompa ha un range di funzionamento di 50 cm (per cui la prima pompa lavora da 33,00 a 32,50 m slm)

Il livello oltre il quale il pompaggio è interrotto è la quota 37,00 m slm del Fiume Bisenzio.

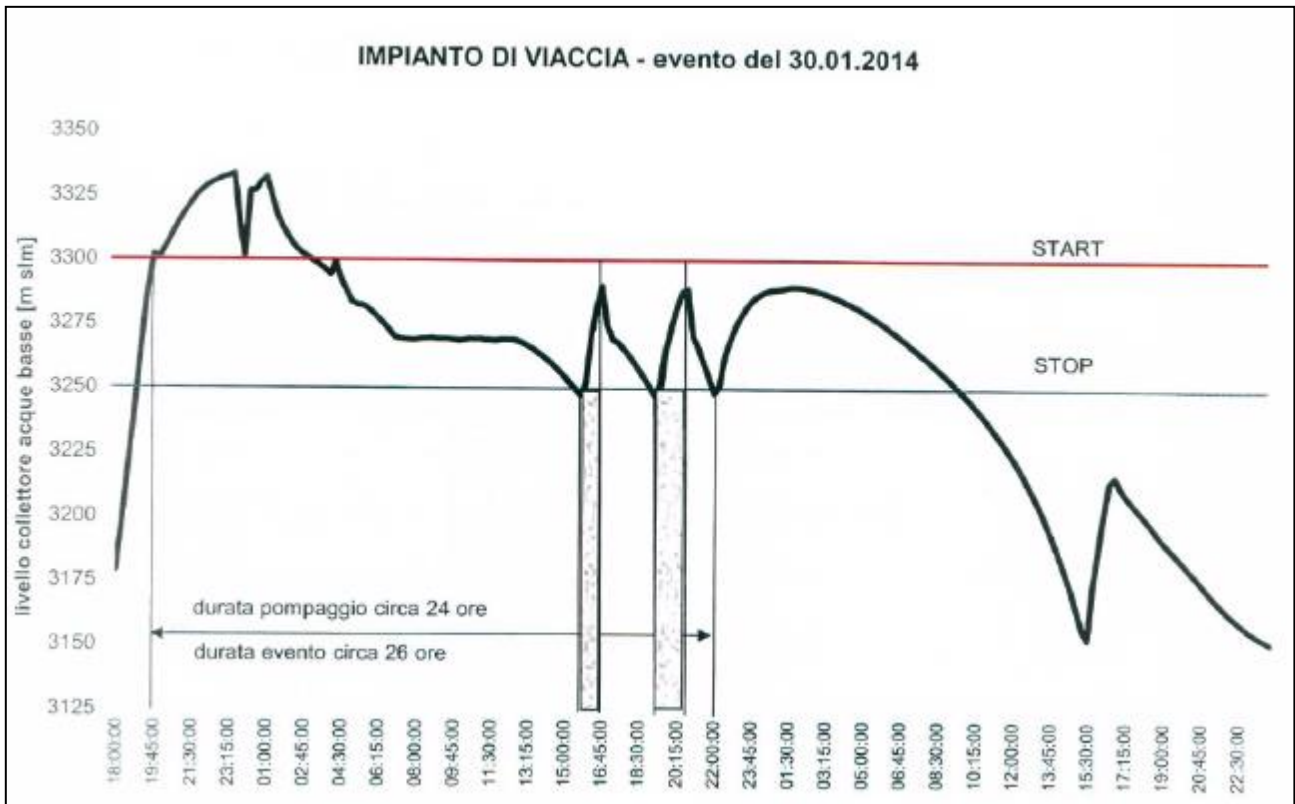


Figura 4-4. Esempio di andamento dei livelli imposto alla sezione FR4011 del F.Reale

Ciò premesso, è stata assunta come condizione al contorno il livello di 35 m slm, che corrisponde alla sezione di chiusura con il colatore destro completamente pieno.

Tale livello risulta cautelativo perché in caso di mancato pompaggio equivale ad avere alla zona della Viaccia l'altezza d'acqua di 2m.

5 MODELLAZIONI EFFETTUATE

5.1 CANALI DI CINTA E FOSSO REALE (COMPENSORIO ACQUE ALTE)

Tipologia modellazione:

- Simulazione numerica combinata 1D/2D in moto vario.

Finalità:

- Individuazione delle aree inondabili allo Stato Attuale e di Progetto.
- Aggiornamento della pericolosità idraulica allo Stato Attuale e di Progetto.

Tempi di ritorno [anni]: 30, 200.

Durate [ore]: 1, 3, 6, 12, 18, 24 e 36

Condizioni al contorno e condizioni iniziali:

-Livelli del Bisenzio alla confluenza.


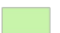



-Idrogramma in corrispondenza di ciascuna immissione nei Canali di Cinta.

-Invasi inizialmente vuoti.

Si riporta in Figura 5-1 il modello idraulico dello stato attuale mentre in Figura 5-2 il modello idraulico dello stato di progetto. In seguito alle figura del modello idraulico si riportano i risultati dei battenti nelle aree allagabili, sia allo stato attuale che a quello di progetto. Questa indicazione è più estesamente riportata negli elaborati grafici a supporto della presente fase di progettazione. Si fa tuttavia presente che, a seguito delle modifiche apportate alla conformazione, le nuove aree che vengono interessate da allagamenti sono di estensione contenuta, con battenti inferiori ai 50 cm e comunque senza incremento del rischio idraulico. Molte delle aree sono in effetti fossi di campo che vengono interessati dalle esondazione, mentre le aree a piano campagna sono prive di abitazioni ed adibite ad uso agricolo. Inoltre, **si evidenziano i miglioramenti apportati , oltre all'area che verrà occupata dal sedime, anche ad aree esterne.** Infatti, nel territorio del Comune di Firenze non saranno più presenti gli allagamenti in sinistra idraulica del Canale di Cinta Orientale, oltre ad un generale miglioramento degli allagamenti nella zona densamente industrializzata dell'Osmannoro.

Immediatamente di seguito la legenda utile alla lettura dei battenti idraulici, valido sia per eventi con TR30 che TR200.

Legenda Battenti idraulici [m]:

	≤ 0.25
	0.25 - 0.50
	0.50 - 1.00
	1.00 - 1.50
	≥ 1.50

Le modellazioni considerano come dati di presupposto:

- gli interventi di adeguamento di n.4 tombini di attraversamento sul Canale di Cinta Orientale nei pressi di Viale XI Agosto, previsti all'interno del Masterplan 2035 nell'ambito della realizzazione del Nuovo Terminal Passeggeri (rif elab. FLR-MPL-PSA-GEN1-014-IL-RT).
- gli interventi previsti per l'adeguamento idraulico del Canale di Cinta Orientale, nel territorio comunale di Sesto Fiorentino, che risultano già da tempo pianificati, nonché previsti nel Piano Strutturale comunale in relazione alla sicurezza idraulica dell'urbanizzazione del Polo Scientifico e Tecnologico Universitario:
 - la realizzazione della cassa d'espansione del Polo Universitario;
 - il rialzamento a quota 43 m slm della sponda sinistra per un tratto di circa 300 m;
 - La demolizione dei tombini T2, T3 e T4 con ripristino "idraulicamente trasparente";
 - L'adeguamento del tombino T1 su via Lorenzini, alla sezione già presente su viale XI agosto.

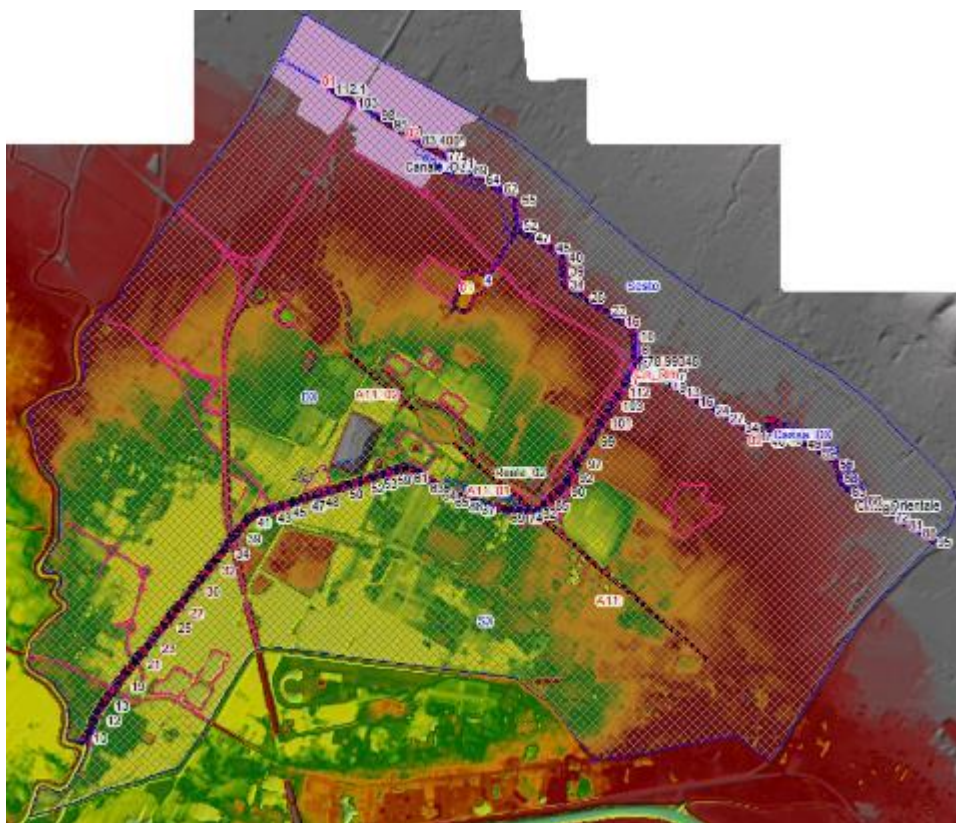


Figura 5-1. Modello geomorfologico dello Stato Attuale

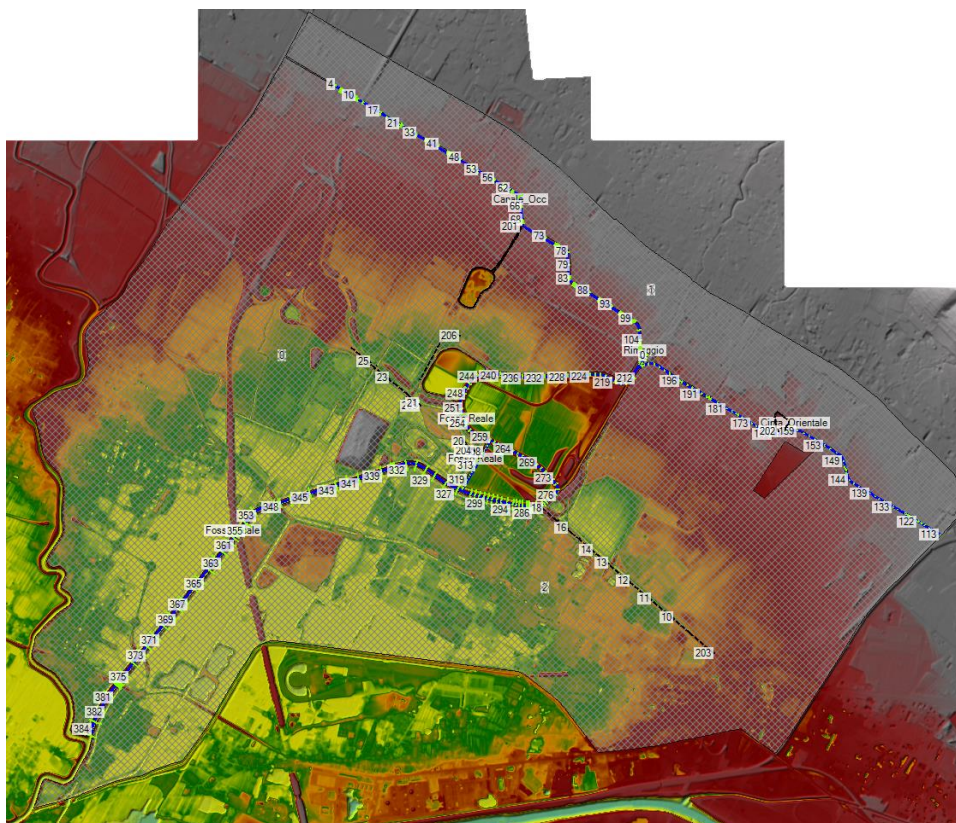
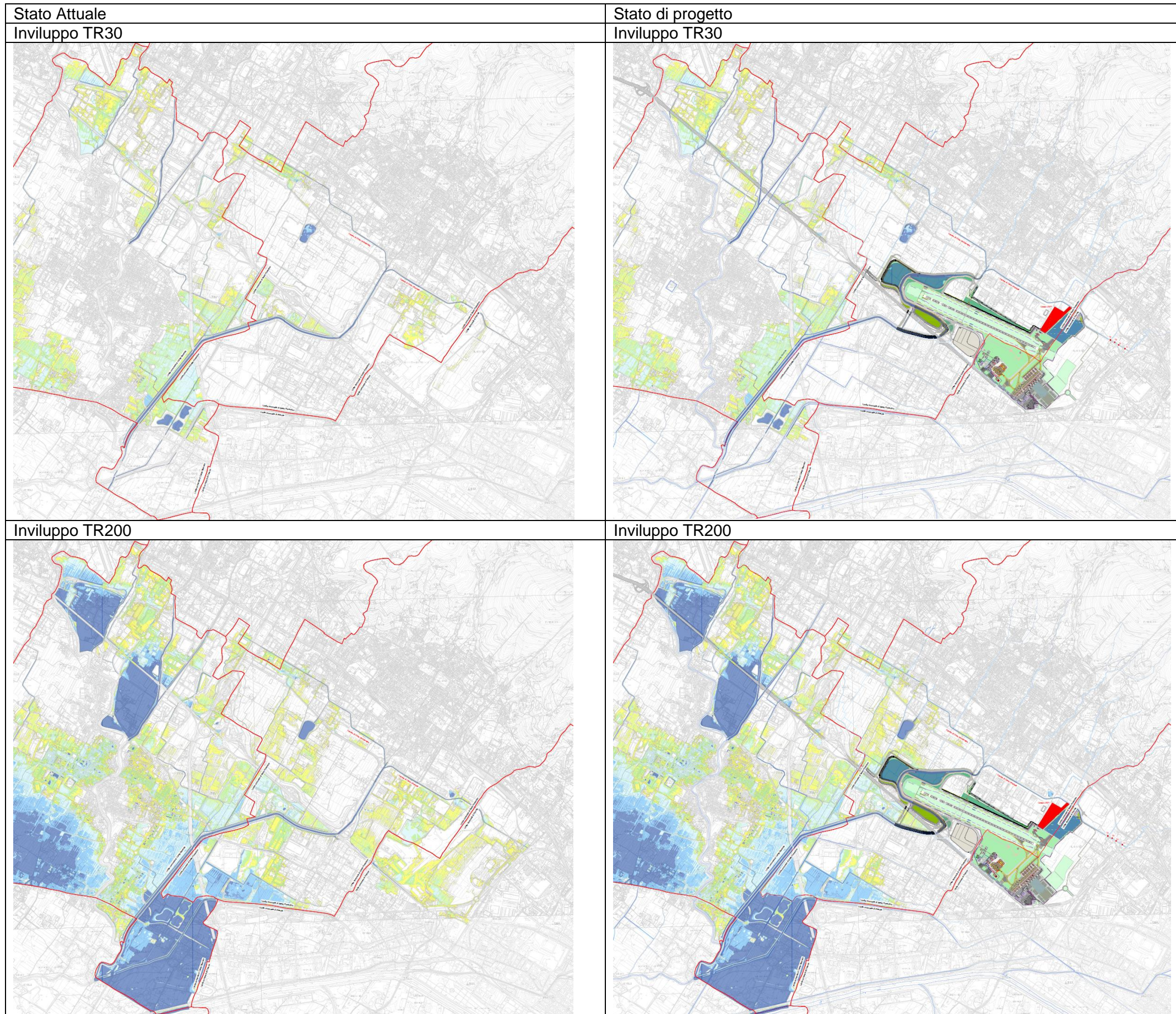


Figura 5-2. Modello geomorfologico dello Stato di Progetto



5.2 FOSSO REALE (COMPENSORIO ACQUE ALTE)

Tipologia modellazione:

- Simulazione numerica combinata 1D e quasi 2D in moto vario.

Finalità:

Valutazione degli effetti della deviazione del Fosso Reale e del futuro adeguamento complessivo, in particolare al fine del dimensionamento di tutte le opere idrauliche.

Tempi di ritorno [anni]: 30, 200, 500

Durate [ore]:

- 1, 3, 6, 12, 18, 24, 36;

Le durate scelte nelle verifiche degli stati di progetto sono quelle critiche nello stato attuale per i diversi tempi di ritorno.

Condizioni al contorno e condizioni iniziali:

- Livelli del Bisenzio alla confluenza;
- Idrogramma in testa al tratto esistente a monte dell'inizio dell'intervento di deviazione;
- Invasi inizialmente vuoti.

Differenza tra le geometrie dello Stato attuale e quelle di progetto:

Risultati ottenuti:

- Verifica e dimensionamento degli argini per garantire la sicurezza idraulica;
- Verifica e dimensionamento delle opere per la derivazione del Fosso Reale

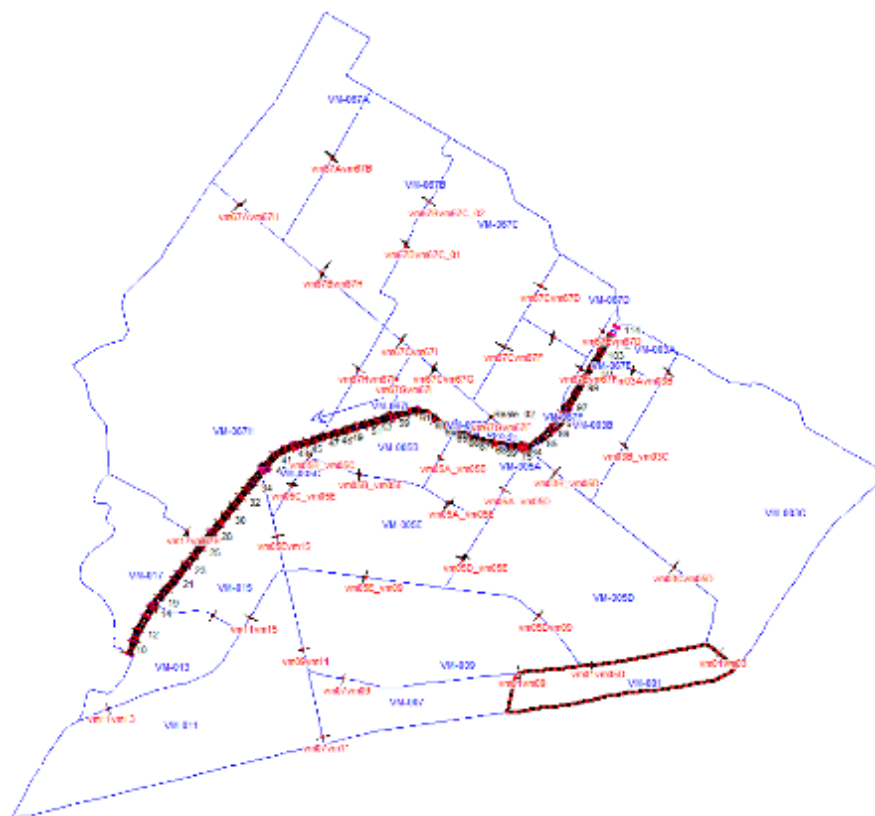


Figura 5-3. Modello geometrico dello stato attuale

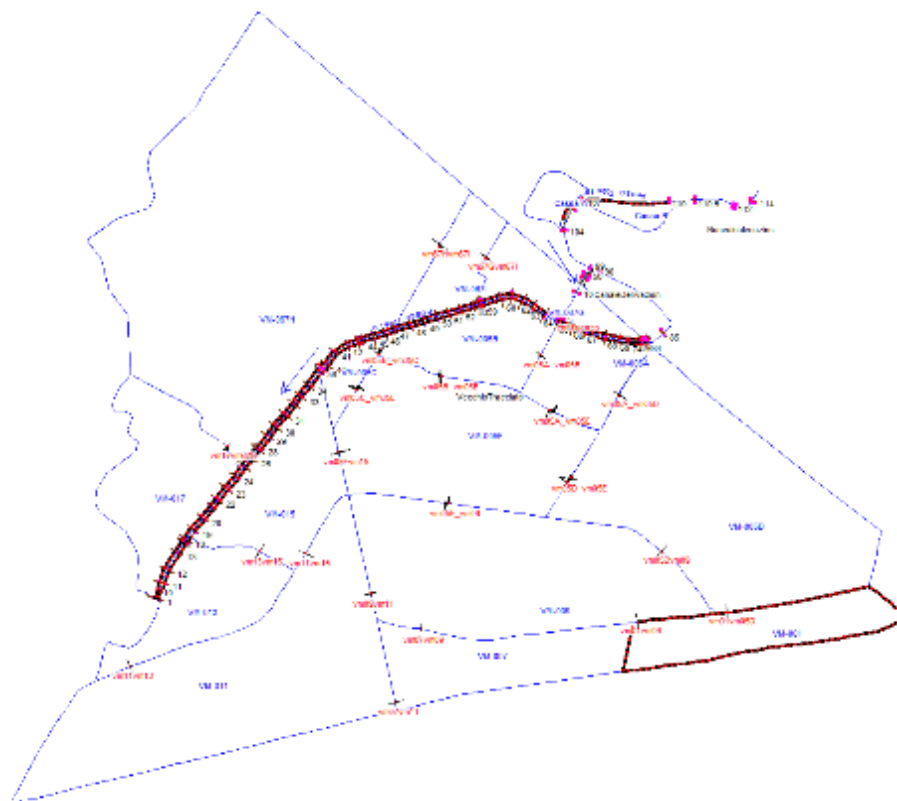


Figura 5-4. Modello geometrico dello stato di progetto

5.3 RETICOLO ACQUE BASSE INTERFERENTI CON L'AREA DI PROGETTO (COMPENSORIO ACQUE BASSE)

Tipologia modellazione:

- Simulazione numerica combinata 1D/2D in moto vario.

Finalità:

- Confronto delle aree inondabili tra Stato Attuale e di Progetto.

Tempi di ritorno [anni]: 30, 200

Gli scenari esaminati sono stati quelli relativi a eventi di durata critica 2 ore, e 6 ore per i tempi di ritorno 30, 200. L'evento di pioggia per durata critica di 6 ore è quello più gravoso per quanto riguarda le condizioni di esondazione (vedi risultati relativi ai tempi di risposta della rete).

Durate [ore]: 2, 6

Condizioni al contorno e condizioni iniziali:

- Livello allo sbocco di 35 m slm;
- Idrogramma linearmente distribuito lungo il tratto di ogni corso d'acqua.

Si riportano in Figura 5-5 e in Figura 5-6 le geometrie analizzate rispettivamente dello stato attuale delle acque basse in destra del Colatore Destro del Fosso Reale e dello Stato di Progetto, mentre successivamente il confronto tra le diverse durate per entrambi gli scenari.

Nel progetto viene realizzato un Nuovo Canale di Gronda che intercetta le acque della Gora di Sesto e del Gavine per poi mantenersi adiacente all'Area di laminazione A e affiancato al Fosso Reale in adiacenza all'area di servizio Peretola Nord. La Gronda poi sotto attraversa l'Autostrada A11 per mezzo di un tombino esistente, attualmente percorso dal Torrente Gavine, di dimensioni 2.3 (b) x 3 (h).

Dopo un tratto di circa 300 m il Nuovo Canale di Gronda sbocca nel Colatore destro del Fosso Reale. La sezione del Nuovo Canale di Gronda è di forma trapezoidale con base di 5 m, sponde con pendenza 3/2. L'altezza delle sponde è variabile compresa tra 2 e 2.5 m. La pendenza e la lunghezza dei vari tratti è riportata in Tabella 5-1.

Progressiva [m]	L [m]	i [%]
0 - 320	320	0.67
320 - 795	475	0.1
795 - 2840	2045	0.08
2840 - 2910	70	0
2910 - 3181	271	0.37

Tabella 5-1 – Lunghezza dei vari tratti e pendenza

Dal confronto tra le simulazioni dello stato attuale e dello stato di progetto si evidenzia come, indipendentemente dal tempo di ritorno, per eventi di limitata durata (2H) non si hanno evidenti differenze in termini di aree allagate, ad eccezione di un maggiore interessamento delle aree umide dell'Oasi di Focognano allo stato di progetto. Per eventi di durata maggiore (6H) invece si ha un maggiore incremento di aree interessate da incremento dei battenti idraulici all'interno dell'Oasi di Focognano ma anche di un lieve incremento in aree circoscritte a monte dell'Autostrada A11. Quest'ultime aree risultano comunque ad oggi già soggette a ristagno temporaneo per insufficienza del reticolo e non interessano aree urbanizzate o infrastrutture stradali. Inoltre, nell'area al di sopra del Nuovo Canale di Gronda in progetto si osservano, allo stato di progetto, degli apparenti aggravii dei battenti idraulici. Si tratta più specificatamente di portate che si convogliano, preferenzialmente, all'interno di sistemi di canalizzazione agricola esistenti, non andando a costituire quindi alcun aggravio del rischio idraulico nella corrispondente area. L'insufficienza del reticolo allo stato attuale risulta già evidente dalle mappe della Pericolosità riportate nel presente documento al Capitolo 2, nei quali l'intera area è individuata come soggetta ad alluvioni per eventi duecentennali.



Figura 5-5. Modello geomorfologico acque basse in destra- stato attuale

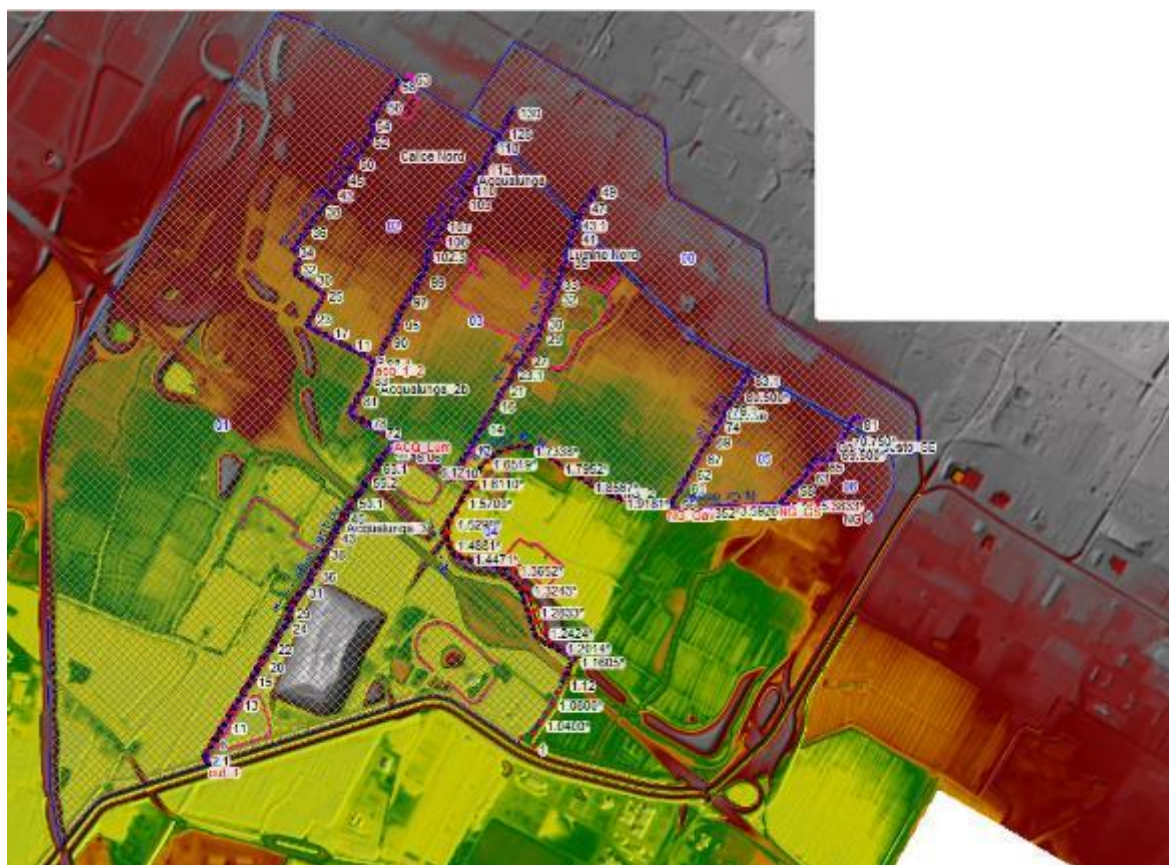
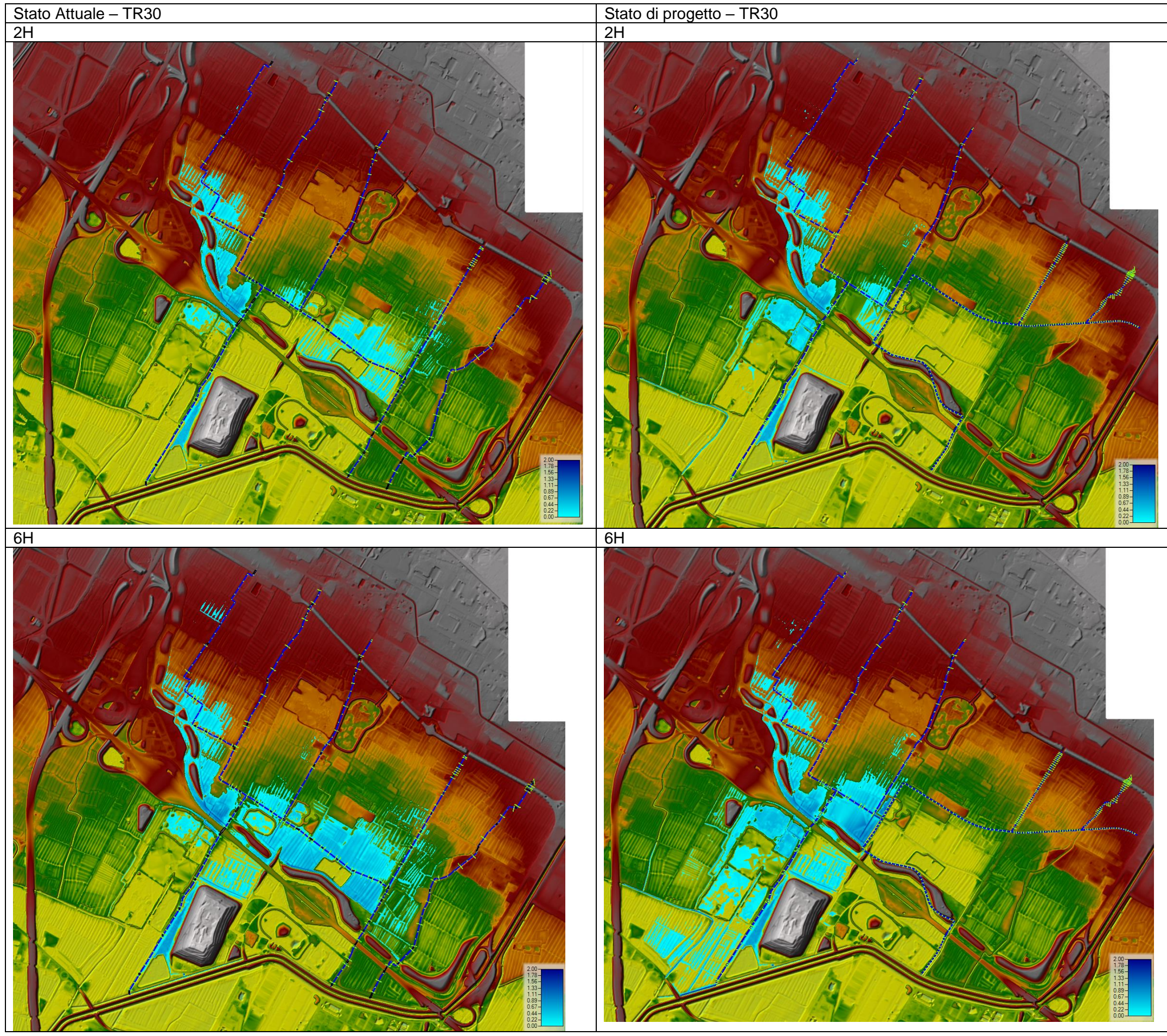
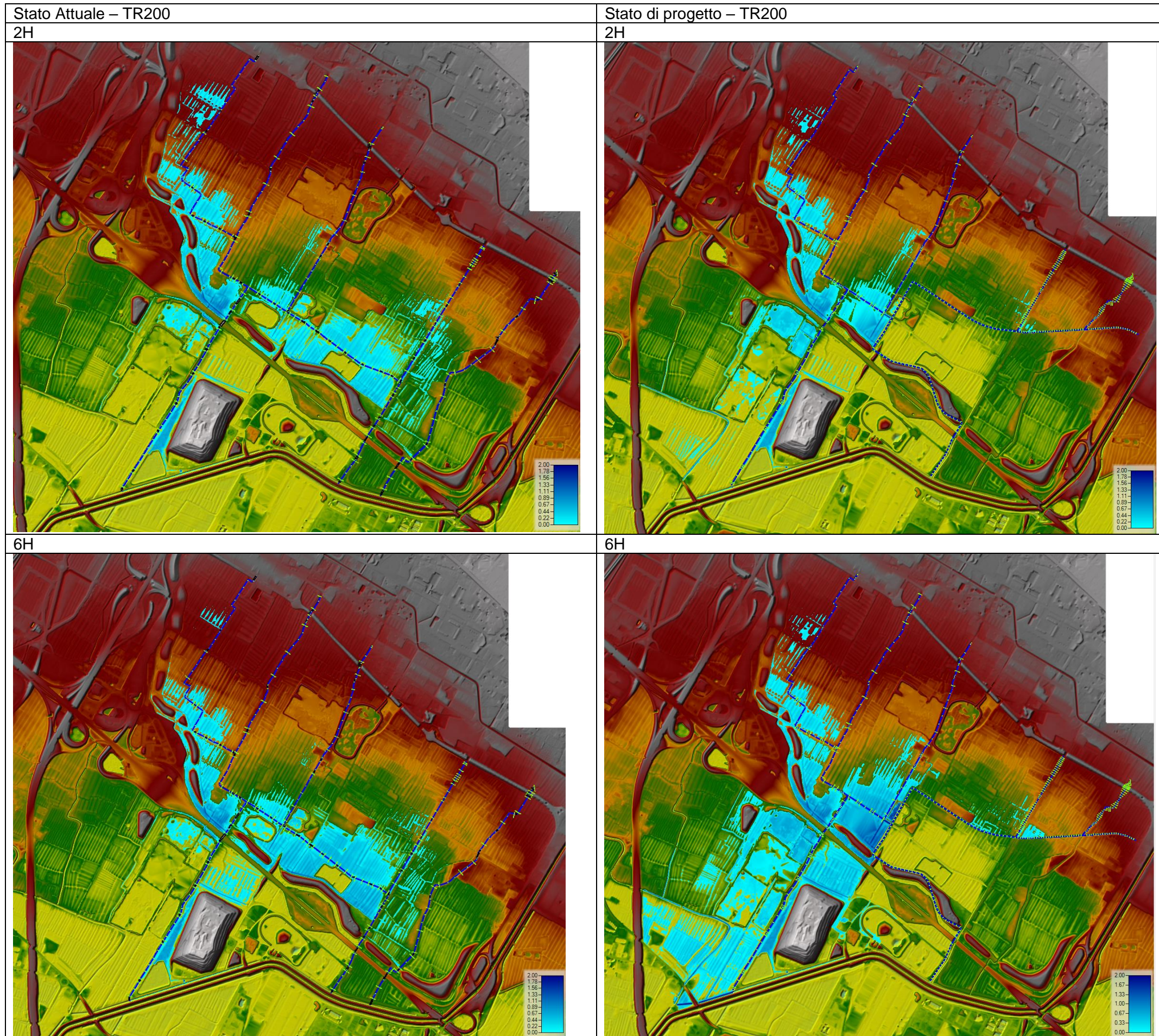


Figura 5-6. Modello geomorfologico acque basse in destra - stato di progetto





6 MODIFICA AL TRACCIATO E ADEGUAMENTO IDRAULICO DEL FOSSO REALE

6.1 STATO ATTUALE

Il Collettore Acque Alte o Fosso Reale segue il tracciato dei fossi denominati Dogaia e Reale (preesistenti al Piano di Bonifica) risalendo fino alla sezione di immissione del Torrente Rimaggio corrispondente attualmente anche a quella dei due Canali di Cinta Orientale e Occidentale, ubicata nei pressi dell'attuale Polo Scientifico Universitario di Sesto Fiorentino.

Il Fosso Reale è il principale canale artificiale arginato della "Piana". Trae origine dalla confluenza dei due collettori pedecollinari e percorre la pianura fino alla confluenza con il fiume Bisenzio. Il suo sviluppo nel tratto di pianura è di circa 6 km. Lungo il suo percorso sono presenti alcuni attraversamenti stradali, fra cui quello dell'autostrada A11, nei pressi dello svincolo di Sesto Fiorentino, alla progressiva di autostrade km 1+939.83, con quota media del piano viario a 41.6 m s.l.m.

A controllo di valle dell'intero sistema delle Acque Alte, all'immissione del Fosso Reale nel Fiume Bisenzio, sono utilizzate porte Vinciane che parzializzano progressivamente il deflusso con il rialzarsi dei livelli del fiume, fino a determinarne la completa chiusura con il transito delle piene dominanti del fiume Bisenzio.

A monte delle porte Vinciane sono poste due paratoie con funzione ausiliaria di intercettazione dei flussi nei due sensi, regolarmente aperte come raffigurate nella successiva immagine.



Figura 6-1. Foto delle porte Vinciane vista da valle, lato F. Bisenzio

Il sistema idraulico ha molteplici configurazioni di esercizio in funzione delle condizioni presenti all'immissione nel fiume Bisenzio. Queste sono ricomprese fra le due condizioni limite: quella di condizioni di piena del canale e condizione di magra o morbida del fiume Bisenzio e quindi con deflusso libero, non rigurgitato, e quella di deflusso completamente rigurgitato con interdizione dello scarico nel fiume ed invaso nella rete idraulica.

In destra idraulica del canale di Cinta Occidentale è stata realizzata recentemente una cassa d'espansione denominata *Cassa di Padule*. La cassa consente di attenuare l'insufficienza idraulica del corso d'acqua, come evidenziato negli studi idraulici a supporto del secondo Regolamento Urbanistico Comunale - RUC - di Sesto Fiorentino (adottato con *Deliberazione Consiliare n. 35 del 18/04/2013*, e approvato con *Deliberazione Consiliare n. 6 del 28/01/2014*, efficace dal 26 marzo 2014 con la pubblicazione dell'avviso sul BURT).

La cassa di espansione ha un'estensione di 5,4 ha ed una capienza di 83.000 mc invasabili a quota 38.80 m s.l.m. (coronamento circa a 40.15 - 40.30 m s.l.m.). L'immissione avviene attraverso uno sfioro in cemento armato con canale di adduzione inizialmente in cemento armato a sezione rettangolare in scavo e, successivamente, in terra a sezione trapezoidale, arginato. Lo scarico è garantito da due tubi con diametro $D = 0,8$ m controllati da paratoie che immettono nel canale Lumino Nord, sistema delle acque basse.

In sinistra idraulica del Canale di Cinta Orientale è prevista la realizzazione di una seconda cassa d'espansione e la regolarizzazione delle quote di sponda del Canale (nel comune di Sesto Fiorentino). L'intervento è fra quelli già pianificati nel RUC di Sesto Fiorentino.

I suddetti interventi sono contenuti nel progetto denominato "Progettazione delle opere per la messa in sicurezza idraulica del Polo Scientifico e Tecnologico di Sesto Fiorentino", redatto dall'Università degli Studi di Firenze, che al 2017 è stato approvato in linea tecnica, con la chiusura della Conferenza dei Servizi dichiarata dal Provv. alle Opere Pubbliche della Toscana-Umbria-Marche con nota 2671 del 15 aprile 2015. Di seguito si riportano i dati principali desunti dalla Relazione illustrativa del Progetto.

La cassa di espansione attingerà dal Canale di Cinta Orientale e sarà ubicata in sponda sinistra, avrà un'estensione di circa 4,0 ha ed un volume utile di 190.000 mc a quota 43.30 m s.l.m. L'immissione avverrà attraverso una soglia di sfioro con canale di adduzione con sezione trapezoidale. Il fondo della cassa avrà una pendenza per il drenaggio da nord verso sud. Lo scarico di fondo sarà realizzato mediante un manufatto con organi di controllo posizionato nell'argine sud che recapiterà nella rete delle Acque Basse gestite dal Consorzio, attraverso il Nuovo Canale Lupaia Giunchi realizzato nell'ambito dell'intervento aeroportuale di progetto.

6.2 STATO DI PROGETTO – NUOVA INALVEAZIONE DEL FOSSO REALE CON DERIVAZIONE DELLE PORTATE DI MAGRA

Questa soluzione progettuale prevede la realizzazione di un nuovo tracciato denominato “Nuova inalveazione” del Fosso Reale, che aggira la nuova pista di volo e si reimmette nel Fosso Reale esistente a monte dell’attraversamento dell’autostrada A11, e la realizzazione di un canale di Derivazione dal Fosso Reale, a servizio del solo deflusso di magra.

La nuova inalveazione del Fosso Reale inizia nei pressi dello stabilimento Baxter, davanti al Polo Universitario. Da questo punto devia in direzione Ovest, prosegue parallelamente al nuovo sedime aeroportuale, aggira a ovest la parte terminale della pista in cui esegue una conversione a U verso Est, passando fra il rilevato della stazione di servizio Peretola e la nuova pista dell’aeroporto di progetto.

Nel tratto di affiancamento alla pista di volo è prevista, in destra idraulica, la realizzazione del Canale di derivazione delle portate di magra, mentre la Nuova inalveazione prosegue per poi ricollegarsi al tracciato attuale del Fosso Reale all’altezza del ponte autostradale esistente al km 1+939.83 dell’autostrada A11.

Il tratto principale di Nuova inalveazione consente l’ufficiosità idraulica in caso di piena.

In corrispondenza della derivazione delle portate di magra, i due rami del Fosso Reale (“Nuova inalveazione” e “Canale di Derivazione”) sono separati da una soglia rialzata dal fondo (punto B in Figura 6-2).

L’alveo passa da quota 33.68 m s.l.m a 35.68 m s.l.m.. La soglia nelle condizioni ordinarie di deflusso non viene superata dalla portata di magra del Fosso Reale, permettendo che quest’ultima venga indirizzata verso il canale di Derivazione. In caso di portate superiori e di piena, invece, la soglia così progettata permette quindi alla portata di sfruttare la sua più ampia sezione geometrica. Sia la prima parte, fra l’inizio dell’intervento e il punto di distacco del canale di derivazione (tratto A-B in figura), che la seconda parte, fra la soglia e il termine dell’intervento (tratto B-D in figura) hanno pendenza media del fondo di 0,0013 m/m.

Il canale che si dirama dall’alveo principale in prossimità della soglia, come già anticipato, funzionerà nella maggior parte del tempo per il deflusso della portata ordinaria delle Acque Alte e ne verrà escluso durante le piene. Il canale di Derivazione attraversa l’autostrada a est delle stazioni di Servizio in corrispondenza di un tombino esistente e si reimmette nel corso principale del Fosso Reale più a sud, a valle del ponte autostradale, attraversando il territorio dell’area adiacente a Case Passerini.

Oltre che dalla soglia, il deflusso nel canale di Derivazione è regolato da paratoie piane, sia nella sua sezione di monte che in quella di valle.

Nella sezione di monte è previsto un doppio sistema di paratoie piane (una di sicurezza all'altra), nella sezione di valle sono presenti due organi di chiusura: una paratoia piana ed una paratoia del tipo a clapet, in corrispondenza della reimmissione nell'alveo attuale.

Le paratoie, ad eccezione del clapet, sono comandate elettricamente in funzione dei livelli idrici. Gli organi d'intercettazione del deflusso possono escludere il deflusso dal canale di derivazione oltre che in automatico con il raggiungimento di livelli critici di piena, anche in qualsiasi altro istante mediante azionamento manuale delle paratoie.

Dal punto di vista progettuale si prevede l'interruzione della derivazione quando il livello idrico di scorrimento nel tombino autostradale è prossimo al suo estradosso. Tale deflusso corrisponde alla portata di 6 m³/s ca.

Il nuovo canale sottopassa l'autostrada A11 utilizzando un nuovo ponticello autostradale alla progressiva km 2+557.36. La struttura consente questo intervento in quanto realizzata con piedritti che sostengono l'impalcato aventi fondazioni indipendenti sia nel tratto di ponticello sotto l'autostrada attuale, sia nel suo prolungamento di terza corsia. La realizzazione di questa opera è legata all'interferenza che si viene a creare tra la Nuova Gronda e la fognatura Opera 6 se il Nuovo Canale di Derivazione interessasse l'attuale alveo del Fosso Gavine.

A valle dell'autostrada il canale ha sezione trapezoidale, fondo di larghezza 3 m e altezza minima 2 m, con sponde inclinate 3 su 2 (oriz./vert.) fino al suo ricongiungimento di valle con l'alveo attuale del Fosso Reale.

Il canale a valle del tombino di derivazione non è arginato e pertanto dovrà essere escluso dal sistema con l'ausilio di sistemi meccanici ogni qualvolta si presentano portate superiori a 6 mc/s.

Il tracciato di nuova inalveazione a valle della derivazione entrerà esclusivamente in funzione dopo chiusura delle paratoie che permettono al livello idrico di superare la soglia senza fuoriuscita a lato campagna.

L'intervento sul Fosso Reale prosegue anche sul tratto a valle dell'attraversamento autostradale esistente, fino all'attuale confluenza. In quest'ultimo tratto si prevede l'adeguamento in altezza degli argini. L'intervento di rialzamento è stato progettato con la realizzazione di muri in CA, fondati su pali sia sull'argine in destra che in sinistra. Il muro di sottoscarpa del nuovo argine consente di non aumentare l'ingombro in pianta dello stesso. Lungo questo tracciato, infatti, il corso d'acqua passa in una zona che, per quanto soggetta a pericolosità idraulica è densamente industrializzata, rendendo non percorribile prevedere ulteriore consumo di territorio. Questa soluzione incrementa la stabilità del rilevato arginale migliorando la sicurezza geotecnica e conseguentemente quella idraulica degli argini.

Prima del ricongiungimento del Canale di Derivazione è necessario un sottoattraversamento della strada di accesso a Case Passerini mediante uno scatolare di dimensioni 3x2.5 (H) in modo tale da garantire il franco idraulico richiesto dalle NTC per tombini nel caso di portate di magra.

Le opere di riassetto del reticolo idraulico si completano con due casse di laminazione idraulica sul Fosso Reale, denominate rispettivamente “**Area di laminazione A**” e “**Area di Laminazione B**”:

- L’**Area di laminazione A** ha una capacità d’invaso di circa **500.000 m³**, con argini a quota 41,10 m s.l.m., ed è dotata di una **soglia di sfioro dello sviluppo di 40 m posta a quota 38,00 m s.l.m.**

La cassa si estende in corrispondenza dell’area adiacente alla testata 11 della nuova pista di volo su circa 13 ha (argini compresi), con quota di fondo media di 35,30 m s.l.m. ed argini a quota 41.10, la stessa del coronamento arginale del Fosso Reale, in modo da garantire la continuità dell’arginatura. Lo scarico della cassa avviene a gravità direttamente nel tracciato di Nuova inalveazione del Fosso Reale attraverso due condotte scatoari di 2 x 2 m controllate con clapet a valle e paratoie di sezionamento a monte.

- La **Area di laminazione B** ha capacità d’invaso di circa **260.000 m³** con argini a 41,10 m s.l.m., ed è collegata al corso d’acqua mediante una lunga **soglia di sfioro dello sviluppo di circa 500 m posta a quota 38,00 m s.l.m.**, realizzata in massi intasati di cls. La cassa di laminazione si sviluppa quindi in linea alla Nuova inalveazione del Fosso Reale, estendendosi su circa 10 ha (argini compresi), con quota di fondo mediamente conforme al piano di campagna attuale di 36,00 m s.l.m. ed argini a quota 41.10 m s.l.m., la stessa di coronamento del tratto di nuova inalveazione del Fosso Reale, per cui la continuità dell’arginatura viene garantita. Lo scarico della cassa avviene a gravità direttamente nell’alveo rispettivamente in due diversi punti, mediante due condotte circolari di diametro 800 mm controllate con clapet. Gli argini del Fosso Reale nel tratto iniziale di nuova inalveazione di monte, alla confluenza dei due canali di cinta, hanno quota di coronamento a 42.50 m s.l.m. e si raccordano gradualmente alla quota di 41,10 m s.l.m. del tratto successivo.

In figura seguente si riporta uno schema delle opere e degli interventi idraulici di progetto previsti nella nuova soluzione. Questo riassetto del reticolo idrografico dà ridondanza idraulica al sistema per mezzo della duplice canalizzazione: dei flussi di magra e piena del Fosso Reale. L’aggravio gestionale dovuto alla presenza di paratoie automatizzate è compensato dalla maggior pendenza dell’alveo che consente maggiori velocità e quindi minor rischio di interrimento, aspetto che invece sarebbe più impattante nel caso in cui venisse eliminato l’alveo di derivazione (flusso di magra). In questo caso, infatti, la pendenza del Fosso Reale si ridurrebbe, dovendo raccordare lo stesso dislivello con un unico profilo di fondo. Inoltre, eventuali depositi si concentrano nel punto di rialzamento del fondo (punto B), in quanto, nella fase di passaggio tra la piena e la magra, contestualmente ad una riduzione di portata, possono verificarsi vortici che riducono la velocità e quindi la capacità di trasporto solido. Pertanto, invece di procedere ad interventi di manutenzione ordinaria del Fosso Reale, con periodiche riprofilature del fondo come avviene allo stato attuale, è

possibile eseguirne una straordinaria in caso di evento eccezionale garantendo il medesimo effetto.

.

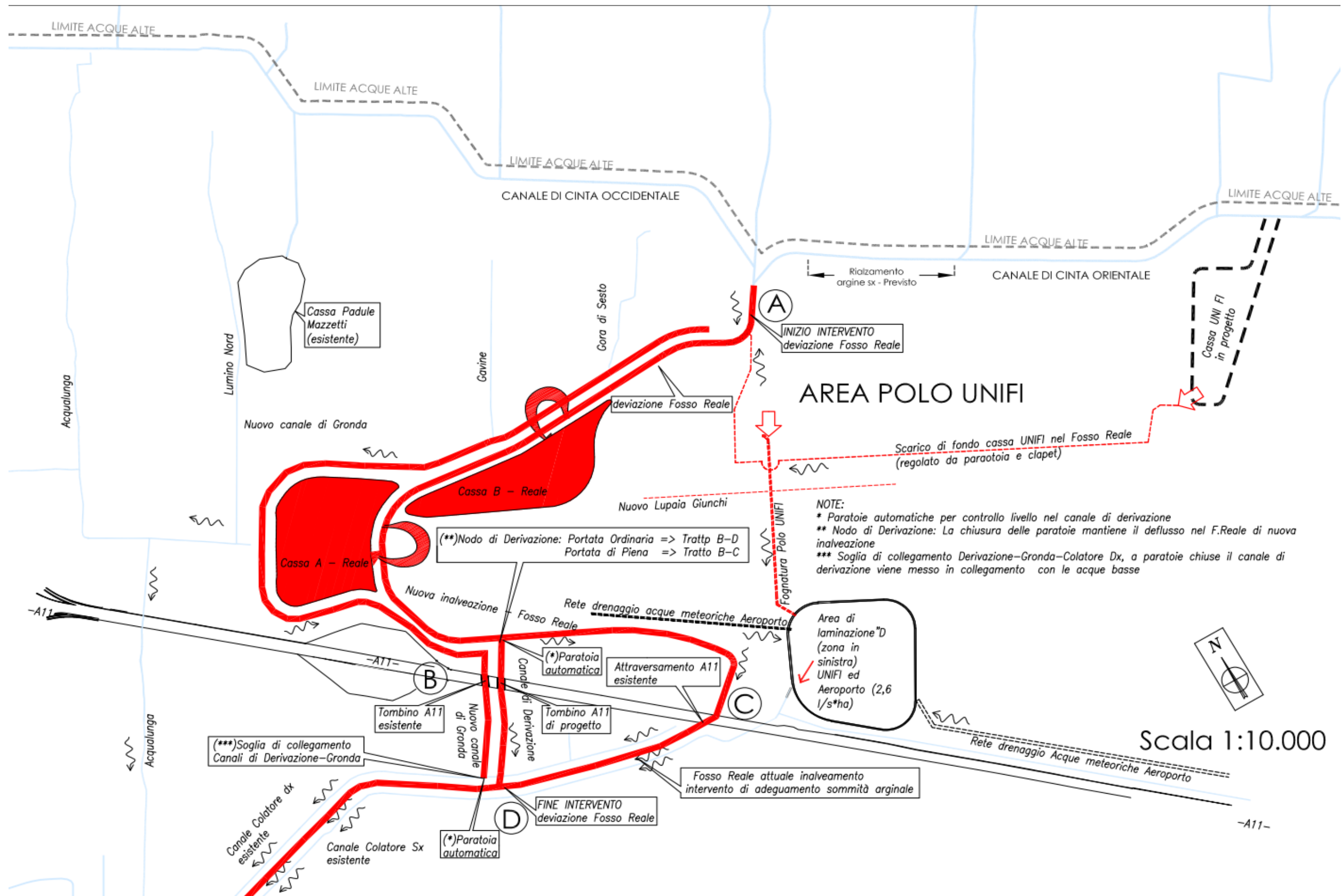


Figura 6-2 – Schema della sistemazione di progetto

6.2.1 La sezione fluviale

Si riportano di seguito le sezioni tipo del Fosso Reale, nello stato attuale e di progetto, da queste risulta che la larghezza dell'alveo, misurata al filo interno del coronamento, è mediamente 28-30 m nello stato attuale e si incrementa nello stato di progetto a 37 m, con banchina interna superiore all'alveo di magra. Al di sotto della banchina l'alveo è rivestito in pietrame intasato. Nella conformazione attuale il rivestimento delle sponde è del tutto assente.

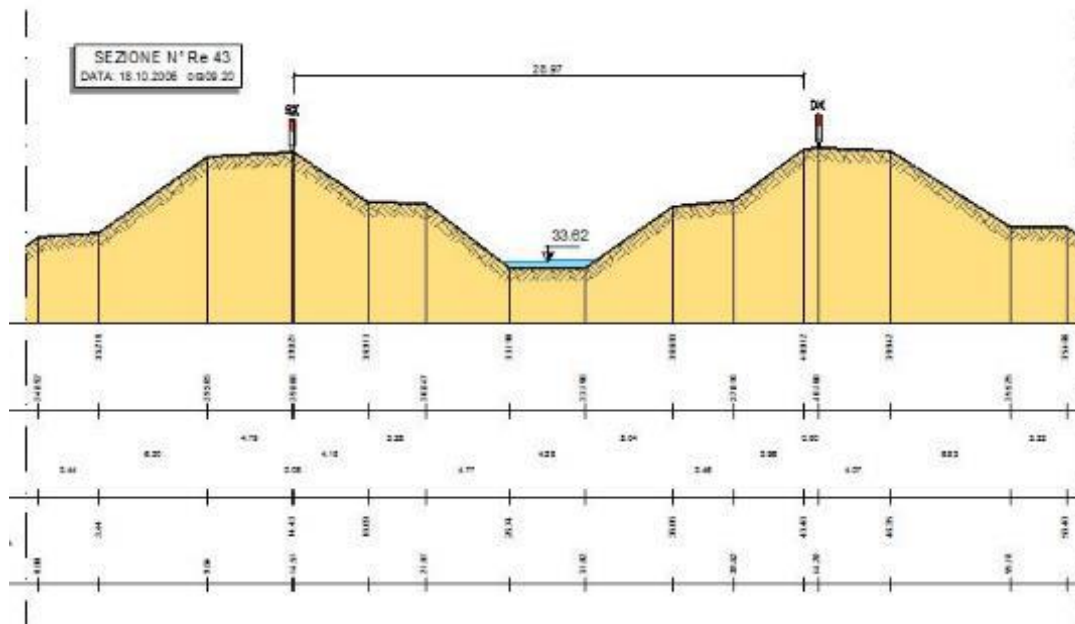


Figura 6-3 Sezione intermedia del Fosso Reale a monte dell'autostrada A11 (Stato attuale)
(fonte C. Bonifica 3 Medio Valdarno)

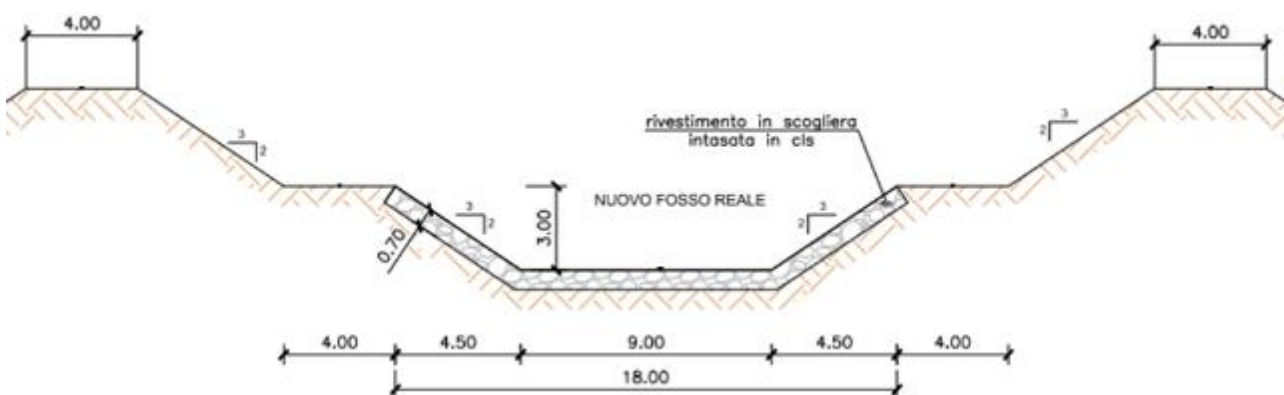


Figura 6-4 Sezione tipo di progetto del nuovo Fosso Reale: Ramo A Principale (nella porzione di monte) e Ramo B Nuova inalveazione.

Il progetto prevede la realizzazione di due ponti sul tracciato di Nuova Inalveazione del Fosso Reale. Il primo, subito a valle della deviazione in prossimità del Polo Universitario, ha una luce di 26,00 m, con intradosso a quota 42,50 m s.l.m.

Il secondo ponte, situato a sud della nuova pista di volo subito a monte rispetto alla reimmissione della Nuova inalveazione nel tracciato del Fosso Reale esistente, permette l'ingresso autostradale di Sesto Fiorentino e l'accesso a Case Passerini e ha una luce di 30 m, con intradosso a quota 42,21 m s.l.m..

Il ponte autostradale esistente (Op. 13 Progr. km 1+939.83) su Via dell'Osmannoro, non interessato da interventi di progetto, trova un beneficio idraulico dall'adeguamento della sezione del Fosso Reale in quanto comporta riduzione del livello idrico. Non è stata approfondita l'eventualità di un nuovo attraversamento autostradale per le motivazioni riportate al paragrafo 6.2.10.

Nella tabella sottostante sono riportate a confronto le caratteristiche salienti del Fosso Reale nella situazione attuale e nelle due soluzioni di progetto descritte: Soluzione 1 (di seguito semplicemente "soluzione di progetto") e Soluzione 2:

FOSSO REALE	ESISTENTE	PROGETTO		
		NUOVA INALVEAZIONE		ADEGUAMENTO TRACCIATO ATTUALE
		Tratto A-B	Tratto B-C	Tratto C-D
Lunghezza	3720 m (da Baxter fino a valle del Fosso Gavine)	1980 m	710 m	1030 m
Pendenza media	0,0012 m/m	0,0013 m/m	0,0013 m/m	0,002 m/m
Sezione tipo	Vedi tavole specifiche	Vedi tavole specifiche	Vedi tavole specifiche	Vedi tavole specifiche
Quota argine (min. in sx e dx idr.)	39.84 s.l.m. (alla confluenza del Ramo A di progetto)	Da 42.50 a 41.10 m s.l.m. fino a valle dell'Area di laminazione B, poi 40.70 m s.l.m.	40.70 m s.l.m.	40.70 m s.l.m.
Rivestimento alveo di magra (gaveta)	Rivestito in cls	Scogliera intasata in cls.	Scogliera intasata in cls	Completamento protezione sponde
Scabrezza delle pareti	Alveo di magra 0.030 m s ^{-1/3} Banchine e sponde 0.030 m s ^{-1/3}	Alveo di magra 0.025 ms ^{-1/3} Banchine e sponde 0.030 m s ^{-1/3}	Alveo di magra 0.025 ms ^{-1/3} Banchine e sponde 0.030 ms ^{-1/3}	Alveo di magra 0.030 m s ^{-1/3} Banchine e sponde 0.030 m s ^{-1/3}

6.2.2 Area di laminazione A

Si tratta della cassa d'espansione posta all'estremità ovest dell'area d'intervento, in destra idraulica del nuovo tracciato del Fosso Reale, nel punto in cui il tracciato idraulico supera e aggira la nuova pista di volo aeroportuale, in corrispondenza della testata 11.

La cassa occupa un'area avente superficie di circa 11 ha, al netto delle arginature, e presenta una capacità di invaso statico (volume al di sotto della soglia di sfioro) di 280.000 m³ e capacità di invaso dinamico (al di sopra della soglia di sfioro) di oltre 220.000 m³ per un **invaso totale di 500.000 m³** (volumetria dinamica al netto del franco)

Il fondo della cassa è posizionato a una quota media di 35,30 m.s.l.m. (prossimo al piano campagna attuale), **gli argini sono a quota 41,10 m s.l.m.**, la stessa delle arginature del nuovo Fosso Reale.

Il massimo livello d'invaso, calcolato per $T_r = 200$ anni e durata dell'evento di pioggia di 18 ore, risulta a quota 39.72 m s.l.m. Il franco idraulico nella cassa nello scenario di piena più sfavorevole è circa 1.38 m s.l.m..

La pendenza delle scarpate in terra è di 2/1 (O/V) all'interno e 3/2 (O/V) all'esterno della cassa.

L'interno della cassa è raggiungibile mediante rampe collegate alla viabilità minore al servizio dei campi.

La cassa è dotata di soglia di sfioro della lunghezza di 40 m in destra idraulica del Fosso Reale, avente quota 38.00 m s.l.m., che consente di ottimizzare la laminazione degli eventi di piena duecentennale per le durate critiche brevi degli idrogrammi di piena. Questa impostazione è anche funzionale a evitare di ritardare il colmo della piena del Fosso Reale per effetto della cassa di laminazione su durate maggiori, che tenderebbe in tal modo a sincronizzarla con il colmo di piena del fiume Bisenzio, comportando un peggioramento delle condizioni di scolo e di rischio idraulico.

La soglia di sfioro ed i paramenti interessati da sormonto sono protetti internamente ed esternamente mediante rivestimento con scogliera in pietrame intasata in cls, spessore medio di 0,7 m.

Lo scarico avviene a gravità direttamente nell'alveo del Nuovo Fosso Reale con tempo di svuotamento di circa 4 ore in condizioni di deflusso alla confluenza Fosso Reale – Fiume Bisenzio non rigurgitato (accumulo statico nel canale defluito a porte Vinciane di scarico nel Bisenzio aperte).

Il manufatto di scarico è realizzato in calcestruzzo, nella parte interna alla cassa sarà realizzata una griglia di trattenimento del materiale flottante, realizzata mediante profilati metallici ancorati alla soletta di fondazione.

Per la fuoriuscita dell'acqua vengono realizzate due condotte scatolari di dimensione 2 m x 2 m, munite di paratoie a strisciamento (SC1 e SC2) su ruote a monte e clapet d'intercettazione a valle.

Le paratoie saranno normalmente chiuse e verranno aperte in funzione dell'instaurarsi di livelli definiti nel Fosso Reale.

L'apertura delle paratoie avviene quando ancora le paratoie dell'alveo del canale di Derivazione delle portate di magra sono chiuse.

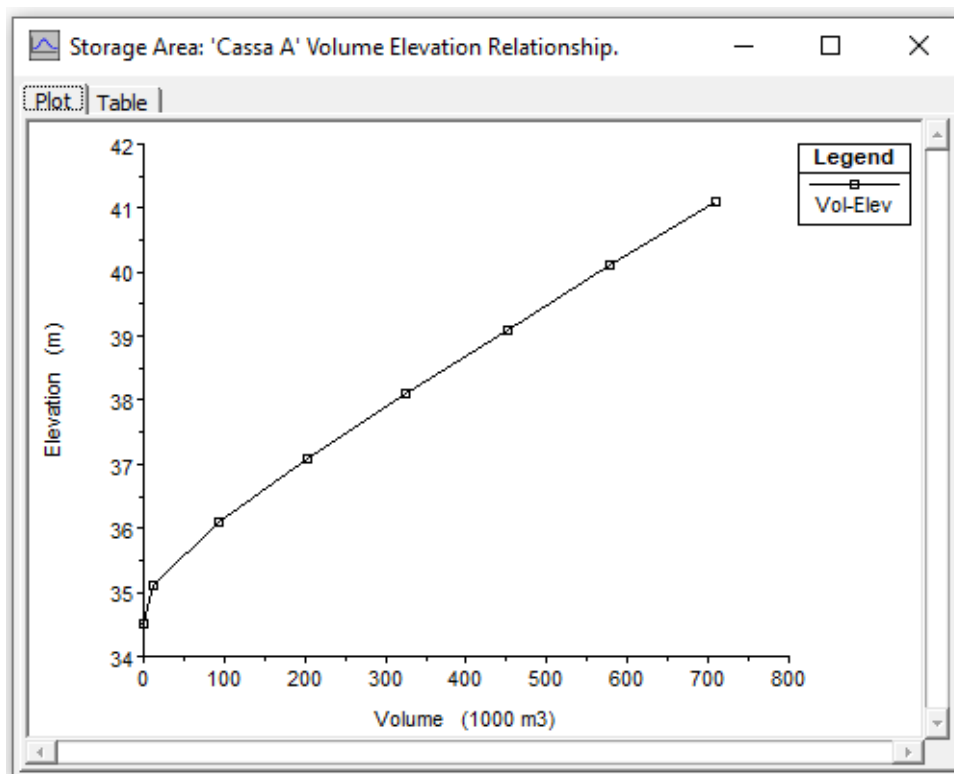


Figura 6-5 – Curva di invaso Area di Laminazione A

6.2.3 Area di laminazione B

La cassa B occupa un'area di circa 8 ha, al netto delle arginature, ha una capacità di invaso statico (volume al di sotto della soglia di sfioro) di 135.000 m³ e dinamico (al di sopra della soglia di sfioro) di oltre 125.000 m³ per un **invaso totale di 260.000 m³** (volumetria dinamica al netto del franco), alla quota di 39.75 m s.l.m. (con franco di 1,35 m rispetto coronamento degli argini a 41,10 m s.l.m.) ed è dotata di una **soglia di sfioro dello sviluppo di circa 500 m posta a quota 38,00 m s.l.m.** (h media 2,0 m rispetto al fondo della cassa).

L'area di laminazione B si estende su circa 10 ha (argini compresi), con quota di fondo dell'ordine di 36,00 m s.l.m. (piano di campagna) ed argini a quota 41.10 m s.l.m., la stessa di coronamento del Fosso Reale per cui la continuità dell'arginatura viene garantita.

Lo scarico della cassa avviene a gravità direttamente nell'alveo del nuovo Fosso Reale attraverso quattro condotte circolari diametro 0.8 m controllate con clapet a valle.

Si riporta in Figura 6-6 la curva di invaso dell'Area di Laminazione B

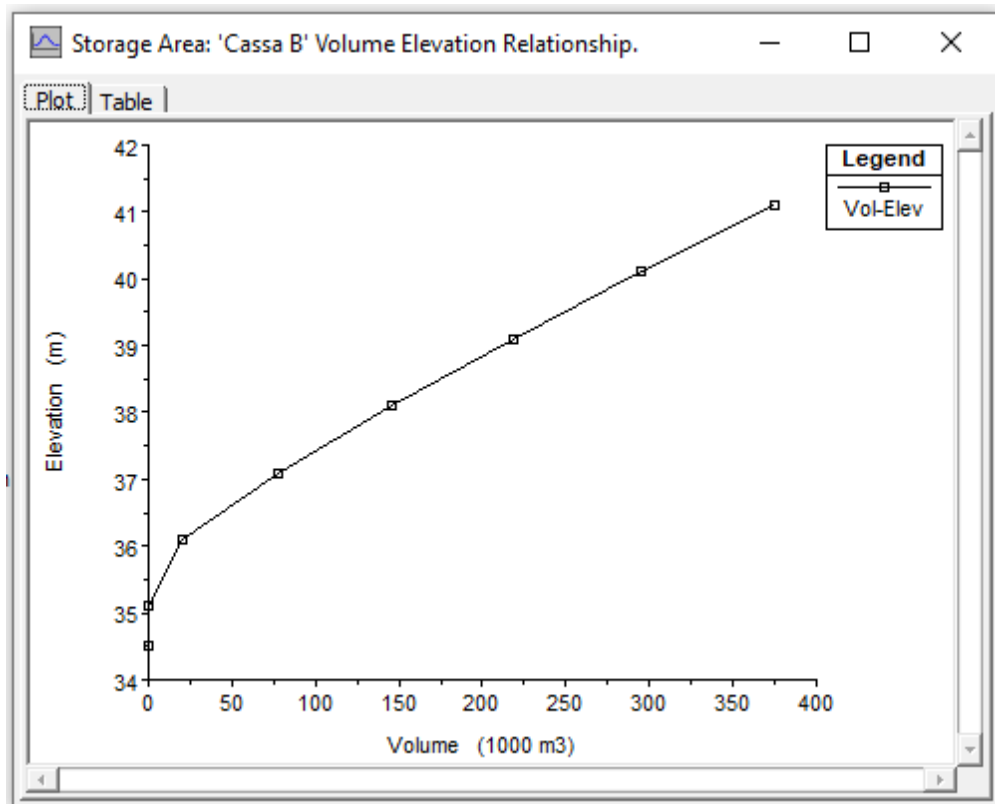
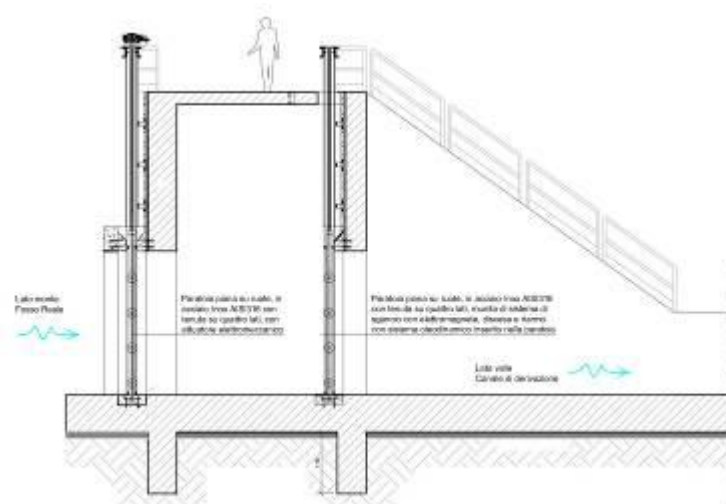


Figura 6-6 - Curva di invaso Area di Laminazione B

6.2.4 Nodo di derivazione

Il canale è rappresentato dal manufatto di captazione del deflusso dal Fosso Reale.

La sezione d'inizio del canale di derivazione ha luce di dimensione 3.5 m x 2.5 m (H).



L'apertura è regolata da due paratoie piane, disposte in serie. Si prevedono manufatti in acciaio con organi di strisciamento su ruote, azionati con comando elettromeccanico a vite non saliente di chiusura e apertura. La seconda paratoia di sicurezza, delle medesime dimensioni (3.5x2.5), è posta a valle della precedente, nel medesimo manufatto di derivazione. È tenuta aperta da un

sistema elettromagnetico che consente di eseguire la chiusura del canale mediante interruzione del circuito elettrico in caso di malfunzionamento della prima paratoia.

Il riarmo della paratoia potrà avvenire mediante sollevamento con sistema oleodinamico. Il sistema oleodinamico offre miglior efficienza in fase di chiusura, potendo disporre di un sistema di frenatura anche in assenza di alimentazione.

La paratoia è normalmente aperta per consentire il deflusso nella maggior parte dell'anno. La chiusura avviene in occasione degli eventi di piena, mediante attuatore collegato a sensori di livello sul Fosso Reale. A seguito della chiusura, il livello del Fosso Reale salirà fino a superare la soglia di sfioro, posta a quota 35.68 m s.l.m., quindi con altezza di 2.00 m rispetto al fondo. Superata la soglia il deflusso si indirizza nel tratto BC.

6.2.5 *Locale tecnico*

Il sistema dovrà possedere un locale tecnico per l'alloggiamento dei sistemi di controllo elettromeccanici e gruppi elettrogeni al fine di garantire il regolare funzionamento del Canale di Derivazione.

Il locale tecnico idoneo, che ha dimensioni in pianta 7,50 m x 3,50 m ed altezza 3.1 m, sarà ubicato in prossimità della derivazione, su un apposito ampliamento dell'argine.

Nel locale saranno centralizzati i quadri di comando sia delle paratoie di chiusura/apertura del canale, di monte e di valle, sia delle paratoie di scarico della Area di laminazione A.

Il locale sarà costituito da almeno due vani di cui uno contenente il quadro elettrico e le apparecchiature di controllo ed il secondo il gruppo elettrogeno.

Sono state ipotizzate tutte le apparecchiature necessarie per consentire l'alimentazione in continuità assoluta (apparecchiature informatiche) ed emergenza (alimentazione paratoie), come:

- gruppo statico di continuità.
- gruppo elettrogeno.
- centralina di pressurizzazione del circuito oleodinamico.

È prevista la predisposizione delle infrastrutture (tubazioni e fibra ottica) per l'eventuale futuro controllo delle paratoie con telecamere.

Sui quadri elettrici destinati all'alimentazione delle motorizzazioni di paratoie o pompe di sollevamento, sono da prevedersi sistemi PLC in modo che possano essere raccolti tutti gli allarmi/stati degli interruttori, ingressi analogici per sensori radar di livello ecc. e acquisite le grandezze elettriche (V/I/kW/kWh, ecc.), in modo da poter programmare la logica di funzionamento definita con gli Enti Competenti.

Il locale sarà accessibile mediante rampe di accesso provenienti dalle piste di manutenzione dedicate al gestore, intorno al fabbricato è prevista una fascia di manutenzione di larghezza 4 m.

Il locale è servito da linea elettrica dedicata proveniente dalla cabina di trasformazione che è posta al piede dell'argine del Fosso Reale, in sinistra prima della soglia di nuova inalveazione. La cabina è ben raggiungibile attraverso la nuova viabilità.

6.2.6 Canale di derivazione dal Fosso Reale

Il Canale di derivazione inizia in destra idraulica della Nuova inalveazione del Fosso Reale in corrispondenza della paratoia d'intercettazione sul Fosso Reale, a nord dell'autostrada A11. Il canale attraversa l'autostrada A11 per mezzo di un nuovo tombino di dimensioni 3x3 (H).

Il canale porta i deflussi ordinari (di magra) del Fosso Reale senza impegnare il tratto di nuova inalveazione (tratto B-C), riservato alla portata di piena.

Il canale ha forma trapezoidale, larghezza del fondo 3 m, altezza minima 2.50 m, pendenza delle scarpate 3/2 e lunghezza 410 m circa.

In occasione delle piene del Fosso Reale la Derivazione viene disconnessa dal regime di portata di Acque Alte e diviene a tutti gli effetti un canale di Acque Basse.

La confluenza del canale nel vecchio alveo avviene attraverso un condotto scatolare di dimensioni 3,0 m x 2,0 m (H) ed è regolata da una paratoia su ruote, di dimensioni 3,0 m x 2,0 m (H) di luce libera, e da una paratoia di non ritorno.

La paratoia è posizionata in modo da contenere la pressione derivante dai livelli di piena del Fosso Reale. Il manufatto di alloggiamento della paratoia di valle ha quota sommitale pari a quella dell'argine del Fosso Reale.

La paratoia del tipo su ruote è comandata dai livelli che si instaurano nel canale, con controllo dell'avvenuta chiusura/apertura delle paratoie di sezionamento all'inizio della derivazione.

6.2.6.1 Regolazione del deflusso

Di seguito si riporta un breve richiamo del sistema di regolazione delle paratoie, rimandando per maggiori dettagli alla Piano di Gestione delle paratoie in allegato alla presente relazione idraulica (Allegato 1).

Il sistema di regolazione del deflusso nell'alveo del canale di derivazione, come anticipato precedentemente, avviene attraverso tre paratoie d'intercettazione. La prima paratoia (PM1) è posta a monte della parete da cui si distacca il canale, la seconda (PM2) è di sicurezza ed è posta a tergo della medesima parete, ed infine la terza (PV1) è posta prima dell'immissione del canale nel Fosso Reale.

PM1 è normalmente aperta e viene chiusa allorché nel Fosso Reale si raggiunge la quota di d'intradosso dell'attraversamento autostradale. La paratoia rimane chiusa fin tanto che non si ripristina il livello dopo l'esaurimento della piena, ossia quando il canale scolmatore non è più interessato dal deflusso di piena. La riapertura della paratoia è inoltre condizionata dal segnale di

consenso che si riceve dal misuratore di livello di valle. Pertanto, la paratoia PM1 è regolata da entrambi i misuratori di livello (coppia di misuratori) uno a monte, ubicato sulla parete di distacco del canale ed uno a valle ubicato sul Fosso Reale sul nuovo Ponte di case Passerini.

La paratoia PM2 eseguirà le stesse funzioni solo qualora vi siano anomalie nella manovra di chiusura di PM1.

La paratoia PV1 sarà normalmente aperta e si chiuderà contemporaneamente alla PM1.

6.2.7 Il tratto BC di nuova inalveazione

Il Fosso Reale in questo tratto corre parallelamente all'autostrada A11, in direzione ovest-est fuori dalla fascia di rispetto autostradale.

Attualmente parte dell'area dove è previsto il canale è occupata da rilevati in terra ("dune") di altezza variabile da 5 a 8 m. Le dune sono in parte incompatibili con la nuova inalveazione. Nel progetto si prevede la loro rimodulazione in modo da consentire la realizzazione del canale.

Nell'ultimo tratto il canale si reinnesta nell'alveo attuale prima dell'attraversamento esistente dell'autostrada A11. Il profilo di scorrimento della nuova inalveazione viene raccordato a quello esistente. In questo tratto si prevedono un modesto rialzamento degli argini esistenti e la sistemazione della scogliera in pietrame dell'alveo fin sotto ai ponti autostradali, per ricollegarsi alle specchiature del corazzamento, che in questo tratto è già presente.

L'argine in sx idraulica, a monte dell'attraversamento autostradale, si affianca a via del Cantone. L'argine ingloba un muro di sostegno visibile percorrendo la viabilità, di altezza variabile, di lunghezza circa 70 m.

Nel progetto, vista l'obsolescenza del manufatto, se ne prevede il rifacimento.

Il tratto ha lunghezza complessiva 920 m.



Figura 6-7 Vista del muro di sostegno e del rilevato arginale esistente in adiacenza a via del Cantone

Le condizioni per la costruzione del nuovo muro, critiche se permangono solo due corsie di scorrimento, sono favorite dalla realizzazione di un nuovo sottopasso stradale, adiacente all'esistente, che renderà disponibile per il cantiere l'attuale corsia di scorrimento verso Firenze.

Operativamente si prevede di eseguire la demolizione del rilevato arginale a tergo del muro, fino alla quota della banchina intermedia. Successivamente sarà demolito il muro e scavato il terreno fino alla quota d'imposta delle fondazioni, lasciando una porzione di argine anche se di altezza ridotta.

Il tratto BC di Nuova inalveazione inizia con la soglia a quota di 35.97 m, nella sezione immediatamente a valle della paratoia d'ingresso nel canale di Derivazione.

6.2.8 Risagomatura tratto esistente Fosso Reale

A valle del ponte autostradale il corso d'acqua presenta allo stato attuale dei livelli di portata di piena che superano la quota arginale di poche decine di centimetri.

Nel progetto si prevede l'adeguamento della quota arginale fino a 40.70 m s.l.m, sia in destra che in sx idraulica. Si tratta di un rialzamento di altezza variabile fra 0.3 e 1.0 m che consente di avere un franco di 1m sul livello massimo atteso con tempo di ritorno 200 anni.

Il tratto interessato dall'intervento va dal ponte autostradale fino a circa 50 metri a valle del Fosso Gavine esistente. Il terreno di fondazione e quello costituente l'argine hanno scarse caratteristiche geomeccaniche di resistenza, tali da non consentire ulteriori appesantimenti del terrapieno se non con pendenza delle scarpate incompatibili con il tessuto urbanizzato circostante.

Il rialzamento viene pertanto realizzato mediante la costruzione di un muro di sottoscarpa fondato su pali che contemporaneamente consolida la porzione esistente, consentendone il successivo rialzamento. Il muro sarà realizzato con lastre prefabbricate, tralicciate, con armatura e getto di completamento in opera, rivestite in pietra sulla facciata esterna del paramento.

I canali colatori in destra e sinistra non vengono modificati.

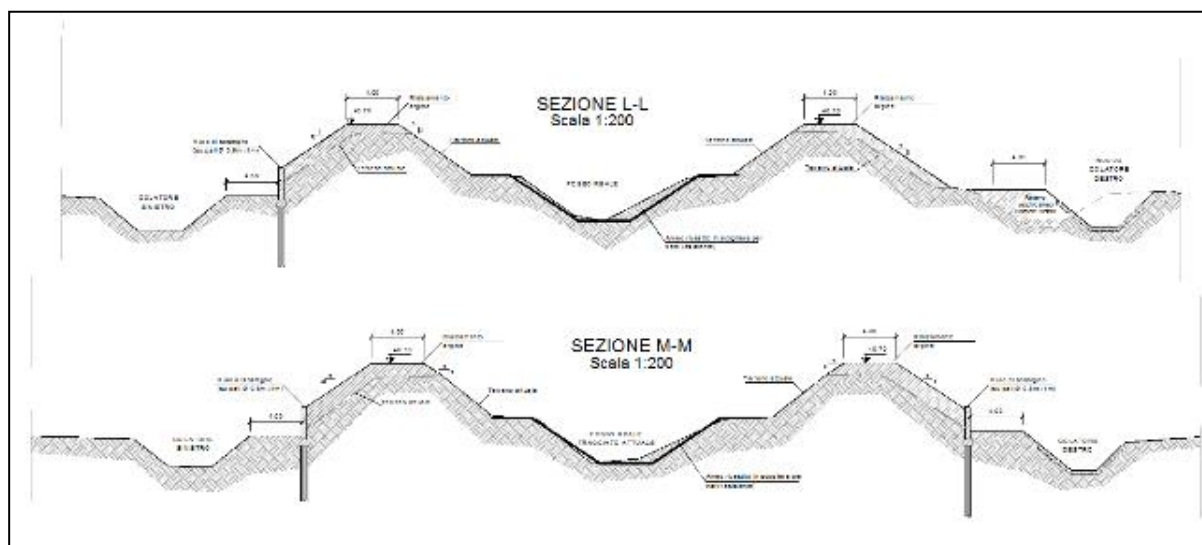


Figura 6-8. Sezione di progetto Canale Scolmatore tratto esistente da adeguare

Sull'alveo interno del Fosso reale, che attualmente presenta protezione delle sponde incompleta, si prevede di completare la protezione con l'uso di pietrame sciolto

L'adeguamento consente di mantenere la pista fra i canali colatori e l'argine esterno (muro) del Fosso Reale di larghezza 4 m.

6.2.9 *Attraversamenti stradali*

Lungo il nuovo percorso del Fosso Reale sono previsti due nuovi ponti di progetto e un nuovo tombino che verranno realizzati prima delle nuove opere idrauliche oggetto della presente relazione e due attraversamenti esistenti.

I nuovi attraversamenti sono:

- Il ponte su via dell'Osmannoro in prossimità dello stabilimento Baxter.
- Il ponte sulla nuova rampa di accesso all'autostrada A11.
- Il tombino sulla via di accesso a Case Passerini sul Canale di Derivazione.

I due ponti sono concepiti per essere "idraulicamente trasparenti", e cioè sono progettati con spalle che non interferiscono il livello massimo atteso per la piena con tempo di ritorno 200 anni.

Le spalle dei ponti saranno protette dallo scalzamento prevedendo il rivestimento in scogliera dell'alveo fino alla sommità arginale per un tratto di lunghezza di 5 m a monte ed a valle.

Nella parte fuori terra le spalle saranno raccordate all'arginatura mediante setti in c.a. con funzione anche di percorso antifiltrazione.

Il ponte esistente invece è quello autostradale a valle della reimmissione della Nuova inalveazione nel tracciato attuale del Fosso Reale.

L'alveo fluviale viene adeguato e rivestito in pietrame per l'intero tratto di attraversamento.

6.2.10 *Attraversamenti dell'autostrada A11*

Gli attraversamenti dell'autostrada A11 della nuova sistemazione idraulica sono:

- in corrispondenza del tombino autostradale esistente Op20 alla prog. 2+619.91 per il canale di Gronda;
- in corrispondenza del nuovo tombino autostradale di progetto alla prog. 2+561,91 per il canale di derivazione;
- in corrispondenza dell'attuale attraversamento dell'A11 Op. 13 Progr. km 1+939.83, a valle della reimmissione della nuova inalveazione nell'esistente tracciato (trattasi di un attraversamento autostradale esistente).

Per quanto riguarda gli attraversamenti dei canali di Gronda e Derivazione, il progetto prevede di sfruttare per la Gronda il tombino autostradale esistente del Fosso Gavine, in quanto i fossi originariamente tributari vengono intercettati dal canale di Gronda e non si innestano più direttamente sul tombino. mentre per la derivazione un nuovo tombino.

A monte del tombino verranno poste n.2 paratoie automatizzate (una di riserva all'altra) per poter escludere il deflusso dal canale di derivazione in funzione dei livelli di piena.

Gli ulteriori organi d'intercettazione, ossia la paratoia piana e clapet, sono ubicati in serie sono nel punto di restituzione al Fosso Reale. Essi impediranno possibili rigurgiti dal sistema di valle.

In merito invece alle verifiche idrauliche che hanno consentito di ipotizzare questa soluzione, si confrontano gli scenari attuale e di progetto del Fosso Reale, con riferimento allo stesso tempo di ritorno e con curve segnalatrici della possibilità pluviometrica (LSPP) aggiornate dal SIR della Toscana al 2012.

Si riportano i risultati di sintesi delle verifiche all'altezza del ponte del raccordo autostradale A11 esistente, per i diversi tempi di ritorno adottati, vale a dire di 30, 200 e 500 anni.

Idrogrammi		Livelli Stato Attuale m slm	Franco * Stato Attuale m		Livelli Stato di Progetto m slm	Franco* Stato di progetto m
Portata di picco mc/s	Durata di pioggia ore					
139	2	39,40	0,71		38.23	1.88
118	3	39,14	0,97		38.19	1.92
71	6	38,31	1,80		37.89	2.22
37	12	38,32	1,79		38.08	2.03
28	18	39,05	1,06		38.18	1.93
23	24	39,34	0,77		38.38	1.73
18	36	38,99	1,12		38.50	1.61

**Franco rispetto all'intradosso dell'impalcato del ponte a 40.11*

Tab 1.1.4.A TR30 anni sintesi dei livelli nello stato attuale (con gli idrogrammi di LSPP2012) al ponte autostradale esistente (ponte raccordo A11)

Idrogrammi		Livelli Stato Attuale mslm	Franco * Stato Attuale m		Livelli Stato di Progetto m slm	Franco* Stato di progetto m
Portata di picco mc/s	Durata di pioggia ore					
235	1	40,12	0		38.81	1.3
192	3	40,10	0,01		38.84	1.27
114	6	39,21	0,90		38.91	1.20
60	12	39,70	0,41		39.40	0.71
46	18	39,66	0,45		39.66	0.45
37	24	39,61	0,50		39.64	0.47

29	36	39,58	0,53		39.60	0.51
----	----	-------	------	--	-------	------

**Franco rispetto all'intradosso dell'impalcato del ponte a 40.11*

Tab 1.1.4.B TR200 anni sintesi dei livelli (con gli idrogrammi di progetto e LSPP2012) al ponte autostradale esistente (ponte raccordo A11).

Idrogrammi		Livelli	Franco *		Livelli	Franco *
Portata di picco	Durata di pioggia	Stato Attuale	Stato Attuale		Stato di progetto	Stato di progetto
mc/s	ore	mslm	m		mslm	m
291	1	40,25	0		39.20	0.91
232	3	40,18	0		39.46	0.65
136	6	39,70	0,41		39.40	0.71
72	12	39,77	0,34		39.76	0.35
55	18	39,70	0,41		39.72	0.39
45	24	39,65	0,46		39.67	0.44
35	36	39,61	0,50		39.62	0.49

**Franco rispetto all'intradosso dell'impalcato del ponte a 40.11*

Tab 1.1.4.C TR500 anni sintesi dei livelli (con gli idrogrammi di progetto e LSPP2012) al ponte autostradale esistente (ponte raccordo A11).

Le verifiche riportate nelle tabelle precedenti evidenziano come:

- per Tr = 30 anni nello stato di progetto il franco risulta abbondantemente superiore a 1 m in entrambe le soluzioni, mentre risulta talvolta inferiore per lo stato attuale.
- per Tr = 200 anni nello stato di progetto il franco risulta superiore 1 m per brevi durate di pioggia, mentre si garantisce comunque un franco per durate maggiori.

Il miglior comportamento nello scenario di progetto rispetto all'attuale permane ma si attenua solo per le simulazioni che considerano gli impulsi di pioggia di durata maggiore e per il Tr = 500 anni. All'occorrenza di questi, il sistema delle porte Vinciane impedisce il deflusso verso il Bisenzio per una maggiore durata, tendendo a livellare il sistema di monte che assume valenza essenzialmente capacitiva, non di scorrimento.

Anche per le simulazioni con durate di pioggia maggiori e Tr=500 anni, nello scenario di progetto, per il Fosso Reale il franco idraulico tuttavia non si annulla, ma permane al minimo dell'ordine di 30-40 cm

Non risulta pertanto alcun aggravio rispetto all'attuale condizione di attraversamento, ma un generale miglioramento per il complesso delle verifiche.

La riduzione della condizione di pericolosità idraulica generale a monte dell'attraversamento della A11 per le condizioni maggiormente critiche, eventi di pioggia

prolungati e con l'aumentare del tempo di ritorno degli eventi considerati, è **connessa essenzialmente alla capacità d'invaso del sistema che si incrementa nello stato di progetto**, sia per l'aumento dello sviluppo della nuova inalveazione (*Tratto BC*) che per la maggiore larghezza della sezione di progetto, rispetto ai parametri corrispondenti dell'attuale tracciato e conformazione del Reale.

Date le condizioni di valle, rappresentate dai diagrammi di piena nel Bisenzio, fornite dall'Autorità di Bacino del Fiume Arno e con deflusso del Fosso Reale nel Bisenzio controllato da Porte Vinciane, la crisi idraulica dell'intero sistema dell'Arno - Bisenzio arriva a ridurre fino ad inibire totalmente il deflusso verso valle; in tali condizioni il Fosso Reale viene ad assumere la funzione di cassa di laminazione in linea.

Di conseguenza, a fronte di questo incremento capacitivo del sistema, la minore pendenza del tratto BC non ha influenza significativa in termini di deflussi, che sono rigurgitati da valle.

A valle dell'esistente sottoattraversamento autostradale del Fosso Reale, fino al punto di immissione del Canale di Derivazione previsto dal presente progetto, si prevede la realizzazione di interventi di riassetto della sommità arginale del Fosso Reale attuale (*Tratto CD*) che, anche attraverso la realizzazione di pali, viene regolarizzata a quota 40,70 m s.l.m. in grado di assicurare il franco di normativa (1 metro di franco residuo sullo stato di progetto). Il livello idrico massimo all'altezza del ponte autostradale, quindi, viene portato in questo modo a 39,66 m s.l.m. per la durata di 18 ore e $Tr=200$ anni.

Si fa inoltre presente che ulteriori possibili alternative, come il rifacimento dell'attraversamento sulla A11, non possono essere perseguite. Infatti, al fine di garantire il franco di 1.5 m è necessario modificare la livelletta di progetto dell'autostrada con difficoltà prima di tutto gestionali, visto che sono in corso le lavorazioni per l'ampliamento a terza corsia dell'Autostrada, ma anche difficoltà realizzative dato che un rialzamento della quota della strada può comportare la non verifica di grandezze fondamentali nell'ambito dell'ingegneria dei trasporti, come ad esempio le distanze di visibilità, con conseguenti fattori di rischio alla sicurezza dei fruitori della strada.

Si evidenzia che la soluzione presentata in progetto porta un notevole beneficio in termini idraulici al sottopasso autostradale esistente, poiché allo stato attuale il Fosso Reale in quel punto va in pressione per eventi duecentennali, mentre a seguito della realizzazione degli interventi in progetto sotto attraverserà l'infrastruttura autostradale con un franco di sicurezza.

Infine si sottolinea come non solo le aree direttamente interessate dagli interventi di riassetto idraulico, necessari al fine dell'inserimento nel territorio delle opere di Masterplan Aeroportuale, **traggano beneficio dalla realizzazione degli stessi interventi, ma anche aree non direttamente interessate dal progetto** traggono notevoli benefici in termini idraulici: ad esempio all'area industriale sotto l'autostrada A11, attualmente soggetta ad allagamenti per eventi

duecentennali e invece messa parzialmente in sicurezza idraulica, per gli stessi eventi, allo stato di progetto.

6.2.11 Considerazioni sul deflusso di piena e della cassa di espansione del Fosso Reale.

Valutazioni di frequenza che contraddistinguono il riprodursi nel tempo di comportamenti significativi del sistema del Fosso Reale nello stato di progetto possono essere dedotte dalle misure idrometriche alla stazione localizzata a monte del ponte ubicato all'altezza del Polo Universitario, con strumento inserito nella rete regionale di telerilevamento.

La codifica assegnata dal SIR (Servizio Idrografico Regionale) è TOS01004795 - SESTO FIORENTINO, con i seguenti elementi identificativi:

UTM [m]	E 676369 N 4854569
GB [m]	E 1676316 N 4854389
WGS84 [°]	LAT 43.82 LON 11.19
Zero idrometrico slm [m]	35.79

La sezione idrometrica di riferimento sulla quale è presente l'idrometro ha codifica di rilievo *FR5060C*.

Lo zero idrometrico è materializzato con lo zero della scala metrica di un'asta di altezza 5 m, a sua volta localizzato al livello approssimativo del punto più depresso della sezione del Reale che nel tratto è rivestita in calcestruzzo.

L'immagine seguente è tratta dalla documentazione fornita dal SIR inerente alla livellazione topografica di georeferenziazione della stazione idrometrica.



Figura 6-9. Caposaldo 1 - Su parapetto ponte lato idrometro

Verosimilmente ciò non è d'interesse anche perché la sezione di misura risente delle condizioni di valle, a loro volta condizionate allo sbocco nel Bisenzio. Le paratoie di tipo Vinciano ivi localizzate si chiudono quanto i livelli nel Bisenzio dominerebbero quelli nel Fosso Reale.

Nelle simulazioni idrauliche svolte la condizione allo sbocco si propaga verso monte, oltre la sezione idrometrica, già per quelle caratterizzate da $T_r=30$ anni e per tutte le durate di pioggia degli eventi simulati.

Per valutazioni empiriche basate sulle registrazioni degli anni per i quali la stazione è stata in esercizio si è preferito pertanto di rimanere ancorati a riscontri e valutazioni di tipo idrometrico, senza avvalersi di scale di deflusso non ufficiali, elaborate nel contesto di altri studi con finalità specifiche inerenti all'area.

Per l'associazione altezze idrometriche [m] - portate [m^3/s] si è pertanto fatto riferimento ai profili idraulici ottenuti per il sistema simulato nello stato attuale, risalendo alle misure idrometriche che sarebbero da attendersi per le varie portate d'interesse in base ai profili idraulici restituiti dalle simulazioni nella loro interezza.

6.2.11.1 Interventi automatizzati di regolazione del deflusso nel Fosso Reale di progetto

Un sistema elettrogeno dovrà garantire da possibili disservizi di alimentazione dell'energia elettrica.

Il comando di chiusura e gli altri sistemi saranno collegati con sala di monitoraggio dell'Ente gestore del sistema. Non si ritiene sicuro disporre in remoto anche il comando di chiusura.

Le paratoie dovranno disporre di comando al riduttore di trasmissione di tipo manuale (o oleodinamico) di emergenza.

6.2.11.2 Ricorrenze attese per l'entrata in funzione del tratto BC di nuova inalveazione del Fosso Reale

La configurazione di progetto del nuovo Fosso Reale, basata sul canale di derivazione (Tratto BD) che sottopassa l'autostrada A11 e sulla nuova inalveazione (Tratto BC), è caratterizzata dalla necessità di evitare l'entrata in pressione del tombino di sottoattraversamento autostradale e garantire il franco di progetto di almeno 1,5 m: azione ottenuta mediante sistema automatizzato di totale chiusura delle paratoie di controllo al raggiungimento del livello idrico al cielo dello scatolare del tombino.

Si è pertanto simulato il comportamento del sistema di progetto *in moto permanente* per portate crescenti, verificando che transita a pelo libero dallo scatolare la portata limite di $6 m^3/s$.

Le condizioni di simulazione adottate prevedono sbocco nel Bisenzio a pelo libero. L'assunzione è del tutto giustificata, in quanto la chiusura delle porte Vinciane si verificherebbe per portate superiori o per eventi di lunga durata, nell'ordine delle sei ore o ulteriormente protratti nel tempo, che vengono comunque considerati nella stima di entrata in esercizio del sistema di controllo del tombino.

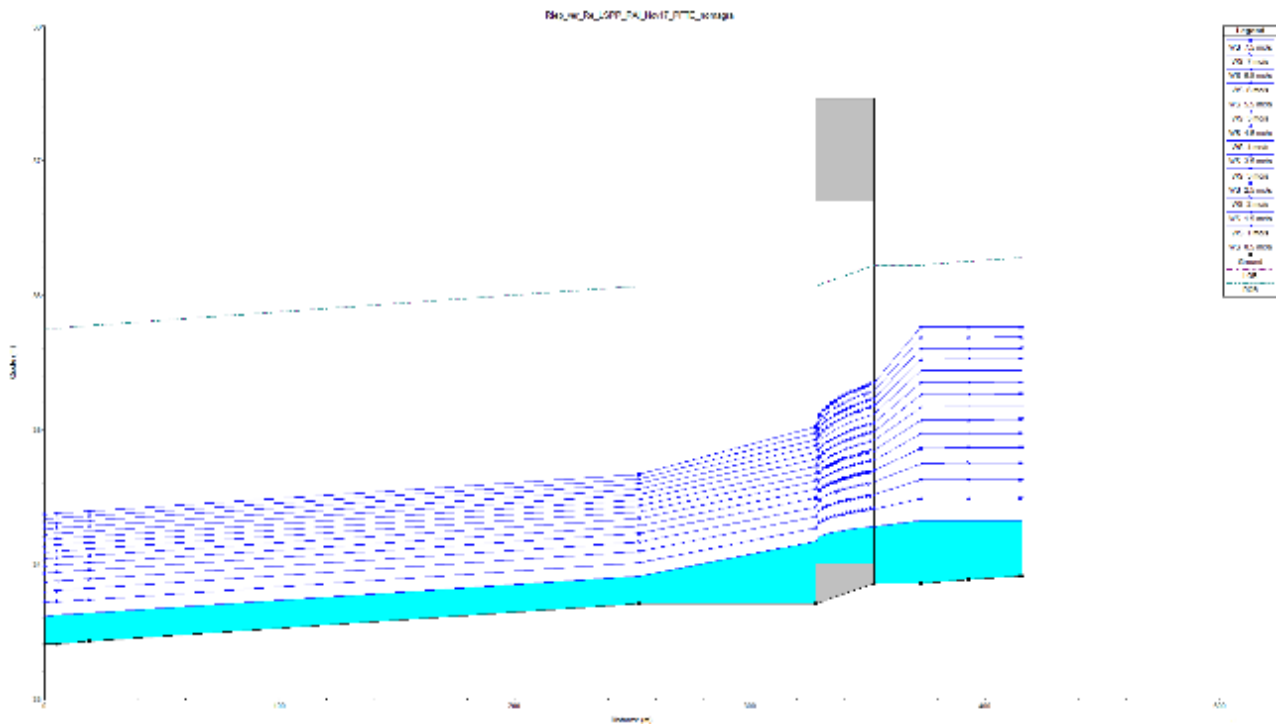


Figura 6-10. Tratto del profilo di progetto nell'intorno dello scatolare di progetto di sottopasso della A11. Simulazioni in moto permanente con procedura HEC RAS per portate crescenti e per incrementi di 0,50 m³/s

Questa portata di 6 m³/s circa è stata utilizzata nel contesto del modello *in moto vario nello Stato Attuale del Fosso Reale*, per risalire al tirante idrico che vi si può associare in corrispondenza della sezione di misura, ottenendo il tirante di 1,47 m sullo zero idrometrico che, con buona approssimazione, coincide in quota con il tratto più depresso della sezione trasversale.

L'associazione per lo stato attuale a questa condizione limite di funzionalità del tombino di sottoattraversamento è stata ottenuta, nel contesto delle simulazioni in moto vario svolte, per ricorrenza $T_r = 30$ anni e con pluviogramma costante nel bacino per la durata di 2 ore, la condizione che meno è influenzata dall'idrogramma del Bisenzio, almeno per valori delle portate non elevate come quella di interesse.

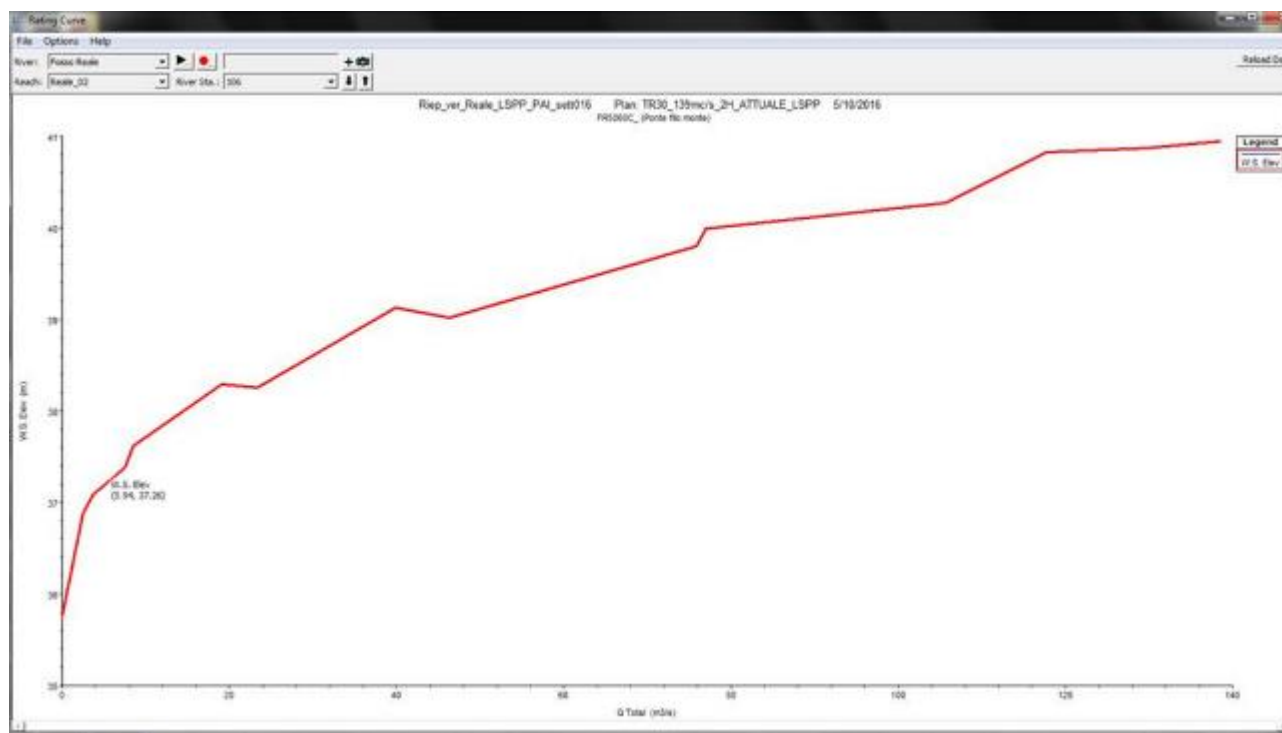


Figura 6-11. Insieme delle correlazioni portate-livelli idrici alla sezione dell'idrometro del Polo Scientifico-Simulazioni in moto vario con procedura HEC RAS per TR 30 anni e durata di pioggia 2h

La sezione idrometrica (codifica di rilievo *FR5060C*) è infatti caratterizzata da:

Quota fondo slm [m] (min dalla sezione)	35.76
Livello per $Q_m = 6 \text{ m}^3/\text{s}$ slm [m] (v. Nota ⁴)	37.26
Tirante sul fondo [m]	1.49
Tirante riferito allo zero idrometrico [m]	1.47

L'assunzione di sbocco nel Bisenzio libero appare legittima perché la configurazione del Fosso Reale non determina esondazioni o interessamento di casse di espansione con variazioni significative del deflusso che si instaura nella configurazione attuale alla sezione dell'idrometro, rispetto a quelle che si verificheranno nel corpo idrico di progetto, pur queste potendo interessare il solo canale di derivazione, come ora d'interesse, che il tratto BC di nuova inalveazione per portate superiori.

Per quanto detto si è ricavata la frequenza delle volte che è stata superato il tirante *soglia* a quota 37,21 m slm, misurata dal 1998, entrata in esercizio dell'idrometro e con funzionalità interrotta nel 2005-2006.

⁴ **Nota:** Portata che transita nello scatolare di progetto del sottoattraversamento della A11 del Ramo A in assenza di rigurgiti da valle (sbocco nel Bisenzio libero) e transito nello scatolare a pelo libero. Il tirante corrispondente alla portata alla sezione dell'idrometro è ricavato con procedura HEC RAS dal profilo che si instaurerebbe per la medesima portata e sbocco libero nel Bisenzio, nella configurazione del sistema nello stato attuale.

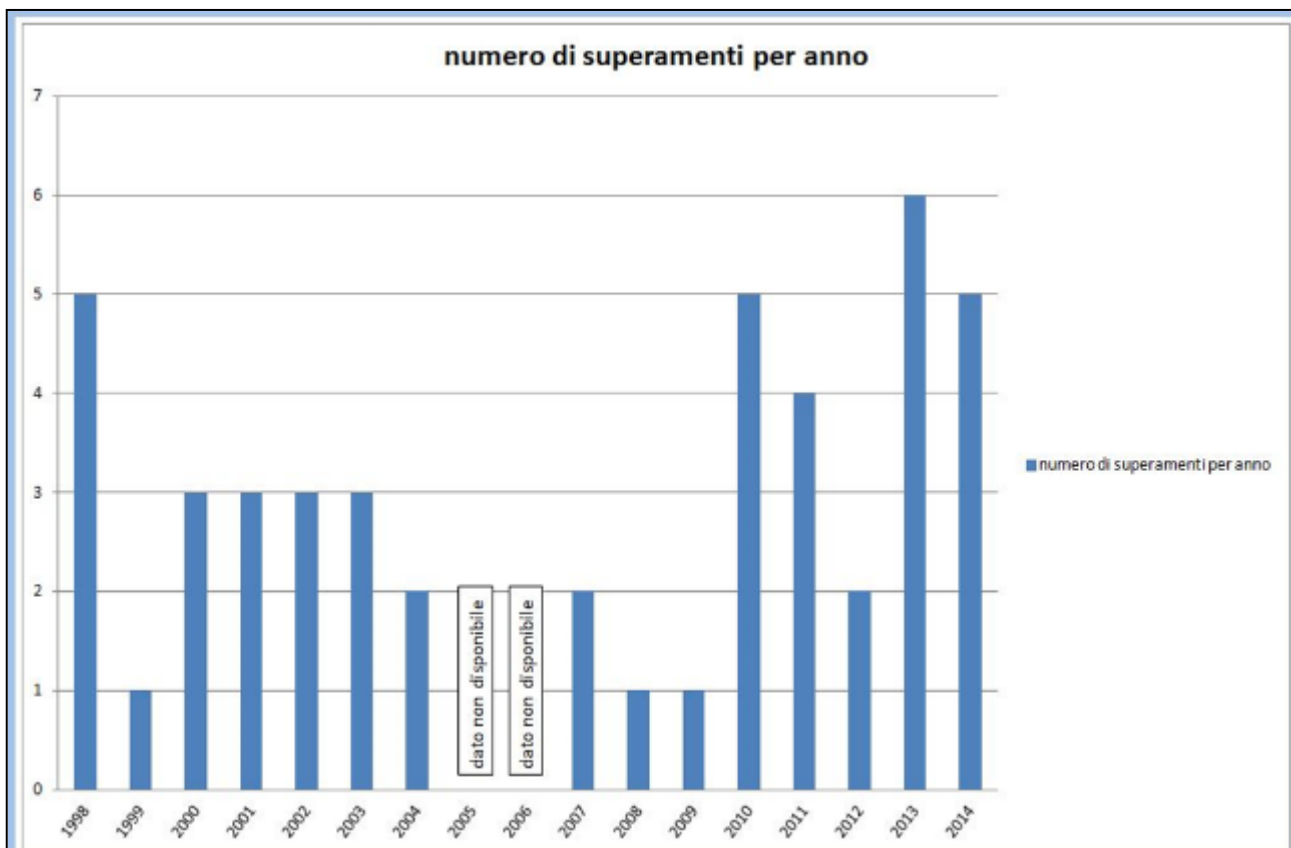


Figura 6-12. Numero di eventi di piena annui per il quale l'idrometro ha misurato tiranti al colmo $\geq 1,47\text{m}$ (37,26 m slm)

Facendo una media negli anni di osservazione, la frequenza annua media registrata risulta di circa 3 eventi/anno. Per ricorrenza prossima a questa è da attendersi che nello scenario di progetto entrerà in funzione, con chiusura del canale di derivazione all'altezza del tombino di progetto sotto l'autostrada A11.

Il suddetto risultato empirico è dello stesso ordine di grandezza a quanto desumibile con riferimento alla curva di durata delle portate *medie giornaliere* elaborate dall'Autorità di Bacino del fiume Arno; tale valore di portata corrisponde a circa $4 \div 5$ giorni, ovvero N° di giorni all'anno durante i quali si ha il raggiungimento o il superamento di $6 \text{ m}^3/\text{s}$ espressa in termini di media giornaliera, non di colmo di portata.

Gli eventi del tutto impulsivi generati nel bacino di monte possono non fare salire significativamente il valore della portata media giornaliera, essendo come detto limitati a poche ore, ma in condizioni rigurgitate dal Bisenzio si possono presentare anche più giorni consecutivi durante i quali le portate medie giornaliere si elevano sopra il valore di riferimento.

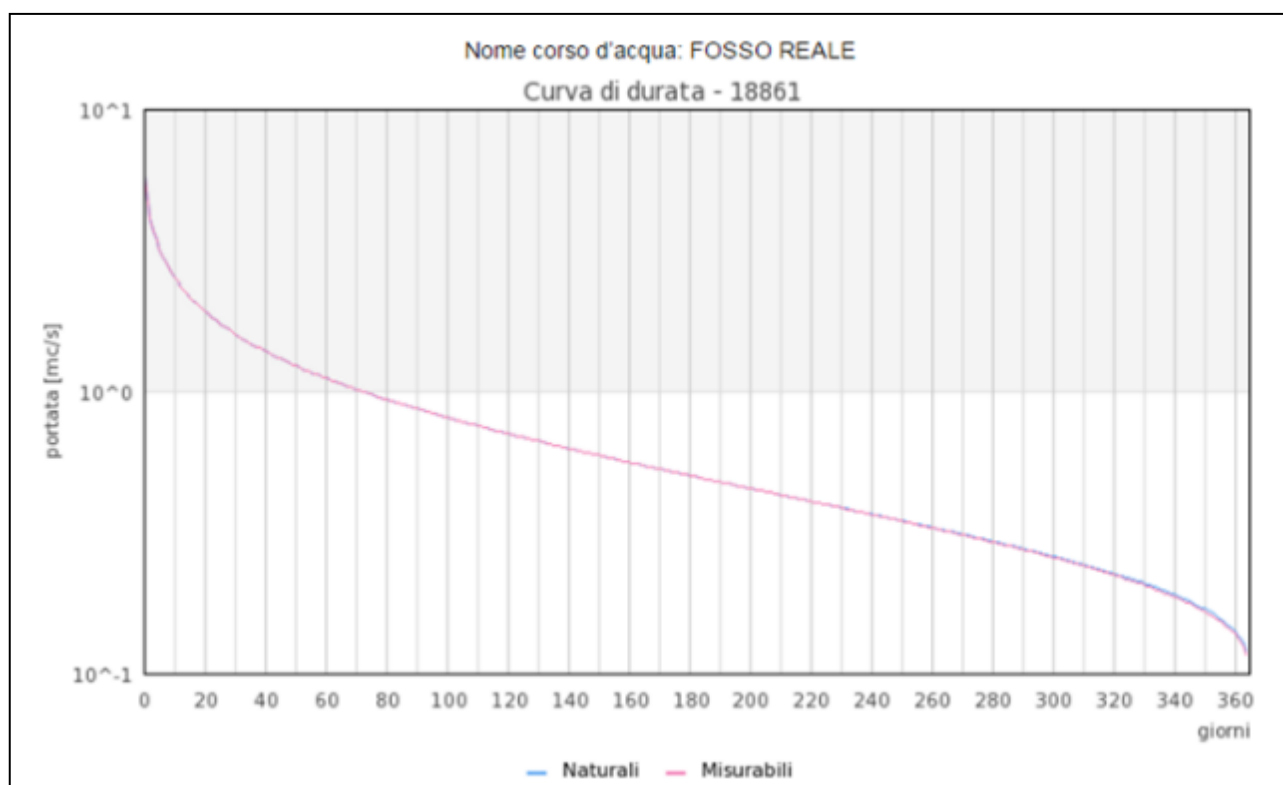


Figura 6-13. Curva di durata delle portate medie giornaliere (Fonte AdB fiume Arno)

Le osservazioni sono riferite ad un numero di anni non elevato ma, in generale, il campione già potrebbe essere sufficiente per tentare una correlazione in termini statistici di probabilità. Questo passaggio si è ritenuto non significativo in quanto, come già sottolineato, l'altezza dei tiranti misurati dalla stazione di Sesto Fiorentino non sono solo influenzati dagli impulsi di piena propri del bacino di monte, ma anche dalle condizioni di valle determinate dagli idrogrammi di piena nel Bisenzio, fenomeni che nelle simulazioni sono stati assunti come ad inizio sincrono con le piogge. Più in particolare, è stata analizzata la forma degli idrogrammi di altezza al colmo sopra soglia registrati (46 eventi in totale nei 15 anni, 3,06 eventi/anno, mediamente per gli anni di effettiva registrazione). Si evidenziano bene idrogrammi impulsivi, con fase di crescita prossima all'ora (45' ÷ 1 h 15') e fase di discesa mediamente caratterizzata da durata doppia della crescita. Idrogrammi di durata totale di 2 h 30' ÷ 4 h.

Questi sono relativi a eventi per il quale lo sbocco nel Bisenzio non viene significativamente influenzato dalla chiusura delle porte Vinciane.

Alcune registrazioni sono viceversa relative ad eventi di durata prossima o superiore alle 24 ore, caratterizzati da variazione di livelli molto più gradualmente nel tempo.

Si riporta la tabella di riepilogo di questi eventi, sottoinsieme di quelli rappresentati nell'istogramma precedente.

N° EVENTI / ANNO DI CUI CON CONDIZIONE RIGURGITATA DAL BISENZIO REGISTRATI IN 15 ANNI DI OSSERVAZIONE					
	TOTALI				
1998	5		1		
1999	1		1		
2000	3		2		
2001	3		0		
2002	3		0		
2003	3		0		
2004	2		0		
2005	"mancante"		"mancante"		
2006	"mancante"		"mancante"		
2007	2		0		
2008	1		1		
2009	1		0		
2010	5		0		
2011	4		2		
2012	2		0		
2013	6		1		
2014	5		2		
TOTALE	46	TOTALE	10		
MEDIA	3,0666667	MEDIA	0,666667		

6.2.11.3 Valutazione sulla frequenza sfioro di volumi idrici all'interno dell'area di laminazione A

Per tentativi è stato individuato un comportamento *ottimale* della cassa di laminazione A posizionando la cresta della soglia di progetto dello sviluppo di 40 m alla quota di 38,00 m s.l.m.

Lo sviluppo di 40 m e la quota della soglia della cassa di 38,00 m s.l.m. sono tali da avere l'invaso vuoto fintantoché è possibile lo scarico nel Bisenzio (porte vinciane aperte) e i livelli non sono vicini al picco di piena.

Con procedura sostanzialmente analoga a quella illustrata per individuare l'interessamento del tratto BC di nuova inalveazione di cui al paragrafo precedente, si è proceduto alla quantificazione empirica della ricorrenza di entrata in funzione della cassa sulla base dei livelli misurati all'idrometro di Sesto Fiorentino.

In questo caso, avendo a che fare con valori di portata decisamente superiori a $6 \text{ m}^3/\text{s}$ non è stato necessario basarsi su valutazioni in moto permanente del tronco d'interesse del corpo idrico. Si sono direttamente analizzati i profili idraulici generati in successione temporale per la valutazione in moto vario, sempre per le condizioni *stato attuale*, $Tr = 30 \text{ anni}$, evento pluviometrico simulato della *durata di 2 ore*.

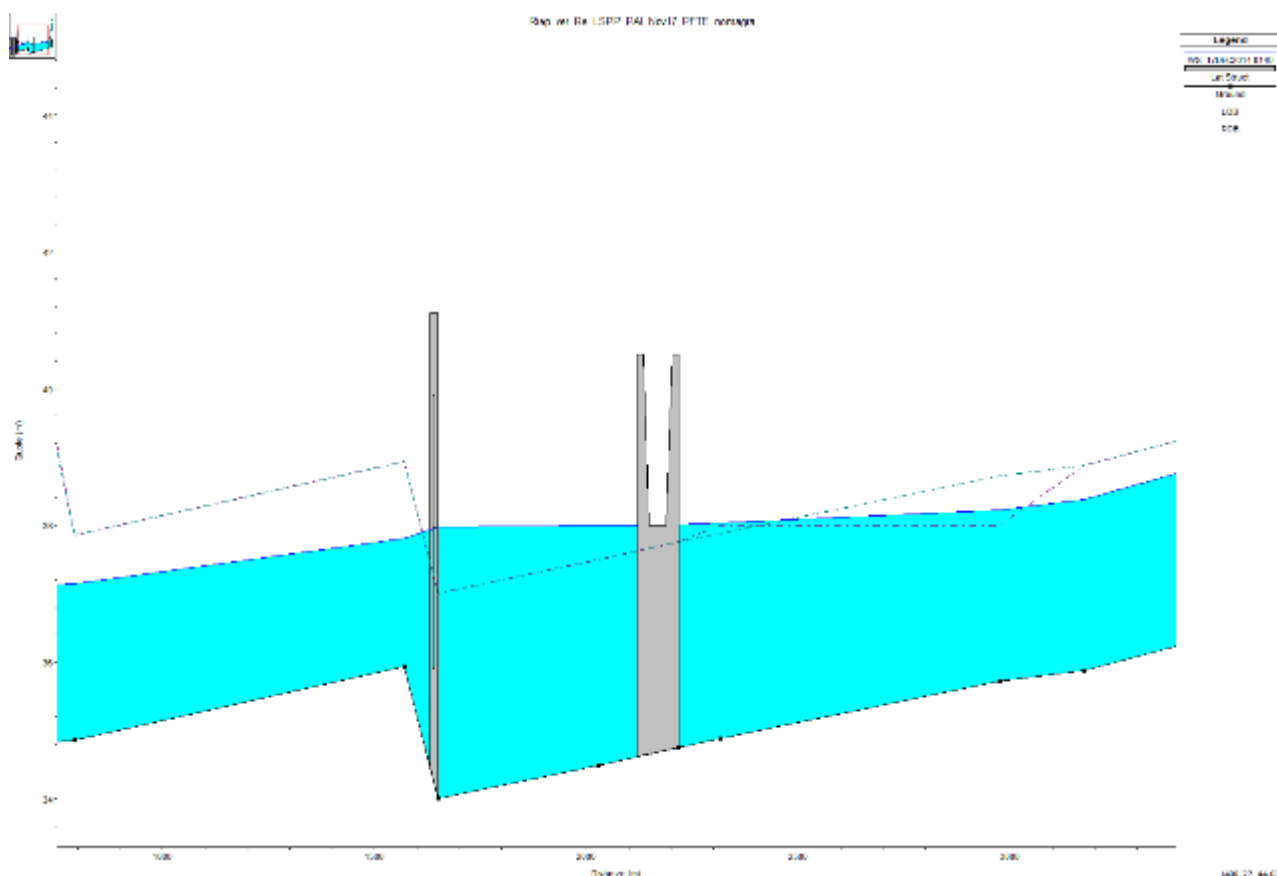


Figura 6-14. Profilo generato con modello in moto vario al passo temporale precedente al primo superamento del livello della soglia fissa di controllo dell'area di laminazione A con cresta posta a 38,00 m slm.

Alla sezione di modello della soglia di immissione, considerando il profilo generato dalla procedura al passo temporale coincidente all'entrata in esercizio della cassa, avente quota di 38.00 m slm all'altezza dell'idrometro si avrebbero i valori di altezza e portata raffigurati nella figura successiva: livello 39.81 m s.l.m; portata corrispondente 76.78 m³/s.

Tale livello corrisponde ad un tirante di 4,02 m sullo zero idrometrico di 35,79 m slm, (35.79 + 4.02 = 39.81).

Per tale tempo di ritorno di 30 anni, lo sfioro nella cassa di laminazione si verifica per una durata di 2 h e 40', con un volume invasato dell'ordine di 200.000 m³.

La cassa è ottimizzata per l'evento duecentennale e durata di pioggia molto protratta nel tempo.

A titolo di esempio, con l'evento di pioggia di durata di 18 h il volume massimo raggiunto in cassa risulta di 535.000 m³, alla quota di 39,80 m slm, ovvero con il franco dell'ordine di 0,9 m (coronamento degli argini della cassa a 40,70 m slm).

Per durate di pioggia minori i volumi immagazzinati in cassa si riducono a parità di tempo di ritorno: Tr=200 anni pioggia 1 h quota max 38,48 m slm; V= 373.000 m³ immagazzinato in cassa.

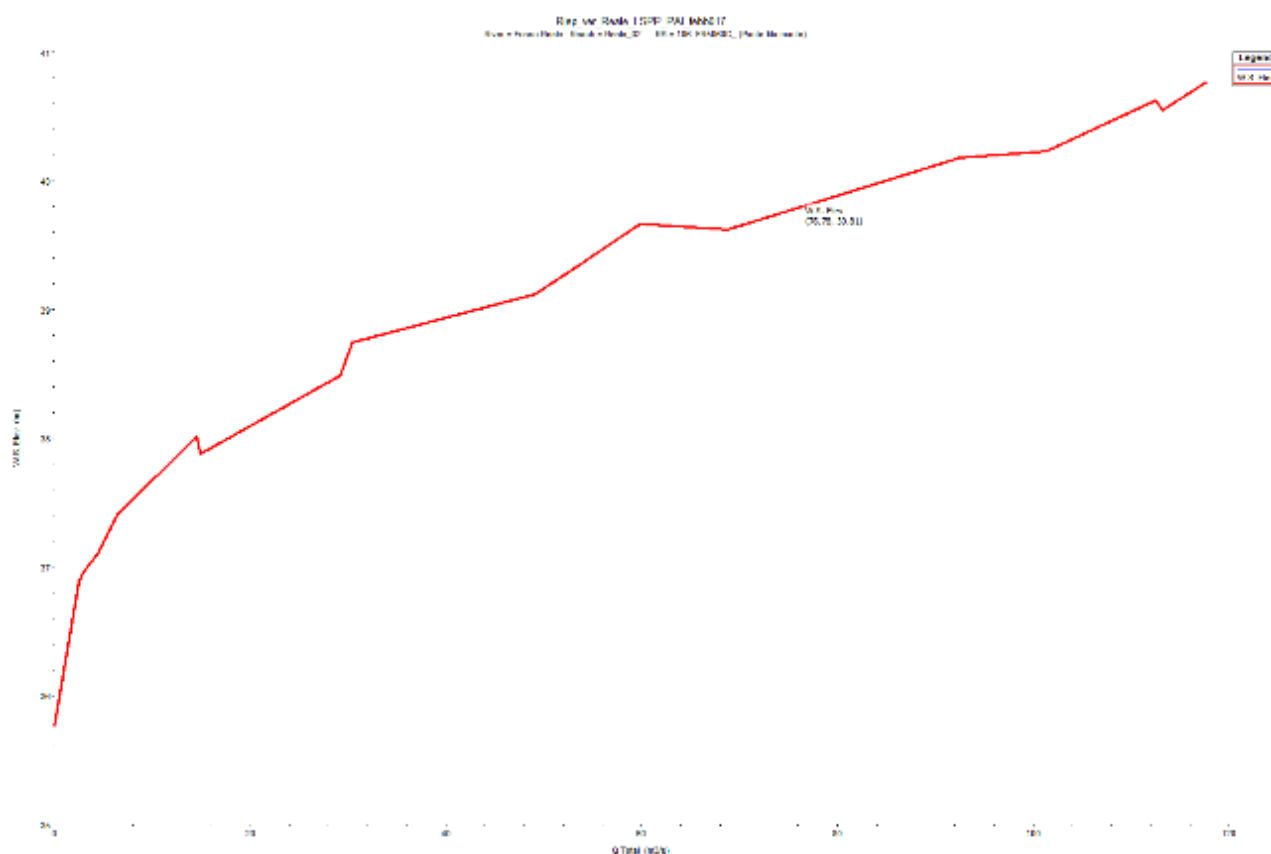


Figura 6-15. Scala di deflusso ricostruita alla sezione idrometrica del polo scientifico di Sesto F.no in base al modello $Tr = 30$ anni; Durata della pioggia di 2 ore Indicata l'altezza idrometrica corrispondente al profilo che determina il raggiungimento del livello della soglia fissa di controllo della cassa di espansione A

Si può pertanto considerare che la ricorrenza di entrata in funzione della cassa per il suddetto livello di soglia di 38,00 m s.l.m. sia di poco inferiore ai $Tr = 30$ anni, fermo restando che tutte le simulazioni dello scenario di progetto alle varie durate per questo tempo di ritorno comportano l'interessamento della cassa di espansione con superamento della soglia.

In assenza di idrogrammi nel Bisenzio che forniscono la condizione di valle per le simulazioni del Fosso Reale per Tr inferiori alla ricorrenza trentennale, non è disponibile la simulazione che verifica statisticamente il Tr minimo di entrata in funzione della cassa stessa.

Le considerazioni che portano a confermare questo livello di soglia, assunto a 38,00 m s.l.m., relativamente alto sono:

- l'abbassamento della soglia di sfioro implicherebbe l'anticipo del processo d'invaso dei volumi durante gli eventi di piena. Anticipare tale processo potrebbe significare iniziare ad invasare volumi quando ancora è possibile scaricare i deflussi del Fosso Reale verso il sistema Arno Bisenzio, riducendo di fatto l'efficacia del sistema;
- attualmente si verifica uno sfasamento temporale tra i colmi degli idrogrammi del Fiume Bisenzio e del Fosso Reale. Anticipare l'invaso dei volumi potrebbe tendere a rifasare temporalmente tali colmi e quindi peggiorare le condizioni di scolo e di rischio idraulico.

- problematiche di scarico della cassa di espansione, che si potrebbe trasformare in un'area umida nel caso di entrata in funzione ricorrente. Questo è da evitare in quanto la cassa è posta nell'area adiacente alla fine della nuova pista di volo aeroportuale (estremità ovest) e trasformarla in area umida potrebbe costituire un richiamo per i volatili.

Per abbassare il livello di soglia senza incorrere in questa problematica occorrerebbe rialzare il fondo della cassa, con conseguente perdita di volumi invasabili. La quota della soglia di progetto garantisce l'entrata in esercizio della cassa di laminazione più di rado con il conseguente svuotamento completo in un arco di tempo limitato. L'unica condizione imprescindibile da soddisfare rimane che la quota di fondo sia superiore al livello stagionale della falda.

7 ADEGUAMENTO DEL SISTEMA DEI CANALI DI BONIFICA

Gli interventi sui canali di bonifica sono stati realizzati in modo da non aggravare le attuali condizioni di deflusso. Per maggiori dettagli confronta il paragrafo 5.3.

7.1 NUOVO CANALE DI GRONDA

In destra del nuovo Fosso Reale viene realizzato il nuovo Canale di Gronda che intercetta i bacini dei fossi **Gavine e Gora di Sesto**. Il bacino idrografico complessivamente sotteso dal nuovo canale di Gronda è di circa 80 ha.

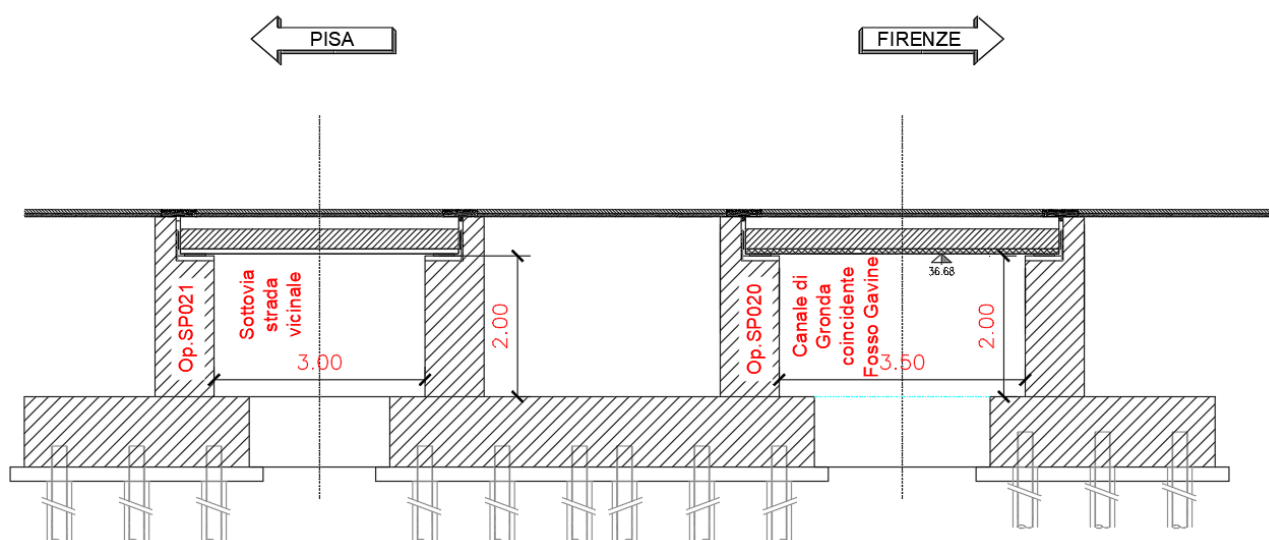
Il nuovo canale ha sezione trapezoidale non arginata di profondità minima 1.5 m, larghezza del fondo 5 m, pendenza delle sponde 2 su 3 e pendenza media longitudinale 0,0016 m/m, per una lunghezza complessiva di 3180 m,

Sono previsti attraversamenti della viabilità ordinaria con manufatti scatolari, aventi larghezza di 5 m e altezza minima di 2 m (o comunque intradosso all'altezza del piano campagna).

Il nuovo canale di Gronda affianca l'argine esterno della Cassa di laminazione e prosegue lungo l'argine del Fosso reale fino all'attraversamento autostradale in corrispondenza dell'Op20 alla prog. 2+619.91

Il franco idraulico di progetto riferito alla piena duecentennale varia dal valore medio di almeno 70 cm nelle sezioni a monte dell'attraversamento autostradale fino ad un valore di 20 cm nella sezione prossima alla confluenza con il Canale Colatore Destro.

Nella seguente figura si riporta il manufatto esistente (particolare fornito da ASPI) che verrà utilizzato per l'attraversamento della Gronda.



Come detto nel paragrafo 3.2, le portate di progetto derivano dall'aggiornamento del piano Generale di Bonifica e le sue verifiche idrauliche sono contenute nella modellazione relativa al sistema delle acque basse (cfr 5.3).

Si riporta come nello Stato di Progetto, per entrambe le simulazioni, si garantisce il deflusso della portata nel Nuovo Canale di Gronda evitando gli allagamenti ora presenti nella zona limitrofa all'area di servizio Peretola Nord.

Le aree allagabili sulla destra idraulica del fosso Acqualunga a valle dell'attraversamento dell'Autostrada A11 corrispondono invece ad aree umide dell'Area Naturale Protetta di Focognano, costituendo un contributo idrico all'attuale funzione delle aree umide ivi presenti.

Si può quindi concludere che in seguito alla sistemazione dello Stato di Progetto non si aggrava il rischio idraulico della zona.

7.2 DRENAGGIO AREA BACINO “EX GAVINE”

L'area definita “ex Gavine” è delimitata a nord dall' autostrada A11, a sud ed est dal Fosso Reale e ad ovest dal canale di Gronda.

Il recapito finale dell'area allo stato attuale è il Colatore destro, nella nuova configurazione di progetto il Colatore confluirà nel canale di magra del Reale. Nel caso di chiusura delle paratoie (e quindi deflusso nel tratto BC) con l'esclusione del canale di Derivazione dal deflusso, una soglia di sfioro metterà in “comunicazione” il canale di derivazione con il nuovo canale di Gronda.

Quindi in caso di chiusura delle paratoie il canale di Derivazione passa dalle Acque Alte alle Acque Basse.

7.3 NUOVO LUPAIA GIUNCHI

Il nuovo fosso denominato Lupaia-Giunchi è situato a nord della nuova pista di volo, tra quest'ultima, la nuova viabilità Sesto-Osmannoro e la duna antirumore di progetto a protezione del Polo Scientifico Universitario.

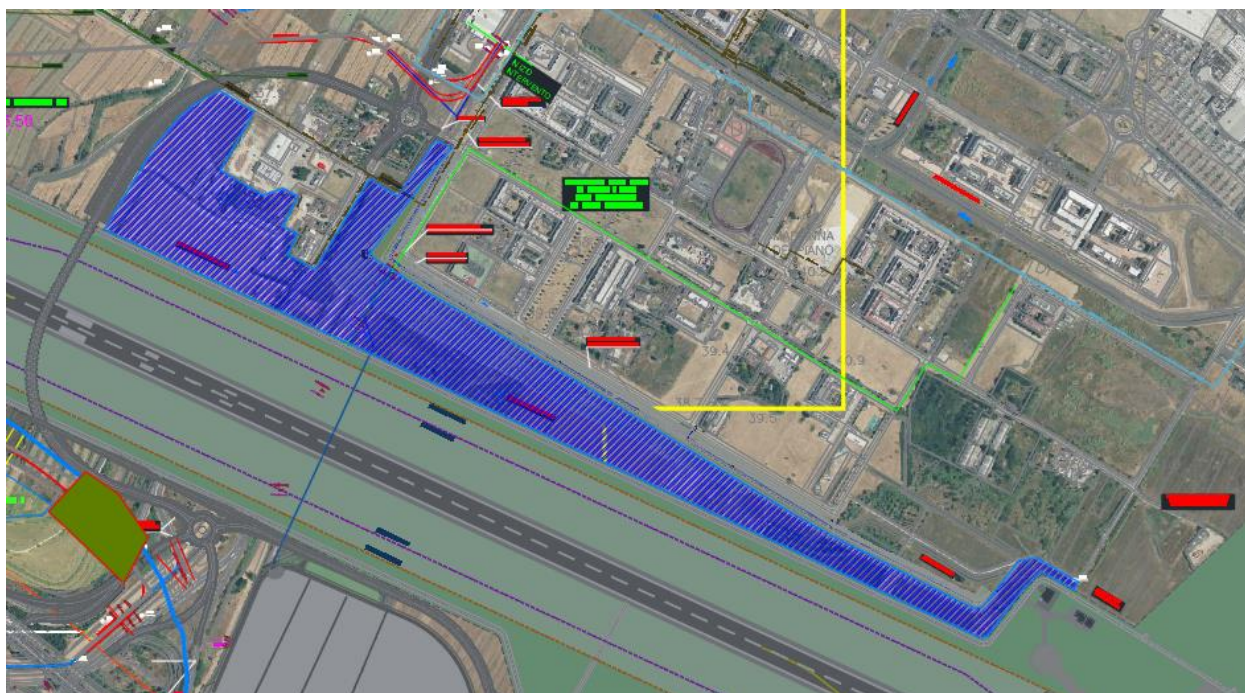
Il fosso Lupaia-Giunchi si compone di due tronconi contrapposti che confluiscono assieme in una vasca di sedimentazione per poi confluire nel collettore fognario del Polo Universitario, di cui al successivo paragrafo 8.1.

Il fosso ha le seguenti caratteristiche:

- Lunghezza ramo di sinistra 470 metri, ramo di destra 1210 metri
- Pendenza media 0.0012 m/m
- Sezione trapezia con larghezza fondo 5 m altezza minima 1 m e pareti inclinate 3/2.

L'intera superficie del bacino è pari a 28 ha e, considerando come coefficiente di deflusso un valore pari a 0.1 (coerente con quanto indicato nel paragrafo 8.1) si ottiene una area ragguagliata pari a 2.8 ha. Si riporta di seguito l'indicazione dell'area scolante.

La parte urbanizzata a nord è stata esclusa poiché già servita da pubblica fognatura.



7.4 PISTE DI MANUTENZIONE E RAMPE DI ACCESSO

Le nuove opere di inalveazione sono munite di un sistema di piste di manutenzione interconnesso alla viabilità.

Sulla nuova viabilità sono state progettate piazzole di sosta da cui poter accedere alle piste di manutenzione. Ogni accesso sarà munito di sbarra di chiusura.

Le piste consentono di accedere alla sommità.

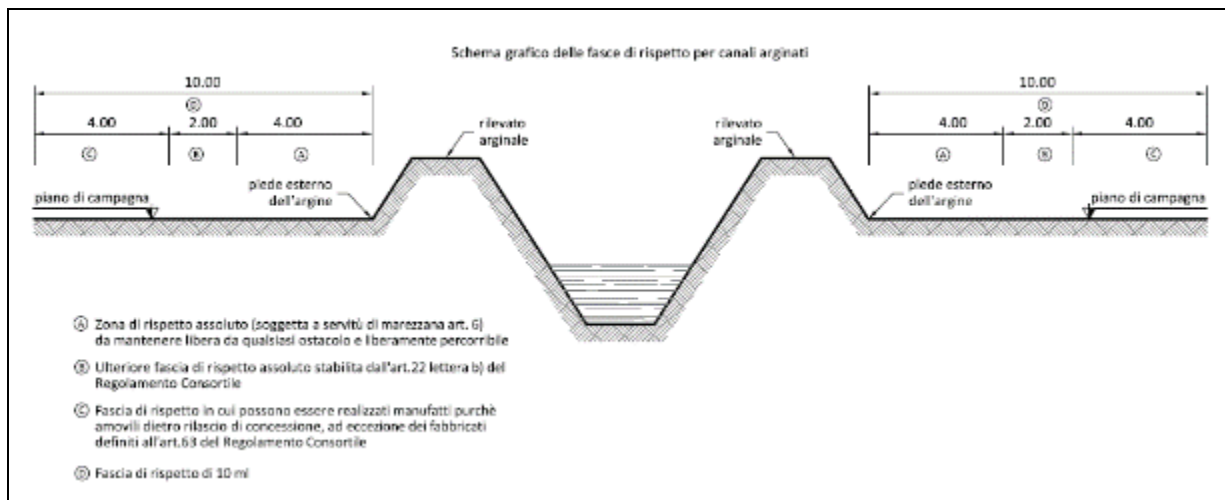
La larghezza libera della pista è di 4 m onde garantire nel tempo la loro funzionalità è prevista la realizzazione una fondazione stradale di spessore 30 cm con finitura in materiale stabilizzato.

Le rampe di accesso presentano pendenza circa del 15%.

7.5 FASCE DI RISPETTO

Con riferimento alla nuova configurazione del reticolo idrografico le distanze di rispetto nei confronti della viabilità e delle opere progettate è sempre superiore o uguale a 10 m come previsto dal RD 523/1904. All'interno di questa fascia viene costruita la pista di manutenzione ed ispezione a servizio dell'Ente Gestore.

Lo schema di riferimento, estratto dal nuovo regolamento consortile, utilizzato nella progettazione è rappresentato nella seguente figura.



8 INTERVENTI INDIRETTAMENTE CONNESSI AL RETICOLO IDROGRAFICO

Oltre agli interventi di riassetto del reticolo idrografico, la project review del Masterplan 2035 prevede anche la realizzazione di interventi indirettamente connessi al reticolo idrografico. Fra questi, oltre ai due interventi descritti nei paragrafi seguenti, il Masterplan aeroportuale 2035 prevede anche gli interventi di adeguamento di 4 tombini esistenti sul Canale di Cinta nell'area a nord della Scuola Marescialli esistente. Questi interventi sono stati oggetto studiati nell'ambito dello studio della fattibilità idraulica del Nuovo Terminal passeggeri, facente parte delle opere di Masterplan 2035, pertanto sono descritti e trattati nella relativa "Relazione Tecnica Idrologica e Fattibilità Idraulica" (rif capitolo 7 elab. FLR-TT-IL-RT-NA-03).

8.1 NUOVO COLLETTORE FOGNARIO POLO UNIFI

L'area del Polo Universitario, rappresentata in figura nella configurazione del suo completo sviluppo, ha una superficie complessiva di circa 71 ha.

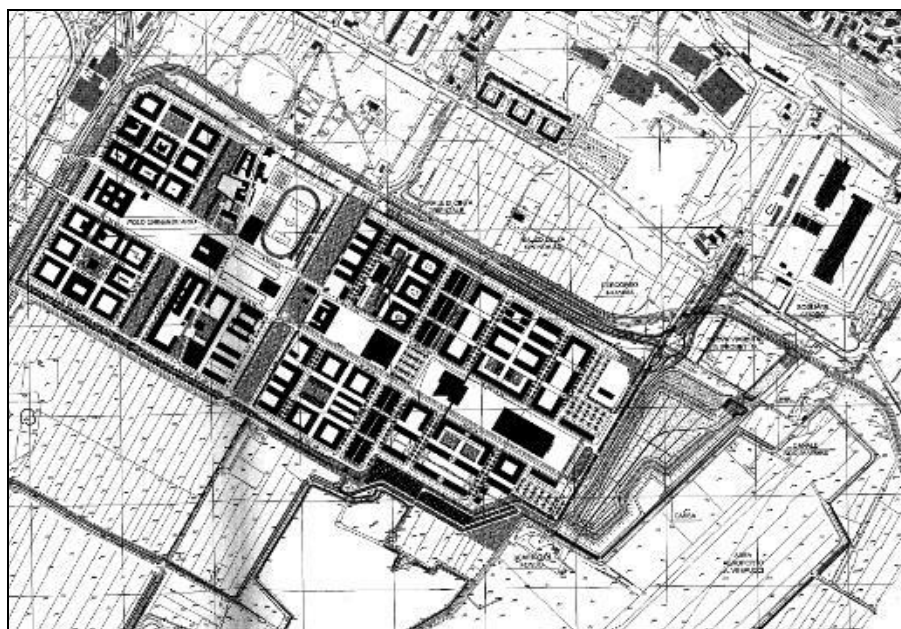


Figura 8-1. Il Piano di Sviluppo del Polo Universitario di Sesto Fiorentino

Allo stato attuale risultano completati circa il 30% degli edifici previsti dal Piano di Sviluppo.

La tabella seguente riporta la ripartizione delle aree prevista:

Tabella 8-1 Superfici del Polo e relativo coefficiente di afflusso

Tipologia	Area [mq]	Percentuale %	Coefficiente ϕ
Aree verdi	182.359	25.76	0.1
Aree semimpermeabili	48.998	6.92	0.4
Tetti e strade	476.690	67.32	1
Totale	708.047	100	

L'area ragguagliata, media delle diverse aree "pesate" ai valori del coefficiente di deflusso, risulta pari a circa 51.5 ha.

Con riferimento al sistema di fognatura meteorica, la rete fognaria secondaria e i collettori principali di raccolta delle acque di pioggia realizzati garantiscono il drenaggio di circa il 60% dell'area complessiva del Polo.

Il piano terreno degli edifici presenta una quota minima di circa 39.30 m s.l.m. ed il piano interrato una quota di 36.60 m s.l.m.

Allo stato attuale il Polo è servito da collettori fognari (condotte a sezione circolare in calcestruzzo di diametro 2000 mm) aventi il piano di posa ad una profondità di circa 4 m dal piano di campagna ed una quota minima del fondo al recapito finale di circa 33.5 m s.l.m.

Il recapito attuale è costituito dal Canale Colatore Sinistro di Acque Basse, che ha inizio in prossimità dell'angolo sud ovest dell'area.

Si tratta di un canale a sezione trapezoidale (larghezza del fondo 4.0 m ed altezza variabile da 2 a 7m) che è la naturale prosecuzione del collettore fognario del Polo e si sviluppa con percorso sostanzialmente rettilineo e parallelo in sinistra del Fosso Reale, raccogliendo a sud le acque del Fosso di Dogaia per proseguire fino al sottopasso dell'Autostrada A11.

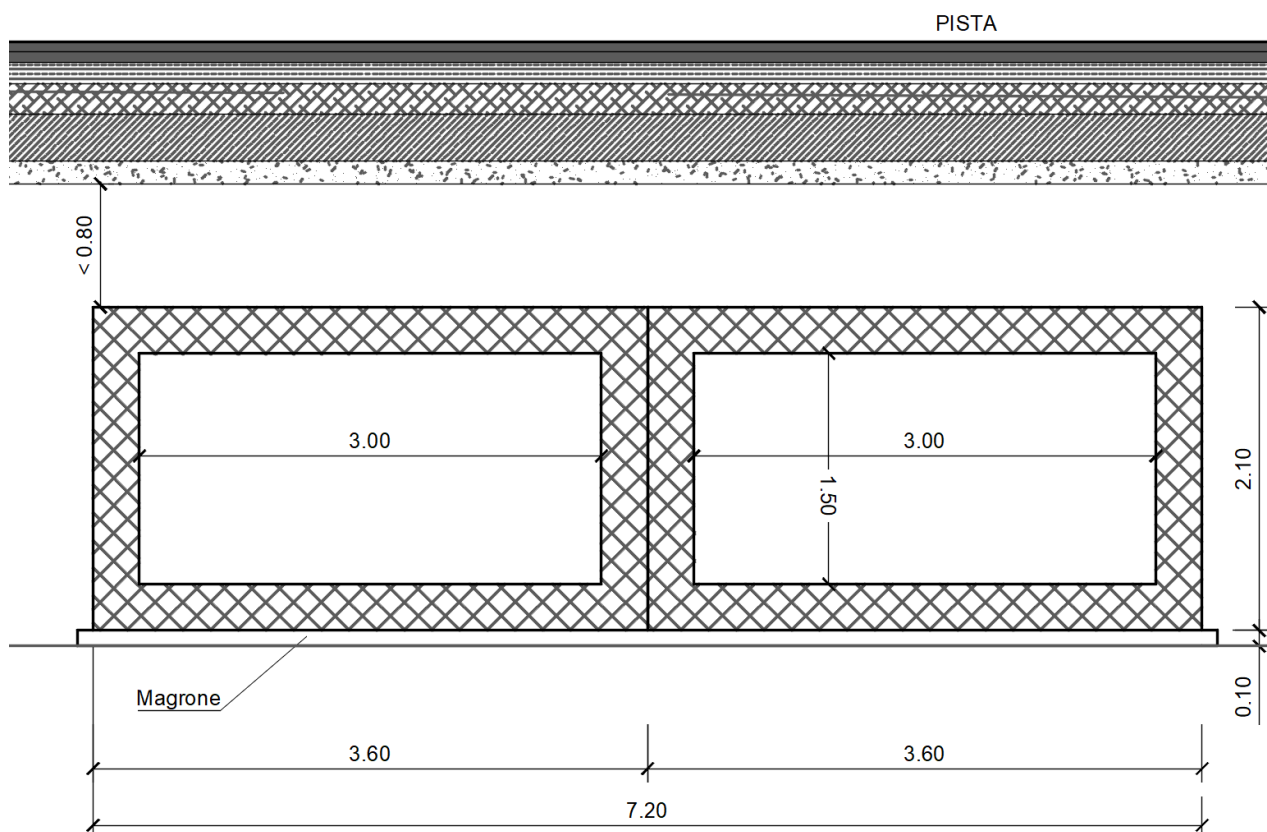
Il canale è attualmente connesso alla vasca di laminazione di Val di Rose che consente di trattenere le acque di piena e di regolarne lo scarico secondo i criteri di auto contenimento indicati dal Piano Generale di Bonifica (Aggiornamento 1998) pari a 2,6 l/s/ha. La vasca di Val di Rose consente di invasare un volume di 60.000 m³.

Il tracciato del canale a cielo aperto e la vasca di compensazione idraulica sono incompatibili con gli interventi previsti dal Masterplan aeroportuale, per questo si prevede di realizzare al loro posto un collettore fognario di sezione scatolare chiusa, convertendo l'attuale canale di bonifica a fognatura, ed una nuova cassa di laminazione. I collettori fognari (2 scatolari 3000 mm x 1500 mm) hanno il piano di posa ad una profondità di circa 4 m dal piano di campagna. L'imbocco è provvisto di una griglia al fine di evitare il trascinarsi di materiale flottante all'interno del collettore. Il recapito è nella cassa di compenso C a sud della pista.

La nuova fognatura, che sotto attraversa ortogonalmente la nuova pista di volo è costituita da un doppio collettore a sezione scatolare lungo circa 580 m.

La verifica dei collettori è stata eseguita sommando i due contributi, sia del Nuovo Fosso Lupaia Giunchi che del nuovo collettore fognario Polo UNIFI, vale a dire 51,5 ha + 3 ha, da cui si ottiene un'area complessiva di 54.5ha.

Considerando un evento di 30 minuti e i dati di pioggia ottenuti nella relazione idrologica delle acque alte, si ottiene una portata di 11,12 mc/s per TR 30 e 16,19 mc/s per TR 200.



Il collettore esce dalla vasca di decantazione con una quota di 34.09 m s.l.m. e recapita nella vasca C di compenso con una quota di 33.00 m s.l.m. Al fine di garantire un ricoprimento accettabile sotto la pista aeroportuale si prevede di far adottare al collettore due pendenze, la prima del 0.00318 m/m e la seconda di 0.001 m/m. Il cambio di pendenza è localizzato al limite tra strip e CGA.

Per la verifica è stata adottata l'espressione di Gauckler-Strickler, riportata di seguito:

$$Q = k \cdot A \cdot R^{2/3} \cdot i^{1/2}$$

Nella quale:

- K è il coefficiente di Gauckler-Strickler, che riassume la scabrezza della sezione pari a 80 $m^{1/3}/s$ in quanto costituito da canali in cls levigato;
- A è l'area occupata dal deflusso in m^2 ;
- R è il raggio idraulico della sezione, definito come rapporto tra l'area della sezione e il contorno bagnato della stessa in m;
- i la pendenza del corso d'acqua.

Sulla base di questi dati si garantisce il deflusso della portata di piena con un tirante idraulico pari a 1.0 m nella sezione di imbocco e di 1.37 m in quella di uscita. Si fa presente che, nonostante lo sbocco non garantisca il franco da NTC, è improbabile che possa verificarsi ostruzione in quanto il materiale flottante sarà intercettato dalla griglia posta all'imbocco.

Nella Vasca di compenso C la portata derivante dal collettore viene parzializzata in uscita verso il sottoattraversamento stradale e a seguire nel colatore sinistro.

8.2 COLLETTORE DI SCARICO CASSA ORIENTALE

Lo scarico della cassa prevista in sinistra del Canale di Cinta Orientale recapita, nell'originaria versione del progetto di competenza dell'Università, nel fosso Lupaia (acque basse).

Considerato che il fosso Lupaia sarà oggetto di interferenza diretta col nuovo sedime aeroportuale, il Masterplan 2035 ha previsto un **nuovo assetto del collettore di scarico** della cassa, tale da mantenere il collegamento interno al reticolo delle acque alte ed **evitare la commistione acque alte-basse**.

Il collettore affianca il perimetro della duna antirumore poste a tutela del Polo Scientifico per poi **immettersi nel Fosso Reale**.

Per maggiori dettagli si rimanda alla tavola di progetto "Collettore di scarico cassa Orientale - Pianta, profilo e particolari" (rif elab. FLR-MPL-PSA-OIE3-011-IL-DG_Coll Scar Cassa Orient).

Nella relazione del progetto "Progettazione delle opere di messa in sicurezza idraulica del Polo Scientifico e Tecnologico di Sesto Fiorentino" – 2012, redatto dall'Università di Firenze e già approvato da specifica conferenza di servizi, è riportato come le quote di invaso e della soglia di sfioro permettono il rapido svaso fino alla quota di 41.20 m s.l.m, mentre solo il restante volume, di circa 100 000 mc, compreso tra tale quota e il fondo della cassa (38.80 m s.l.m) deve essere smaltito dal collettore di scarico.

Il collettore di progetto di D1000 mm riesce a smaltire il volume di 100 000mc in circa 10 ore.

Le ipotesi e i risultati di calcolo sono:

- La cassa è stata approssimata con un serbatoio rettangolare di larghezza utile 420 m circa e profondità utile 99 m circa.
- Livello di partenza è di 2,4 m.
- Tubazione DN 1000 mm con rugosità assoluta della parete interna di 0,004 mm.

I risultati ottenuti sono:

Volume scaricato 100 000 mc

Tempo di svuotamento 623 minuti

Dati a livello massimo $h=2.4$ m

Portata massima 5.3 mc/s

Velocità massima 6.8 m/s

Dati mediati

Portata massima 2.67 mc/s

Velocità massima 3.4 m/s

Le velocità ovviamente possono essere ridotte e controllate parzializzando l'uscita (regolando la paratoia) e allungando così il tempo di svuotamento che può essere ragionevolmente esteso alle 24 ore.

La scelta di effettuare lo scarico mediante tubazione consente il vantaggio di poter eseguire lo svuotamento della cassa anche in presenza di un battente idraulico (di circa 2 m), riducendo i maggiori ingombri (arginature) altrimenti necessari per la realizzazione di un canale e diminuendo notevolmente la durata dei tempi di scarico. La tubazione è dotata di pozzetti d'ispezione ad interasse di 50 m.

ALLEGATO 1: PIANO DI GESTIONE DELLE PARATOIE DI REGOLAZIONE

Definizioni

SM1 e SM2 = Sonde di livello con lettura della pressione idraulica ubicate sul F.Reale a monte delle paratoie d'intercettazione.

LM1 e LM2 = Misura del livello idrico nel Fosso Reale delle sonde SM1 E SM2.

SV1 e SV2 = Sonde di livello a ultrasuoni ubicate a valle sul F.Reale.

LV1 e LV2 = Misura del livello idrico di valle consistente nel livello idrico delle sonde SV1 e SV2

Lo schema che descrive il funzionamento del deflusso è sinteticamente descritto nella seguente figura, dove sono rappresentati il canale di derivazione insieme ai punti di derivazione e restituzione e le apparecchiature elettromeccaniche e i misuratori del livello idrico.

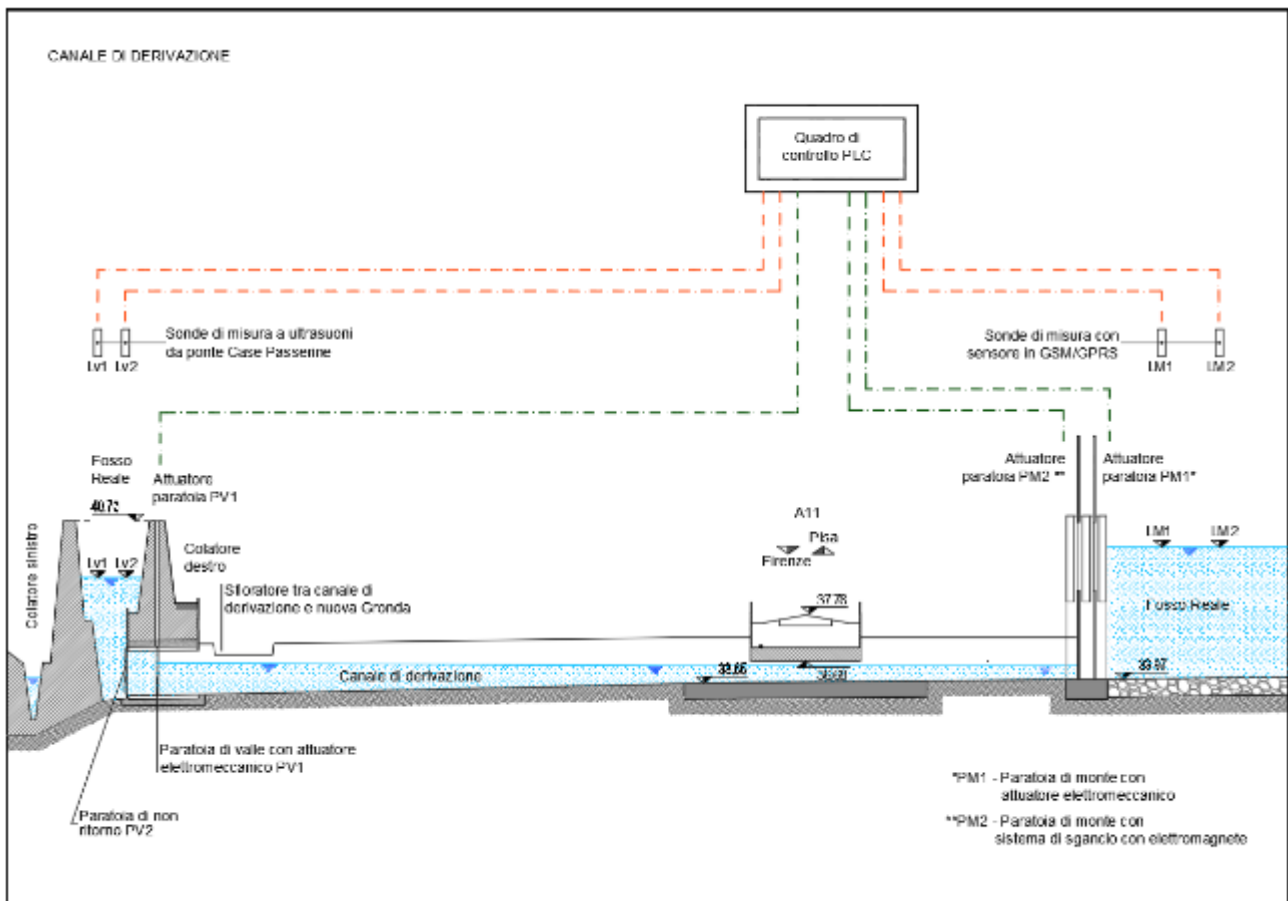


Figura A1-0-1. Schema di funzionamento del deflusso

Il deflusso nel Fosso Reale può avvenire secondo due modalità:

- 1) Deflusso ordinario, allorquando i valori di portata provenienti da monte defluiscono con livelli inferiori alla quota d'intradosso del tombino autostradale. Nel caso di deflusso ordinario il progetto prevede di utilizzare il canale di derivazione (tratto B-D) senza impegnare il tratto di nuova inalveazione (tratto B-C).
- 2) Deflusso di piena, allorquando i valori di portata provenienti da monte defluiscono con livelli superiori alla quota d'intradosso del tombino autostradale. Nel caso di deflusso di piena il progetto prevede di utilizzare il tratto di nuova inalveazione (tratto B-C), escludendo dal regime della porta il canale di derivazione (tratto B-D).

Il passaggio della portata nel canale di derivazione o nel canale di nuova inalveazione è regolato mediante paratoie.

Il progetto affronta il problema della gestione delle paratoie affidando la chiusura ad automatismi correlati ai livelli registrati sul Fosso Reale e la chiusura a operazioni manuali per quanto asservite a controlli dei livelli.

L'apparecchiatura centrale di controllo del sistema è un quadro PLC ubicato nel locale tecnico posto sull'argine in destra del Fosso Reale, in prossimità delle paratoie d'intercettazione. Nel medesimo locale sono sistemati il punto di consegna ENEL, il gruppo elettrogeno e le apparecchiature per la regolazione del circuito idraulico oledinamico.

Il sistema di misura dei livelli si compone di due punti di misura:

- 1) Il punto di misura di monte, consistente di due sonde (SM1 e SM2) ubicate sulla parete d'imbocco del canale di derivazione.
- 2) Il punto di misura di valle, consistente di due sonde (SV1 e SV2).

Le sonde SM1 e SM2 sono sonde di misura di tipo ceramico con misura capacitiva del livello idrico, le sonde SV1 ed SV2 sono sonde a misurazione ad ultrasuoni non potendo disporre di una parete verticale su cui installare la tipologia di cui al punto 1.

I segnali sono ricondotti ad un quadro plc in grado di teletrasmettere il dato registrato.

Vengono installate coppie di sonde al fine di avere il controllo combinato del livello, il controllo di avaria di una delle due ed inoltre disporre sempre almeno una sonda di lettura in funzione.

Partendo dalla situazione di deflusso ordinario le sonde forniscono i dati di funzionamento e il livello idrico al sistema centrale.

Come evidenziato nel diagramma a blocchi in figura il segnale di chiusura delle paratoie, sia di quelle di monte che di quella di valle, corrisponde a una delle due seguenti condizioni:

- 1) che si raggiunga il livello di LM (livello di intervento) a monte delle paratoie PM1 e PM2;
- 2) che si raggiunga il livello di LV (livello di intervento) a valle delle paratoie elettromeccanica PV1 meccanica non ritorno PV2.

In presenza di una delle precedenti situazioni si attiva in automatico la procedura di chiusura del sistema, ossia la chiusura della paratoia automatizzata di monte (PM1) in caso di segnalazione di anomali viene attivata per distacco del circuito la seconda paratoia di sicurezza (PM2). A distanza di brevissimo tempo si attiva la chiusura della paratoia di valle (PV1). Si osserva che la paratoia di non ritorno PV2 risponde direttamente al livello presente ne Fosso Reale.

Con riferimento alle modalità di azionamento si fa presente che:

- il sistema di monte è stato progettato con attuatore elettromeccanico della manovra per la paratoia PM1 e con sistema automatico di sgancio tramite elettromagnete per la paratoia PM2. Questo sistema consente di disporre la chiusura della paratoia d'intercettazione anche in caso di malfunzionamento del sistema elettromeccanico;

il sistema di valle si avvale dell'automatismo meccanico della paratoia di non ritorno (PV2) oltre che del sistema elettromeccanico (PV1).

Si ipotizza di mantenere la chiusura delle paratoie per almeno 48 ore. Tale tempo potrà essere variato in funzione di considerazioni puntuali da valutare all'atto della messa in esercizio.

Trascorso questo lasso di tempo la riapertura del canale di derivazione mediante viene effettuata mediante intervento manuale dell'operatore.

Le paratoie possono essere aperte qualora si configuri la condizione che il livello di monte sia inferiore a LM. e che quello di valle sia inferiore a LV.

Il livello di monte è stato valutato tenendo conto di un deflusso minimo sulla soglia maggiore di circa 5 cm rispetto alla soglia di sfioro

L'apertura delle due paratoie dovrà essere effettuata con almeno n.3 step di sollevamento, come riportato nella seguente tabella.

step	Apertura [cm]	Portata [mc/s]
1	0,2	3
2	0,4	5.5
3	0,8 (completa apertura)	6 max

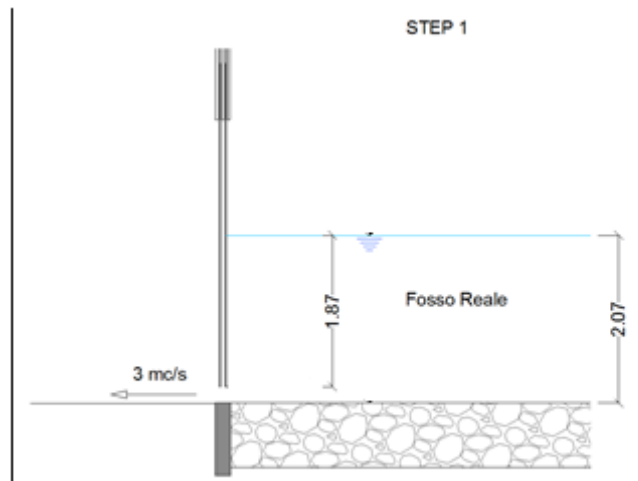


Figura A1-2. Schema step 1

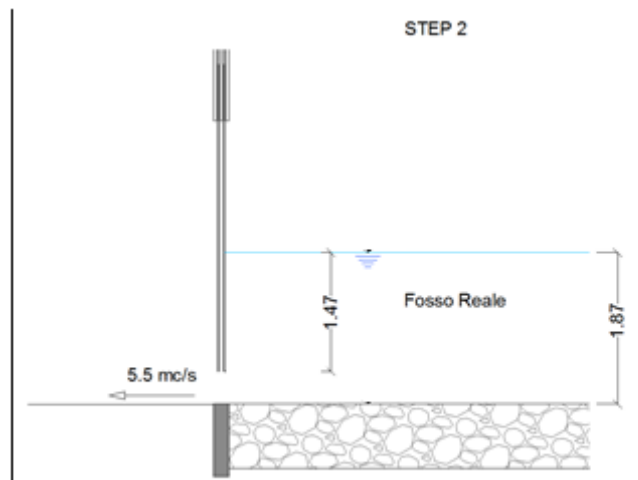


Figura A1-3. Schema step 2

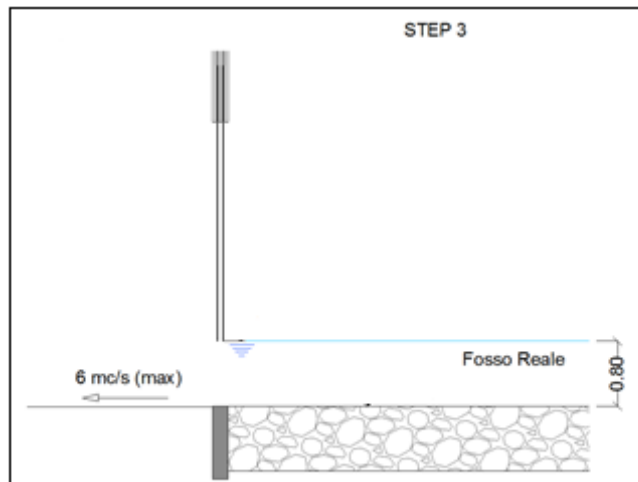
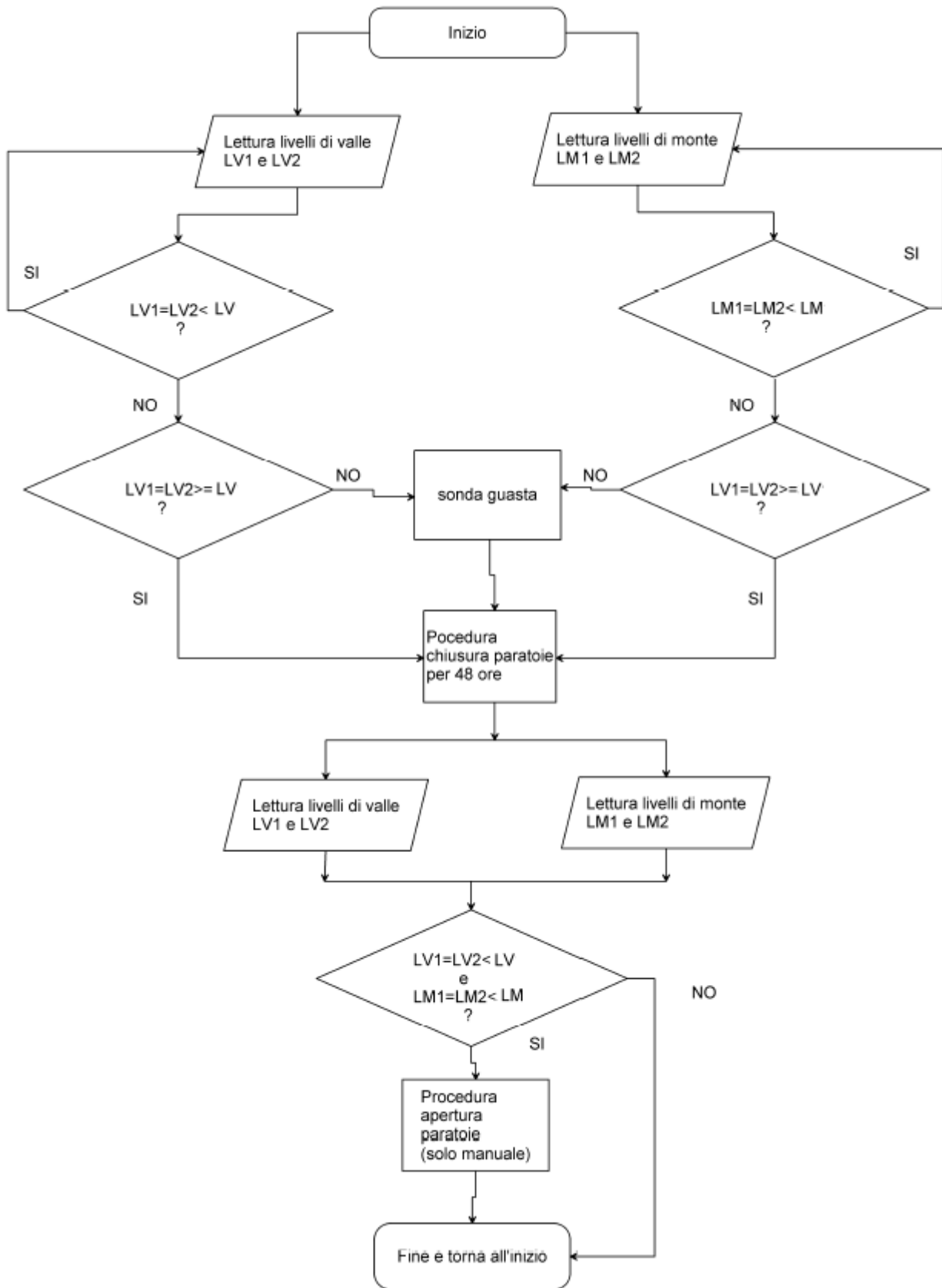


Figura A1-4. Schema step 3

Il valore risulta compatibile con la portata del canale di derivazione.

Nel seguente diagramma a blocchi vengono rappresentate le procedure ed i livelli per i quali si attivano le chiusure e le riaperture del sistema.



ALLEGATO 2: FASCICOLO VERIFICHE IDRAULICHE

ELENCO SCENARI ANALIZZATI

STATO ATTUALE - Tr 500 - 1 H
STATO ATTUALE - Tr 500 - 3 H
STATO ATTUALE - Tr 500 - 6 H
STATO ATTUALE - Tr 500 - 12 H
STATO ATTUALE - Tr 500 - 18 H
STATO ATTUALE - Tr 500 - 24 H
STATO ATTUALE - Tr 500 - 36 H
STATO ATTUALE - Tr 200 - 1 H
STATO ATTUALE - Tr 200 - 3 H
STATO ATTUALE - Tr 200 - 6 H
STATO ATTUALE - Tr 200 - 12 H
STATO ATTUALE - Tr 200 - 18 H
STATO ATTUALE - Tr 200 - 24 H
STATO ATTUALE - Tr 200 - 36 H
STATO ATTUALE - Tr 30 - 2 H
STATO ATTUALE - Tr 30 - 3 H
STATO ATTUALE - Tr 30 - 6 H
STATO ATTUALE - Tr 30 - 12 H
STATO ATTUALE - Tr 30 - 18 H
STATO ATTUALE - Tr 30 - 24 H
STATO ATTUALE - Tr 30 - 36 H
STATO DI PROGETTO - Tr 500 - 1 H
STATO DI PROGETTO - Tr 500 - 3 H
STATO DI PROGETTO - Tr 500 - 6 H
STATO DI PROGETTO - Tr 500 - 12 H
STATO DI PROGETTO - Tr 500 - 18 H
STATO DI PROGETTO - Tr 500 - 24 H
STATO DI PROGETTO - Tr 500 - 36 H
STATO DI PROGETTO - Tr 200 - 1 H
STATO DI PROGETTO - Tr 200 - 3 H
STATO DI PROGETTO - Tr 200 - 6 H
STATO DI PROGETTO - Tr 200 - 12 H
STATO DI PROGETTO - Tr 200 - 18 H
STATO DI PROGETTO - Tr 200 - 24 H
STATO DI PROGETTO - Tr 200 - 36 H
STATO DI PROGETTO - Tr 30 - 2 H
STATO DI PROGETTO - Tr 30 - 3 H
STATO DI PROGETTO - Tr 30 - 6 H
STATO DI PROGETTO - Tr 30 - 12 H
STATO DI PROGETTO - Tr 30 - 18 H
STATO DI PROGETTO - Tr 30 - 24 H
STATO DI PROGETTO - Tr 30 - 36 H

Reale_02	91.4	Lat Struct										
Reale_02	91 Max WS	199.01	34.67	40.47	38.28	40.66	0.000773	1.96	101.69	28.4	0.33	
Reale_02	90.6	Lat Struct										
Reale_02	90.4	Lat Struct										
Reale_02	90 Max WS	198.95	35.04	40.36	38.47	40.58	0.000933	2.09	95.38	29.42	0.37	
Reale_02	89.6	Lat Struct										
Reale_02	89.4	Lat Struct										
Reale_02	89 Max WS	198.95	35.14	40.39	38.25	40.57	0.000706	1.88	105.57	30.78	0.32	
Reale_02	88.5	Bridge										
Reale_02	88 Max WS	198.95	35.14	40.38	38.23	40.56	0.000751	1.87	106.41	32.12	0.33	
Reale_02	87.6	Lat Struct										
Reale_02	87.4	Lat Struct										
Reale_02	87 Max WS	198.95	35.14	40.37	38.24	40.55	0.000702	1.88	105.97	31.06	0.32	
Reale_02	86.6	Lat Struct										
Reale_02	86.4	Lat Struct										
Reale_02	86 Max WS	198.9	35.06	40.3	38.49	40.53	0.00098	2.13	93.24	28.97	0.38	
Reale_02	85.6	Lat Struct										
Reale_02	85.4	Lat Struct										
Reale_02	85 Max WS	198.85	34.82	40.19	38.33	40.42	0.000969	2.12	93.86	28.92	0.38	
Reale_02	84.6	Lat Struct										
Reale_02	84.4	Lat Struct										
Reale_02	84 Max WS	198.77	34.8	40.16	37.5	40.31	0.00053	1.69	117.52	28.88	0.27	
Reale_02	83.6	Lat Struct										
Reale_02	83.4	Lat Struct										
Reale_02	83 Max WS	198.79	34.62	40.24	37.03	40.3	0.000169	1.03	192.19	44.55	0.16	
Reale_02	82.6	Lat Struct										
Reale_02	82.4	Lat Struct										
Reale_02	82 Max WS	198.72	34.62	40.12	37.53	40.31	0.000678	1.91	104.03	24.14	0.29	
Reale_02	81.5	Bridge										
Reale_02	81 Max WS	198.72	34.62	40.11	37.53	40.3	0.000683	1.92	103.77	24.13	0.29	
Reale_02	80.6	Lat Struct										
Reale_02	80.4	Lat Struct										
Reale_02	80 Max WS	198.79	34.61	40.24	36.8	40.28	0.000128	0.92	215.69	49.23	0.14	
Reale_02	79.9 Max WS	198.78	34.6	40.24	36.8	40.28	0.000128	0.92	215.77	49.23	0.14	
Reale_02	79.6	Lat Struct										
Reale_02	79.4	Lat Struct										
Reale_02	79 Max WS	198.69	34.14	40.25	36.61	40.28	0.000128	0.8	247.76	69.79	0.14	
Reale_02	78 Max WS	198.66	34.14	40.16	37.13	40.29	0.000478	1.64	121.13	24.73	0.24	
Reale_02	77.5	Bridge										
Reale_02	77 Max WS	198.63	34.14	40.14	37.13	40.28	0.000483	1.65	120.67	24.73	0.24	
Reale_02	76.6	Lat Struct										
Reale_02	76.4	Lat Struct										
Reale_02	76 Max WS	198.65	34.09	40.12	37.27	40.27	0.00047	1.7	117.19	25.55	0.25	
Reale_02	75.6	Lat Struct										
Reale_02	75.4	Lat Struct										
Reale_02	75 Max WS	198.59	34.13	40.03	38.12	40.25	0.001033	2.07	95.81	31.53	0.38	
Reale_02	74.6	Lat Struct										
Reale_02	74.4	Lat Struct										
Reale_02	74 Max WS	198.5	34.01	39.92	38.3	40.19	0.001387	2.32	85.45	28.22	0.43	
Reale_02	73.5	Bridge										
Reale_02	73 Max WS	198.5	34.01	39.9	38.3	40.18	0.00141	2.34	84.95	28.15	0.43	
Reale_02	72.6	Lat Struct										
Reale_02	72.4	Lat Struct										
Reale_02	72 Max WS	198.5	33.98	39.94	38.17	40.18	0.001083	2.14	92.97	29.18	0.38	
Reale_02	71.6	Lat Struct										
Reale_02	71.4	Lat Struct										
Reale_02	71 Max WS	198.53	33.81	39.94	37.95	40.16	0.000908	2.09	95.03	28.13	0.36	
Reale_02	70.06	Lat Struct										
Reale_02	70.04	Lat Struct										
Reale_02	69.6	Lat Struct										
Reale_02	69.4	Lat Struct										
Reale_02	69 Max WS	198.55	33.33	39.94	37.42	40.11	0.000612	1.84	107.69	28.8	0.3	
Reale_02	68.6	Lat Struct										
Reale_02	68.4	Lat Struct										
Reale_02	68 Max WS	197.59	33	39.87	37.54	40.05	0.000745	1.89	104.31	30.59	0.33	

Reale_02	67.6	Lat Struct										
Reale_02	67.4	Lat Struct										
Reale_02	67 Max WS	193.24	33.19	39.78	37.31	39.95	0.000629	1.83	105.84	28.61	0.3	
Reale_02	66.6	Lat Struct										
Reale_02	66.4	Lat Struct										
Reale_02	66 Max WS	190.53	33.16	39.72	37.25	39.89	0.000594	1.78	107.2	28.92	0.29	
Reale_02	65.6	Lat Struct										
Reale_02	65.4	Lat Struct										
Reale_02	65 Max WS	184.84	33.09	39.68	37.12	39.83	0.000546	1.71	108.13	29.05	0.28	
Reale_02	64.6	Lat Struct										
Reale_02	64.4	Lat Struct										
Reale_02	64 Max WS	178.47	32.8	39.65	36.99	39.78	0.00048	1.62	110.01	28.87	0.27	
Reale_02	63.6	Lat Struct										
Reale_02	63.4	Lat Struct										
Reale_02	63 Max WS	176.93	33.21	39.59	37.03	39.73	0.000501	1.64	107.67	29	0.27	
Reale_02	62.6	Lat Struct										
Reale_02	62.4	Lat Struct										
Reale_02	62 Max WS	177.05	33.02	39.54	37.05	39.68	0.000534	1.68	105.48	28.82	0.28	
Reale_02	61.6	Lat Struct										
Reale_02	61.4	Lat Struct										
Reale_02	61 Max WS	176.43	32.81	39.51	36.85	39.64	0.000466	1.6	110.08	29.06	0.26	
Reale_02	60.6	Lat Struct										
Reale_02	60.4	Lat Struct										
Reale_02	60 Max WS	175.46	32.82	39.46	36.94	39.59	0.000504	1.64	107.08	29.08	0.27	
Reale_02	59.6	Lat Struct										
Reale_02	59.4	Lat Struct										
Reale_02	59 Max WS	175.62	32.62	39.41	36.61	39.53	0.000438	1.5	117.27	33.06	0.25	
Reale_02	58.6	Lat Struct										
Reale_02	58.4	Lat Struct										
Reale_02	58 Max WS	175.67	32.6	39.43	36.49	39.52	0.000319	1.36	129.42	31.53	0.21	
Reale_02	57.6	Lat Struct										
Reale_02	57.4	Lat Struct										
Reale_02	57 Max WS	175.67	32.57	39.42	36.44	39.52	0.000344	1.39	126.16	31.26	0.22	
Reale_02	56.5	Bridge										
Reale_02	56 Max WS	175.67	32.57	39.41	36.44	39.51	0.000346	1.4	125.83	31.17	0.22	
Reale_02	55.6	Lat Struct										
Reale_02	55.4	Lat Struct										
Reale_02	55 Max WS	175.67	32.57	39.41	36.44	39.51	0.000357	1.44	121.57	29.24	0.23	
Reale_02	54.6	Lat Struct										
Reale_02	54.4	Lat Struct										
Reale_02	54 Max WS	175.62	32.53	39.38	36.63	39.51	0.00049	1.55	113.05	32.92	0.27	
Reale_02	53.6	Lat Struct										
Reale_02	53.4	Lat Struct										
Reale_02	53 Max WS	174.64	32.6	39.35	36.71	39.49	0.000495	1.63	107.2	28.73	0.27	
Reale_02	52.6	Lat Struct										
Reale_02	52.4	Lat Struct										
Reale_02	52 Max WS	174.63	32.68	39.31	36.42	39.44	0.000482	1.61	108.42	29.11	0.27	
Reale_02	51.6	Lat Struct										
Reale_02	51.4	Lat Struct										
Reale_02	51 Max WS	174.64	32.63	39.26	36.36	39.39	0.000496	1.64	106.59	28.26	0.27	
Reale_02	50.6	Lat Struct										
Reale_02	50.4	Lat Struct										
Reale_02	50 Max WS	174.72	32.44	39.22	36.54	39.35	0.000477	1.61	108.63	28.98	0.27	
Reale_02	49.6	Lat Struct										
Reale_02	49.4	Lat Struct										
Reale_02	49 Max WS	174.72	32.49	39.16	36.63	39.3	0.000517	1.64	106.24	29.48	0.28	
Reale_02	48.6	Lat Struct										
Reale_02	48.4	Lat Struct										
Reale_02	48 Max WS	174.65	32.59	39.11	36.51	39.25	0.000489	1.61	108.42	29.73	0.27	
Reale_02	47.6	Lat Struct										
Reale_02	47.4	Lat Struct										
Reale_02	47 Max WS	174.39	32.41	39.06	36.4	39.19	0.000475	1.6	109.07	29.34	0.26	
Reale_02	46.6	Lat Struct										
Reale_02	46.4	Lat Struct										
Reale_02	46 Max WS	174.32	32.39	39.02	36.35	39.15	0.000465	1.58	110.07	29.63	0.26	

Reale_02	25.4	Lat Struct										
Reale_02	25 Max WS	172.81	32.07	38.04	35.74	38.23	0.000827	1.92	90.09	28.09	0.34	
Reale_02	24.6	Lat Struct										
Reale_02	24.4	Lat Struct										
Reale_02	24 Max WS	172.69	31.97	37.95	35.62	38.14	0.000833	1.92	89.81	28.2	0.34	
Reale_02	23.6	Lat Struct										
Reale_02	23.4	Lat Struct										
Reale_02	23 Max WS	172.68	32.08	37.86	35.67	38.05	0.000831	1.93	89.36	27.94	0.35	
Reale_02	22.6	Lat Struct										
Reale_02	22.4	Lat Struct										
Reale_02	22 Max WS	172.49	32.01	37.74	35.63	37.95	0.000967	2.03	84.91	27.47	0.37	
Reale_02	21.6	Lat Struct										
Reale_02	21.4	Lat Struct										
Reale_02	21 Max WS	-3.88	31.87	37.72	32.39	37.72	0	-0.05	84.84	27.68	0.01	
Reale_02	20.6	Lat Struct										
Reale_02	20.4	Lat Struct										
Reale_02	20 Max WS	-4.08	31.74	37.72	32.17	37.72	0	-0.05	89.69	27.73	0.01	
Reale_02	19.6	Lat Struct										
Reale_02	19.4	Lat Struct										
Reale_02	19 Max WS	-4.12	31.58	37.72	32.13	37.72	0	-0.05	90.67	28.04	0.01	
Reale_02	18.6	Lat Struct										
Reale_02	18.4	Lat Struct										
Reale_02	18 Max WS	-4.36	31.95	37.72	32.38	37.72	0.000001	-0.05	81.79	26.83	0.01	
Reale_02	17.6	Lat Struct										
Reale_02	17.4	Lat Struct										
Reale_02	17 Max WS	-4.46	32.17	37.72		37.72	0.000001	-0.05	93.16	29.14	0.01	
Reale_02	16.5	Bridge										
Reale_02	16 Max WS	-4.46	32.17	37.72	32.61	37.72	0.000001	-0.05	93.84	29.15	0.01	
Reale_02	15.6	Lat Struct										
Reale_02	15.4	Lat Struct										
Reale_02	15 Max WS	-4.88	32.25	37.73	32.73	37.73	0.000001	-0.05	99.11	33.4	0.01	
Reale_02	14.6	Lat Struct										
Reale_02	14.4	Lat Struct										
Reale_02	14 Max WS	-5.1	31.95	37.73	32.42	37.73	0.000001	-0.06	81.88	26.84	0.01	
Reale_02	13.6	Lat Struct										
Reale_02	13.4	Lat Struct										
Reale_02	13 Max WS	-5.79	32.04	37.73	32.66	37.73	0.000001	-0.07	86.84	28.19	0.01	
Reale_02	12.6	Lat Struct										
Reale_02	12.4	Lat Struct										
Reale_02	12 Max WS	-4.33	32.24	37.72	32.61	37.72	0.000001	-0.05	87.19	28.74	0.01	
Reale_02	11.6	Lat Struct										
Reale_02	11.4	Lat Struct										
Reale_02	11 Max WS	-0.29	32.1	37.69	32.25	37.69	0	0	87.6	28.77	0	
Reale_02	10.6	Lat Struct										
Reale_02	10.4	Lat Struct										
Reale_02	10 Max WS	0.01	32.08	37.69	32.09	37.69	0	0	67.34	12	0	
Reale_02	9.6	Lat Struct										
Reale_02	9.4	Lat Struct										
Reale_02	9 Max WS	0.01	30.8	37.69	30.81	37.69	0	0	68.91	10	0	
Reale_02	8.6	Lat Struct										
Reale_02	8.4	Lat Struct										
Reale_02	8 Max WS	0	30.8	37.69	30.81	37.69	0	0	68.91	10	0	
Reale_02	7.6	Inl Struct										
Reale_02	7.1 Max WS	0	30.8	39.76	30.81	39.76	0	0	89.6	10	0	
Reale_02	7 Max WS	0	30.8	39.76	30.81	39.76	0	0	107.52	12	0	
Reale_02	1.6	Lat Struct										
Reale_02	1.4	Lat Struct										
Reale_02	1.1 Max WS	0.01	31.66	39.76	31.68	39.76	0	0	207.88	40.93	0	
Reale_02	1 Max WS	-0.02	31.66	39.76	31.69	39.76	0	0	207.88	40.93	0	

Reale_02	91.4	Lat Struct										
Reale_02	91 Max WS	187.53	34.67	40.4	38.2	40.58	0.000728	1.88	99.67	28.23	0.32	
Reale_02	90.6	Lat Struct										
Reale_02	90.4	Lat Struct										
Reale_02	90 Max WS	187.53	35.04	40.3	38.39	40.5	0.000878	2.01	93.46	29.21	0.36	
Reale_02	89.6	Lat Struct										
Reale_02	89.4	Lat Struct										
Reale_02	89 Max WS	187.53	35.14	40.32	38.17	40.49	0.000666	1.81	103.5	30.77	0.32	
Reale_02	88.5	Bridge										
Reale_02	88 Max WS	187.53	35.14	40.31	38.15	40.48	0.000708	1.8	104.37	32.12	0.32	
Reale_02	87.6	Lat Struct										
Reale_02	87.4	Lat Struct										
Reale_02	87 Max WS	187.53	35.14	40.31	38.17	40.47	0.00066	1.8	104.01	31.06	0.31	
Reale_02	86.6	Lat Struct										
Reale_02	86.4	Lat Struct										
Reale_02	86 Max WS	187.52	35.06	40.25	38.4	40.46	0.000917	2.05	91.57	28.79	0.37	
Reale_02	85.6	Lat Struct										
Reale_02	85.4	Lat Struct										
Reale_02	85 Max WS	187.52	34.82	40.14	38.24	40.35	0.0009	2.03	92.44	28.77	0.36	
Reale_02	84.6	Lat Struct										
Reale_02	84.4	Lat Struct										
Reale_02	84 Max WS	187.51	34.8	40.12	37.41	40.25	0.000489	1.61	116.14	28.87	0.26	
Reale_02	83.6	Lat Struct										
Reale_02	83.4	Lat Struct										
Reale_02	83 Max WS	187.51	34.62	40.19	36.98	40.24	0.000157	0.99	189.73	44.48	0.15	
Reale_02	82.6	Lat Struct										
Reale_02	82.4	Lat Struct										
Reale_02	82 Max WS	187.51	34.62	40.08	37.45	40.25	0.000622	1.82	102.96	24.1	0.28	
Reale_02	81.5	Bridge										
Reale_02	81 Max WS	187.51	34.62	40.07	37.45	40.24	0.000626	1.83	102.73	24.09	0.28	
Reale_02	80.6	Lat Struct										
Reale_02	80.4	Lat Struct										
Reale_02	80 Max WS	187.51	34.61	40.19	36.76	40.22	0.000118	0.88	213	49.13	0.14	
Reale_02	79.9 Max WS	187.51	34.6	40.18	36.75	40.22	0.000118	0.88	213.08	49.13	0.13	
Reale_02	79.6	Lat Struct										
Reale_02	79.4	Lat Struct										
Reale_02	79 Max WS	187.48	34.14	40.19	36.57	40.22	0.00012	0.77	243.89	69.79	0.13	
Reale_02	78 Max WS	187.48	34.14	40.11	37.06	40.23	0.000438	1.56	119.96	24.73	0.23	
Reale_02	77.5	Bridge										
Reale_02	77 Max WS	187.48	34.14	40.1	37.06	40.22	0.000441	1.57	119.69	24.73	0.23	
Reale_02	76.6	Lat Struct										
Reale_02	76.4	Lat Struct										
Reale_02	76 Max WS	187.48	34.09	40.09	37.19	40.22	0.000428	1.61	116.2	25.49	0.24	
Reale_02	75.6	Lat Struct										
Reale_02	75.4	Lat Struct										
Reale_02	75 Max WS	187.48	34.13	40	38.04	40.2	0.000943	1.98	94.84	31.3	0.36	
Reale_02	74.6	Lat Struct										
Reale_02	74.4	Lat Struct										
Reale_02	74 Max WS	187.46	34.01	39.9	38.22	40.15	0.001259	2.21	84.92	28.15	0.41	
Reale_02	73.5	Bridge										
Reale_02	73 Max WS	187.46	34.01	39.88	38.22	40.13	0.001277	2.22	84.49	28.09	0.41	
Reale_02	72.6	Lat Struct										
Reale_02	72.4	Lat Struct										
Reale_02	72 Max WS	187.47	33.98	39.92	38.1	40.13	0.000984	2.03	92.35	29.12	0.36	
Reale_02	71.6	Lat Struct										
Reale_02	71.4	Lat Struct										
Reale_02	71 Max WS	187.46	33.81	39.92	37.86	40.12	0.000824	1.98	94.45	28.07	0.35	
Reale_02	70.06	Lat Struct										
Reale_02	70.04	Lat Struct										
Reale_02	69.6	Lat Struct										
Reale_02	69.4	Lat Struct										
Reale_02	69 Max WS	187.46	33.33	39.92	37.34	40.08	0.000554	1.75	107.08	28.74	0.29	
Reale_02	68.6	Lat Struct										
Reale_02	68.4	Lat Struct										
Reale_02	68 Max WS	186.77	33	39.85	37.46	40.02	0.000674	1.8	103.86	30.57	0.31	

Reale_02	67.6	Lat Struct										
Reale_02	67.4	Lat Struct										
Reale_02	67 Max WS	185.25	33.19	39.77	37.24	39.92	0.000582	1.75	105.58	28.59	0.29	
Reale_02	66.6	Lat Struct										
Reale_02	66.4	Lat Struct										
Reale_02	66 Max WS	183.11	33.16	39.72	37.19	39.87	0.000551	1.71	107.02	28.91	0.28	
Reale_02	65.6	Lat Struct										
Reale_02	65.4	Lat Struct										
Reale_02	65 Max WS	178.72	33.09	39.67	37.07	39.81	0.000513	1.66	107.98	29.04	0.27	
Reale_02	64.6	Lat Struct										
Reale_02	64.4	Lat Struct										
Reale_02	64 Max WS	173.38	32.8	39.64	36.95	39.77	0.000455	1.58	109.85	28.87	0.26	
Reale_02	63.6	Lat Struct										
Reale_02	63.4	Lat Struct										
Reale_02	63 Max WS	172.54	33.21	39.59	36.99	39.72	0.000478	1.6	107.57	28.99	0.27	
Reale_02	62.6	Lat Struct										
Reale_02	62.4	Lat Struct										
Reale_02	62 Max WS	172.55	33.02	39.54	37.02	39.67	0.000508	1.64	105.42	28.82	0.27	
Reale_02	61.6	Lat Struct										
Reale_02	61.4	Lat Struct										
Reale_02	61 Max WS	171.26	32.81	39.5	36.81	39.63	0.00044	1.56	110.05	29.06	0.26	
Reale_02	60.6	Lat Struct										
Reale_02	60.4	Lat Struct										
Reale_02	60 Max WS	171.29	32.82	39.46	36.91	39.59	0.00048	1.6	107.11	29.08	0.27	
Reale_02	59.6	Lat Struct										
Reale_02	59.4	Lat Struct										
Reale_02	59 Max WS	171.34	32.62	39.41	36.58	39.52	0.000417	1.46	117.34	33.06	0.25	
Reale_02	58.6	Lat Struct										
Reale_02	58.4	Lat Struct										
Reale_02	58 Max WS	171.35	32.6	39.43	36.46	39.52	0.000303	1.32	129.46	31.54	0.21	
Reale_02	57.6	Lat Struct										
Reale_02	57.4	Lat Struct										
Reale_02	57 Max WS	171.34	32.57	39.42	36.4	39.52	0.000327	1.36	126.21	31.28	0.22	
Reale_02	56.5	Bridge										
Reale_02	56 Max WS	171.34	32.57	39.41	36.4	39.51	0.000329	1.36	125.9	31.19	0.22	
Reale_02	55.6	Lat Struct										
Reale_02	55.4	Lat Struct										
Reale_02	55 Max WS	171.34	32.57	39.41	36.41	39.51	0.000339	1.41	121.65	29.24	0.22	
Reale_02	54.6	Lat Struct										
Reale_02	54.4	Lat Struct										
Reale_02	54 Max WS	171.34	32.53	39.39	36.59	39.5	0.000465	1.51	113.17	32.94	0.26	
Reale_02	53.6	Lat Struct										
Reale_02	53.4	Lat Struct										
Reale_02	53 Max WS	171.35	32.6	39.36	36.68	39.49	0.000475	1.6	107.34	28.74	0.26	
Reale_02	52.6	Lat Struct										
Reale_02	52.4	Lat Struct										
Reale_02	52 Max WS	171.38	32.68	39.31	36.33	39.44	0.000462	1.58	108.61	29.13	0.26	
Reale_02	51.6	Lat Struct										
Reale_02	51.4	Lat Struct										
Reale_02	51 Max WS	171.4	32.63	39.26	36.32	39.4	0.000475	1.6	106.82	28.28	0.26	
Reale_02	50.6	Lat Struct										
Reale_02	50.4	Lat Struct										
Reale_02	50 Max WS	171.41	32.44	39.23	36.51	39.35	0.000456	1.57	108.9	29	0.26	
Reale_02	49.6	Lat Struct										
Reale_02	49.4	Lat Struct										
Reale_02	49 Max WS	171.42	32.49	39.17	36.61	39.3	0.000494	1.61	106.57	29.52	0.27	
Reale_02	48.6	Lat Struct										
Reale_02	48.4	Lat Struct										
Reale_02	48 Max WS	171.43	32.59	39.13	36.49	39.25	0.000466	1.58	108.82	29.77	0.26	
Reale_02	47.6	Lat Struct										
Reale_02	47.4	Lat Struct										
Reale_02	47 Max WS	171.43	32.41	39.07	36.38	39.2	0.000454	1.57	109.51	29.38	0.26	
Reale_02	46.6	Lat Struct										
Reale_02	46.4	Lat Struct										
Reale_02	46 Max WS	171.42	32.39	39.04	36.33	39.16	0.000444	1.55	110.56	29.68	0.26	

Reale_02	25.4	Lat Struct										
Reale_02	25 Max WS	-0.07	32.07	38.34	32.11	38.34	0	0	98.76	28.97	0	
Reale_02	24.6	Lat Struct										
Reale_02	24.4	Lat Struct										
Reale_02	24 Max WS	-0.15	31.97	38.34	32.08	38.34	0	0	101.03	29.29	0	
Reale_02	23.6	Lat Struct										
Reale_02	23.4	Lat Struct										
Reale_02	23 Max WS	-0.24	32.08	38.34	32.15	38.34	0	0	103.2	29.28	0	
Reale_02	22.6	Lat Struct										
Reale_02	22.4	Lat Struct										
Reale_02	22 Max WS	-0.33	32.01	38.34	32.11	38.34	0	0	101.95	29.19	0	
Reale_02	21.6	Lat Struct										
Reale_02	21.4	Lat Struct										
Reale_02	21 Max WS	-0.42	31.87	38.34	32.06	38.34	0	0	102.62	29.44	0	
Reale_02	20.6	Lat Struct										
Reale_02	20.4	Lat Struct										
Reale_02	20 Max WS	-0.56	31.74	38.34	31.9	38.34	0	-0.01	107.53	29.56	0	
Reale_02	19.6	Lat Struct										
Reale_02	19.4	Lat Struct										
Reale_02	19 Max WS	-0.68	31.58	38.34	31.84	38.34	0	-0.01	108.72	29.85	0	
Reale_02	18.6	Lat Struct										
Reale_02	18.4	Lat Struct										
Reale_02	18 Max WS	-0.77	31.95	38.34	32.09	38.34	0	-0.01	99.02	28.6	0	
Reale_02	17.6	Lat Struct										
Reale_02	17.4	Lat Struct										
Reale_02	17 Max WS	-0.82	32.17	38.34		38.34	0	-0.01	111.7	30.69	0	
Reale_02	16.5	Bridge										
Reale_02	16 Max WS	-0.82	32.17	38.34	32.35	38.34	0	-0.01	112.34	30.69	0	
Reale_02	15.6	Lat Struct										
Reale_02	15.4	Lat Struct										
Reale_02	15 Max WS	-0.81	32.25	38.35	32.46	38.35	0	-0.01	119.91	34.03	0	
Reale_02	14.6	Lat Struct										
Reale_02	14.4	Lat Struct										
Reale_02	14 Max WS	-0.86	31.95	38.35	32.1	38.35	0	-0.01	99.03	28.6	0	
Reale_02	13.6	Lat Struct										
Reale_02	13.4	Lat Struct										
Reale_02	13 Max WS	-1.07	32.04	38.35	32.35	38.35	0	-0.01	104.67	29.89	0	
Reale_02	12.6	Lat Struct										
Reale_02	12.4	Lat Struct										
Reale_02	12 Max WS	-0.99	32.24	38.34	32.39	38.34	0	-0.01	105.63	30.35	0	
Reale_02	11.6	Lat Struct										
Reale_02	11.4	Lat Struct										
Reale_02	11 Max WS	-0.53	32.1	38.34	32.29	38.34	0	0	106.84	30.67	0	
Reale_02	10.6	Lat Struct										
Reale_02	10.4	Lat Struct										
Reale_02	10 Max WS	0.01	32.08	38.34	32.09	38.34	0	0	75.1	12	0	
Reale_02	9.6	Lat Struct										
Reale_02	9.4	Lat Struct										
Reale_02	9 Max WS	0.01	30.8	38.34	30.81	38.34	0	0	75.38	10	0	
Reale_02	8.6	Lat Struct										
Reale_02	8.4	Lat Struct										
Reale_02	8 Max WS	0	30.8	38.34	30.81	38.34	0	0	75.38	10	0	
Reale_02	7.6	Inl Struct										
Reale_02	7.1 Max WS	0	30.8	39.76	30.81	39.76	0	0	89.6	10	0	
Reale_02	7 Max WS	0	30.8	39.76	30.81	39.76	0	0	107.52	12	0	
Reale_02	1.6	Lat Struct										
Reale_02	1.4	Lat Struct										
Reale_02	1.1 Max WS	0	31.66	39.76	31.67	39.76	0	0	207.88	40.93	0	
Reale_02	1 Max WS	-0.02	31.66	39.76	31.69	39.76	0	0	207.88	40.93	0	

Reale_02	91.4	Lat Struct										
Reale_02	91 Max WS	133.38	34.67	39.86	37.78	39.99	0.000585	1.57	84.93	26.94	0.28	
Reale_02	90.6	Lat Struct										
Reale_02	90.4	Lat Struct										
Reale_02	90 Max WS	132.55	35.04	39.78	37.96	39.93	0.000711	1.68	78.87	27.56	0.32	
Reale_02	89.6	Lat Struct										
Reale_02	89.4	Lat Struct										
Reale_02	89 Max WS	132.63	35.14	39.8	37.76	39.91	0.000535	1.51	87.8	29.31	0.28	
Reale_02	88.5	Bridge										
Reale_02	88 Max WS	132.62	35.14	39.8	37.74	39.91	0.000522	1.5	88.52	29.25	0.28	
Reale_02	87.6	Lat Struct										
Reale_02	87.4	Lat Struct										
Reale_02	87 Max WS	132.63	35.14	39.79	37.76	39.91	0.000529	1.5	88.34	29.6	0.28	
Reale_02	86.6	Lat Struct										
Reale_02	86.4	Lat Struct										
Reale_02	86 Max WS	132.24	35.06	39.75	37.97	39.89	0.000733	1.7	77.6	27.29	0.32	
Reale_02	85.6	Lat Struct										
Reale_02	85.4	Lat Struct										
Reale_02	85 Max WS	131.73	34.82	39.67	37.48	39.81	0.00069	1.66	79.21	27.3	0.31	
Reale_02	84.6	Lat Struct										
Reale_02	84.4	Lat Struct										
Reale_02	84 Max WS	131.52	34.8	39.65	36.97	39.73	0.00035	1.28	102.72	28.82	0.22	
Reale_02	83.6	Lat Struct										
Reale_02	83.4	Lat Struct										
Reale_02	83 Max WS	131.74	34.62	39.7	36.71	39.73	0.000112	0.78	167.97	43.88	0.13	
Reale_02	82.6	Lat Struct										
Reale_02	82.4	Lat Struct										
Reale_02	82 Max WS	131.36	34.62	39.63	37.03	39.73	0.000422	1.42	92.21	23.69	0.23	
Reale_02	81.5	Bridge										
Reale_02	81 Max WS	131.34	34.62	39.62	37.03	39.73	0.000424	1.43	92.06	23.69	0.23	
Reale_02	80.6	Lat Struct										
Reale_02	80.4	Lat Struct										
Reale_02	80 Max WS	131.75	34.61	39.69	36.5	39.72	0.000084	0.7	189.07	48.29	0.11	
Reale_02	79.9 Max WS	131.75	34.6	39.69	36.49	39.72	0.000084	0.7	189.15	48.29	0.11	
Reale_02	79.6	Lat Struct										
Reale_02	79.4	Lat Struct										
Reale_02	79 Max WS	131.77	34.14	39.7	36.34	39.72	0.00006	0.61	217.06	51.32	0.09	
Reale_02	78 Max WS	131.49	34.14	39.65	36.68	39.72	0.00029	1.21	108.58	24.72	0.18	
Reale_02	77.5	Bridge										
Reale_02	77 Max WS	131.49	34.14	39.64	36.68	39.72	0.000291	1.21	108.44	24.72	0.18	
Reale_02	76.6	Lat Struct										
Reale_02	76.4	Lat Struct										
Reale_02	76 Max WS	131.41	34.09	39.63	36.8	39.71	0.000286	1.25	104.74	25.34	0.2	
Reale_02	75.6	Lat Struct										
Reale_02	75.4	Lat Struct										
Reale_02	75 Max WS	130.91	34.13	39.57	37.51	39.7	0.000643	1.59	82.11	28.2	0.3	
Reale_02	74.6	Lat Struct										
Reale_02	74.4	Lat Struct										
Reale_02	74 Max WS	130.12	34.01	39.51	37.73	39.66	0.00089	1.75	74.18	26.7	0.34	
Reale_02	73.5	Bridge										
Reale_02	73 Max WS	129.9	34.01	39.5	37.73	39.65	0.000895	1.76	73.92	26.66	0.34	
Reale_02	72.6	Lat Struct										
Reale_02	72.4	Lat Struct										
Reale_02	72 Max WS	130.32	33.98	39.52	37.66	39.65	0.000698	1.61	80.94	27.95	0.3	
Reale_02	71.6	Lat Struct										
Reale_02	71.4	Lat Struct										
Reale_02	71 Max WS	130.24	33.81	39.52	37.4	39.65	0.000564	1.56	83.53	26.91	0.28	
Reale_02	70.06	Lat Struct										
Reale_02	70.04	Lat Struct										
Reale_02	69.6	Lat Struct										
Reale_02	69.4	Lat Struct										
Reale_02	69 Max WS	130.26	33.33	39.52	36.86	39.62	0.000364	1.36	95.89	27.61	0.23	
Reale_02	68.6	Lat Struct										
Reale_02	68.4	Lat Struct										
Reale_02	68 Max WS	129.48	33	39.48	37	39.58	0.00041	1.39	93.2	27.75	0.24	

Reale_02	67.6	Lat Struct										
Reale_02	67.4	Lat Struct										
Reale_02	67 Max WS	128.91	33.19	39.43	36.42	39.52	0.000368	1.34	96.05	27.65	0.23	
Reale_02	66.6	Lat Struct										
Reale_02	66.4	Lat Struct										
Reale_02	66 Max WS	128.48	33.16	39.39	36.39	39.48	0.000352	1.31	97.75	28.18	0.23	
Reale_02	65.6	Lat Struct										
Reale_02	65.4	Lat Struct										
Reale_02	65 Max WS	128.01	33.09	39.36	36.26	39.44	0.000338	1.29	98.91	28.22	0.22	
Reale_02	64.6	Lat Struct										
Reale_02	64.4	Lat Struct										
Reale_02	64 Max WS	2.26	32.8	39.35	33.25	39.35	0	0.02	101.47	28.34	0	
Reale_02	63.6	Lat Struct										
Reale_02	63.4	Lat Struct										
Reale_02	63 Max WS	2.25	33.21	39.35	33.55	39.35	0	0.02	100.75	28.39	0	
Reale_02	62.6	Lat Struct										
Reale_02	62.4	Lat Struct										
Reale_02	62 Max WS	2.24	33.02	39.35	33.53	39.35	0	0.02	100.02	28.34	0	
Reale_02	61.6	Lat Struct										
Reale_02	61.4	Lat Struct										
Reale_02	61 Max WS	2.23	32.81	39.35	33.22	39.35	0	0.02	105.56	28.68	0	
Reale_02	60.6	Lat Struct										
Reale_02	60.4	Lat Struct										
Reale_02	60 Max WS	2.22	32.82	39.35	33.24	39.35	0	0.02	103.94	28.82	0	
Reale_02	59.6	Lat Struct										
Reale_02	59.4	Lat Struct										
Reale_02	59 Max WS	2.21	32.62	39.35	32.93	39.35	0	0.02	115.16	32.88	0	
Reale_02	58.6	Lat Struct										
Reale_02	58.4	Lat Struct										
Reale_02	58 Max WS	2.21	32.6	39.35	32.9	39.35	0	0.02	126.9	31.24	0	
Reale_02	57.6	Lat Struct										
Reale_02	57.4	Lat Struct										
Reale_02	57 Max WS	2.21	32.57	39.35	32.87	39.35	0	0.02	123.85	31	0	
Reale_02	56.5	Bridge										
Reale_02	56 Max WS	2.21	32.57	39.35	32.87	39.35	0	0.02	123.85	31	0	
Reale_02	55.6	Lat Struct										
Reale_02	55.4	Lat Struct										
Reale_02	55 Max WS	2.21	32.57	39.35	32.87	39.35	0	0.02	119.93	29.19	0	
Reale_02	54.6	Lat Struct										
Reale_02	54.4	Lat Struct										
Reale_02	54 Max WS	2.2	32.53	39.35	32.86	39.35	0	0.02	111.9	32.81	0	
Reale_02	53.6	Lat Struct										
Reale_02	53.4	Lat Struct										
Reale_02	53 Max WS	2.19	32.6	39.35	32.94	39.35	0	0.02	107.09	28.72	0	
Reale_02	52.6	Lat Struct										
Reale_02	52.4	Lat Struct										
Reale_02	52 Max WS	2.2	32.68	39.35	32.96	39.35	0	0.02	109.66	29.23	0	
Reale_02	51.6	Lat Struct										
Reale_02	51.4	Lat Struct										
Reale_02	51 Max WS	2.19	32.63	39.35	32.95	39.35	0	0.02	109.22	28.49	0	
Reale_02	50.6	Lat Struct										
Reale_02	50.4	Lat Struct										
Reale_02	50 Max WS	2.18	32.44	39.35	32.87	39.35	0	0.02	112.47	29.34	0	
Reale_02	49.6	Lat Struct										
Reale_02	49.4	Lat Struct										
Reale_02	49 Max WS	2.17	32.49	39.35	32.99	39.35	0	0.02	111.82	30.03	0	
Reale_02	48.6	Lat Struct										
Reale_02	48.4	Lat Struct										
Reale_02	48 Max WS	2.16	32.59	39.35	32.99	39.35	0	0.02	115.46	30.41	0	
Reale_02	47.6	Lat Struct										
Reale_02	47.4	Lat Struct										
Reale_02	47 Max WS	2.15	32.41	39.35	32.73	39.35	0	0.02	117.7	30.14	0	
Reale_02	46.6	Lat Struct										
Reale_02	46.4	Lat Struct										
Reale_02	46 Max WS	2.13	32.39	39.35	32.74	39.35	0	0.02	119.86	30.54	0	

Reale_02	25.4	Lat Struct										
Reale_02	25 Max WS	-0.54	32.07	39.35	32.19	39.35	0	0	129.34	31.89	0	
Reale_02	24.6	Lat Struct										
Reale_02	24.4	Lat Struct										
Reale_02	24 Max WS	-0.57	31.97	39.35	32.16	39.35	0	0	131.9	32.11	0	
Reale_02	23.6	Lat Struct										
Reale_02	23.4	Lat Struct										
Reale_02	23 Max WS	-0.61	32.08	39.35	32.21	39.35	0	0	134.04	32.05	0	
Reale_02	22.6	Lat Struct										
Reale_02	22.4	Lat Struct										
Reale_02	22 Max WS	-0.66	32.01	39.35	32.16	39.35	0	0	132.75	32.07	0	
Reale_02	21.6	Lat Struct										
Reale_02	21.4	Lat Struct										
Reale_02	21 Max WS	-0.72	31.87	39.35	32.1	39.35	0	-0.01	133.66	32.28	0	
Reale_02	20.6	Lat Struct										
Reale_02	20.4	Lat Struct										
Reale_02	20 Max WS	-0.81	31.74	39.35	31.93	39.35	0	-0.01	138.76	32.52	0	
Reale_02	19.6	Lat Struct										
Reale_02	19.4	Lat Struct										
Reale_02	19 Max WS	-0.87	31.58	39.35	31.87	39.35	0	-0.01	140.22	32.78	0	
Reale_02	18.6	Lat Struct										
Reale_02	18.4	Lat Struct										
Reale_02	18 Max WS	-0.93	31.95	39.35	32.1	39.35	0	-0.01	129.25	31.73	0	
Reale_02	17.6	Lat Struct										
Reale_02	17.4	Lat Struct										
Reale_02	17 Max WS	-0.97	32.17	39.35		39.35	0	-0.01	144.58	34.17	0	
Reale_02	16.5	Bridge										
Reale_02	16 Max WS	-0.97	32.17	39.35	32.36	39.35	0	-0.01	145.24	34.17	0	
Reale_02	15.6	Lat Struct										
Reale_02	15.4	Lat Struct										
Reale_02	15 Max WS	-0.98	32.25	39.35	32.47	39.35	0	-0.01	154.66	35.05	0	
Reale_02	14.6	Lat Struct										
Reale_02	14.4	Lat Struct										
Reale_02	14 Max WS	-1.01	31.95	39.35	32.11	39.35	0	-0.01	129.27	31.73	0	
Reale_02	13.6	Lat Struct										
Reale_02	13.4	Lat Struct										
Reale_02	13 Max WS	-1.21	32.04	39.35	32.36	39.35	0	-0.01	136.14	32.68	0	
Reale_02	12.6	Lat Struct										
Reale_02	12.4	Lat Struct										
Reale_02	12 Max WS	-1.05	32.24	39.35	32.39	39.35	0	-0.01	137.49	32.95	0	
Reale_02	11.6	Lat Struct										
Reale_02	11.4	Lat Struct										
Reale_02	11 Max WS	-0.45	32.1	39.35	32.27	39.35	0	0	139.21	33.63	0	
Reale_02	10.6	Lat Struct										
Reale_02	10.4	Lat Struct										
Reale_02	10 Max WS	0	32.08	39.35	32.09	39.35	0	0	87.19	12	0	
Reale_02	9.6	Lat Struct										
Reale_02	9.4	Lat Struct										
Reale_02	9 Max WS	0	30.8	39.35	30.81	39.35	0	0	85.46	10	0	
Reale_02	8.6	Lat Struct										
Reale_02	8.4	Lat Struct										
Reale_02	8 Max WS	0	30.8	39.35	30.81	39.35	0	0	85.46	10	0	
Reale_02	7.6	Inl Struct										
Reale_02	7.1 Max WS	0	30.8	40.17	30.81	40.17	0	0	93.7	10	0	
Reale_02	7 Max WS	0	30.8	40.17	30.81	40.17	0	0	112.44	12	0	
Reale_02	1.6	Lat Struct										
Reale_02	1.4	Lat Struct										
Reale_02	1.1 Max WS	0	31.66	40.17	31.67	40.17	0	0	224.88	41.98	0	
Reale_02	1 Max WS	-0.02	31.66	40.17	31.69	40.17	0	0	224.88	41.98	0	

Reale_02	91.4	Lat Struct										
Reale_02	91 Max WS	71.85	34.67	39.81	37.14	39.85	0.000178	0.86	83.59	26.82	0.16	
Reale_02	90.6	Lat Struct										
Reale_02	90.4	Lat Struct										
Reale_02	90 Max WS	71.76	35.04	39.79	37.01	39.83	0.000207	0.91	79.1	27.59	0.17	
Reale_02	89.6	Lat Struct										
Reale_02	89.4	Lat Struct										
Reale_02	89 Max WS	71.77	35.14	39.79	37.2	39.83	0.000157	0.82	87.71	29.3	0.15	
Reale_02	88.5	Bridge										
Reale_02	88 Max WS	71.78	35.14	39.79	37.19	39.83	0.000153	0.81	88.43	29.24	0.15	
Reale_02	87.6	Lat Struct										
Reale_02	87.4	Lat Struct										
Reale_02	87 Max WS	71.78	35.14	39.79	37.2	39.83	0.000155	0.81	88.33	29.6	0.15	
Reale_02	86.6	Lat Struct										
Reale_02	86.4	Lat Struct										
Reale_02	86 Max WS	71.75	35.06	39.78	37.4	39.82	0.000209	0.91	78.51	27.39	0.17	
Reale_02	85.6	Lat Struct										
Reale_02	85.4	Lat Struct										
Reale_02	85 Max WS	71.68	34.82	39.76	36.68	39.8	0.000187	0.88	81.69	27.58	0.16	
Reale_02	84.6	Lat Struct										
Reale_02	84.4	Lat Struct										
Reale_02	84 Max WS	71.64	34.8	39.75	36.4	39.78	0.000095	0.68	105.7	28.83	0.11	
Reale_02	83.6	Lat Struct										
Reale_02	83.4	Lat Struct										
Reale_02	83 Max WS	71.67	34.62	39.77	36.35	39.78	0.000031	0.42	171.02	43.96	0.07	
Reale_02	82.6	Lat Struct										
Reale_02	82.4	Lat Struct										
Reale_02	82 Max WS	71.6	34.62	39.75	36.5	39.78	0.000115	0.75	95	23.8	0.12	
Reale_02	81.5	Bridge										
Reale_02	81 Max WS	71.6	34.62	39.75	36.5	39.77	0.000115	0.75	94.94	23.8	0.12	
Reale_02	80.6	Lat Struct										
Reale_02	80.4	Lat Struct										
Reale_02	80 Max WS	71.7	34.61	39.76	36.17	39.77	0.000024	0.37	192.49	48.41	0.06	
Reale_02	79.9 Max WS	71.66	34.6	39.76	36.17	39.77	0.000023	0.37	192.58	48.41	0.06	
Reale_02	79.6	Lat Struct										
Reale_02	79.4	Lat Struct										
Reale_02	79 Max WS	71.69	34.14	39.77	36.04	39.77	0.000017	0.33	220.52	51.32	0.05	
Reale_02	78 Max WS	71.63	34.14	39.75	36.18	39.77	0.00008	0.64	111.14	24.72	0.1	
Reale_02	77.5	Bridge										
Reale_02	77 Max WS	71.63	34.14	39.75	36.18	39.77	0.00008	0.64	111.07	24.72	0.1	
Reale_02	76.6	Lat Struct										
Reale_02	76.4	Lat Struct										
Reale_02	76 Max WS	71.61	34.09	39.75	36.31	39.77	0.000078	0.67	107.58	25.38	0.1	
Reale_02	75.6	Lat Struct										
Reale_02	75.4	Lat Struct										
Reale_02	75 Max WS	71.53	34.13	39.73	36.49	39.77	0.000169	0.83	86.69	29.35	0.15	
Reale_02	74.6	Lat Struct										
Reale_02	74.4	Lat Struct										
Reale_02	74 Max WS	71.44	34.01	39.72	37.12	39.76	0.000218	0.9	79.82	27.47	0.17	
Reale_02	73.5	Bridge										
Reale_02	73 Max WS	71.42	34.01	39.71	37.12	39.75	0.000219	0.9	79.71	27.45	0.17	
Reale_02	72.6	Lat Struct										
Reale_02	72.4	Lat Struct										
Reale_02	72 Max WS	71.48	33.98	39.72	37.12	39.75	0.000173	0.83	86.45	28.52	0.15	
Reale_02	71.6	Lat Struct										
Reale_02	71.4	Lat Struct										
Reale_02	71 Max WS	71.43	33.81	39.72	36.41	39.75	0.000142	0.8	88.83	27.48	0.14	
Reale_02	70.06	Lat Struct										
Reale_02	70.04	Lat Struct										
Reale_02	69.6	Lat Struct										
Reale_02	69.4	Lat Struct										
Reale_02	69 Max WS	71.42	33.33	39.72	35.99	39.74	0.000094	0.71	101.3	28.16	0.12	
Reale_02	68.6	Lat Struct										
Reale_02	68.4	Lat Struct										
Reale_02	68 Max WS	71.34	33	39.71	35.91	39.73	0.000103	0.72	99.53	28.38	0.12	

Reale_02	67.6	Lat Struct										
Reale_02	67.4	Lat Struct										
Reale_02	67 Max WS	71.24	33.19	39.69	35.55	39.72	0.000091	0.69	103.44	28.38	0.12	
Reale_02	66.6	Lat Struct										
Reale_02	66.4	Lat Struct										
Reale_02	66 Max WS	70.39	33.16	39.68	35.52	39.71	0.000084	0.66	106.05	28.87	0.11	
Reale_02	65.6	Lat Struct										
Reale_02	65.4	Lat Struct										
Reale_02	65 Max WS	67.14	33.09	39.68	35.34	39.7	0.000072	0.62	108.13	29.05	0.1	
Reale_02	64.6	Lat Struct										
Reale_02	64.4	Lat Struct										
Reale_02	64 Max WS	59.44	32.8	39.68	35.14	39.7	0.000052	0.54	111	28.91	0.09	
Reale_02	63.6	Lat Struct										
Reale_02	63.4	Lat Struct										
Reale_02	63 Max WS	57.57	33.21	39.68	35.31	39.69	0.00005	0.52	110.2	29.22	0.09	
Reale_02	62.6	Lat Struct										
Reale_02	62.4	Lat Struct										
Reale_02	62 Max WS	57.49	33.02	39.67	35.37	39.69	0.000051	0.53	109.31	29.16	0.09	
Reale_02	61.6	Lat Struct										
Reale_02	61.4	Lat Struct										
Reale_02	61 Max WS	57.48	32.81	39.67	35.06	39.68	0.000044	0.5	114.86	29.37	0.08	
Reale_02	60.6	Lat Struct										
Reale_02	60.4	Lat Struct										
Reale_02	60 Max WS	57.1	32.82	39.67	35.17	39.68	0.000046	0.5	113.17	29.57	0.08	
Reale_02	59.6	Lat Struct										
Reale_02	59.4	Lat Struct										
Reale_02	59 Max WS	57.09	32.62	39.66	34.76	39.67	0.000038	0.45	125.59	33.76	0.08	
Reale_02	58.6	Lat Struct										
Reale_02	58.4	Lat Struct										
Reale_02	58 Max WS	57.09	32.6	39.66	34.83	39.67	0.000029	0.42	136.89	32.37	0.06	
Reale_02	57.6	Lat Struct										
Reale_02	57.4	Lat Struct										
Reale_02	57 Max WS	57.09	32.57	39.66	34.76	39.67	0.000031	0.43	133.84	32.38	0.07	
Reale_02	56.5	Bridge										
Reale_02	56 Max WS	57.09	32.57	39.66	34.76	39.67	0.000031	0.43	133.77	32.38	0.07	
Reale_02	55.6	Lat Struct										
Reale_02	55.4	Lat Struct										
Reale_02	55 Max WS	57.09	32.57	39.66	34.76	39.67	0.000032	0.44	129.1	29.9	0.07	
Reale_02	54.6	Lat Struct										
Reale_02	54.4	Lat Struct										
Reale_02	54 Max WS	57.09	32.53	39.66	34.78	39.67	0.000043	0.47	122.22	34.96	0.08	
Reale_02	53.6	Lat Struct										
Reale_02	53.4	Lat Struct										
Reale_02	53 Max WS	57.08	32.6	39.66	34.78	39.67	0.000042	0.49	116.03	29.55	0.08	
Reale_02	52.6	Lat Struct										
Reale_02	52.4	Lat Struct										
Reale_02	52 Max WS	57.08	32.68	39.65	34.71	39.66	0.00004	0.48	118.65	30.09	0.08	
Reale_02	51.6	Lat Struct										
Reale_02	51.4	Lat Struct										
Reale_02	51 Max WS	57.07	32.63	39.65	34.7	39.66	0.00004	0.48	117.85	29.24	0.08	
Reale_02	50.6	Lat Struct										
Reale_02	50.4	Lat Struct										
Reale_02	50 Max WS	57.06	32.44	39.64	34.65	39.66	0.000037	0.47	121.27	30.14	0.07	
Reale_02	49.6	Lat Struct										
Reale_02	49.4	Lat Struct										
Reale_02	49 Max WS	57.03	32.49	39.64	34.84	39.65	0.000038	0.47	120.7	30.88	0.08	
Reale_02	48.6	Lat Struct										
Reale_02	48.4	Lat Struct										
Reale_02	48 Max WS	57.01	32.59	39.64	34.73	39.65	0.000035	0.46	124.35	31.25	0.07	
Reale_02	47.6	Lat Struct										
Reale_02	47.4	Lat Struct										
Reale_02	47 Max WS	56.96	32.41	39.63	34.53	39.64	0.000033	0.45	126.38	30.93	0.07	
Reale_02	46.6	Lat Struct										
Reale_02	46.4	Lat Struct										
Reale_02	46 Max WS	56.95	32.39	39.63	34.48	39.64	0.000032	0.44	128.57	31.33	0.07	

Reale_02	25.4	Lat Struct										
Reale_02	25 Max WS	-3.18	32.07	39.63	32.43	39.63	0	-0.02	138.35	32.7	0	
Reale_02	24.6	Lat Struct										
Reale_02	24.4	Lat Struct										
Reale_02	24 Max WS	-2.61	31.97	39.63	32.35	39.63	0	-0.02	141.05	34.73	0	
Reale_02	23.6	Lat Struct										
Reale_02	23.4	Lat Struct										
Reale_02	23 Max WS	-2.17	32.08	39.63	32.37	39.63	0	-0.02	143.26	32.83	0	
Reale_02	22.6	Lat Struct										
Reale_02	22.4	Lat Struct										
Reale_02	22 Max WS	-1.74	32.01	39.64	32.27	39.64	0	-0.01	142.07	32.89	0	
Reale_02	21.6	Lat Struct										
Reale_02	21.4	Lat Struct										
Reale_02	21 Max WS	-1.55	31.87	39.64	32.19	39.64	0	-0.01	143.36	36.19	0	
Reale_02	20.6	Lat Struct										
Reale_02	20.4	Lat Struct										
Reale_02	20 Max WS	-1.38	31.74	39.64	31.98	39.64	0	-0.01	148.32	33.37	0	
Reale_02	19.6	Lat Struct										
Reale_02	19.4	Lat Struct										
Reale_02	19 Max WS	-1.08	31.58	39.64	31.9	39.64	0	-0.01	149.92	33.63	0	
Reale_02	18.6	Lat Struct										
Reale_02	18.4	Lat Struct										
Reale_02	18 Max WS	-0.94	31.95	39.64	32.1	39.64	0	-0.01	139.03	35.1	0	
Reale_02	17.6	Lat Struct										
Reale_02	17.4	Lat Struct										
Reale_02	17 Max WS	-0.91	32.17	39.64		39.64	0	-0.01	154.71	34.9	0	
Reale_02	16.5	Bridge										
Reale_02	16 Max WS	-0.91	32.17	39.64	32.36	39.64	0	-0.01	155.35	35.28	0	
Reale_02	15.6	Lat Struct										
Reale_02	15.4	Lat Struct										
Reale_02	15 Max WS	-0.88	32.25	39.64	32.47	39.64	0	-0.01	164.97	35.34	0	
Reale_02	14.6	Lat Struct										
Reale_02	14.4	Lat Struct										
Reale_02	14 Max WS	-0.89	31.95	39.64	32.1	39.64	0	-0.01	139.05	35.1	0	
Reale_02	13.6	Lat Struct										
Reale_02	13.4	Lat Struct										
Reale_02	13 Max WS	-0.93	32.04	39.65	32.33	39.65	0	-0.01	145.85	33.49	0	
Reale_02	12.6	Lat Struct										
Reale_02	12.4	Lat Struct										
Reale_02	12 Max WS	-1.19	32.24	39.65	32.4	39.65	0	-0.01	147.41	33.71	0	
Reale_02	11.6	Lat Struct										
Reale_02	11.4	Lat Struct										
Reale_02	11 Max WS	-1.26	32.1	39.65	32.36	39.65	0	-0.01	149.5	34.52	0	
Reale_02	10.6	Lat Struct										
Reale_02	10.4	Lat Struct										
Reale_02	10 Max WS	-1.24	32.08	39.65	32.18	39.65	0	-0.01	90.86	12	0	
Reale_02	9.6	Lat Struct										
Reale_02	9.4	Lat Struct										
Reale_02	9 Max WS	-1.24	30.8	39.65	30.92	39.65	0	-0.01	88.52	10	0	
Reale_02	8.6	Lat Struct										
Reale_02	8.4	Lat Struct										
Reale_02	8 Max WS	-0.93	30.8	39.65	30.9	39.65	0	0.01	88.54	10	0	
Reale_02	7.6	Inl Struct										
Reale_02	7.1 Max WS	-0.71	30.8	40.62	30.88	40.62	0	-0.01	98.45	12	0	
Reale_02	7 Max WS	-0.71	30.8	40.62	30.87	40.62	0	-0.01	117.85	12	0	
Reale_02	1.6	Lat Struct										
Reale_02	1.4	Lat Struct										
Reale_02	1.1 Max WS	-5.39	31.66	40.62	32.07	40.62	0	-0.01	509.67	136.62	0	
Reale_02	1 Max WS	-5.4	31.66	40.62	32.07	40.62	0	-0.01	509.67	136.62	0	

Reale_02	91.4	Lat Struct										
Reale_02	91 Max WS	54.71	34.67	39.73	36.59	39.75	0.000111	0.67	81.4	26.62	0.12	
Reale_02	90.6	Lat Struct										
Reale_02	90.4	Lat Struct										
Reale_02	90 Max WS	54.64	35.04	39.72	36.72	39.74	0.000129	0.71	77.08	27.35	0.13	
Reale_02	89.6	Lat Struct										
Reale_02	89.4	Lat Struct										
Reale_02	89 Max WS	54.66	35.14	39.72	37.02	39.74	0.000098	0.64	85.51	29.06	0.12	
Reale_02	88.5	Bridge										
Reale_02	88 Max WS	54.63	35.14	39.72	37.01	39.74	0.000095	0.63	86.24	29.02	0.12	
Reale_02	87.6	Lat Struct										
Reale_02	87.4	Lat Struct										
Reale_02	87 Max WS	54.66	35.14	39.72	37.02	39.74	0.000097	0.63	86.13	29.36	0.12	
Reale_02	86.6	Lat Struct										
Reale_02	86.4	Lat Struct										
Reale_02	86 Max WS	54.61	35.06	39.71	36.92	39.74	0.00013	0.71	76.6	27.18	0.14	
Reale_02	85.6	Lat Struct										
Reale_02	85.4	Lat Struct										
Reale_02	85 Max WS	54.52	34.82	39.7	36.4	39.72	0.000115	0.68	79.99	27.39	0.13	
Reale_02	84.6	Lat Struct										
Reale_02	84.4	Lat Struct										
Reale_02	84 Max WS	54.51	34.8	39.69	36.21	39.71	0.000058	0.52	103.95	28.82	0.09	
Reale_02	83.6	Lat Struct										
Reale_02	83.4	Lat Struct										
Reale_02	83 Max WS	54.61	34.62	39.7	36.21	39.71	0.000019	0.32	168.15	43.88	0.05	
Reale_02	82.6	Lat Struct										
Reale_02	82.4	Lat Struct										
Reale_02	82 Max WS	54.49	34.62	39.69	36.33	39.71	0.000069	0.58	93.62	23.75	0.09	
Reale_02	81.5	Bridge										
Reale_02	81 Max WS	54.47	34.62	39.69	36.33	39.7	0.000069	0.58	93.57	23.74	0.09	
Reale_02	80.6	Lat Struct										
Reale_02	80.4	Lat Struct										
Reale_02	80 Max WS	54.61	34.61	39.7	36.07	39.7	0.000014	0.29	189.34	48.3	0.05	
Reale_02	79.9 Max WS	54.63	34.6	39.7	36.06	39.7	0.000014	0.29	189.43	48.3	0.05	
Reale_02	79.6	Lat Struct										
Reale_02	79.4	Lat Struct										
Reale_02	79 Max WS	54.66	34.14	39.7	35.94	39.7	0.00001	0.25	217.14	51.32	0.04	
Reale_02	78 Max WS	54.53	34.14	39.69	36.02	39.7	0.000048	0.5	109.66	24.72	0.08	
Reale_02	77.5	Bridge										
Reale_02	77 Max WS	54.53	34.14	39.69	36.02	39.7	0.000049	0.5	109.6	24.72	0.08	
Reale_02	76.6	Lat Struct										
Reale_02	76.4	Lat Struct										
Reale_02	76 Max WS	54.53	34.09	39.69	36.13	39.7	0.000047	0.51	106.1	25.36	0.08	
Reale_02	75.6	Lat Struct										
Reale_02	75.4	Lat Struct										
Reale_02	75 Max WS	54.37	34.13	39.68	36.17	39.7	0.000102	0.64	85.16	28.97	0.12	
Reale_02	74.6	Lat Struct										
Reale_02	74.4	Lat Struct										
Reale_02	74 Max WS	54.34	34.01	39.67	36.58	39.69	0.000132	0.69	78.55	27.3	0.13	
Reale_02	73.5	Bridge										
Reale_02	73 Max WS	54.34	34.01	39.67	36.58	39.69	0.000132	0.69	78.47	27.29	0.13	
Reale_02	72.6	Lat Struct										
Reale_02	72.4	Lat Struct										
Reale_02	72 Max WS	54.38	33.98	39.67	36.53	39.69	0.000105	0.64	85.09	28.38	0.12	
Reale_02	71.6	Lat Struct										
Reale_02	71.4	Lat Struct										
Reale_02	71 Max WS	54.39	33.81	39.67	36.08	39.69	0.000086	0.62	87.52	27.34	0.11	
Reale_02	70.06	Lat Struct										
Reale_02	70.04	Lat Struct										
Reale_02	69.6	Lat Struct										
Reale_02	69.4	Lat Struct										
Reale_02	69 Max WS	54.44	33.33	39.67	35.7	39.68	0.000057	0.54	99.96	28.02	0.09	
Reale_02	68.6	Lat Struct										
Reale_02	68.4	Lat Struct										
Reale_02	68 Max WS	54.42	33	39.66	35.58	39.68	0.000062	0.55	98.29	28.26	0.09	

Reale_02	67.6	Lat Struct										
Reale_02	67.4	Lat Struct										
Reale_02	67 Max WS	54.34	33.19	39.65	35.22	39.67	0.000055	0.53	102.34	28.27	0.09	
Reale_02	66.6	Lat Struct										
Reale_02	66.4	Lat Struct										
Reale_02	66 Max WS	54.14	33.16	39.65	35.2	39.66	0.000051	0.52	104.99	28.83	0.09	
Reale_02	65.6	Lat Struct										
Reale_02	65.4	Lat Struct										
Reale_02	65 Max WS	53.17	33.09	39.64	35.07	39.66	0.000047	0.5	107.07	29	0.08	
Reale_02	64.6	Lat Struct										
Reale_02	64.4	Lat Struct										
Reale_02	64 Max WS	50.47	32.8	39.64	34.96	39.65	0.000039	0.46	109.88	28.87	0.08	
Reale_02	63.6	Lat Struct										
Reale_02	63.4	Lat Struct										
Reale_02	63 Max WS	49.54	33.21	39.64	35.15	39.65	0.000038	0.45	109.09	29.12	0.07	
Reale_02	62.6	Lat Struct										
Reale_02	62.4	Lat Struct										
Reale_02	62 Max WS	49.54	33.02	39.63	35.2	39.65	0.000039	0.46	108.23	29.06	0.08	
Reale_02	61.6	Lat Struct										
Reale_02	61.4	Lat Struct										
Reale_02	61 Max WS	49.54	32.81	39.63	34.9	39.64	0.000033	0.44	113.79	29.32	0.07	
Reale_02	60.6	Lat Struct										
Reale_02	60.4	Lat Struct										
Reale_02	60 Max WS	49.54	32.82	39.63	35.02	39.64	0.000035	0.44	112.12	29.51	0.07	
Reale_02	59.6	Lat Struct										
Reale_02	59.4	Lat Struct										
Reale_02	59 Max WS	49.54	32.62	39.63	34.6	39.63	0.000029	0.4	124.4	33.66	0.07	
Reale_02	58.6	Lat Struct										
Reale_02	58.4	Lat Struct										
Reale_02	58 Max WS	49.54	32.6	39.63	34.66	39.63	0.000022	0.36	135.75	32.25	0.06	
Reale_02	57.6	Lat Struct										
Reale_02	57.4	Lat Struct										
Reale_02	57 Max WS	49.54	32.57	39.63	34.59	39.63	0.000024	0.37	132.69	32.37	0.06	
Reale_02	56.5	Bridge										
Reale_02	56 Max WS	49.54	32.57	39.63	34.59	39.63	0.000024	0.37	132.64	32.37	0.06	
Reale_02	55.6	Lat Struct										
Reale_02	55.4	Lat Struct										
Reale_02	55 Max WS	49.54	32.57	39.62	34.59	39.63	0.000025	0.39	128.06	29.81	0.06	
Reale_02	54.6	Lat Struct										
Reale_02	54.4	Lat Struct										
Reale_02	54 Max WS	49.54	32.53	39.62	34.62	39.63	0.000032	0.41	121.04	33.68	0.07	
Reale_02	53.6	Lat Struct										
Reale_02	53.4	Lat Struct										
Reale_02	53 Max WS	49.54	32.6	39.62	34.62	39.63	0.000033	0.43	115.03	29.46	0.07	
Reale_02	52.6	Lat Struct										
Reale_02	52.4	Lat Struct										
Reale_02	52 Max WS	49.54	32.68	39.62	34.55	39.63	0.000031	0.42	117.65	30	0.07	
Reale_02	51.6	Lat Struct										
Reale_02	51.4	Lat Struct										
Reale_02	51 Max WS	49.54	32.63	39.62	34.55	39.62	0.000031	0.42	116.91	29.16	0.07	
Reale_02	50.6	Lat Struct										
Reale_02	50.4	Lat Struct										
Reale_02	50 Max WS	49.54	32.44	39.61	34.5	39.62	0.000029	0.41	120.32	30.06	0.07	
Reale_02	49.6	Lat Struct										
Reale_02	49.4	Lat Struct										
Reale_02	49 Max WS	49.54	32.49	39.61	34.69	39.62	0.00003	0.41	119.77	30.79	0.07	
Reale_02	48.6	Lat Struct										
Reale_02	48.4	Lat Struct										
Reale_02	48 Max WS	49.54	32.59	39.61	34.57	39.62	0.000027	0.4	123.44	31.17	0.06	
Reale_02	47.6	Lat Struct										
Reale_02	47.4	Lat Struct										
Reale_02	47 Max WS	49.38	32.41	39.6	34.37	39.61	0.000026	0.39	125.5	30.85	0.06	
Reale_02	46.6	Lat Struct										
Reale_02	46.4	Lat Struct										
Reale_02	46 Max WS	49.37	32.39	39.6	34.32	39.61	0.000025	0.39	127.71	31.25	0.06	

Reale_02	25.4	Lat Struct										
Reale_02	25 Max WS	0	32.07	39.59	32.08	39.59	0	0	137.16	32.59	0	
Reale_02	24.6	Lat Struct										
Reale_02	24.4	Lat Struct										
Reale_02	24 Max WS	0	31.97	39.59	31.99	39.59	0	0	139.76	32.78	0	
Reale_02	23.6	Lat Struct										
Reale_02	23.4	Lat Struct										
Reale_02	23 Max WS	0	32.08	39.59	32.09	39.59	0	0	141.88	32.72	0	
Reale_02	22.6	Lat Struct										
Reale_02	22.4	Lat Struct										
Reale_02	22 Max WS	0	32.01	39.59	32.02	39.59	0	0	140.6	32.76	0	
Reale_02	21.6	Lat Struct										
Reale_02	21.4	Lat Struct										
Reale_02	21 Max WS	0	31.87	39.59	31.89	39.59	0	0	141.68	35.85	0	
Reale_02	20.6	Lat Struct										
Reale_02	20.4	Lat Struct										
Reale_02	20 Max WS	0	31.74	39.59	31.76	39.59	0	0	146.7	33.23	0	
Reale_02	19.6	Lat Struct										
Reale_02	19.4	Lat Struct										
Reale_02	19 Max WS	0	31.58	39.59	31.6	39.59	0	0	148.22	33.48	0	
Reale_02	18.6	Lat Struct										
Reale_02	18.4	Lat Struct										
Reale_02	18 Max WS	0	31.95	39.59	31.96	39.59	0	0	137.22	34.5	0	
Reale_02	17.6	Lat Struct										
Reale_02	17.4	Lat Struct										
Reale_02	17 Max WS	0	32.17	39.59	32.19	39.59	0	0	152.88	34.77	0	
Reale_02	16.5	Bridge										
Reale_02	16 Max WS	0	32.17	39.59	32.19	39.59	0	0	153.53	34.77	0	
Reale_02	15.6	Lat Struct										
Reale_02	15.4	Lat Struct										
Reale_02	15 Max WS	0.01	32.25	39.59	32.28	39.59	0	0	163.12	35.29	0	
Reale_02	14.6	Lat Struct										
Reale_02	14.4	Lat Struct										
Reale_02	14 Max WS	0.01	31.95	39.59	31.96	39.59	0	0	137.22	34.5	0	
Reale_02	13.6	Lat Struct										
Reale_02	13.4	Lat Struct										
Reale_02	13 Max WS	0	32.04	39.59	32.08	39.59	0	0	144.05	33.34	0	
Reale_02	12.6	Lat Struct										
Reale_02	12.4	Lat Struct										
Reale_02	12 Max WS	0	32.24	39.59	32.25	39.59	0	0	145.49	33.57	0	
Reale_02	11.6	Lat Struct										
Reale_02	11.4	Lat Struct										
Reale_02	11 Max WS	0	32.1	39.59	32.11	39.59	0	0	147.49	34.35	0	
Reale_02	10.6	Lat Struct										
Reale_02	10.4	Lat Struct										
Reale_02	10 Max WS	0	32.08	39.59	32.09	39.59	0	0	90.14	12	0	
Reale_02	9.6	Lat Struct										
Reale_02	9.4	Lat Struct										
Reale_02	9 Max WS	0	30.8	39.59	30.81	39.59	0	0	87.92	10	0	
Reale_02	8.6	Lat Struct										
Reale_02	8.4	Lat Struct										
Reale_02	8 Max WS	0	30.8	39.59	30.81	39.59	0	0	87.92	10	0	
Reale_02	7.6	Inl Struct										
Reale_02	7.1 Max WS	-0.32	30.8	40.57	30.85	40.57	0	0	97.85	12	0	
Reale_02	7 Max WS	-0.32	30.8	40.57	30.84	40.57	0	0	117.25	12	0	
Reale_02	1.6	Lat Struct										
Reale_02	1.4	Lat Struct										
Reale_02	1.1 Max WS	-3.46	31.66	40.57	31.97	40.57	0	-0.01	502.9	134.43	0	
Reale_02	1 Max WS	-3.5	31.66	40.57	31.97	40.57	0	-0.01	502.9	134.43	0	

Reale_02	91.4	Lat Struct										
Reale_02	91 Max WS	45.1	34.67	39.67	36.37	39.69	0.00008	0.56	79.91	26.49	0.1	
Reale_02	90.6	Lat Struct										
Reale_02	90.4	Lat Struct										
Reale_02	90 Max WS	45.09	35.04	39.66	36.54	39.68	0.000093	0.6	75.66	27.19	0.11	
Reale_02	89.6	Lat Struct										
Reale_02	89.4	Lat Struct										
Reale_02	89 Max WS	45.1	35.14	39.67	36.69	39.68	0.00007	0.54	83.98	28.9	0.1	
Reale_02	88.5	Bridge										
Reale_02	88 Max WS	45.1	35.14	39.67	36.68	39.68	0.000068	0.53	84.72	28.86	0.1	
Reale_02	87.6	Lat Struct										
Reale_02	87.4	Lat Struct										
Reale_02	87 Max WS	45.1	35.14	39.67	36.69	39.68	0.000069	0.53	84.6	29.2	0.1	
Reale_02	86.6	Lat Struct										
Reale_02	86.4	Lat Struct										
Reale_02	86 Max WS	45.09	35.06	39.66	36.74	39.68	0.000093	0.6	75.24	27.02	0.11	
Reale_02	85.6	Lat Struct										
Reale_02	85.4	Lat Struct										
Reale_02	85 Max WS	45.09	34.82	39.65	36.23	39.67	0.000082	0.57	78.73	27.25	0.11	
Reale_02	84.6	Lat Struct										
Reale_02	84.4	Lat Struct										
Reale_02	84 Max WS	45.09	34.8	39.65	35.99	39.66	0.000041	0.44	102.68	28.82	0.07	
Reale_02	83.6	Lat Struct										
Reale_02	83.4	Lat Struct										
Reale_02	83 Max WS	45.09	34.62	39.65	36.08	39.66	0.000014	0.27	166.11	43.83	0.04	
Reale_02	82.6	Lat Struct										
Reale_02	82.4	Lat Struct										
Reale_02	82 Max WS	45.09	34.62	39.65	36.22	39.66	0.000049	0.49	92.59	23.71	0.08	
Reale_02	81.5	Bridge										
Reale_02	81 Max WS	45.09	34.62	39.64	36.22	39.66	0.000049	0.49	92.55	23.7	0.08	
Reale_02	80.6	Lat Struct										
Reale_02	80.4	Lat Struct										
Reale_02	80 Max WS	45.09	34.61	39.65	36	39.66	0.00001	0.24	187.08	48.22	0.04	
Reale_02	79.9 Max WS	45.09	34.6	39.65	36	39.66	0.00001	0.24	187.18	48.22	0.04	
Reale_02	79.6	Lat Struct										
Reale_02	79.4	Lat Struct										
Reale_02	79 Max WS	45.09	34.14	39.65	35.88	39.66	0.000007	0.21	214.75	51.32	0.03	
Reale_02	78 Max WS	45.09	34.14	39.65	35.92	39.66	0.000034	0.42	108.56	24.72	0.06	
Reale_02	77.5	Bridge										
Reale_02	77 Max WS	45.09	34.14	39.65	35.92	39.65	0.000034	0.42	108.52	24.72	0.06	
Reale_02	76.6	Lat Struct										
Reale_02	76.4	Lat Struct										
Reale_02	76 Max WS	45.09	34.09	39.64	36.01	39.65	0.000033	0.43	105	25.35	0.07	
Reale_02	75.6	Lat Struct										
Reale_02	75.4	Lat Struct										
Reale_02	75 Max WS	45.1	34.13	39.64	35.96	39.65	0.000072	0.54	83.99	28.68	0.1	
Reale_02	74.6	Lat Struct										
Reale_02	74.4	Lat Struct										
Reale_02	74 Max WS	45.09	34.01	39.63	36.38	39.65	0.000094	0.58	77.53	27.16	0.11	
Reale_02	73.5	Bridge										
Reale_02	73 Max WS	45.09	34.01	39.63	36.38	39.65	0.000094	0.58	77.46	27.15	0.11	
Reale_02	72.6	Lat Struct										
Reale_02	72.4	Lat Struct										
Reale_02	72 Max WS	45.1	33.98	39.63	36.28	39.65	0.000075	0.54	84.02	28.27	0.1	
Reale_02	71.6	Lat Struct										
Reale_02	71.4	Lat Struct										
Reale_02	71 Max WS	45.09	33.81	39.63	35.88	39.65	0.000061	0.52	86.49	27.23	0.09	
Reale_02	70.06	Lat Struct										
Reale_02	70.04	Lat Struct										
Reale_02	69.6	Lat Struct										
Reale_02	69.4	Lat Struct										
Reale_02	69 Max WS	45.1	33.33	39.63	35.51	39.64	0.00004	0.46	98.91	27.92	0.08	
Reale_02	68.6	Lat Struct										
Reale_02	68.4	Lat Struct										
Reale_02	68 Max WS	45.1	33	39.63	35.37	39.64	0.000044	0.46	97.3	28.16	0.08	

Reale_02	67.6	Lat Struct										
Reale_02	67.4	Lat Struct										
Reale_02	67 Max WS	45.1	33.19	39.62	35.02	39.63	0.000039	0.44	101.44	28.18	0.07	
Reale_02	66.6	Lat Struct										
Reale_02	66.4	Lat Struct										
Reale_02	66 Max WS	45.09	33.16	39.62	35.01	39.63	0.000036	0.43	104.13	28.79	0.07	
Reale_02	65.6	Lat Struct										
Reale_02	65.4	Lat Struct										
Reale_02	65 Max WS	45.01	33.09	39.61	34.9	39.62	0.000034	0.42	106.24	28.91	0.07	
Reale_02	64.6	Lat Struct										
Reale_02	64.4	Lat Struct										
Reale_02	64 Max WS	42.56	32.8	39.61	34.78	39.62	0.000028	0.39	109.04	28.83	0.06	
Reale_02	63.6	Lat Struct										
Reale_02	63.4	Lat Struct										
Reale_02	63 Max WS	42.04	33.21	39.61	34.98	39.62	0.000028	0.39	108.27	29.05	0.06	
Reale_02	62.6	Lat Struct										
Reale_02	62.4	Lat Struct										
Reale_02	62 Max WS	42.04	33.02	39.61	35.04	39.62	0.000029	0.39	107.44	28.99	0.06	
Reale_02	61.6	Lat Struct										
Reale_02	61.4	Lat Struct										
Reale_02	61 Max WS	42.04	32.81	39.61	34.73	39.61	0.000025	0.37	113.01	29.28	0.06	
Reale_02	60.6	Lat Struct										
Reale_02	60.4	Lat Struct										
Reale_02	60 Max WS	42.04	32.82	39.6	34.85	39.61	0.000026	0.38	111.35	29.43	0.06	
Reale_02	59.6	Lat Struct										
Reale_02	59.4	Lat Struct										
Reale_02	59 Max WS	42.04	32.62	39.6	34.43	39.61	0.000022	0.34	123.56	33.59	0.06	
Reale_02	58.6	Lat Struct										
Reale_02	58.4	Lat Struct										
Reale_02	58 Max WS	42.04	32.6	39.6	34.48	39.61	0.000016	0.31	134.94	32.16	0.05	
Reale_02	57.6	Lat Struct										
Reale_02	57.4	Lat Struct										
Reale_02	57 Max WS	42.04	32.57	39.6	34.41	39.61	0.000018	0.32	131.89	32.37	0.05	
Reale_02	56.5	Bridge										
Reale_02	56 Max WS	42.04	32.57	39.6	34.41	39.61	0.000018	0.32	131.84	32.37	0.05	
Reale_02	55.6	Lat Struct										
Reale_02	55.4	Lat Struct										
Reale_02	55 Max WS	42.04	32.57	39.6	34.41	39.61	0.000018	0.33	127.32	29.74	0.05	
Reale_02	54.6	Lat Struct										
Reale_02	54.4	Lat Struct										
Reale_02	54 Max WS	42.04	32.53	39.6	34.44	39.61	0.000024	0.35	120.21	33.6	0.06	
Reale_02	53.6	Lat Struct										
Reale_02	53.4	Lat Struct										
Reale_02	53 Max WS	42.04	32.6	39.6	34.45	39.6	0.000024	0.37	114.32	29.39	0.06	
Reale_02	52.6	Lat Struct										
Reale_02	52.4	Lat Struct										
Reale_02	52 Max WS	42.04	32.68	39.6	34.38	39.6	0.000023	0.36	116.97	29.93	0.06	
Reale_02	51.6	Lat Struct										
Reale_02	51.4	Lat Struct										
Reale_02	51 Max WS	42.04	32.63	39.59	34.38	39.6	0.000022	0.36	116.26	29.1	0.06	
Reale_02	50.6	Lat Struct										
Reale_02	50.4	Lat Struct										
Reale_02	50 Max WS	42.04	32.44	39.59	34.33	39.6	0.000021	0.35	119.67	30	0.06	
Reale_02	49.6	Lat Struct										
Reale_02	49.4	Lat Struct										
Reale_02	49 Max WS	42.03	32.49	39.59	34.52	39.6	0.000022	0.35	119.13	30.73	0.06	
Reale_02	48.6	Lat Struct										
Reale_02	48.4	Lat Struct										
Reale_02	48 Max WS	42.04	32.59	39.59	34.41	39.59	0.00002	0.34	122.81	31.11	0.06	
Reale_02	47.6	Lat Struct										
Reale_02	47.4	Lat Struct										
Reale_02	47 Max WS	42.03	32.41	39.59	34.21	39.59	0.000019	0.34	124.91	30.8	0.05	
Reale_02	46.6	Lat Struct										
Reale_02	46.4	Lat Struct										
Reale_02	46 Max WS	42.04	32.39	39.58	34.16	39.59	0.000018	0.33	127.12	31.2	0.05	

Reale_02	25.4	Lat Struct										
Reale_02	25 Max WS	0	32.07	39.57	32.08	39.57	0	0	136.61	32.54	0	
Reale_02	24.6	Lat Struct										
Reale_02	24.4	Lat Struct										
Reale_02	24 Max WS	0	31.97	39.57	31.99	39.57	0	0	139.2	32.74	0	
Reale_02	23.6	Lat Struct										
Reale_02	23.4	Lat Struct										
Reale_02	23 Max WS	0	32.08	39.57	32.09	39.57	0	0	141.32	32.67	0	
Reale_02	22.6	Lat Struct										
Reale_02	22.4	Lat Struct										
Reale_02	22 Max WS	0	32.01	39.57	32.02	39.57	0	0	140.04	32.71	0	
Reale_02	21.6	Lat Struct										
Reale_02	21.4	Lat Struct										
Reale_02	21 Max WS	0	31.87	39.57	31.88	39.57	0	0	141.08	35.27	0	
Reale_02	20.6	Lat Struct										
Reale_02	20.4	Lat Struct										
Reale_02	20 Max WS	0	31.74	39.57	31.76	39.57	0	0	146.14	33.18	0	
Reale_02	19.6	Lat Struct										
Reale_02	19.4	Lat Struct										
Reale_02	19 Max WS	0	31.58	39.57	31.6	39.57	0	0	147.65	33.43	0	
Reale_02	18.6	Lat Struct										
Reale_02	18.4	Lat Struct										
Reale_02	18 Max WS	0	31.95	39.57	31.96	39.57	0	0	136.63	34.3	0	
Reale_02	17.6	Lat Struct										
Reale_02	17.4	Lat Struct										
Reale_02	17 Max WS	0	32.17	39.57	32.18	39.57	0	0	152.29	34.73	0	
Reale_02	16.5	Bridge										
Reale_02	16 Max WS	0	32.17	39.57	32.18	39.57	0	0	152.93	34.73	0	
Reale_02	15.6	Lat Struct										
Reale_02	15.4	Lat Struct										
Reale_02	15 Max WS	0	32.25	39.57	32.26	39.57	0	0	162.51	35.27	0	
Reale_02	14.6	Lat Struct										
Reale_02	14.4	Lat Struct										
Reale_02	14 Max WS	0	31.95	39.57	31.96	39.57	0	0	136.63	34.3	0	
Reale_02	13.6	Lat Struct										
Reale_02	13.4	Lat Struct										
Reale_02	13 Max WS	0	32.04	39.57	32.05	39.57	0	0	143.48	33.29	0	
Reale_02	12.6	Lat Struct										
Reale_02	12.4	Lat Struct										
Reale_02	12 Max WS	0	32.24	39.57	32.25	39.57	0	0	144.92	33.52	0	
Reale_02	11.6	Lat Struct										
Reale_02	11.4	Lat Struct										
Reale_02	11 Max WS	0	32.1	39.57	32.11	39.57	0	0	146.91	34.3	0	
Reale_02	10.6	Lat Struct										
Reale_02	10.4	Lat Struct										
Reale_02	10 Max WS	0	32.08	39.57	32.09	39.57	0	0	89.94	12	0	
Reale_02	9.6	Lat Struct										
Reale_02	9.4	Lat Struct										
Reale_02	9 Max WS	0	30.8	39.57	30.81	39.57	0	0	87.74	10	0	
Reale_02	8.6	Lat Struct										
Reale_02	8.4	Lat Struct										
Reale_02	8 Max WS	0	30.8	39.57	30.81	39.57	0	0	87.74	10	0	
Reale_02	7.6	Inl Struct										
Reale_02	7.1 Max WS	0	30.8	40.46	30.81	40.46	0	0	96.61	10	0	
Reale_02	7 Max WS	-0.01	30.8	40.46	30.81	40.46	0	0	115.93	12	0	
Reale_02	1.6	Lat Struct										
Reale_02	1.4	Lat Struct										
Reale_02	1.1 Max WS	-0.88	31.66	40.46	31.8	40.46	0	0	331.32	103.03	0	
Reale_02	1 Max WS	-0.91	31.66	40.46	31.8	40.46	0	0	331.32	103.03	0	

Reale_02	91.4	Lat Struct										
Reale_02	91 Max WS	35.3	34.67	39.62	36.14	39.63	0.000052	0.45	78.51	26.36	0.08	
Reale_02	90.6	Lat Struct										
Reale_02	90.4	Lat Struct										
Reale_02	90 Max WS	35.3	35.04	39.62	36.34	39.63	0.000006	0.47	74.33	27.03	0.09	
Reale_02	89.6	Lat Struct										
Reale_02	89.4	Lat Struct										
Reale_02	89 Max WS	35.3	35.14	39.62	36.48	39.63	0.000045	0.43	82.55	28.74	0.08	
Reale_02	88.5	Bridge										
Reale_02	88 Max WS	35.3	35.14	39.62	36.47	39.63	0.000044	0.42	83.29	28.72	0.08	
Reale_02	87.6	Lat Struct										
Reale_02	87.4	Lat Struct										
Reale_02	87 Max WS	35.3	35.14	39.62	36.49	39.63	0.000045	0.42	83.16	29.04	0.08	
Reale_02	86.6	Lat Struct										
Reale_02	86.4	Lat Struct										
Reale_02	86 Max WS	35.3	35.06	39.61	36.52	39.62	0.000006	0.48	73.96	26.88	0.09	
Reale_02	85.6	Lat Struct										
Reale_02	85.4	Lat Struct										
Reale_02	85 Max WS	35.3	34.82	39.61	36.03	39.62	0.000053	0.46	77.53	27.11	0.09	
Reale_02	84.6	Lat Struct										
Reale_02	84.4	Lat Struct										
Reale_02	84 Max WS	35.29	34.8	39.61	35.82	39.61	0.000026	0.35	101.42	28.81	0.06	
Reale_02	83.6	Lat Struct										
Reale_02	83.4	Lat Struct										
Reale_02	83 Max WS	35.3	34.62	39.61	35.95	39.61	0.000009	0.22	164.11	43.77	0.04	
Reale_02	82.6	Lat Struct										
Reale_02	82.4	Lat Struct										
Reale_02	82 Max WS	35.29	34.62	39.6	36.1	39.61	0.000031	0.39	91.58	23.67	0.06	
Reale_02	81.5	Bridge										
Reale_02	81 Max WS	35.3	34.62	39.6	36.1	39.61	0.000031	0.39	91.55	23.67	0.06	
Reale_02	80.6	Lat Struct										
Reale_02	80.4	Lat Struct										
Reale_02	80 Max WS	35.3	34.61	39.61	35.93	39.61	0.000006	0.19	184.9	48.14	0.03	
Reale_02	79.9 Max WS	35.3	34.6	39.61	35.93	39.61	0.000006	0.19	184.99	48.14	0.03	
Reale_02	79.6	Lat Struct										
Reale_02	79.4	Lat Struct										
Reale_02	79 Max WS	35.3	34.14	39.61	35.82	39.61	0.000005	0.17	212.4	51.32	0.03	
Reale_02	78 Max WS	35.3	34.14	39.6	35.8	39.61	0.000022	0.33	107.49	24.72	0.05	
Reale_02	77.5	Bridge										
Reale_02	77 Max WS	35.3	34.14	39.6	35.8	39.61	0.000022	0.33	107.46	24.72	0.05	
Reale_02	76.6	Lat Struct										
Reale_02	76.4	Lat Struct										
Reale_02	76 Max WS	35.3	34.09	39.6	35.75	39.61	0.000021	0.34	103.92	25.33	0.05	
Reale_02	75.6	Lat Struct										
Reale_02	75.4	Lat Struct										
Reale_02	75 Max WS	35.3	34.13	39.6	35.73	39.61	0.000046	0.43	82.85	28.38	0.08	
Reale_02	74.6	Lat Struct										
Reale_02	74.4	Lat Struct										
Reale_02	74 Max WS	35.3	34.01	39.59	36.14	39.6	0.000006	0.46	76.51	27.02	0.09	
Reale_02	73.5	Bridge										
Reale_02	73 Max WS	35.3	34.01	39.59	36.14	39.6	0.000006	0.46	76.45	27.01	0.09	
Reale_02	72.6	Lat Struct										
Reale_02	72.4	Lat Struct										
Reale_02	72 Max WS	35.3	33.98	39.59	35.93	39.6	0.000048	0.43	82.93	28.16	0.08	
Reale_02	71.6	Lat Struct										
Reale_02	71.4	Lat Struct										
Reale_02	71 Max WS	35.3	33.81	39.59	35.63	39.6	0.000039	0.41	85.45	27.12	0.07	
Reale_02	70.06	Lat Struct										
Reale_02	70.04	Lat Struct										
Reale_02	69.6	Lat Struct										
Reale_02	69.4	Lat Struct										
Reale_02	69 Max WS	35.3	33.33	39.59	35.29	39.6	0.000025	0.36	97.84	27.81	0.06	
Reale_02	68.6	Lat Struct										
Reale_02	68.4	Lat Struct										
Reale_02	68 Max WS	35.3	33	39.59	35.12	39.6	0.000028	0.37	96.28	28.06	0.06	

Reale_02	67.6	Lat Struct										
Reale_02	67.4	Lat Struct										
Reale_02	67 Max WS	35.3	33.19	39.59	34.79	39.59	0.000024	0.35	100.47	28.09	0.06	
Reale_02	66.6	Lat Struct										
Reale_02	66.4	Lat Struct										
Reale_02	66 Max WS	35.3	33.16	39.58	34.77	39.59	0.000023	0.34	103.18	28.7	0.06	
Reale_02	65.6	Lat Struct										
Reale_02	65.4	Lat Struct										
Reale_02	65 Max WS	35.3	33.09	39.58	34.67	39.59	0.000021	0.34	105.31	28.83	0.06	
Reale_02	64.6	Lat Struct										
Reale_02	64.4	Lat Struct										
Reale_02	64 Max WS	34.24	32.8	39.58	34.57	39.59	0.000019	0.32	108.11	28.8	0.05	
Reale_02	63.6	Lat Struct										
Reale_02	63.4	Lat Struct										
Reale_02	63 Max WS	34.01	33.21	39.58	34.79	39.58	0.000019	0.32	107.36	28.97	0.05	
Reale_02	62.6	Lat Struct										
Reale_02	62.4	Lat Struct										
Reale_02	62 Max WS	34.01	33.02	39.58	34.84	39.58	0.000019	0.32	106.56	28.92	0.05	
Reale_02	61.6	Lat Struct										
Reale_02	61.4	Lat Struct										
Reale_02	61 Max WS	34.01	32.81	39.58	34.53	39.58	0.000016	0.3	112.14	29.23	0.05	
Reale_02	60.6	Lat Struct										
Reale_02	60.4	Lat Struct										
Reale_02	60 Max WS	34.01	32.82	39.57	34.65	39.58	0.000017	0.31	110.5	29.36	0.05	
Reale_02	59.6	Lat Struct										
Reale_02	59.4	Lat Struct										
Reale_02	59 Max WS	34.01	32.62	39.57	34.23	39.58	0.000014	0.28	122.6	33.51	0.05	
Reale_02	58.6	Lat Struct										
Reale_02	58.4	Lat Struct										
Reale_02	58 Max WS	34.01	32.6	39.57	34.26	39.58	0.000011	0.25	134.02	32.05	0.04	
Reale_02	57.6	Lat Struct										
Reale_02	57.4	Lat Struct										
Reale_02	57 Max WS	34.01	32.57	39.57	34.2	39.58	0.000012	0.26	130.96	32.36	0.04	
Reale_02	56.5	Bridge										
Reale_02	56 Max WS	34.01	32.57	39.57	34.2	39.58	0.000012	0.26	130.92	32.36	0.04	
Reale_02	55.6	Lat Struct										
Reale_02	55.4	Lat Struct										
Reale_02	55 Max WS	34.01	32.57	39.57	34.21	39.58	0.000012	0.27	126.48	29.67	0.04	
Reale_02	54.6	Lat Struct										
Reale_02	54.4	Lat Struct										
Reale_02	54 Max WS	34.01	32.53	39.57	34.23	39.58	0.000016	0.29	119.28	33.51	0.05	
Reale_02	53.6	Lat Struct										
Reale_02	53.4	Lat Struct										
Reale_02	53 Max WS	34.01	32.6	39.57	34.25	39.57	0.000016	0.3	113.52	29.32	0.05	
Reale_02	52.6	Lat Struct										
Reale_02	52.4	Lat Struct										
Reale_02	52 Max WS	34.01	32.68	39.57	34.19	39.57	0.000015	0.29	116.17	29.86	0.05	
Reale_02	51.6	Lat Struct										
Reale_02	51.4	Lat Struct										
Reale_02	51 Max WS	34.01	32.63	39.57	34.19	39.57	0.000015	0.29	115.52	29.04	0.05	
Reale_02	50.6	Lat Struct										
Reale_02	50.4	Lat Struct										
Reale_02	50 Max WS	34.01	32.44	39.57	34.13	39.57	0.000014	0.29	118.92	29.93	0.05	
Reale_02	49.6	Lat Struct										
Reale_02	49.4	Lat Struct										
Reale_02	49 Max WS	34.01	32.49	39.56	34.32	39.57	0.000014	0.29	118.37	30.66	0.05	
Reale_02	48.6	Lat Struct										
Reale_02	48.4	Lat Struct										
Reale_02	48 Max WS	34.01	32.59	39.56	34.22	39.57	0.000013	0.28	122.06	31.04	0.04	
Reale_02	47.6	Lat Struct										
Reale_02	47.4	Lat Struct										
Reale_02	47 Max WS	34.01	32.41	39.56	34.01	39.57	0.000013	0.27	124.19	30.73	0.04	
Reale_02	46.6	Lat Struct										
Reale_02	46.4	Lat Struct										
Reale_02	46 Max WS	34.01	32.39	39.56	33.97	39.57	0.000012	0.27	126.42	31.13	0.04	

Reale_02	25.4	Lat Struct										
Reale_02	25 Max WS	0	32.07	39.55	32.08	39.55	0	0	135.93	32.48	0	
Reale_02	24.6	Lat Struct										
Reale_02	24.4	Lat Struct										
Reale_02	24 Max WS	0	31.97	39.55	32	39.55	0	0	138.51	32.68	0	
Reale_02	23.6	Lat Struct										
Reale_02	23.4	Lat Struct										
Reale_02	23 Max WS	0	32.08	39.55	32.09	39.55	0	0	140.65	32.61	0	
Reale_02	22.6	Lat Struct										
Reale_02	22.4	Lat Struct										
Reale_02	22 Max WS	0	32.01	39.55	32.02	39.55	0	0	139.36	32.65	0	
Reale_02	21.6	Lat Struct										
Reale_02	21.4	Lat Struct										
Reale_02	21 Max WS	0	31.87	39.55	31.89	39.55	0	0	140.35	34.56	0	
Reale_02	20.6	Lat Struct										
Reale_02	20.4	Lat Struct										
Reale_02	20 Max WS	0	31.74	39.55	31.76	39.55	0	0	145.45	33.12	0	
Reale_02	19.6	Lat Struct										
Reale_02	19.4	Lat Struct										
Reale_02	19 Max WS	0	31.58	39.55	31.61	39.55	0	0	146.96	33.37	0	
Reale_02	18.6	Lat Struct										
Reale_02	18.4	Lat Struct										
Reale_02	18 Max WS	0	31.95	39.55	31.96	39.55	0	0	135.92	34.06	0	
Reale_02	17.6	Lat Struct										
Reale_02	17.4	Lat Struct										
Reale_02	17 Max WS	0	32.17	39.55	32.19	39.55	0	0	151.57	34.67	0	
Reale_02	16.5	Bridge										
Reale_02	16 Max WS	0	32.17	39.55	32.19	39.55	0	0	152.21	34.67	0	
Reale_02	15.6	Lat Struct										
Reale_02	15.4	Lat Struct										
Reale_02	15 Max WS	0	32.25	39.55	32.27	39.55	0	0	161.78	35.25	0	
Reale_02	14.6	Lat Struct										
Reale_02	14.4	Lat Struct										
Reale_02	14 Max WS	0	31.95	39.55	31.96	39.55	0	0	135.92	34.06	0	
Reale_02	13.6	Lat Struct										
Reale_02	13.4	Lat Struct										
Reale_02	13 Max WS	0	32.04	39.55	32.06	39.55	0	0	142.79	33.24	0	
Reale_02	12.6	Lat Struct										
Reale_02	12.4	Lat Struct										
Reale_02	12 Max WS	0	32.24	39.55	32.25	39.55	0	0	144.22	33.47	0	
Reale_02	11.6	Lat Struct										
Reale_02	11.4	Lat Struct										
Reale_02	11 Max WS	0	32.1	39.55	32.11	39.55	0	0	146.2	34.24	0	
Reale_02	10.6	Lat Struct										
Reale_02	10.4	Lat Struct										
Reale_02	10 Max WS	0	32.08	39.55	32.09	39.55	0	0	89.69	12	0	
Reale_02	9.6	Lat Struct										
Reale_02	9.4	Lat Struct										
Reale_02	9 Max WS	0	30.8	39.55	30.81	39.55	0	0	87.54	10	0	
Reale_02	8.6	Lat Struct										
Reale_02	8.4	Lat Struct										
Reale_02	8 Max WS	0	30.8	39.55	30.81	39.55	0	0	87.54	10	0	
Reale_02	7.6	Inl Struct										
Reale_02	7.1 Max WS	0	30.8	40.33	30.81	40.33	0	0	95.3	10	0	
Reale_02	7 Max WS	0	30.8	40.33	30.81	40.33	0	0	114.37	12	0	
Reale_02	1.6	Lat Struct										
Reale_02	1.4	Lat Struct										
Reale_02	1.1 Max WS	-0.13	31.66	40.33	31.72	40.33	0	0	318.2	91.44	0	
Reale_02	1 Max WS	-0.14	31.66	40.33	31.72	40.33	0	0	318.2	91.44	0	

Reale_02	91.4	Lat Struct										
Reale_02	91 Max WS	183.02	34.67	40.32	38.17	40.5	0.00074	1.88	97.41	28.04	0.32	
Reale_02	90.6	Lat Struct										
Reale_02	90.4	Lat Struct										
Reale_02	90 Max WS	181.68	35.04	40.22	38.35	40.42	0.000886	1.99	91.12	28.96	0.36	
Reale_02	89.6	Lat Struct										
Reale_02	89.4	Lat Struct										
Reale_02	89 Max WS	182.58	35.14	40.24	38.14	40.41	0.000679	1.81	101.05	30.68	0.32	
Reale_02	88.5	Bridge										
Reale_02	88 Max WS	182.69	35.14	40.24	38.12	40.4	0.000714	1.79	101.91	31.82	0.32	
Reale_02	87.6	Lat Struct										
Reale_02	87.4	Lat Struct										
Reale_02	87 Max WS	182.58	35.14	40.23	38.13	40.4	0.000671	1.8	101.64	30.98	0.32	
Reale_02	86.6	Lat Struct										
Reale_02	86.4	Lat Struct										
Reale_02	86 Max WS	181.07	35.06	40.17	38.35	40.38	0.000916	2.03	89.4	28.56	0.37	
Reale_02	85.6	Lat Struct										
Reale_02	85.4	Lat Struct										
Reale_02	85 Max WS	180.65	34.82	40.07	38.19	40.27	0.000891	2	90.36	28.54	0.36	
Reale_02	84.6	Lat Struct										
Reale_02	84.4	Lat Struct										
Reale_02	84 Max WS	180.55	34.8	40.05	37.36	40.17	0.000478	1.58	114.13	28.86	0.25	
Reale_02	83.6	Lat Struct										
Reale_02	83.4	Lat Struct										
Reale_02	83 Max WS	180.79	34.62	40.12	36.95	40.17	0.000153	0.97	186.52	44.39	0.15	
Reale_02	82.6	Lat Struct										
Reale_02	82.4	Lat Struct										
Reale_02	82 Max WS	180.58	34.62	40.01	37.4	40.17	0.000605	1.78	101.33	24.04	0.28	
Reale_02	81.5	Bridge										
Reale_02	81 Max WS	180.58	34.62	40	37.4	40.17	0.000609	1.79	101.11	24.03	0.28	
Reale_02	80.6	Lat Struct										
Reale_02	80.4	Lat Struct										
Reale_02	80 Max WS	180.79	34.61	40.11	36.73	40.15	0.000116	0.86	209.46	49.01	0.13	
Reale_02	79.9 Max WS	180.8	34.6	40.11	36.72	40.15	0.000116	0.86	209.54	49.01	0.13	
Reale_02	79.6	Lat Struct										
Reale_02	79.4	Lat Struct										
Reale_02	79 Max WS	180.84	34.14	40.12	36.54	40.15	0.000119	0.76	238.82	69.79	0.13	
Reale_02	78 Max WS	180.65	34.14	40.04	37.01	40.16	0.000424	1.53	118.26	24.73	0.22	
Reale_02	77.5	Bridge										
Reale_02	77 Max WS	180.62	34.14	40.03	37.02	40.15	0.000427	1.53	118.01	24.73	0.22	
Reale_02	76.6	Lat Struct										
Reale_02	76.4	Lat Struct										
Reale_02	76 Max WS	180.65	34.09	40.02	37.15	40.15	0.000415	1.58	114.49	25.46	0.24	
Reale_02	75.6	Lat Struct										
Reale_02	75.4	Lat Struct										
Reale_02	75 Max WS	179.89	34.13	39.93	37.98	40.13	0.000913	1.94	92.81	30.83	0.36	
Reale_02	74.6	Lat Struct										
Reale_02	74.4	Lat Struct										
Reale_02	74 Max WS	178.8	34.01	39.84	38.15	40.07	0.001212	2.15	83.24	27.93	0.4	
Reale_02	73.5	Bridge										
Reale_02	73 Max WS	178.23	34.01	39.82	38.14	40.06	0.001221	2.15	82.83	27.87	0.4	
Reale_02	72.6	Lat Struct										
Reale_02	72.4	Lat Struct										
Reale_02	72 Max WS	178.89	33.98	39.86	38.04	40.06	0.000948	1.97	90.58	28.94	0.36	
Reale_02	71.6	Lat Struct										
Reale_02	71.4	Lat Struct										
Reale_02	71 Max WS	178.86	33.81	39.86	37.8	40.05	0.000789	1.93	92.76	27.9	0.34	
Reale_02	70.06	Lat Struct										
Reale_02	70.04	Lat Struct										
Reale_02	69.6	Lat Struct										
Reale_02	69.4	Lat Struct										
Reale_02	69 Max WS	179.03	33.33	39.86	37.27	40.01	0.000529	1.7	105.38	28.57	0.28	
Reale_02	68.6	Lat Struct										
Reale_02	68.4	Lat Struct										
Reale_02	68 Max WS	178.12	33	39.79	37.4	39.95	0.000644	1.74	102.14	30.49	0.3	

Reale_02	67.6	Lat Struct										
Reale_02	67.4	Lat Struct										
Reale_02	67 Max WS	176.52	33.19	39.71	37.18	39.86	0.000551	1.7	104.04	28.44	0.28	
Reale_02	66.6	Lat Struct										
Reale_02	66.4	Lat Struct										
Reale_02	66 Max WS	175.98	33.16	39.66	37.14	39.8	0.000533	1.67	105.4	28.84	0.28	
Reale_02	65.6	Lat Struct										
Reale_02	65.4	Lat Struct										
Reale_02	65 Max WS	174.48	33.09	39.61	37.04	39.75	0.000514	1.64	106.07	28.9	0.27	
Reale_02	64.6	Lat Struct										
Reale_02	64.4	Lat Struct										
Reale_02	64 Max WS	172.84	32.8	39.56	36.95	39.69	0.000482	1.61	107.53	28.77	0.27	
Reale_02	63.6	Lat Struct										
Reale_02	63.4	Lat Struct										
Reale_02	63 Max WS	172.02	33.21	39.5	36.99	39.64	0.000507	1.64	105.11	28.78	0.27	
Reale_02	62.6	Lat Struct										
Reale_02	62.4	Lat Struct										
Reale_02	62 Max WS	171.48	33.02	39.45	37.01	39.59	0.000537	1.67	102.92	28.6	0.28	
Reale_02	61.6	Lat Struct										
Reale_02	61.4	Lat Struct										
Reale_02	61 Max WS	171.09	32.81	39.42	36.81	39.55	0.000469	1.59	107.5	28.84	0.26	
Reale_02	60.6	Lat Struct										
Reale_02	60.4	Lat Struct										
Reale_02	60 Max WS	170.63	32.82	39.37	36.91	39.5	0.000512	1.63	104.49	28.86	0.27	
Reale_02	59.6	Lat Struct										
Reale_02	59.4	Lat Struct										
Reale_02	59 Max WS	170.18	32.62	39.32	36.57	39.44	0.000444	1.49	114.28	32.8	0.25	
Reale_02	58.6	Lat Struct										
Reale_02	58.4	Lat Struct										
Reale_02	58 Max WS	170.8	32.6	39.34	36.45	39.43	0.00032	1.35	126.59	31.21	0.21	
Reale_02	57.6	Lat Struct										
Reale_02	57.4	Lat Struct										
Reale_02	57 Max WS	170.78	32.57	39.33	36.4	39.43	0.000346	1.38	123.36	30.98	0.22	
Reale_02	56.5	Bridge										
Reale_02	56 Max WS	170.2	32.57	39.32	36.4	39.42	0.000346	1.38	123.04	30.96	0.22	
Reale_02	55.6	Lat Struct										
Reale_02	55.4	Lat Struct										
Reale_02	55 Max WS	170.2	32.57	39.32	36.4	39.42	0.000358	1.43	118.96	29.17	0.23	
Reale_02	54.6	Lat Struct										
Reale_02	54.4	Lat Struct										
Reale_02	54 Max WS	170.13	32.53	39.29	36.58	39.42	0.000497	1.55	110.09	32.64	0.27	
Reale_02	53.6	Lat Struct										
Reale_02	53.4	Lat Struct										
Reale_02	53 Max WS	170.05	32.6	39.26	36.66	39.4	0.000503	1.63	104.62	28.49	0.27	
Reale_02	52.6	Lat Struct										
Reale_02	52.4	Lat Struct										
Reale_02	52 Max WS	169.62	32.68	39.22	36.31	39.35	0.000487	1.6	105.8	28.85	0.27	
Reale_02	51.6	Lat Struct										
Reale_02	51.4	Lat Struct										
Reale_02	51 Max WS	169.09	32.63	39.17	36.3	39.3	0.000498	1.63	104.05	28.03	0.27	
Reale_02	50.6	Lat Struct										
Reale_02	50.4	Lat Struct										
Reale_02	50 Max WS	169.16	32.44	39.13	36.49	39.26	0.000479	1.6	106.02	28.73	0.27	
Reale_02	49.6	Lat Struct										
Reale_02	49.4	Lat Struct										
Reale_02	49 Max WS	168.74	32.49	39.07	36.59	39.21	0.000518	1.63	103.58	29.22	0.28	
Reale_02	48.6	Lat Struct										
Reale_02	48.4	Lat Struct										
Reale_02	48 Max WS	168.64	32.59	39.02	36.47	39.15	0.000489	1.59	105.75	29.46	0.27	
Reale_02	47.6	Lat Struct										
Reale_02	47.4	Lat Struct										
Reale_02	47 Max WS	167.62	32.41	38.97	36.35	39.1	0.00047	1.57	106.46	29.09	0.26	
Reale_02	46.6	Lat Struct										
Reale_02	46.4	Lat Struct										
Reale_02	46 Max WS	167.72	32.39	38.93	36.3	39.06	0.000461	1.56	107.44	29.38	0.26	

Reale_02	25.4	Lat Struct										
Reale_02	25 Max WS	166.69	32.07	37.95	35.67	38.14	0.000832	1.9	87.67	27.84	0.34	
Reale_02	24.6	Lat Struct										
Reale_02	24.4	Lat Struct										
Reale_02	24 Max WS	166.63	31.97	37.87	35.56	38.05	0.000839	1.91	87.36	27.96	0.34	
Reale_02	23.6	Lat Struct										
Reale_02	23.4	Lat Struct										
Reale_02	23 Max WS	166.66	32.08	37.77	35.6	37.96	0.000839	1.92	86.91	27.7	0.35	
Reale_02	22.6	Lat Struct										
Reale_02	22.4	Lat Struct										
Reale_02	22 Max WS	166.61	32.01	37.65	35.57	37.86	0.000981	2.02	82.45	27.21	0.37	
Reale_02	21.6	Lat Struct										
Reale_02	21.4	Lat Struct										
Reale_02	21 Max WS	166.57	31.87	37.58	35.61	37.79	0.001044	2.06	80.9	27.27	0.38	
Reale_02	20.6	Lat Struct										
Reale_02	20.4	Lat Struct										
Reale_02	20 Max WS	166.58	31.74	37.48	35.21	37.68	0.000958	2.01	82.99	27.01	0.37	
Reale_02	19.6	Lat Struct										
Reale_02	19.4	Lat Struct										
Reale_02	19 Max WS	166.52	31.58	37.35	35.22	37.57	0.00105	2.07	80.49	26.96	0.38	
Reale_02	18.6	Lat Struct										
Reale_02	18.4	Lat Struct										
Reale_02	18 Max WS	166.53	31.95	37.12	35.6	37.44	0.001859	2.52	66.06	25.1	0.5	
Reale_02	17.6	Lat Struct										
Reale_02	17.4	Lat Struct										
Reale_02	17 Max WS	166.54	32.17	37.19	35.77	37.42	0.001221	2.14	77.85	27.95	0.41	
Reale_02	16.5	Bridge										
Reale_02	16 Max WS	166.54	32.17	37.15	35.74	37.39	0.001279	2.15	77.53	27.87	0.41	
Reale_02	15.6	Lat Struct										
Reale_02	15.4	Lat Struct										
Reale_02	15 Max WS	166.54	32.25	37.17	35.85	37.38	0.001251	2.07	80.6	32.08	0.42	
Reale_02	14.6	Lat Struct										
Reale_02	14.4	Lat Struct										
Reale_02	14 Max WS	166.54	31.95	37.02	35.6	37.37	0.002075	2.62	63.61	24.82	0.52	
Reale_02	13.6	Lat Struct										
Reale_02	13.4	Lat Struct										
Reale_02	13 Max WS	-2.03	32.04	36.97	32.43	36.97	0	-0.03	66.2	26.08	0.01	
Reale_02	12.6	Lat Struct										
Reale_02	12.4	Lat Struct										
Reale_02	12 Max WS	-1.62	32.24	36.97	32.44	36.97	0	-0.02	66.34	26.8	0	
Reale_02	11.6	Lat Struct										
Reale_02	11.4	Lat Struct										
Reale_02	11 Max WS	-2.63	32.1	36.97	32.47	36.97	0	-0.04	67.67	26.65	0.01	
Reale_02	10.6	Lat Struct										
Reale_02	10.4	Lat Struct										
Reale_02	10 Max WS	-1.41	32.08	36.98	32.19	36.98	0	-0.02	58.74	12	0	
Reale_02	9.6	Lat Struct										
Reale_02	9.4	Lat Struct										
Reale_02	9 Max WS	-1.61	30.8	36.98	30.94	36.98	0	-0.03	61.77	10	0	
Reale_02	8.6	Lat Struct										
Reale_02	8.4	Lat Struct										
Reale_02	8 Max WS	0	30.8	36.95	30.81	36.95	0	0	61.55	10	0	
Reale_02	7.6	Inl Struct										
Reale_02	7.1 Max WS	0	30.8	38.78	30.81	38.78	0	0	79.8	10	0	
Reale_02	7 Max WS	0	30.8	38.78	30.81	38.78	0	0	95.76	12	0	
Reale_02	1.6	Lat Struct										
Reale_02	1.4	Lat Struct										
Reale_02	1.1 Max WS	0	31.66	38.78	31.67	38.78	0	0	169	38.44	0	
Reale_02	1 Max WS	-0.02	31.66	38.78	31.69	38.78	0	0	169	38.44	0	

Reale_02	91.4	Lat Struct										
Reale_02	91 Max WS	174.25	34.67	40.3	38.11	40.46	0.000683	1.8	96.81	27.98	0.31	
Reale_02	90.6	Lat Struct										
Reale_02	90.4	Lat Struct										
Reale_02	90 Max WS	174.2	35.04	40.2	38.29	40.39	0.000825	1.92	90.69	28.91	0.35	
Reale_02	89.6	Lat Struct										
Reale_02	89.4	Lat Struct										
Reale_02	89 Max WS	174.21	35.14	40.22	38.08	40.38	0.000627	1.73	100.51	30.64	0.31	
Reale_02	88.5	Bridge										
Reale_02	88 Max WS	174.21	35.14	40.22	38.06	40.37	0.000657	1.72	101.37	31.7	0.31	
Reale_02	87.6	Lat Struct										
Reale_02	87.4	Lat Struct										
Reale_02	87 Max WS	174.2	35.14	40.22	38.07	40.37	0.00062	1.72	101.13	30.94	0.3	
Reale_02	86.6	Lat Struct										
Reale_02	86.4	Lat Struct										
Reale_02	86 Max WS	174.18	35.06	40.16	38.3	40.35	0.000857	1.96	89.06	28.53	0.35	
Reale_02	85.6	Lat Struct										
Reale_02	85.4	Lat Struct										
Reale_02	85 Max WS	174.09	34.82	40.06	38.14	40.25	0.000833	1.93	90.17	28.52	0.35	
Reale_02	84.6	Lat Struct										
Reale_02	84.4	Lat Struct										
Reale_02	84 Max WS	174.08	34.8	40.04	37.31	40.16	0.000447	1.53	113.92	28.86	0.25	
Reale_02	83.6	Lat Struct										
Reale_02	83.4	Lat Struct										
Reale_02	83 Max WS	174.12	34.62	40.1	36.92	40.15	0.000143	0.94	185.97	44.38	0.15	
Reale_02	82.6	Lat Struct										
Reale_02	82.4	Lat Struct										
Reale_02	82 Max WS	174.05	34.62	40.01	37.35	40.16	0.000564	1.72	101.21	24.03	0.27	
Reale_02	81.5	Bridge										
Reale_02	81 Max WS	174.06	34.62	40	37.35	40.15	0.000567	1.72	101.01	24.03	0.27	
Reale_02	80.6	Lat Struct										
Reale_02	80.4	Lat Struct										
Reale_02	80 Max WS	174.11	34.61	40.1	36.7	40.14	0.000108	0.83	208.88	48.99	0.13	
Reale_02	79.9 Max WS	174.11	34.6	40.1	36.69	40.14	0.000108	0.83	208.95	48.99	0.13	
Reale_02	79.6	Lat Struct										
Reale_02	79.4	Lat Struct										
Reale_02	79 Max WS	174.11	34.14	40.11	36.52	40.13	0.000079	0.73	238.04	51.32	0.11	
Reale_02	78 Max WS	174.08	34.14	40.03	36.97	40.14	0.000396	1.47	118.1	24.73	0.22	
Reale_02	77.5	Bridge										
Reale_02	77 Max WS	174.08	34.14	40.02	36.97	40.13	0.000398	1.48	117.86	24.73	0.22	
Reale_02	76.6	Lat Struct										
Reale_02	76.4	Lat Struct										
Reale_02	76 Max WS	174.07	34.09	40.01	37.1	40.13	0.000387	1.52	114.35	25.46	0.23	
Reale_02	75.6	Lat Struct										
Reale_02	75.4	Lat Struct										
Reale_02	75 Max WS	174	34.13	39.93	37.94	40.11	0.000854	1.87	92.82	30.83	0.34	
Reale_02	74.6	Lat Struct										
Reale_02	74.4	Lat Struct										
Reale_02	74 Max WS	173.84	34.01	39.84	38.11	40.07	0.001139	2.08	83.42	27.95	0.39	
Reale_02	73.5	Bridge										
Reale_02	73 Max WS	173.83	34.01	39.83	38.11	40.05	0.001153	2.09	83.03	27.9	0.39	
Reale_02	72.6	Lat Struct										
Reale_02	72.4	Lat Struct										
Reale_02	72 Max WS	173.9	33.98	39.87	38	40.05	0.000892	1.92	90.72	28.96	0.35	
Reale_02	71.6	Lat Struct										
Reale_02	71.4	Lat Struct										
Reale_02	71 Max WS	173.9	33.81	39.86	37.76	40.04	0.000743	1.87	92.9	27.91	0.33	
Reale_02	70.06	Lat Struct										
Reale_02	70.04	Lat Struct										
Reale_02	69.6	Lat Struct										
Reale_02	69.4	Lat Struct										
Reale_02	69 Max WS	173.9	33.33	39.86	37.23	40	0.000497	1.65	105.49	28.58	0.27	
Reale_02	68.6	Lat Struct										
Reale_02	68.4	Lat Struct										
Reale_02	68 Max WS	173.69	33	39.8	37.36	39.95	0.000609	1.7	102.34	30.5	0.3	

Reale_02	67.6	Lat Struct										
Reale_02	67.4	Lat Struct										
Reale_02	67 Max WS	173.3	33.19	39.72	37.15	39.86	0.000527	1.66	104.31	28.46	0.28	
Reale_02	66.6	Lat Struct										
Reale_02	66.4	Lat Struct										
Reale_02	66 Max WS	172.58	33.16	39.67	37.11	39.81	0.000508	1.63	105.72	28.86	0.27	
Reale_02	65.6	Lat Struct										
Reale_02	65.4	Lat Struct										
Reale_02	65 Max WS	171.22	33.09	39.62	37.02	39.75	0.00049	1.61	106.48	28.94	0.27	
Reale_02	64.6	Lat Struct										
Reale_02	64.4	Lat Struct										
Reale_02	64 Max WS	169.69	32.8	39.58	36.93	39.7	0.000458	1.57	108.04	28.79	0.26	
Reale_02	63.6	Lat Struct										
Reale_02	63.4	Lat Struct										
Reale_02	63 Max WS	169.43	33.21	39.52	36.97	39.65	0.000485	1.6	105.68	28.83	0.27	
Reale_02	62.6	Lat Struct										
Reale_02	62.4	Lat Struct										
Reale_02	62 Max WS	169.32	33.02	39.47	37	39.61	0.000515	1.64	103.53	28.65	0.27	
Reale_02	61.6	Lat Struct										
Reale_02	61.4	Lat Struct										
Reale_02	61 Max WS	169.28	32.81	39.44	36.8	39.56	0.000452	1.57	108.12	28.89	0.26	
Reale_02	60.6	Lat Struct										
Reale_02	60.4	Lat Struct										
Reale_02	60 Max WS	169.21	32.82	39.39	36.9	39.52	0.000494	1.61	105.15	28.92	0.27	
Reale_02	59.6	Lat Struct										
Reale_02	59.4	Lat Struct										
Reale_02	59 Max WS	169.15	32.62	39.35	36.56	39.46	0.00043	1.47	115.04	32.87	0.25	
Reale_02	58.6	Lat Struct										
Reale_02	58.4	Lat Struct										
Reale_02	58 Max WS	169.2	32.6	39.36	36.44	39.45	0.000309	1.33	127.3	31.29	0.21	
Reale_02	57.6	Lat Struct										
Reale_02	57.4	Lat Struct										
Reale_02	57 Max WS	169.19	32.57	39.36	36.39	39.45	0.000334	1.36	124.07	31	0.22	
Reale_02	56.5	Bridge										
Reale_02	56 Max WS	169.18	32.57	39.35	36.39	39.44	0.000336	1.37	123.75	30.99	0.22	
Reale_02	55.6	Lat Struct										
Reale_02	55.4	Lat Struct										
Reale_02	55 Max WS	169.15	32.57	39.34	36.39	39.44	0.000347	1.41	119.63	29.18	0.22	
Reale_02	54.6	Lat Struct										
Reale_02	54.4	Lat Struct										
Reale_02	54 Max WS	169.11	32.53	39.32	36.57	39.44	0.000481	1.53	110.87	32.72	0.26	
Reale_02	53.6	Lat Struct										
Reale_02	53.4	Lat Struct										
Reale_02	53 Max WS	169.09	32.6	39.29	36.4	39.42	0.000488	1.61	105.32	28.56	0.27	
Reale_02	52.6	Lat Struct										
Reale_02	52.4	Lat Struct										
Reale_02	52 Max WS	169.02	32.68	39.24	36.3	39.37	0.000475	1.59	106.52	28.92	0.26	
Reale_02	51.6	Lat Struct										
Reale_02	51.4	Lat Struct										
Reale_02	51 Max WS	169	32.63	39.19	36.3	39.32	0.000488	1.61	104.76	28.1	0.27	
Reale_02	50.6	Lat Struct										
Reale_02	50.4	Lat Struct										
Reale_02	50 Max WS	168.96	32.44	39.15	36.49	39.28	0.000469	1.58	106.75	28.8	0.26	
Reale_02	49.6	Lat Struct										
Reale_02	49.4	Lat Struct										
Reale_02	49 Max WS	168.9	32.49	39.1	36.59	39.23	0.000509	1.62	104.34	29.3	0.27	
Reale_02	48.6	Lat Struct										
Reale_02	48.4	Lat Struct										
Reale_02	48 Max WS	168.88	32.59	39.05	36.47	39.18	0.00048	1.59	106.52	29.54	0.27	
Reale_02	47.6	Lat Struct										
Reale_02	47.4	Lat Struct										
Reale_02	47 Max WS	168.83	32.41	38.99	36.36	39.12	0.000467	1.57	107.2	29.17	0.26	
Reale_02	46.6	Lat Struct										
Reale_02	46.4	Lat Struct										
Reale_02	46 Max WS	168.79	32.39	38.96	36.31	39.08	0.000458	1.56	108.19	29.45	0.26	

Reale_02	25.4	Lat Struct										
Reale_02	25 Max WS	168.14	32.07	37.98	35.69	38.16	0.000827	1.9	88.4	27.91	0.34	
Reale_02	24.6	Lat Struct										
Reale_02	24.4	Lat Struct										
Reale_02	24 Max WS	168.11	31.97	37.89	35.57	38.08	0.000834	1.91	88.11	28.03	0.34	
Reale_02	23.6	Lat Struct										
Reale_02	23.4	Lat Struct										
Reale_02	23 Max WS	168.09	32.08	37.8	35.62	37.99	0.000832	1.92	87.67	27.77	0.34	
Reale_02	22.6	Lat Struct										
Reale_02	22.4	Lat Struct										
Reale_02	22 Max WS	-0.34	32.01	37.68	32.11	37.68	0	0	83.27	27.3	0	
Reale_02	21.6	Lat Struct										
Reale_02	21.4	Lat Struct										
Reale_02	21 Max WS	-0.43	31.87	37.68	32.06	37.68	0	-0.01	83.78	27.57	0	
Reale_02	20.6	Lat Struct										
Reale_02	20.4	Lat Struct										
Reale_02	20 Max WS	-0.57	31.74	37.68	31.9	37.68	0	-0.01	88.63	27.62	0	
Reale_02	19.6	Lat Struct										
Reale_02	19.4	Lat Struct										
Reale_02	19 Max WS	-0.69	31.58	37.68	31.85	37.68	0	-0.01	89.62	27.93	0	
Reale_02	18.6	Lat Struct										
Reale_02	18.4	Lat Struct										
Reale_02	18 Max WS	-0.79	31.95	37.68	32.09	37.68	0	-0.01	80.74	26.72	0	
Reale_02	17.6	Lat Struct										
Reale_02	17.4	Lat Struct										
Reale_02	17 Max WS	-0.82	32.17	37.68		37.68	0	-0.01	92	29.06	0	
Reale_02	16.5	Bridge										
Reale_02	16 Max WS	-0.82	32.17	37.68	32.35	37.68	0	-0.01	92.65	29.06	0	
Reale_02	15.6	Lat Struct										
Reale_02	15.4	Lat Struct										
Reale_02	15 Max WS	-0.83	32.25	37.68	32.46	37.68	0	-0.01	97.63	33.36	0	
Reale_02	14.6	Lat Struct										
Reale_02	14.4	Lat Struct										
Reale_02	14 Max WS	-0.88	31.95	37.68	32.1	37.68	0	-0.01	80.76	26.72	0	
Reale_02	13.6	Lat Struct										
Reale_02	13.4	Lat Struct										
Reale_02	13 Max WS	-1.06	32.04	37.69	32.34	37.69	0	-0.01	85.52	28.06	0	
Reale_02	12.6	Lat Struct										
Reale_02	12.4	Lat Struct										
Reale_02	12 Max WS	-1.03	32.24	37.68	32.39	37.68	0	-0.01	86.13	28.64	0	
Reale_02	11.6	Lat Struct										
Reale_02	11.4	Lat Struct										
Reale_02	11 Max WS	-0.58	32.1	37.68	32.29	37.68	0	-0.01	87.2	28.73	0	
Reale_02	10.6	Lat Struct										
Reale_02	10.4	Lat Struct										
Reale_02	10 Max WS	0.01	32.08	37.68	32.09	37.68	0	0	67.15	12	0	
Reale_02	9.6	Lat Struct										
Reale_02	9.4	Lat Struct										
Reale_02	9 Max WS	0.01	30.8	37.68	30.81	37.68	0	0	68.76	10	0	
Reale_02	8.6	Lat Struct										
Reale_02	8.4	Lat Struct										
Reale_02	8 Max WS	0	30.8	37.68	30.81	37.68	0	0	68.76	10	0	
Reale_02	7.6	Inl Struct										
Reale_02	7.1 Max WS	0	30.8	38.78	30.81	38.78	0	0	79.8	10	0	
Reale_02	7 Max WS	0	30.8	38.78	30.81	38.78	0	0	95.76	12	0	
Reale_02	1.6	Lat Struct										
Reale_02	1.4	Lat Struct										
Reale_02	1.1 Max WS	0	31.66	38.78	31.67	38.78	0	0	169	38.44	0	
Reale_02	1 Max WS	-0.02	31.66	38.78	31.69	38.78	0	0	169	38.44	0	

Reale_02	91.4	Lat Struct										
Reale_02	91 Max WS	113.41	34.67	39.43	37.61	39.55	0.000647	1.54	73.45	25.89	0.29	
Reale_02	90.6	Lat Struct										
Reale_02	90.4	Lat Struct										
Reale_02	90 Max WS	113.2	35.04	39.33	37.68	39.48	0.000835	1.69	66.82	26.12	0.34	
Reale_02	89.6	Lat Struct										
Reale_02	89.4	Lat Struct										
Reale_02	89 Max WS	113.24	35.14	39.35	37.59	39.47	0.000615	1.51	74.97	27.9	0.29	
Reale_02	88.5	Bridge										
Reale_02	88 Max WS	113.24	35.14	39.35	37.58	39.46	0.000598	1.5	75.71	27.92	0.29	
Reale_02	87.6	Lat Struct										
Reale_02	87.4	Lat Struct										
Reale_02	87 Max WS	113.21	35.14	39.34	37.59	39.46	0.000609	1.5	75.35	28.17	0.29	
Reale_02	86.6	Lat Struct										
Reale_02	86.4	Lat Struct										
Reale_02	86 Max WS	113.03	35.06	39.29	37.81	39.44	0.000873	1.73	65.5	25.91	0.35	
Reale_02	85.6	Lat Struct										
Reale_02	85.4	Lat Struct										
Reale_02	85 Max WS	112.81	34.82	39.2	37.25	39.34	0.000831	1.69	66.65	25.83	0.34	
Reale_02	84.6	Lat Struct										
Reale_02	84.4	Lat Struct										
Reale_02	84 Max WS	112.74	34.8	39.17	36.8	39.25	0.000401	1.27	88.87	28.76	0.23	
Reale_02	83.6	Lat Struct										
Reale_02	83.4	Lat Struct										
Reale_02	83 Max WS	112.83	34.62	39.21	36.61	39.24	0.000124	0.77	146.96	43.29	0.13	
Reale_02	82.6	Lat Struct										
Reale_02	82.4	Lat Struct										
Reale_02	82 Max WS	112.64	34.62	39.15	36.87	39.25	0.000455	1.39	80.97	23.26	0.24	
Reale_02	81.5	Bridge										
Reale_02	81 Max WS	112.65	34.62	39.14	36.88	39.24	0.000459	1.39	80.77	23.25	0.24	
Reale_02	80.6	Lat Struct										
Reale_02	80.4	Lat Struct										
Reale_02	80 Max WS	112.83	34.61	39.21	36.4	39.23	0.000092	0.68	165.89	47.45	0.12	
Reale_02	79.9 Max WS	112.83	34.6	39.21	36.4	39.23	0.000092	0.68	165.96	47.45	0.12	
Reale_02	79.6	Lat Struct										
Reale_02	79.4	Lat Struct										
Reale_02	79 Max WS	112.83	34.14	39.21	36.25	39.23	0.000065	0.59	192.21	51.32	0.1	
Reale_02	78 Max WS	112.72	34.14	39.17	36.54	39.24	0.000302	1.17	96.7	24.72	0.19	
Reale_02	77.5	Bridge										
Reale_02	77 Max WS	112.73	34.14	39.16	36.54	39.23	0.000303	1.17	96.58	24.72	0.19	
Reale_02	76.6	Lat Struct										
Reale_02	76.4	Lat Struct										
Reale_02	76 Max WS	112.7	34.09	39.15	36.65	39.23	0.000305	1.22	92.58	25.19	0.2	
Reale_02	75.6	Lat Struct										
Reale_02	75.4	Lat Struct										
Reale_02	75 Max WS	112.4	34.13	39.08	37.23	39.21	0.000743	1.63	68.98	25.72	0.32	
Reale_02	74.6	Lat Struct										
Reale_02	74.4	Lat Struct										
Reale_02	74 Max WS	111.86	34.01	39	37.56	39.17	0.001145	1.83	61.06	24.81	0.37	
Reale_02	73.5	Bridge										
Reale_02	73 Max WS	111.76	34.01	38.98	37.56	39.16	0.001161	1.84	60.74	24.76	0.38	
Reale_02	72.6	Lat Struct										
Reale_02	72.4	Lat Struct										
Reale_02	72 Max WS	111.93	33.98	39.01	37.5	39.16	0.000891	1.67	67.11	26.47	0.33	
Reale_02	71.6	Lat Struct										
Reale_02	71.4	Lat Struct										
Reale_02	71 Max WS	111.94	33.81	39.02	37.23	39.15	0.000682	1.59	70.29	25.43	0.31	
Reale_02	70.06	Lat Struct										
Reale_02	70.04	Lat Struct										
Reale_02	69.6	Lat Struct										
Reale_02	69.4	Lat Struct										
Reale_02	69 Max WS	111.91	33.33	39.02	36.56	39.11	0.000414	1.36	82.29	26.16	0.24	
Reale_02	68.6	Lat Struct										
Reale_02	68.4	Lat Struct										
Reale_02	68 Max WS	111.64	33	38.97	36.59	39.07	0.000484	1.41	79.29	26.32	0.26	

Reale_02	67.6	Lat Struct									
Reale_02	67.4	Lat Struct									
Reale_02	67 Max WS	111.08	33.19	38.9	36.18	39	0.00043	1.36	81.93	26.2	0.24
Reale_02	66.6	Lat Struct									
Reale_02	66.4	Lat Struct									
Reale_02	66 Max WS	110.57	33.16	38.86	36.15	38.95	0.000414	1.33	83.14	26.72	0.24
Reale_02	65.6	Lat Struct									
Reale_02	65.4	Lat Struct									
Reale_02	65 Max WS	110.09	33.09	38.82	36.02	38.91	0.000397	1.31	84.09	26.76	0.24
Reale_02	64.6	Lat Struct									
Reale_02	64.4	Lat Struct									
Reale_02	64 Max WS	1.5	32.8	38.8	33.17	38.8	0	0.02	86.41	26.96	0
Reale_02	63.6	Lat Struct									
Reale_02	63.4	Lat Struct									
Reale_02	63 Max WS	1.44	33.21	38.8	33.48	38.8	0	0.02	85.66	27.03	0
Reale_02	62.6	Lat Struct									
Reale_02	62.4	Lat Struct									
Reale_02	62 Max WS	1.41	33.02	38.8	33.45	38.8	0	0.02	84.94	26.97	0
Reale_02	61.6	Lat Struct									
Reale_02	61.4	Lat Struct									
Reale_02	61 Max WS	1.36	32.81	38.8	33.13	38.8	0	0.02	90.28	27.35	0
Reale_02	60.6	Lat Struct									
Reale_02	60.4	Lat Struct									
Reale_02	60 Max WS	1.31	32.82	38.8	33.13	38.8	0	0.01	88.57	27.49	0
Reale_02	59.6	Lat Struct									
Reale_02	59.4	Lat Struct									
Reale_02	59 Max WS	1.25	32.62	38.8	32.83	38.8	0	0.01	97.63	31.34	0
Reale_02	58.6	Lat Struct									
Reale_02	58.4	Lat Struct									
Reale_02	58 Max WS	1.24	32.6	38.8	32.81	38.8	0	0.01	109.98	30.87	0
Reale_02	57.6	Lat Struct									
Reale_02	57.4	Lat Struct									
Reale_02	57 Max WS	1.24	32.57	38.8	32.78	38.8	0	0.01	107.12	30.29	0
Reale_02	56.5	Bridge									
Reale_02	56 Max WS	1.24	32.57	38.8	32.78	38.8	0	0.01	107.12	30.29	0
Reale_02	55.6	Lat Struct									
Reale_02	55.4	Lat Struct									
Reale_02	55 Max WS	1.24	32.57	38.8	32.78	38.8	0	0.01	104.14	28.58	0
Reale_02	54.6	Lat Struct									
Reale_02	54.4	Lat Struct									
Reale_02	54 Max WS	1.23	32.53	38.8	32.76	38.8	0	0.01	94.45	31.1	0
Reale_02	53.6	Lat Struct									
Reale_02	53.4	Lat Struct									
Reale_02	53 Max WS	1.2	32.6	38.8	32.84	38.8	0	0.01	91.81	27.25	0
Reale_02	52.6	Lat Struct									
Reale_02	52.4	Lat Struct									
Reale_02	52 Max WS	1.16	32.68	38.8	32.87	38.8	0	0.01	94.11	27.68	0
Reale_02	51.6	Lat Struct									
Reale_02	51.4	Lat Struct									
Reale_02	51 Max WS	1.12	32.63	38.8	32.85	38.8	0	0.01	94.03	27.13	0
Reale_02	50.6	Lat Struct									
Reale_02	50.4	Lat Struct									
Reale_02	50 Max WS	1.06	32.44	38.8	32.76	38.8	0	0.01	96.83	27.85	0
Reale_02	49.6	Lat Struct									
Reale_02	49.4	Lat Struct									
Reale_02	49 Max WS	1.01	32.49	38.8	32.86	38.8	0	0.01	95.83	28.44	0
Reale_02	48.6	Lat Struct									
Reale_02	48.4	Lat Struct									
Reale_02	48 Max WS	0.95	32.59	38.8	32.87	38.8	0	0.01	99.26	28.81	0
Reale_02	47.6	Lat Struct									
Reale_02	47.4	Lat Struct									
Reale_02	47 Max WS	0.9	32.41	38.8	32.61	38.8	0	0.01	101.61	28.63	0
Reale_02	46.6	Lat Struct									
Reale_02	46.4	Lat Struct									
Reale_02	46 Max WS	0.85	32.39	38.8	32.62	38.8	0	0.01	103.55	29.01	0

Reale_02	25.4	Lat Struct										
Reale_02	25 Max WS	-0.06	32.07	38.8	32.11	38.8	0	0	112.23	30.29	0	
Reale_02	24.6	Lat Struct										
Reale_02	24.4	Lat Struct										
Reale_02	24 Max WS	-0.14	31.97	38.8	32.08	38.8	0	0	114.64	30.57	0	
Reale_02	23.6	Lat Struct										
Reale_02	23.4	Lat Struct										
Reale_02	23 Max WS	-0.23	32.08	38.8	32.15	38.8	0	0	116.8	30.53	0	
Reale_02	22.6	Lat Struct										
Reale_02	22.4	Lat Struct										
Reale_02	22 Max WS	-0.33	32.01	38.8	32.11	38.8	0	0	115.52	30.49	0	
Reale_02	21.6	Lat Struct										
Reale_02	21.4	Lat Struct										
Reale_02	21 Max WS	-0.42	31.87	38.8	32.05	38.8	0	0	116.3	30.72	0	
Reale_02	20.6	Lat Struct										
Reale_02	20.4	Lat Struct										
Reale_02	20 Max WS	-0.55	31.74	38.8	31.9	38.8	0	0	121.28	30.9	0	
Reale_02	19.6	Lat Struct										
Reale_02	19.4	Lat Struct										
Reale_02	19 Max WS	-0.66	31.58	38.8	31.84	38.8	0	-0.01	122.59	31.17	0	
Reale_02	18.6	Lat Struct										
Reale_02	18.4	Lat Struct										
Reale_02	18 Max WS	-0.76	31.95	38.8	32.08	38.8	0	-0.01	112.32	29.89	0	
Reale_02	17.6	Lat Struct										
Reale_02	17.4	Lat Struct										
Reale_02	17 Max WS	-0.8	32.17	38.8		38.8	0	-0.01	126.11	32.76	0	
Reale_02	16.5	Bridge										
Reale_02	16 Max WS	-0.8	32.17	38.8	32.35	38.8	0	-0.01	126.77	32.76	0	
Reale_02	15.6	Lat Struct										
Reale_02	15.4	Lat Struct										
Reale_02	15 Max WS	-0.81	32.25	38.8	32.46	38.8	0	-0.01	135.48	34.49	0	
Reale_02	14.6	Lat Struct										
Reale_02	14.4	Lat Struct										
Reale_02	14 Max WS	-0.87	31.95	38.8	32.1	38.8	0	-0.01	112.33	29.9	0	
Reale_02	13.6	Lat Struct										
Reale_02	13.4	Lat Struct										
Reale_02	13 Max WS	-1.03	32.04	38.8	32.34	38.8	0	-0.01	118.54	31.15	0	
Reale_02	12.6	Lat Struct										
Reale_02	12.4	Lat Struct										
Reale_02	12 Max WS	-0.97	32.24	38.8	32.38	38.8	0	-0.01	119.69	31.52	0	
Reale_02	11.6	Lat Struct										
Reale_02	11.4	Lat Struct										
Reale_02	11 Max WS	-0.48	32.1	38.8	32.28	38.8	0	0	121.09	32.01	0	
Reale_02	10.6	Lat Struct										
Reale_02	10.4	Lat Struct										
Reale_02	10 Max WS	0.01	32.08	38.79	32.09	38.79	0	0	80.56	12	0	
Reale_02	9.6	Lat Struct										
Reale_02	9.4	Lat Struct										
Reale_02	9 Max WS	0.01	30.8	38.79	30.81	38.79	0	0	79.93	10	0	
Reale_02	8.6	Lat Struct										
Reale_02	8.4	Lat Struct										
Reale_02	8 Max WS	0	30.8	38.79	30.81	38.79	0	0	79.93	10	0	
Reale_02	7.6	Inl Struct										
Reale_02	7.1 Max WS	0	30.8	39.88	30.81	39.88	0	0	90.8	10	0	
Reale_02	7 Max WS	0	30.8	39.88	30.81	39.88	0	0	108.96	12	0	
Reale_02	1.6	Lat Struct										
Reale_02	1.4	Lat Struct										
Reale_02	1.1 Max WS	0	31.66	39.88	31.67	39.88	0	0	212.82	41.24	0	
Reale_02	1 Max WS	-0.02	31.66	39.88	31.69	39.88	0	0	212.82	41.24	0	

Reale_02	91.4	Lat Struct										
Reale_02	91 Max WS	59.26	34.67	39.74	36.71	39.76	0.00013	0.73	81.52	26.63	0.13	
Reale_02	90.6	Lat Struct										
Reale_02	90.4	Lat Struct										
Reale_02	90 Max WS	59.25	35.04	39.72	36.8	39.75	0.000151	0.77	77.14	27.36	0.15	
Reale_02	89.6	Lat Struct										
Reale_02	89.4	Lat Struct										
Reale_02	89 Max WS	59.25	35.14	39.72	37.07	39.75	0.000115	0.69	85.59	29.07	0.13	
Reale_02	88.5	Bridge										
Reale_02	88 Max WS	59.25	35.14	39.72	37.06	39.75	0.000112	0.69	86.33	29.03	0.13	
Reale_02	87.6	Lat Struct										
Reale_02	87.4	Lat Struct										
Reale_02	87 Max WS	59.25	35.14	39.72	37.07	39.74	0.000113	0.69	86.21	29.37	0.13	
Reale_02	86.6	Lat Struct										
Reale_02	86.4	Lat Struct										
Reale_02	86 Max WS	59.25	35.06	39.71	37.01	39.74	0.000152	0.77	76.64	27.18	0.15	
Reale_02	85.6	Lat Struct										
Reale_02	85.4	Lat Struct										
Reale_02	85 Max WS	56.51	34.82	39.7	36.43	39.72	0.000123	0.71	79.99	27.39	0.13	
Reale_02	84.6	Lat Struct										
Reale_02	84.4	Lat Struct										
Reale_02	84 Max WS	56.63	34.8	39.69	36.24	39.71	0.000062	0.54	103.99	28.82	0.09	
Reale_02	83.6	Lat Struct										
Reale_02	83.4	Lat Struct										
Reale_02	83 Max WS	56.65	34.62	39.7	36.23	39.71	0.000021	0.34	168.24	43.89	0.05	
Reale_02	82.6	Lat Struct										
Reale_02	82.4	Lat Struct										
Reale_02	82 Max WS	56.61	34.62	39.69	36.35	39.71	0.000075	0.6	93.65	23.75	0.1	
Reale_02	81.5	Bridge										
Reale_02	81 Max WS	56.62	34.62	39.69	36.35	39.71	0.000075	0.6	93.6	23.74	0.1	
Reale_02	80.6	Lat Struct										
Reale_02	80.4	Lat Struct										
Reale_02	80 Max WS	56.62	34.61	39.7	36.08	39.71	0.000015	0.3	189.42	48.3	0.05	
Reale_02	79.9 Max WS	56.65	34.6	39.7	36.08	39.71	0.000015	0.3	189.52	48.3	0.05	
Reale_02	79.6	Lat Struct										
Reale_02	79.4	Lat Struct										
Reale_02	79 Max WS	56.64	34.14	39.7	35.95	39.71	0.000011	0.26	217.25	51.32	0.04	
Reale_02	78 Max WS	56.61	34.14	39.69	36.04	39.71	0.000052	0.52	109.69	24.72	0.08	
Reale_02	77.5	Bridge										
Reale_02	77 Max WS	56.63	34.14	39.69	36.04	39.7	0.000052	0.52	109.63	24.72	0.08	
Reale_02	76.6	Lat Struct										
Reale_02	76.4	Lat Struct										
Reale_02	76 Max WS	56.63	34.09	39.69	36.16	39.7	0.000051	0.53	106.13	25.36	0.08	
Reale_02	75.6	Lat Struct										
Reale_02	75.4	Lat Struct										
Reale_02	75 Max WS	56.62	34.13	39.68	36.21	39.7	0.000111	0.66	85.19	28.98	0.12	
Reale_02	74.6	Lat Struct										
Reale_02	74.4	Lat Struct										
Reale_02	74 Max WS	56.65	34.01	39.67	36.63	39.7	0.000143	0.72	78.57	27.3	0.14	
Reale_02	73.5	Bridge										
Reale_02	73 Max WS	56.62	34.01	39.67	36.63	39.69	0.000144	0.72	78.49	27.29	0.14	
Reale_02	72.6	Lat Struct										
Reale_02	72.4	Lat Struct										
Reale_02	72 Max WS	56.65	33.98	39.67	36.59	39.69	0.000114	0.67	85.11	28.39	0.12	
Reale_02	71.6	Lat Struct										
Reale_02	71.4	Lat Struct										
Reale_02	71 Max WS	56.64	33.81	39.67	36.13	39.69	0.000093	0.65	87.55	27.34	0.12	
Reale_02	70.06	Lat Struct										
Reale_02	70.04	Lat Struct										
Reale_02	69.6	Lat Struct										
Reale_02	69.4	Lat Struct										
Reale_02	69 Max WS	56.69	33.33	39.67	35.73	39.69	0.000061	0.57	100	28.03	0.1	
Reale_02	68.6	Lat Struct										
Reale_02	68.4	Lat Struct										
Reale_02	68 Max WS	56.76	33	39.66	35.63	39.68	0.000068	0.58	98.35	28.27	0.1	

Reale_02	67.6	Lat Struct										
Reale_02	67.4	Lat Struct										
Reale_02	67 Max WS	56.8	33.19	39.66	35.27	39.67	0.00006	0.55	102.42	28.28	0.09	
Reale_02	66.6	Lat Struct										
Reale_02	66.4	Lat Struct										
Reale_02	66 Max WS	56.63	33.16	39.65	35.26	39.67	0.000056	0.54	105.09	28.83	0.09	
Reale_02	65.6	Lat Struct										
Reale_02	65.4	Lat Struct										
Reale_02	65 Max WS	55.6	33.09	39.65	35.12	39.66	0.000051	0.52	107.18	29	0.09	
Reale_02	64.6	Lat Struct										
Reale_02	64.4	Lat Struct										
Reale_02	64 Max WS	51.05	32.8	39.65	34.97	39.66	0.000039	0.46	110.02	28.87	0.08	
Reale_02	63.6	Lat Struct										
Reale_02	63.4	Lat Struct										
Reale_02	63 Max WS	50.17	33.21	39.64	35.16	39.65	0.000039	0.46	109.25	29.14	0.08	
Reale_02	62.6	Lat Struct										
Reale_02	62.4	Lat Struct										
Reale_02	62 Max WS	50.25	33.02	39.64	35.22	39.65	0.00004	0.46	108.4	29.08	0.08	
Reale_02	61.6	Lat Struct										
Reale_02	61.4	Lat Struct										
Reale_02	61 Max WS	50.31	32.81	39.64	34.91	39.65	0.000034	0.44	113.97	29.33	0.07	
Reale_02	60.6	Lat Struct										
Reale_02	60.4	Lat Struct										
Reale_02	60 Max WS	50.36	32.82	39.64	35.03	39.65	0.000036	0.45	112.31	29.53	0.07	
Reale_02	59.6	Lat Struct										
Reale_02	59.4	Lat Struct										
Reale_02	59 Max WS	50.42	32.62	39.63	34.62	39.64	0.00003	0.4	124.63	33.68	0.07	
Reale_02	58.6	Lat Struct										
Reale_02	58.4	Lat Struct										
Reale_02	58 Max WS	50.42	32.6	39.63	34.68	39.64	0.000023	0.37	135.98	32.27	0.06	
Reale_02	57.6	Lat Struct										
Reale_02	57.4	Lat Struct										
Reale_02	57 Max WS	50.42	32.57	39.63	34.61	39.64	0.000025	0.38	132.92	32.37	0.06	
Reale_02	56.5	Bridge										
Reale_02	56 Max WS	50.42	32.57	39.63	34.61	39.64	0.000025	0.38	132.86	32.37	0.06	
Reale_02	55.6	Lat Struct										
Reale_02	55.4	Lat Struct										
Reale_02	55 Max WS	50.41	32.57	39.63	34.61	39.64	0.000025	0.39	128.26	29.83	0.06	
Reale_02	54.6	Lat Struct										
Reale_02	54.4	Lat Struct										
Reale_02	54 Max WS	50.42	32.53	39.63	34.64	39.64	0.000033	0.42	121.27	33.7	0.07	
Reale_02	53.6	Lat Struct										
Reale_02	53.4	Lat Struct										
Reale_02	53 Max WS	50.43	32.6	39.63	34.64	39.64	0.000034	0.44	115.23	29.47	0.07	
Reale_02	52.6	Lat Struct										
Reale_02	52.4	Lat Struct										
Reale_02	52 Max WS	50.46	32.68	39.63	34.57	39.64	0.000032	0.43	117.87	30.02	0.07	
Reale_02	51.6	Lat Struct										
Reale_02	51.4	Lat Struct										
Reale_02	51 Max WS	50.48	32.63	39.62	34.57	39.63	0.000032	0.43	117.12	29.18	0.07	
Reale_02	50.6	Lat Struct										
Reale_02	50.4	Lat Struct										
Reale_02	50 Max WS	50.5	32.44	39.62	34.52	39.63	0.00003	0.42	120.54	30.08	0.07	
Reale_02	49.6	Lat Struct										
Reale_02	49.4	Lat Struct										
Reale_02	49 Max WS	50.54	32.49	39.62	34.71	39.63	0.000031	0.42	119.99	30.81	0.07	
Reale_02	48.6	Lat Struct										
Reale_02	48.4	Lat Struct										
Reale_02	48 Max WS	50.55	32.59	39.62	34.6	39.62	0.000028	0.41	123.67	31.19	0.07	
Reale_02	47.6	Lat Struct										
Reale_02	47.4	Lat Struct										
Reale_02	47 Max WS	50.56	32.41	39.61	34.39	39.62	0.000027	0.4	125.74	30.87	0.06	
Reale_02	46.6	Lat Struct										
Reale_02	46.4	Lat Struct										
Reale_02	46 Max WS	50.56	32.39	39.61	34.35	39.62	0.000026	0.4	127.95	31.27	0.06	

Reale_02	25.4	Lat Struct										
Reale_02	25 Max WS	-1.38	32.07	39.61	32.28	39.61	0	-0.01	137.61	32.63	0	
Reale_02	24.6	Lat Struct										
Reale_02	24.4	Lat Struct										
Reale_02	24 Max WS	-1.16	31.97	39.61	32.22	39.61	0	-0.01	140.26	32.83	0	
Reale_02	23.6	Lat Struct										
Reale_02	23.4	Lat Struct										
Reale_02	23 Max WS	-0.93	32.08	39.61	32.25	39.61	0	-0.01	142.42	32.76	0	
Reale_02	22.6	Lat Struct										
Reale_02	22.4	Lat Struct										
Reale_02	22 Max WS	-0.69	32.01	39.61	32.16	39.61	0	0	141.18	32.81	0	
Reale_02	21.6	Lat Struct										
Reale_02	21.4	Lat Struct										
Reale_02	21 Max WS	-0.56	31.87	39.61	32.08	39.61	0	0	142.34	36.15	0	
Reale_02	20.6	Lat Struct										
Reale_02	20.4	Lat Struct										
Reale_02	20 Max WS	-0.44	31.74	39.61	31.89	39.61	0	0	147.34	33.29	0	
Reale_02	19.6	Lat Struct										
Reale_02	19.4	Lat Struct										
Reale_02	19 Max WS	-0.29	31.58	39.61	31.77	39.61	0	0	148.89	33.54	0	
Reale_02	18.6	Lat Struct										
Reale_02	18.4	Lat Struct										
Reale_02	18 Max WS	-0.2	31.95	39.61	32.01	39.61	0	0	137.94	34.74	0	
Reale_02	17.6	Lat Struct										
Reale_02	17.4	Lat Struct										
Reale_02	17 Max WS	-0.18	32.17	39.61		39.61	0	0	153.6	34.82	0	
Reale_02	16.5	Bridge										
Reale_02	16 Max WS	-0.2	32.17	39.61	32.27	39.61	0	0	154.25	34.82	0	
Reale_02	15.6	Lat Struct										
Reale_02	15.4	Lat Struct										
Reale_02	15 Max WS	-0.17	32.25	39.61	32.36	39.61	0	0	163.85	35.31	0	
Reale_02	14.6	Lat Struct										
Reale_02	14.4	Lat Struct										
Reale_02	14 Max WS	-0.15	31.95	39.61	32	39.61	0	0	137.94	34.74	0	
Reale_02	13.6	Lat Struct										
Reale_02	13.4	Lat Struct										
Reale_02	13 Max WS	-0.13	32.04	39.61	32.17	39.61	0	0	144.75	33.4	0	
Reale_02	12.6	Lat Struct										
Reale_02	12.4	Lat Struct										
Reale_02	12 Max WS	-0.15	32.24	39.61	32.28	39.61	0	0	146.24	33.62	0	
Reale_02	11.6	Lat Struct										
Reale_02	11.4	Lat Struct										
Reale_02	11 Max WS	-0.28	32.1	39.61	32.25	39.61	0	0	148.29	34.42	0	
Reale_02	10.6	Lat Struct										
Reale_02	10.4	Lat Struct										
Reale_02	10 Max WS	-0.31	32.08	39.62	32.12	39.62	0	0	90.43	12	0	
Reale_02	9.6	Lat Struct										
Reale_02	9.4	Lat Struct										
Reale_02	9 Max WS	-0.31	30.8	39.62	30.85	39.62	0	0	88.16	10	0	
Reale_02	8.6	Lat Struct										
Reale_02	8.4	Lat Struct										
Reale_02	8 Max WS	0	30.8	39.62	30.81	39.62	0	0	88.19	10	0	
Reale_02	7.6	Inl Struct										
Reale_02	7.1 Max WS	0	30.8	40.15	30.81	40.15	0	0	93.5	10	0	
Reale_02	7 Max WS	0	30.8	40.15	30.81	40.15	0	0	112.2	12	0	
Reale_02	1.6	Lat Struct										
Reale_02	1.4	Lat Struct										
Reale_02	1.1 Max WS	0	31.66	40.15	31.67	40.15	0	0	224.05	41.93	0	
Reale_02	1 Max WS	-0.02	31.66	40.15	31.69	40.15	0	0	224.05	41.93	0	

Reale_02	91.4	Lat Struct										
Reale_02	91 Max WS	45.89	34.67	39.68	36.39	39.7	0.000082	0.57	80.17	26.51	0.11	
Reale_02	90.6	Lat Struct										
Reale_02	90.4	Lat Struct										
Reale_02	90 Max WS	45.84	35.04	39.67	36.55	39.69	0.000095	0.6	75.92	27.22	0.12	
Reale_02	89.6	Lat Struct										
Reale_02	89.4	Lat Struct										
Reale_02	89 Max WS	45.83	35.14	39.68	36.71	39.69	0.000072	0.54	84.25	28.93	0.1	
Reale_02	88.5	Bridge										
Reale_02	88 Max WS	45.85	35.14	39.68	36.69	39.69	0.00007	0.54	84.99	28.89	0.1	
Reale_02	87.6	Lat Struct										
Reale_02	87.4	Lat Struct										
Reale_02	87 Max WS	45.86	35.14	39.67	36.71	39.69	0.000071	0.54	84.86	29.22	0.1	
Reale_02	86.6	Lat Struct										
Reale_02	86.4	Lat Struct										
Reale_02	86 Max WS	45.79	35.06	39.67	36.75	39.69	0.000095	0.61	75.49	27.05	0.12	
Reale_02	85.6	Lat Struct										
Reale_02	85.4	Lat Struct										
Reale_02	85 Max WS	45.76	34.82	39.66	36.24	39.68	0.000084	0.58	78.96	27.27	0.11	
Reale_02	84.6	Lat Struct										
Reale_02	84.4	Lat Struct										
Reale_02	84 Max WS	45.66	34.8	39.66	36	39.67	0.000042	0.44	102.9	28.82	0.07	
Reale_02	83.6	Lat Struct										
Reale_02	83.4	Lat Struct										
Reale_02	83 Max WS	45.7	34.62	39.66	36.12	39.67	0.000014	0.27	166.45	43.84	0.04	
Reale_02	82.6	Lat Struct										
Reale_02	82.4	Lat Struct										
Reale_02	82 Max WS	45.6	34.62	39.65	36.23	39.67	0.00005	0.49	92.77	23.71	0.08	
Reale_02	81.5	Bridge										
Reale_02	81 Max WS	45.6	34.62	39.65	36.23	39.66	0.00005	0.49	92.72	23.71	0.08	
Reale_02	80.6	Lat Struct										
Reale_02	80.4	Lat Struct										
Reale_02	80 Max WS	45.69	34.61	39.66	36.01	39.66	0.00001	0.24	187.45	48.23	0.04	
Reale_02	79.9 Max WS	45.69	34.6	39.66	36	39.66	0.00001	0.24	187.55	48.23	0.04	
Reale_02	79.6	Lat Struct										
Reale_02	79.4	Lat Struct										
Reale_02	79 Max WS	45.68	34.14	39.66	35.89	39.66	0.000007	0.21	215.14	51.32	0.03	
Reale_02	78 Max WS	45.63	34.14	39.65	35.92	39.66	0.000035	0.42	108.75	24.72	0.06	
Reale_02	77.5	Bridge										
Reale_02	77 Max WS	45.67	34.14	39.65	35.92	39.66	0.000035	0.42	108.7	24.72	0.06	
Reale_02	76.6	Lat Struct										
Reale_02	76.4	Lat Struct										
Reale_02	76 Max WS	45.63	34.09	39.65	36.02	39.66	0.000034	0.43	105.19	25.35	0.07	
Reale_02	75.6	Lat Struct										
Reale_02	75.4	Lat Struct										
Reale_02	75 Max WS	45.56	34.13	39.65	35.98	39.66	0.000073	0.54	84.2	28.73	0.1	
Reale_02	74.6	Lat Struct										
Reale_02	74.4	Lat Struct										
Reale_02	74 Max WS	45.45	34.01	39.64	36.39	39.66	0.000095	0.58	77.72	27.18	0.11	
Reale_02	73.5	Bridge										
Reale_02	73 Max WS	45.45	34.01	39.64	36.39	39.65	0.000095	0.59	77.65	27.17	0.11	
Reale_02	72.6	Lat Struct										
Reale_02	72.4	Lat Struct										
Reale_02	72 Max WS	45.49	33.98	39.64	36.29	39.65	0.000076	0.54	84.21	28.29	0.1	
Reale_02	71.6	Lat Struct										
Reale_02	71.4	Lat Struct										
Reale_02	71 Max WS	45.47	33.81	39.64	35.89	39.65	0.000062	0.52	86.68	27.25	0.09	
Reale_02	70.06	Lat Struct										
Reale_02	70.04	Lat Struct										
Reale_02	69.6	Lat Struct										
Reale_02	69.4	Lat Struct										
Reale_02	69 Max WS	45.5	33.33	39.64	35.52	39.65	0.000041	0.46	99.09	27.93	0.08	
Reale_02	68.6	Lat Struct										
Reale_02	68.4	Lat Struct										
Reale_02	68 Max WS	45.41	33	39.63	35.37	39.64	0.000044	0.47	97.47	28.18	0.08	

Reale_02	67.6	Lat Struct										
Reale_02	67.4	Lat Struct										
Reale_02	67 Max WS	45.34	33.19	39.63	35.03	39.64	0.000039	0.45	101.58	28.2	0.08	
Reale_02	66.6	Lat Struct										
Reale_02	66.4	Lat Struct										
Reale_02	66 Max WS	45.14	33.16	39.62	35.01	39.63	0.000036	0.43	104.26	28.79	0.07	
Reale_02	65.6	Lat Struct										
Reale_02	65.4	Lat Struct										
Reale_02	65 Max WS	44.95	33.09	39.62	34.89	39.63	0.000034	0.42	106.36	28.93	0.07	
Reale_02	64.6	Lat Struct										
Reale_02	64.4	Lat Struct										
Reale_02	64 Max WS	43.7	32.8	39.62	34.81	39.63	0.000029	0.4	109.15	28.84	0.07	
Reale_02	63.6	Lat Struct										
Reale_02	63.4	Lat Struct										
Reale_02	63 Max WS	43.12	33.21	39.61	35.01	39.62	0.000029	0.4	108.39	29.06	0.07	
Reale_02	62.6	Lat Struct										
Reale_02	62.4	Lat Struct										
Reale_02	62 Max WS	43.11	33.02	39.61	35.06	39.62	0.00003	0.4	107.56	29	0.07	
Reale_02	61.6	Lat Struct										
Reale_02	61.4	Lat Struct										
Reale_02	61 Max WS	43.11	32.81	39.61	34.75	39.62	0.000026	0.38	113.14	29.29	0.06	
Reale_02	60.6	Lat Struct										
Reale_02	60.4	Lat Struct										
Reale_02	60 Max WS	43.1	32.82	39.61	34.87	39.62	0.000027	0.39	111.48	29.44	0.06	
Reale_02	59.6	Lat Struct										
Reale_02	59.4	Lat Struct										
Reale_02	59 Max WS	43.09	32.62	39.61	34.45	39.61	0.000023	0.35	123.7	33.6	0.06	
Reale_02	58.6	Lat Struct										
Reale_02	58.4	Lat Struct										
Reale_02	58 Max WS	43.09	32.6	39.61	34.5	39.61	0.000017	0.32	135.07	32.17	0.05	
Reale_02	57.6	Lat Struct										
Reale_02	57.4	Lat Struct										
Reale_02	57 Max WS	43.09	32.57	39.61	34.44	39.61	0.000019	0.33	132.01	32.37	0.05	
Reale_02	56.5	Bridge										
Reale_02	56 Max WS	43.09	32.57	39.6	34.44	39.61	0.000019	0.33	131.96	32.37	0.05	
Reale_02	55.6	Lat Struct										
Reale_02	55.4	Lat Struct										
Reale_02	55 Max WS	43.09	32.57	39.6	34.44	39.61	0.000019	0.34	127.44	29.76	0.05	
Reale_02	54.6	Lat Struct										
Reale_02	54.4	Lat Struct										
Reale_02	54 Max WS	43.09	32.53	39.6	34.46	39.61	0.000025	0.36	120.35	33.62	0.06	
Reale_02	53.6	Lat Struct										
Reale_02	53.4	Lat Struct										
Reale_02	53 Max WS	43.09	32.6	39.6	34.47	39.61	0.000025	0.38	114.44	29.4	0.06	
Reale_02	52.6	Lat Struct										
Reale_02	52.4	Lat Struct										
Reale_02	52 Max WS	43.09	32.68	39.6	34.41	39.61	0.000024	0.37	117.08	29.94	0.06	
Reale_02	51.6	Lat Struct										
Reale_02	51.4	Lat Struct										
Reale_02	51 Max WS	43.08	32.63	39.6	34.41	39.6	0.000024	0.37	116.38	29.11	0.06	
Reale_02	50.6	Lat Struct										
Reale_02	50.4	Lat Struct										
Reale_02	50 Max WS	43.08	32.44	39.6	34.36	39.6	0.000022	0.36	119.78	30.01	0.06	
Reale_02	49.6	Lat Struct										
Reale_02	49.4	Lat Struct										
Reale_02	49 Max WS	43.08	32.49	39.59	34.54	39.6	0.000023	0.36	119.24	30.74	0.06	
Reale_02	48.6	Lat Struct										
Reale_02	48.4	Lat Struct										
Reale_02	48 Max WS	43.08	32.59	39.59	34.44	39.6	0.000021	0.35	122.92	31.12	0.06	
Reale_02	47.6	Lat Struct										
Reale_02	47.4	Lat Struct										
Reale_02	47 Max WS	43.08	32.41	39.59	34.23	39.6	0.00002	0.34	125.02	30.81	0.05	
Reale_02	46.6	Lat Struct										
Reale_02	46.4	Lat Struct										
Reale_02	46 Max WS	43.08	32.39	39.59	34.19	39.59	0.000019	0.34	127.23	31.21	0.05	

Reale_02	25.4	Lat Struct										
Reale_02	25 Max WS	0.02	32.07	39.58	32.09	39.58	0	0	136.69	32.55	0	
Reale_02	24.6	Lat Struct										
Reale_02	24.4	Lat Struct										
Reale_02	24 Max WS	0.01	31.97	39.58	32.01	39.58	0	0	139.29	32.74	0	
Reale_02	23.6	Lat Struct										
Reale_02	23.4	Lat Struct										
Reale_02	23 Max WS	0.02	32.08	39.58	32.1	39.58	0	0	141.41	32.68	0	
Reale_02	22.6	Lat Struct										
Reale_02	22.4	Lat Struct										
Reale_02	22 Max WS	0.02	32.01	39.58	32.04	39.58	0	0	140.13	32.72	0	
Reale_02	21.6	Lat Struct										
Reale_02	21.4	Lat Struct										
Reale_02	21 Max WS	0	31.87	39.58	31.9	39.58	0	0	141.18	35.37	0	
Reale_02	20.6	Lat Struct										
Reale_02	20.4	Lat Struct										
Reale_02	20 Max WS	0.01	31.74	39.58	31.77	39.58	0	0	146.24	33.19	0	
Reale_02	19.6	Lat Struct										
Reale_02	19.4	Lat Struct										
Reale_02	19 Max WS	0.01	31.58	39.58	31.64	39.58	0	0	147.75	33.44	0	
Reale_02	18.6	Lat Struct										
Reale_02	18.4	Lat Struct										
Reale_02	18 Max WS	0	31.95	39.58	31.96	39.58	0	0	136.74	34.34	0	
Reale_02	17.6	Lat Struct										
Reale_02	17.4	Lat Struct										
Reale_02	17 Max WS	0.01	32.17	39.58	32.2	39.58	0	0	152.4	34.73	0	
Reale_02	16.5	Bridge										
Reale_02	16 Max WS	0.01	32.17	39.58	32.2	39.58	0	0	153.04	34.73	0	
Reale_02	15.6	Lat Struct										
Reale_02	15.4	Lat Struct										
Reale_02	15 Max WS	0.01	32.25	39.58	32.29	39.58	0	0	162.62	35.28	0	
Reale_02	14.6	Lat Struct										
Reale_02	14.4	Lat Struct										
Reale_02	14 Max WS	0.01	31.95	39.58	31.96	39.58	0	0	136.74	34.34	0	
Reale_02	13.6	Lat Struct										
Reale_02	13.4	Lat Struct										
Reale_02	13 Max WS	0.01	32.04	39.58	32.08	39.58	0	0	143.58	33.3	0	
Reale_02	12.6	Lat Struct										
Reale_02	12.4	Lat Struct										
Reale_02	12 Max WS	-0.16	32.24	39.58	32.29	39.58	0	0	145.03	33.53	0	
Reale_02	11.6	Lat Struct										
Reale_02	11.4	Lat Struct										
Reale_02	11 Max WS	-0.29	32.1	39.58	32.25	39.58	0	0	147.05	34.31	0	
Reale_02	10.6	Lat Struct										
Reale_02	10.4	Lat Struct										
Reale_02	10 Max WS	-0.32	32.08	39.58	32.12	39.58	0	0	90	12	0	
Reale_02	9.6	Lat Struct										
Reale_02	9.4	Lat Struct										
Reale_02	9 Max WS	-0.33	30.8	39.58	30.85	39.58	0	0	87.8	10	0	
Reale_02	8.6	Lat Struct										
Reale_02	8.4	Lat Struct										
Reale_02	8 Max WS	0	30.8	39.58	30.81	39.58	0	0	87.83	10	0	
Reale_02	7.6	Inl Struct										
Reale_02	7.1 Max WS	0	30.8	40.1	30.81	40.1	0	0	93	10	0	
Reale_02	7 Max WS	0	30.8	40.1	30.81	40.1	0	0	111.6	12	0	
Reale_02	1.6	Lat Struct										
Reale_02	1.4	Lat Struct										
Reale_02	1.1 Max WS	0	31.66	40.1	31.67	40.1	0	0	221.96	41.8	0	
Reale_02	1 Max WS	-0.02	31.66	40.1	31.69	40.1	0	0	221.96	41.8	0	

Reale_02	91.4	Lat Struct										
Reale_02	91 Max WS	37.12	34.67	39.64	36.19	39.65	0.000056	0.47	78.87	26.39	0.09	
Reale_02	90.6	Lat Struct										
Reale_02	90.4	Lat Struct										
Reale_02	90 Max WS	37.16	35.04	39.63	36.38	39.64	0.000065	0.5	74.67	27.07	0.1	
Reale_02	89.6	Lat Struct										
Reale_02	89.4	Lat Struct										
Reale_02	89 Max WS	37.17	35.14	39.63	36.52	39.64	0.00005	0.45	82.91	28.78	0.08	
Reale_02	88.5	Bridge										
Reale_02	88 Max WS	37.17	35.14	39.63	36.52	39.64	0.000048	0.44	83.65	28.75	0.08	
Reale_02	87.6	Lat Struct										
Reale_02	87.4	Lat Struct										
Reale_02	87 Max WS	37.18	35.14	39.63	36.53	39.64	0.000049	0.45	83.52	29.08	0.08	
Reale_02	86.6	Lat Struct										
Reale_02	86.4	Lat Struct										
Reale_02	86 Max WS	37.17	35.06	39.62	36.57	39.64	0.000066	0.5	74.29	26.92	0.1	
Reale_02	85.6	Lat Struct										
Reale_02	85.4	Lat Struct										
Reale_02	85 Max WS	37.69	34.82	39.62	36.08	39.63	0.000059	0.48	77.83	27.14	0.09	
Reale_02	84.6	Lat Struct										
Reale_02	84.4	Lat Struct										
Reale_02	84 Max WS	37.7	34.8	39.62	35.87	39.62	0.00003	0.37	101.74	28.81	0.06	
Reale_02	83.6	Lat Struct										
Reale_02	83.4	Lat Struct										
Reale_02	83 Max WS	37.7	34.62	39.62	35.98	39.62	0.00001	0.23	164.62	43.78	0.04	
Reale_02	82.6	Lat Struct										
Reale_02	82.4	Lat Struct										
Reale_02	82 Max WS	37.7	34.62	39.61	36.14	39.62	0.000035	0.41	91.84	23.68	0.07	
Reale_02	81.5	Bridge										
Reale_02	81 Max WS	37.69	34.62	39.61	36.14	39.62	0.000035	0.41	91.8	23.68	0.07	
Reale_02	80.6	Lat Struct										
Reale_02	80.4	Lat Struct										
Reale_02	80 Max WS	37.7	34.61	39.62	35.95	39.62	0.000007	0.2	185.45	48.16	0.03	
Reale_02	79.9 Max WS	37.7	34.6	39.62	35.95	39.62	0.000007	0.2	185.55	48.16	0.03	
Reale_02	79.6	Lat Struct										
Reale_02	79.4	Lat Struct										
Reale_02	79 Max WS	37.7	34.14	39.62	35.83	39.62	0.000005	0.18	213	51.32	0.03	
Reale_02	78 Max WS	37.7	34.14	39.61	35.83	39.62	0.000024	0.35	107.76	24.72	0.05	
Reale_02	77.5	Bridge										
Reale_02	77 Max WS	37.7	34.14	39.61	35.83	39.62	0.000024	0.35	107.72	24.72	0.05	
Reale_02	76.6	Lat Struct										
Reale_02	76.4	Lat Struct										
Reale_02	76 Max WS	37.7	34.09	39.61	35.91	39.62	0.000024	0.36	104.19	25.34	0.06	
Reale_02	75.6	Lat Struct										
Reale_02	75.4	Lat Struct										
Reale_02	75 Max WS	37.7	34.13	39.61	35.79	39.62	0.000052	0.45	83.14	28.46	0.08	
Reale_02	74.6	Lat Struct										
Reale_02	74.4	Lat Struct										
Reale_02	74 Max WS	37.7	34.01	39.6	36.2	39.62	0.000068	0.49	76.77	27.05	0.09	
Reale_02	73.5	Bridge										
Reale_02	73 Max WS	37.7	34.01	39.6	36.2	39.61	0.000068	0.49	76.71	27.05	0.09	
Reale_02	72.6	Lat Struct										
Reale_02	72.4	Lat Struct										
Reale_02	72 Max WS	37.7	33.98	39.6	36.03	39.61	0.000054	0.45	83.22	28.19	0.08	
Reale_02	71.6	Lat Struct										
Reale_02	71.4	Lat Struct										
Reale_02	71 Max WS	37.7	33.81	39.6	35.7	39.61	0.000044	0.44	85.71	27.15	0.08	
Reale_02	70.06	Lat Struct										
Reale_02	70.04	Lat Struct										
Reale_02	69.6	Lat Struct										
Reale_02	69.4	Lat Struct										
Reale_02	69 Max WS	37.7	33.33	39.6	35.34	39.61	0.000029	0.38	98.12	27.83	0.07	
Reale_02	68.6	Lat Struct										
Reale_02	68.4	Lat Struct										
Reale_02	68 Max WS	37.7	33	39.6	35.18	39.61	0.000031	0.39	96.54	28.09	0.07	

Reale_02	67.6	Lat Struct										
Reale_02	67.4	Lat Struct										
Reale_02	67 Max WS	37.7	33.19	39.6	34.85	39.6	0.000028	0.37	100.72	28.11	0.06	
Reale_02	66.6	Lat Struct										
Reale_02	66.4	Lat Struct										
Reale_02	66 Max WS	37.7	33.16	39.59	34.83	39.6	0.000026	0.36	103.42	28.72	0.06	
Reale_02	65.6	Lat Struct										
Reale_02	65.4	Lat Struct										
Reale_02	65 Max WS	37.7	33.09	39.59	34.73	39.6	0.000024	0.36	105.56	28.85	0.06	
Reale_02	64.6	Lat Struct										
Reale_02	64.4	Lat Struct										
Reale_02	64 Max WS	36.34	32.8	39.59	34.63	39.6	0.000021	0.34	108.36	28.81	0.06	
Reale_02	63.6	Lat Struct										
Reale_02	63.4	Lat Struct										
Reale_02	63 Max WS	36.05	33.21	39.59	34.84	39.59	0.000021	0.34	107.59	28.99	0.06	
Reale_02	62.6	Lat Struct										
Reale_02	62.4	Lat Struct										
Reale_02	62 Max WS	36.05	33.02	39.59	34.9	39.59	0.000021	0.34	106.79	28.94	0.06	
Reale_02	61.6	Lat Struct										
Reale_02	61.4	Lat Struct										
Reale_02	61 Max WS	36.05	32.81	39.58	34.59	39.59	0.000018	0.32	112.37	29.25	0.05	
Reale_02	60.6	Lat Struct										
Reale_02	60.4	Lat Struct										
Reale_02	60 Max WS	36.05	32.82	39.58	34.7	39.59	0.000019	0.33	110.73	29.38	0.05	
Reale_02	59.6	Lat Struct										
Reale_02	59.4	Lat Struct										
Reale_02	59 Max WS	36.05	32.62	39.58	34.28	39.59	0.000016	0.29	122.86	33.53	0.05	
Reale_02	58.6	Lat Struct										
Reale_02	58.4	Lat Struct										
Reale_02	58 Max WS	36.05	32.6	39.58	34.32	39.58	0.000012	0.27	134.25	32.08	0.04	
Reale_02	57.6	Lat Struct										
Reale_02	57.4	Lat Struct										
Reale_02	57 Max WS	36.05	32.57	39.58	34.26	39.58	0.000013	0.27	131.21	32.36	0.04	
Reale_02	56.5	Bridge										
Reale_02	56 Max WS	36.05	32.57	39.58	34.26	39.58	0.000013	0.27	131.16	32.36	0.04	
Reale_02	55.6	Lat Struct										
Reale_02	55.4	Lat Struct										
Reale_02	55 Max WS	36.05	32.57	39.58	34.26	39.58	0.000013	0.28	126.7	29.69	0.04	
Reale_02	54.6	Lat Struct										
Reale_02	54.4	Lat Struct										
Reale_02	54 Max WS	36.05	32.53	39.58	34.28	39.58	0.000018	0.3	119.53	33.54	0.05	
Reale_02	53.6	Lat Struct										
Reale_02	53.4	Lat Struct										
Reale_02	53 Max WS	36.05	32.6	39.58	34.3	39.58	0.000018	0.32	113.74	29.34	0.05	
Reale_02	52.6	Lat Struct										
Reale_02	52.4	Lat Struct										
Reale_02	52 Max WS	36.05	32.68	39.58	34.24	39.58	0.000017	0.31	116.37	29.88	0.05	
Reale_02	51.6	Lat Struct										
Reale_02	51.4	Lat Struct										
Reale_02	51 Max WS	36.05	32.63	39.57	34.24	39.58	0.000017	0.31	115.71	29.05	0.05	
Reale_02	50.6	Lat Struct										
Reale_02	50.4	Lat Struct										
Reale_02	50 Max WS	36.05	32.44	39.57	34.19	39.58	0.000016	0.3	119.12	29.95	0.05	
Reale_02	49.6	Lat Struct										
Reale_02	49.4	Lat Struct										
Reale_02	49 Max WS	36.05	32.49	39.57	34.37	39.58	0.000016	0.3	118.58	30.68	0.05	
Reale_02	48.6	Lat Struct										
Reale_02	48.4	Lat Struct										
Reale_02	48 Max WS	36.05	32.59	39.57	34.27	39.57	0.000015	0.29	122.26	31.06	0.05	
Reale_02	47.6	Lat Struct										
Reale_02	47.4	Lat Struct										
Reale_02	47 Max WS	36.05	32.41	39.57	34.06	39.57	0.000014	0.29	124.39	30.75	0.05	
Reale_02	46.6	Lat Struct										
Reale_02	46.4	Lat Struct										
Reale_02	46 Max WS	36.05	32.39	39.57	34.02	39.57	0.000013	0.28	126.61	31.15	0.05	

Reale_02	25.4	Lat Struct										
Reale_02	25 Max WS	0	32.07	39.56	32.08	39.56	0	0	136.11	32.5	0	
Reale_02	24.6	Lat Struct										
Reale_02	24.4	Lat Struct										
Reale_02	24 Max WS	0	31.97	39.56	31.99	39.56	0	0	138.7	32.69	0	
Reale_02	23.6	Lat Struct										
Reale_02	23.4	Lat Struct										
Reale_02	23 Max WS	0.03	32.08	39.56	32.11	39.56	0	0	140.83	32.63	0	
Reale_02	22.6	Lat Struct										
Reale_02	22.4	Lat Struct										
Reale_02	22 Max WS	0.01	32.01	39.56	32.04	39.56	0	0	139.54	32.67	0	
Reale_02	21.6	Lat Struct										
Reale_02	21.4	Lat Struct										
Reale_02	21 Max WS	0.02	31.87	39.56	31.93	39.56	0	0	140.55	34.76	0	
Reale_02	20.6	Lat Struct										
Reale_02	20.4	Lat Struct										
Reale_02	20 Max WS	0.02	31.74	39.56	31.79	39.56	0	0	145.64	33.14	0	
Reale_02	19.6	Lat Struct										
Reale_02	19.4	Lat Struct										
Reale_02	19 Max WS	0.01	31.58	39.56	31.64	39.56	0	0	147.15	33.39	0	
Reale_02	18.6	Lat Struct										
Reale_02	18.4	Lat Struct										
Reale_02	18 Max WS	0.01	31.95	39.56	31.96	39.56	0	0	136.12	34.13	0	
Reale_02	17.6	Lat Struct										
Reale_02	17.4	Lat Struct										
Reale_02	17 Max WS	0.01	32.17	39.56	32.2	39.56	0	0	151.77	34.69	0	
Reale_02	16.5	Bridge										
Reale_02	16 Max WS	0.01	32.17	39.56	32.2	39.56	0	0	152.41	34.69	0	
Reale_02	15.6	Lat Struct										
Reale_02	15.4	Lat Struct										
Reale_02	15 Max WS	0.01	32.25	39.56	32.28	39.56	0	0	161.99	35.26	0	
Reale_02	14.6	Lat Struct										
Reale_02	14.4	Lat Struct										
Reale_02	14 Max WS	0.01	31.95	39.56	31.96	39.56	0	0	136.12	34.13	0	
Reale_02	13.6	Lat Struct										
Reale_02	13.4	Lat Struct										
Reale_02	13 Max WS	0.01	32.04	39.56	32.08	39.56	0	0	142.99	33.25	0	
Reale_02	12.6	Lat Struct										
Reale_02	12.4	Lat Struct										
Reale_02	12 Max WS	0	32.24	39.56	32.25	39.56	0	0	144.42	33.48	0	
Reale_02	11.6	Lat Struct										
Reale_02	11.4	Lat Struct										
Reale_02	11 Max WS	0	32.1	39.56	32.11	39.56	0	0	146.4	34.26	0	
Reale_02	10.6	Lat Struct										
Reale_02	10.4	Lat Struct										
Reale_02	10 Max WS	0	32.08	39.56	32.09	39.56	0	0	89.76	12	0	
Reale_02	9.6	Lat Struct										
Reale_02	9.4	Lat Struct										
Reale_02	9 Max WS	0	30.8	39.56	30.81	39.56	0	0	87.6	10	0	
Reale_02	8.6	Lat Struct										
Reale_02	8.4	Lat Struct										
Reale_02	8 Max WS	0	30.8	39.56	30.81	39.56	0	0	87.6	10	0	
Reale_02	7.6	Inl Struct										
Reale_02	7.1 Max WS	0	30.8	40.05	30.81	40.05	0	0	92.5	10	0	
Reale_02	7 Max WS	0	30.8	40.05	30.81	40.05	0	0	111	12	0	
Reale_02	1.6	Lat Struct										
Reale_02	1.4	Lat Struct										
Reale_02	1.1 Max WS	0	31.66	40.05	31.67	40.05	0	0	219.87	41.67	0	
Reale_02	1 Max WS	-0.02	31.66	40.05	31.69	40.05	0	0	219.87	41.67	0	

Reale_02	91.4	Lat Struct										
Reale_02	91 Max WS	29.8	34.67	39.59	36	39.6	0.000038	0.38	77.71	26.29	0.07	
Reale_02	90.6	Lat Struct										
Reale_02	90.4	Lat Struct										
Reale_02	90 Max WS	29.8	35.04	39.59	36.21	39.6	0.000044	0.41	73.55	26.94	0.08	
Reale_02	89.6	Lat Struct										
Reale_02	89.4	Lat Struct										
Reale_02	89 Max WS	29.8	35.14	39.59	36.35	39.59	0.000033	0.36	81.71	28.65	0.07	
Reale_02	88.5	Bridge										
Reale_02	88 Max WS	29.8	35.14	39.59	36.35	39.59	0.000032	0.36	82.45	28.63	0.07	
Reale_02	87.6	Lat Struct										
Reale_02	87.4	Lat Struct										
Reale_02	87 Max WS	29.8	35.14	39.59	36.36	39.59	0.000033	0.36	82.32	28.95	0.07	
Reale_02	86.6	Lat Struct										
Reale_02	86.4	Lat Struct										
Reale_02	86 Max WS	29.8	35.06	39.58	36.39	39.59	0.000044	0.41	73.21	26.79	0.08	
Reale_02	85.6	Lat Struct										
Reale_02	85.4	Lat Struct										
Reale_02	85 Max WS	29.8	34.82	39.58	35.91	39.59	0.000039	0.39	76.81	27.03	0.07	
Reale_02	84.6	Lat Struct										
Reale_02	84.4	Lat Struct										
Reale_02	84 Max WS	29.8	34.8	39.58	35.72	39.58	0.000019	0.3	100.66	28.81	0.05	
Reale_02	83.6	Lat Struct										
Reale_02	83.4	Lat Struct										
Reale_02	83 Max WS	29.8	34.62	39.58	35.87	39.58	0.000006	0.18	162.92	43.74	0.03	
Reale_02	82.6	Lat Struct										
Reale_02	82.4	Lat Struct										
Reale_02	82 Max WS	29.8	34.62	39.58	36.02	39.58	0.000023	0.33	90.98	23.64	0.05	
Reale_02	81.5	Bridge										
Reale_02	81 Max WS	29.8	34.62	39.58	36.02	39.58	0.000023	0.33	90.94	23.64	0.05	
Reale_02	80.6	Lat Struct										
Reale_02	80.4	Lat Struct										
Reale_02	80 Max WS	29.8	34.61	39.58	35.89	39.58	0.000005	0.16	183.61	48.09	0.03	
Reale_02	79.9 Max WS	29.8	34.6	39.58	35.88	39.58	0.000005	0.16	183.7	48.09	0.03	
Reale_02	79.6	Lat Struct										
Reale_02	79.4	Lat Struct										
Reale_02	79 Max WS	29.8	34.14	39.58	35.78	39.58	0.000003	0.14	211.02	51.32	0.02	
Reale_02	78 Max WS	29.8	34.14	39.58	35.74	39.58	0.000016	0.28	106.85	24.72	0.04	
Reale_02	77.5	Bridge										
Reale_02	77 Max WS	29.8	34.14	39.58	35.74	39.58	0.000016	0.28	106.82	24.72	0.04	
Reale_02	76.6	Lat Struct										
Reale_02	76.4	Lat Struct										
Reale_02	76 Max WS	29.8	34.09	39.58	35.6	39.58	0.000015	0.29	103.26	25.33	0.05	
Reale_02	75.6	Lat Struct										
Reale_02	75.4	Lat Struct										
Reale_02	75 Max WS	29.8	34.13	39.57	35.58	39.58	0.000033	0.36	82.16	28.21	0.07	
Reale_02	74.6	Lat Struct										
Reale_02	74.4	Lat Struct										
Reale_02	74 Max WS	29.8	34.01	39.57	35.99	39.58	0.000044	0.39	75.87	26.93	0.07	
Reale_02	73.5	Bridge										
Reale_02	73 Max WS	29.8	34.01	39.57	35.99	39.58	0.000044	0.39	75.83	26.93	0.07	
Reale_02	72.6	Lat Struct										
Reale_02	72.4	Lat Struct										
Reale_02	72 Max WS	29.8	33.98	39.57	35.69	39.58	0.000035	0.36	82.27	28.09	0.07	
Reale_02	71.6	Lat Struct										
Reale_02	71.4	Lat Struct										
Reale_02	71 Max WS	29.8	33.81	39.57	35.48	39.58	0.000028	0.35	84.81	27.05	0.06	
Reale_02	70.06	Lat Struct										
Reale_02	70.04	Lat Struct										
Reale_02	69.6	Lat Struct										
Reale_02	69.4	Lat Struct										
Reale_02	69 Max WS	29.8	33.33	39.57	35.15	39.57	0.000018	0.31	97.18	27.74	0.05	
Reale_02	68.6	Lat Struct										
Reale_02	68.4	Lat Struct										
Reale_02	68 Max WS	29.8	33	39.57	34.96	39.57	0.00002	0.31	95.64	28	0.05	

Reale_02	67.6	Lat Struct										
Reale_02	67.4	Lat Struct										
Reale_02	67 Max WS	29.8	33.19	39.57	34.64	39.57	0.000018	0.3	99.86	28.03	0.05	
Reale_02	66.6	Lat Struct										
Reale_02	66.4	Lat Struct										
Reale_02	66 Max WS	29.8	33.16	39.56	34.63	39.57	0.000017	0.29	102.56	28.64	0.05	
Reale_02	65.6	Lat Struct										
Reale_02	65.4	Lat Struct										
Reale_02	65 Max WS	29.8	33.09	39.56	34.52	39.57	0.000016	0.28	104.73	28.77	0.05	
Reale_02	64.6	Lat Struct										
Reale_02	64.4	Lat Struct										
Reale_02	64 Max WS	29.29	32.8	39.56	34.44	39.56	0.000014	0.27	107.52	28.77	0.04	
Reale_02	63.6	Lat Struct										
Reale_02	63.4	Lat Struct										
Reale_02	63 Max WS	29.18	33.21	39.56	34.67	39.56	0.000014	0.27	106.78	28.92	0.05	
Reale_02	62.6	Lat Struct										
Reale_02	62.4	Lat Struct										
Reale_02	62 Max WS	29.18	33.02	39.56	34.71	39.56	0.000014	0.28	106	28.87	0.05	
Reale_02	61.6	Lat Struct										
Reale_02	61.4	Lat Struct										
Reale_02	61 Max WS	29.18	32.81	39.56	34.4	39.56	0.000012	0.26	111.58	29.18	0.04	
Reale_02	60.6	Lat Struct										
Reale_02	60.4	Lat Struct										
Reale_02	60 Max WS	29.18	32.82	39.56	34.51	39.56	0.000013	0.27	109.95	29.32	0.04	
Reale_02	59.6	Lat Struct										
Reale_02	59.4	Lat Struct										
Reale_02	59 Max WS	29.17	32.62	39.55	34.1	39.56	0.000011	0.24	121.99	33.46	0.04	
Reale_02	58.6	Lat Struct										
Reale_02	58.4	Lat Struct										
Reale_02	58 Max WS	29.17	32.6	39.56	34.12	39.56	0.000008	0.22	133.42	31.99	0.03	
Reale_02	57.6	Lat Struct										
Reale_02	57.4	Lat Struct										
Reale_02	57 Max WS	29.17	32.57	39.55	34.07	39.56	0.000009	0.22	130.36	32.36	0.04	
Reale_02	56.5	Bridge										
Reale_02	56 Max WS	29.17	32.57	39.55	34.07	39.56	0.000009	0.22	130.33	32.36	0.04	
Reale_02	55.6	Lat Struct										
Reale_02	55.4	Lat Struct										
Reale_02	55 Max WS	29.17	32.57	39.55	34.07	39.56	0.000009	0.23	125.94	29.62	0.04	
Reale_02	54.6	Lat Struct										
Reale_02	54.4	Lat Struct										
Reale_02	54 Max WS	29.17	32.53	39.55	34.09	39.56	0.000012	0.25	118.68	33.46	0.04	
Reale_02	53.6	Lat Struct										
Reale_02	53.4	Lat Struct										
Reale_02	53 Max WS	29.17	32.6	39.55	34.11	39.56	0.000012	0.26	113	29.27	0.04	
Reale_02	52.6	Lat Struct										
Reale_02	52.4	Lat Struct										
Reale_02	52 Max WS	29.18	32.68	39.55	34.06	39.55	0.000011	0.25	115.65	29.81	0.04	
Reale_02	51.6	Lat Struct										
Reale_02	51.4	Lat Struct										
Reale_02	51 Max WS	29.17	32.63	39.55	34.06	39.55	0.000011	0.25	115.01	28.99	0.04	
Reale_02	50.6	Lat Struct										
Reale_02	50.4	Lat Struct										
Reale_02	50 Max WS	29.17	32.44	39.55	34	39.55	0.00001	0.25	118.41	29.88	0.04	
Reale_02	49.6	Lat Struct										
Reale_02	49.4	Lat Struct										
Reale_02	49 Max WS	29.17	32.49	39.55	34.19	39.55	0.000011	0.25	117.87	30.61	0.04	
Reale_02	48.6	Lat Struct										
Reale_02	48.4	Lat Struct										
Reale_02	48 Max WS	29.17	32.59	39.55	34.09	39.55	0.00001	0.24	121.56	30.99	0.04	
Reale_02	47.6	Lat Struct										
Reale_02	47.4	Lat Struct										
Reale_02	47 Max WS	29.18	32.41	39.55	33.87	39.55	0.000009	0.24	123.7	30.69	0.04	
Reale_02	46.6	Lat Struct										
Reale_02	46.4	Lat Struct										
Reale_02	46 Max WS	29.18	32.39	39.55	33.84	39.55	0.000009	0.23	125.93	31.09	0.04	

Reale_02	25.4	Lat Struct										
Reale_02	25 Max WS	0	32.07	39.54	32.08	39.54	0	0	135.46	32.44	0	
Reale_02	24.6	Lat Struct										
Reale_02	24.4	Lat Struct										
Reale_02	24 Max WS	0	31.97	39.54	31.98	39.54	0	0	138.04	32.64	0	
Reale_02	23.6	Lat Struct										
Reale_02	23.4	Lat Struct										
Reale_02	23 Max WS	0	32.08	39.54	32.09	39.54	0	0	140.17	32.57	0	
Reale_02	22.6	Lat Struct										
Reale_02	22.4	Lat Struct										
Reale_02	22 Max WS	0	32.01	39.54	32.02	39.54	0	0	138.89	32.61	0	
Reale_02	21.6	Lat Struct										
Reale_02	21.4	Lat Struct										
Reale_02	21 Max WS	0	31.87	39.54	31.89	39.54	0	0	139.85	34.05	0	
Reale_02	20.6	Lat Struct										
Reale_02	20.4	Lat Struct										
Reale_02	20 Max WS	0	31.74	39.54	31.76	39.54	0	0	144.96	33.08	0	
Reale_02	19.6	Lat Struct										
Reale_02	19.4	Lat Struct										
Reale_02	19 Max WS	0	31.58	39.54	31.6	39.54	0	0	146.47	33.33	0	
Reale_02	18.6	Lat Struct										
Reale_02	18.4	Lat Struct										
Reale_02	18 Max WS	0	31.95	39.54	31.96	39.54	0	0	135.43	33.89	0	
Reale_02	17.6	Lat Struct										
Reale_02	17.4	Lat Struct										
Reale_02	17 Max WS	0	32.17	39.54		39.54	0	0	151.06	34.64	0	
Reale_02	16.5	Bridge										
Reale_02	16 Max WS	0	32.17	39.54	32.18	39.54	0	0	151.71	34.64	0	
Reale_02	15.6	Lat Struct										
Reale_02	15.4	Lat Struct										
Reale_02	15 Max WS	0	32.25	39.54	32.26	39.54	0	0	161.27	35.24	0	
Reale_02	14.6	Lat Struct										
Reale_02	14.4	Lat Struct										
Reale_02	14 Max WS	0	31.95	39.54	31.96	39.54	0	0	135.43	33.89	0	
Reale_02	13.6	Lat Struct										
Reale_02	13.4	Lat Struct										
Reale_02	13 Max WS	0	32.04	39.54	32.06	39.54	0	0	142.31	33.19	0	
Reale_02	12.6	Lat Struct										
Reale_02	12.4	Lat Struct										
Reale_02	12 Max WS	0	32.24	39.54	32.25	39.54	0	0	143.73	33.43	0	
Reale_02	11.6	Lat Struct										
Reale_02	11.4	Lat Struct										
Reale_02	11 Max WS	0	32.1	39.54	32.11	39.54	0	0	145.7	34.19	0	
Reale_02	10.6	Lat Struct										
Reale_02	10.4	Lat Struct										
Reale_02	10 Max WS	0	32.08	39.54	32.09	39.54	0	0	89.51	12	0	
Reale_02	9.6	Lat Struct										
Reale_02	9.4	Lat Struct										
Reale_02	9 Max WS	0	30.8	39.54	30.81	39.54	0	0	87.39	10	0	
Reale_02	8.6	Lat Struct										
Reale_02	8.4	Lat Struct										
Reale_02	8 Max WS	0	30.8	39.54	30.81	39.54	0	0	87.39	10	0	
Reale_02	7.6	Inl Struct										
Reale_02	7.1 Max WS	0	30.8	39.99	30.81	39.99	0	0	91.9	10	0	
Reale_02	7 Max WS	0	30.8	39.99	30.81	39.99	0	0	110.28	12	0	
Reale_02	1.6	Lat Struct										
Reale_02	1.4	Lat Struct										
Reale_02	1.1 Max WS	-0.02	31.66	39.99	31.69	39.99	0	0	217.37	41.52	0	
Reale_02	1 Max WS	-0.02	31.66	39.99	31.69	39.99	0	0	217.37	41.52	0	

Reale_02	91.4	Lat Struct										
Reale_02	91 Max WS	134.23	34.67	39.63	37.79	39.78	0.000739	1.7	78.75	26.38	0.32	
Reale_02	90.6	Lat Struct										
Reale_02	90.4	Lat Struct										
Reale_02	90 Max WS	133.37	35.04	39.52	37.96	39.7	0.000941	1.86	71.83	26.73	0.36	
Reale_02	89.6	Lat Struct										
Reale_02	89.4	Lat Struct										
Reale_02	89 Max WS	133.36	35.14	39.54	37.76	39.68	0.000696	1.66	80.44	28.51	0.32	
Reale_02	88.5	Bridge										
Reale_02	88 Max WS	133.36	35.14	39.54	37.75	39.68	0.000677	1.64	81.18	28.5	0.31	
Reale_02	87.6	Lat Struct										
Reale_02	87.4	Lat Struct										
Reale_02	87 Max WS	133.34	35.14	39.54	37.76	39.68	0.000689	1.65	80.87	28.79	0.31	
Reale_02	86.6	Lat Struct										
Reale_02	86.4	Lat Struct										
Reale_02	86 Max WS	132.97	35.06	39.48	37.98	39.66	0.000983	1.89	70.34	26.47	0.37	
Reale_02	85.6	Lat Struct										
Reale_02	85.4	Lat Struct										
Reale_02	85 Max WS	132.49	34.82	39.37	37.49	39.54	0.00095	1.86	71.12	26.37	0.36	
Reale_02	84.6	Lat Struct										
Reale_02	84.4	Lat Struct										
Reale_02	84 Max WS	132.19	34.8	39.34	36.97	39.44	0.000467	1.41	93.78	28.78	0.25	
Reale_02	83.6	Lat Struct										
Reale_02	83.4	Lat Struct										
Reale_02	83 Max WS	132.36	34.62	39.4	36.72	39.43	0.000146	0.85	154.84	43.51	0.14	
Reale_02	82.6	Lat Struct										
Reale_02	82.4	Lat Struct										
Reale_02	82 Max WS	132.04	34.62	39.32	37.03	39.44	0.000545	1.56	84.82	23.41	0.26	
Reale_02	81.5	Bridge										
Reale_02	81 Max WS	132.04	34.62	39.31	37.03	39.43	0.000549	1.56	84.6	23.4	0.26	
Reale_02	80.6	Lat Struct										
Reale_02	80.4	Lat Struct										
Reale_02	80 Max WS	132.36	34.61	39.39	36.5	39.42	0.000108	0.76	174.52	47.76	0.13	
Reale_02	79.9 Max WS	132.35	34.6	39.39	36.5	39.42	0.000108	0.76	174.6	47.76	0.13	
Reale_02	79.6	Lat Struct										
Reale_02	79.4	Lat Struct										
Reale_02	79 Max WS	132.22	34.14	39.4	36.34	39.42	0.000076	0.66	201.56	51.32	0.11	
Reale_02	78 Max WS	132.1	34.14	39.34	36.68	39.43	0.000365	1.31	100.92	24.72	0.21	
Reale_02	77.5	Bridge										
Reale_02	77 Max WS	132.1	34.14	39.33	36.68	39.42	0.000367	1.31	100.75	24.72	0.21	
Reale_02	76.6	Lat Struct										
Reale_02	76.4	Lat Struct										
Reale_02	76 Max WS	132.15	34.09	39.32	36.8	39.42	0.000366	1.37	96.81	25.25	0.22	
Reale_02	75.6	Lat Struct										
Reale_02	75.4	Lat Struct										
Reale_02	75 Max WS	131.65	34.13	39.23	37.52	39.4	0.000866	1.8	72.95	26.11	0.34	
Reale_02	74.6	Lat Struct										
Reale_02	74.4	Lat Struct										
Reale_02	74 Max WS	131.58	34.01	39.14	37.75	39.35	0.001354	2.04	64.51	25.32	0.41	
Reale_02	73.5	Bridge										
Reale_02	73 Max WS	131.58	34.01	39.12	37.75	39.33	0.00138	2.05	64.09	25.26	0.41	
Reale_02	72.6	Lat Struct										
Reale_02	72.4	Lat Struct										
Reale_02	72 Max WS	131.58	33.98	39.15	37.67	39.33	0.001048	1.86	70.88	26.88	0.37	
Reale_02	71.6	Lat Struct										
Reale_02	71.4	Lat Struct										
Reale_02	71 Max WS	131.56	33.81	39.16	37.41	39.32	0.000816	1.78	73.9	25.84	0.34	
Reale_02	70.06	Lat Struct										
Reale_02	70.04	Lat Struct										
Reale_02	69.6	Lat Struct										
Reale_02	69.4	Lat Struct										
Reale_02	69 Max WS	131.27	33.33	39.16	36.87	39.28	0.000502	1.53	86.03	26.56	0.27	
Reale_02	68.6	Lat Struct										
Reale_02	68.4	Lat Struct										
Reale_02	68 Max WS	130.99	33	39.1	37.01	39.22	0.000589	1.58	82.77	26.68	0.29	

Reale_02	67.6	Lat Struct									
Reale_02	67.4	Lat Struct									
Reale_02	67 Max WS	130.13	33.19	39.02	36.44	39.14	0.00053	1.53	85.03	26.52	0.27
Reale_02	66.6	Lat Struct									
Reale_02	66.4	Lat Struct									
Reale_02	66 Max WS	130.26	33.16	38.97	36.41	39.09	0.000521	1.51	86.05	27.02	0.27
Reale_02	65.6	Lat Struct									
Reale_02	65.4	Lat Struct									
Reale_02	65 Max WS	130.1	33.09	38.92	36.28	39.03	0.000508	1.5	86.68	27.02	0.27
Reale_02	64.6	Lat Struct									
Reale_02	64.4	Lat Struct									
Reale_02	64 Max WS	129.23	32.8	38.87	36.22	38.98	0.000478	1.47	88.09	27.12	0.26
Reale_02	63.6	Lat Struct									
Reale_02	63.4	Lat Struct									
Reale_02	63 Max WS	128.44	33.21	38.81	36.37	38.92	0.000508	1.5	85.73	27.03	0.27
Reale_02	62.6	Lat Struct									
Reale_02	62.4	Lat Struct									
Reale_02	62 Max WS	127.91	33.02	38.76	36.66	38.88	0.000541	1.53	83.69	26.85	0.28
Reale_02	61.6	Lat Struct									
Reale_02	61.4	Lat Struct									
Reale_02	61 Max WS	127.65	32.81	38.72	36.14	38.83	0.000463	1.45	88.08	27.15	0.26
Reale_02	60.6	Lat Struct									
Reale_02	60.4	Lat Struct									
Reale_02	60 Max WS	127.32	32.82	38.67	36.25	38.79	0.000516	1.5	85.07	27.18	0.27
Reale_02	59.6	Lat Struct									
Reale_02	59.4	Lat Struct									
Reale_02	59 Max WS	126.5	32.62	38.62	36.04	38.72	0.000461	1.37	92	30.83	0.25
Reale_02	58.6	Lat Struct									
Reale_02	58.4	Lat Struct									
Reale_02	58 Max WS	126.49	32.6	38.64	36.14	38.71	0.00031	1.21	104.97	30.8	0.21
Reale_02	57.6	Lat Struct									
Reale_02	57.4	Lat Struct									
Reale_02	57 Max WS	126.49	32.57	38.63	36.06	38.71	0.000334	1.24	102.06	30.07	0.21
Reale_02	56.5	Bridge									
Reale_02	56 Max WS	126.49	32.57	38.63	36.06	38.71	0.000336	1.24	101.8	30.06	0.22
Reale_02	55.6	Lat Struct									
Reale_02	55.4	Lat Struct									
Reale_02	55 Max WS	126.49	32.57	38.62	36.06	38.71	0.00034	1.28	98.99	28.37	0.22
Reale_02	54.6	Lat Struct									
Reale_02	54.4	Lat Struct									
Reale_02	54 Max WS	126.56	32.53	38.6	35.93	38.7	0.00052	1.44	88.07	30.21	0.27
Reale_02	53.6	Lat Struct									
Reale_02	53.4	Lat Struct									
Reale_02	53 Max WS	126.55	32.6	38.57	35.88	38.68	0.000494	1.48	85.58	26.63	0.26
Reale_02	52.6	Lat Struct									
Reale_02	52.4	Lat Struct									
Reale_02	52 Max WS	125.65	32.68	38.53	35.78	38.63	0.000472	1.45	86.59	26.9	0.26
Reale_02	51.6	Lat Struct									
Reale_02	51.4	Lat Struct									
Reale_02	51 Max WS	124.35	32.63	38.48	35.76	38.59	0.000474	1.46	85.4	26.32	0.26
Reale_02	50.6	Lat Struct									
Reale_02	50.4	Lat Struct									
Reale_02	50 Max WS	124.66	32.44	38.44	35.73	38.55	0.000457	1.43	86.98	26.86	0.25
Reale_02	49.6	Lat Struct									
Reale_02	49.4	Lat Struct									
Reale_02	49 Max WS	124.39	32.49	38.39	35.9	38.5	0.000506	1.48	84.28	27.23	0.27
Reale_02	48.6	Lat Struct									
Reale_02	48.4	Lat Struct									
Reale_02	48 Max WS	123.86	32.59	38.34	35.76	38.45	0.000469	1.43	86.33	27.47	0.26
Reale_02	47.6	Lat Struct									
Reale_02	47.4	Lat Struct									
Reale_02	47 Max WS	124.23	32.41	38.29	35.59	38.39	0.000453	1.42	87.34	27.22	0.25
Reale_02	46.6	Lat Struct									
Reale_02	46.4	Lat Struct									
Reale_02	46 Max WS	123.39	32.39	38.26	35.52	38.36	0.000438	1.4	88.18	27.49	0.25

Reale_02	25.4	Lat Struct										
Reale_02	25 Max WS	119.87	32.07	37.36	35.1	37.5	0.00077	1.67	71.63	26.11	0.32	
Reale_02	24.6	Lat Struct										
Reale_02	24.4	Lat Struct										
Reale_02	24 Max WS	120	31.97	37.28	35	37.42	0.000783	1.68	71.32	26.3	0.33	
Reale_02	23.6	Lat Struct										
Reale_02	23.4	Lat Struct										
Reale_02	23 Max WS	120.05	32.08	37.19	35.06	37.33	0.000773	1.69	71.22	26.09	0.33	
Reale_02	22.6	Lat Struct										
Reale_02	22.4	Lat Struct										
Reale_02	22 Max WS	120.19	32.01	37.08	35.01	37.24	0.00092	1.79	67.25	25.57	0.35	
Reale_02	21.6	Lat Struct										
Reale_02	21.4	Lat Struct										
Reale_02	21 Max WS	120.04	31.87	37.01	35.05	37.18	0.000988	1.82	65.78	25.66	0.36	
Reale_02	20.6	Lat Struct										
Reale_02	20.4	Lat Struct										
Reale_02	20 Max WS	119.7	31.74	36.92	34.66	37.07	0.000866	1.75	68.3	25.37	0.34	
Reale_02	19.6	Lat Struct										
Reale_02	19.4	Lat Struct										
Reale_02	19 Max WS	119.89	31.58	36.8	34.67	36.96	0.000967	1.82	65.97	25.35	0.36	
Reale_02	18.6	Lat Struct										
Reale_02	18.4	Lat Struct										
Reale_02	18 Max WS	119.73	31.95	36.58	35.04	36.84	0.001747	2.25	53.1	22.76	0.47	
Reale_02	17.6	Lat Struct										
Reale_02	17.4	Lat Struct										
Reale_02	17 Max WS	119.75	32.17	36.64	35.24	36.82	0.001198	1.9	62.87	26.73	0.4	
Reale_02	16.5	Bridge										
Reale_02	16 Max WS	119.75	32.17	36.61	35.07	36.8	0.001246	1.91	62.78	26.67	0.4	
Reale_02	15.6	Lat Struct										
Reale_02	15.4	Lat Struct										
Reale_02	15 Max WS	119.6	32.25	36.61	35.07	36.79	0.001292	1.88	63.47	29.78	0.41	
Reale_02	14.6	Lat Struct										
Reale_02	14.4	Lat Struct										
Reale_02	14 Max WS	119.34	31.95	36.5	35.03	36.78	0.001861	2.33	51.24	21.87	0.49	
Reale_02	13.6	Lat Struct										
Reale_02	13.4	Lat Struct										
Reale_02	13 Max WS	119.51	32.04	36.28	35.01	36.58	0.002403	2.45	48.74	24.16	0.55	
Reale_02	12.6	Lat Struct										
Reale_02	12.4	Lat Struct										
Reale_02	12 Max WS	-1.47	32.24	36.01	32.43	36.01	0	-0.03	44.24	17.57	0.01	
Reale_02	11.6	Lat Struct										
Reale_02	11.4	Lat Struct										
Reale_02	11 Max WS	-2.6	32.1	36.02	32.47	36.02	0.000002	-0.06	43.5	22.27	0.01	
Reale_02	10.6	Lat Struct										
Reale_02	10.4	Lat Struct										
Reale_02	10 Max WS	-1.56	32.08	36.01	32.2	36.01	0	-0.03	47.22	12	0.01	
Reale_02	9.6	Lat Struct										
Reale_02	9.4	Lat Struct										
Reale_02	9 Max WS	-1.81	30.8	36.02	30.95	36.02	0	-0.03	52.18	10	0	
Reale_02	8.6	Lat Struct										
Reale_02	8.4	Lat Struct										
Reale_02	8 Max WS	0	30.8	35.99	30.81	35.99	0	0	51.89	10	0	
Reale_02	7.6	Inl Struct										
Reale_02	7.1 Max WS	0	30.8	36.25	30.81	36.25	0	0	54.5	10	0	
Reale_02	7 Max WS	0	30.8	36.25	30.81	36.25	0	0	65.4	12	0	
Reale_02	1.6	Lat Struct										
Reale_02	1.4	Lat Struct										
Reale_02	1.1 Max WS	0	31.66	36.25	31.68	36.25	0	0	82.75	29.51	0	
Reale_02	1 Max WS	-0.01	31.66	36.25	31.68	36.25	0	0	82.75	29.51	0	

Reale_02	91.4	Lat Struct										
Reale_02	91 Max WS	115.52	34.67	39.38	37.63	39.51	0.000705	1.6	72.24	25.78	0.31	
Reale_02	90.6	Lat Struct										
Reale_02	90.4	Lat Struct										
Reale_02	90 Max WS	115.16	35.04	39.28	37.7	39.43	0.000922	1.76	65.33	25.94	0.35	
Reale_02	89.6	Lat Struct										
Reale_02	89.4	Lat Struct										
Reale_02	89 Max WS	115.26	35.14	39.29	37.61	39.42	0.000677	1.57	73.44	27.73	0.31	
Reale_02	88.5	Bridge										
Reale_02	88 Max WS	115.27	35.14	39.29	37.6	39.42	0.000657	1.55	74.18	27.76	0.3	
Reale_02	87.6	Lat Struct										
Reale_02	87.4	Lat Struct										
Reale_02	87 Max WS	115.23	35.14	39.29	37.61	39.41	0.00067	1.56	73.8	27.99	0.31	
Reale_02	86.6	Lat Struct										
Reale_02	86.4	Lat Struct										
Reale_02	86 Max WS	114.94	35.06	39.23	37.82	39.4	0.000969	1.8	63.92	25.73	0.36	
Reale_02	85.6	Lat Struct										
Reale_02	85.4	Lat Struct										
Reale_02	85 Max WS	114.51	34.82	39.12	37.27	39.28	0.00093	1.77	64.77	25.61	0.35	
Reale_02	84.6	Lat Struct										
Reale_02	84.4	Lat Struct										
Reale_02	84 Max WS	114.38	34.8	39.09	36.82	39.18	0.000446	1.32	86.66	28.75	0.24	
Reale_02	83.6	Lat Struct										
Reale_02	83.4	Lat Struct										
Reale_02	83 Max WS	114.5	34.62	39.14	36.62	39.17	0.000137	0.8	143.81	43.2	0.14	
Reale_02	82.6	Lat Struct										
Reale_02	82.4	Lat Struct										
Reale_02	82 Max WS	114.32	34.62	39.07	36.89	39.18	0.000502	1.44	79.17	23.19	0.25	
Reale_02	81.5	Bridge										
Reale_02	81 Max WS	114.32	34.62	39.07	36.89	39.17	0.000505	1.45	78.96	23.18	0.25	
Reale_02	80.6	Lat Struct										
Reale_02	80.4	Lat Struct										
Reale_02	80 Max WS	114.49	34.61	39.14	36.41	39.16	0.000101	0.7	162.43	47.33	0.12	
Reale_02	79.9 Max WS	114.46	34.6	39.14	36.41	39.16	0.000101	0.7	162.51	47.33	0.12	
Reale_02	79.6	Lat Struct										
Reale_02	79.4	Lat Struct										
Reale_02	79 Max WS	114.5	34.14	39.14	36.26	39.16	0.000071	0.61	188.48	51.32	0.1	
Reale_02	78 Max WS	114.38	34.14	39.09	36.55	39.17	0.00033	1.21	94.84	24.72	0.2	
Reale_02	77.5	Bridge										
Reale_02	77 Max WS	114.37	34.14	39.09	36.55	39.16	0.000332	1.21	94.69	24.72	0.2	
Reale_02	76.6	Lat Struct										
Reale_02	76.4	Lat Struct										
Reale_02	76 Max WS	114.36	34.09	39.08	36.67	39.16	0.000334	1.26	90.64	25.17	0.21	
Reale_02	75.6	Lat Struct										
Reale_02	75.4	Lat Struct										
Reale_02	75 Max WS	114.04	34.13	38.99	37.26	39.14	0.000842	1.71	66.77	25.5	0.34	
Reale_02	74.6	Lat Struct										
Reale_02	74.4	Lat Struct										
Reale_02	74 Max WS	113.6	34.01	38.9	37.58	39.09	0.001328	1.94	58.62	24.44	0.4	
Reale_02	73.5	Bridge										
Reale_02	73 Max WS	113.43	34.01	38.88	37.57	39.08	0.00135	1.95	58.23	24.39	0.4	
Reale_02	72.6	Lat Struct										
Reale_02	72.4	Lat Struct										
Reale_02	72 Max WS	113.66	33.98	38.92	37.52	39.07	0.001031	1.76	64.54	26.19	0.36	
Reale_02	71.6	Lat Struct										
Reale_02	71.4	Lat Struct										
Reale_02	71 Max WS	113.65	33.81	38.92	37.25	39.06	0.000778	1.68	67.85	25.14	0.33	
Reale_02	70.06	Lat Struct										
Reale_02	70.04	Lat Struct										
Reale_02	69.6	Lat Struct										
Reale_02	69.4	Lat Struct										
Reale_02	69 Max WS	113.69	33.33	38.92	36.58	39.02	0.000467	1.43	79.76	25.88	0.26	
Reale_02	68.6	Lat Struct										
Reale_02	68.4	Lat Struct										
Reale_02	68 Max WS	113.4	33	38.86	36.66	38.97	0.000552	1.48	76.57	26.03	0.28	

Reale_02	67.6	Lat Struct									
Reale_02	67.4	Lat Struct									
Reale_02	67 Max WS	113.11	33.19	38.79	36.2	38.89	0.000495	1.43	78.97	25.88	0.26
Reale_02	66.6	Lat Struct									
Reale_02	66.4	Lat Struct									
Reale_02	66 Max WS	112.9	33.16	38.74	36.18	38.84	0.000483	1.41	79.93	26.39	0.26
Reale_02	65.6	Lat Struct									
Reale_02	65.4	Lat Struct									
Reale_02	65 Max WS	112.66	33.09	38.69	36.05	38.79	0.000469	1.4	80.66	26.41	0.26
Reale_02	64.6	Lat Struct									
Reale_02	64.4	Lat Struct									
Reale_02	64 Max WS	112.44	32.8	38.64	36	38.74	0.000443	1.37	82.1	26.55	0.25
Reale_02	63.6	Lat Struct									
Reale_02	63.4	Lat Struct									
Reale_02	63 Max WS	112.26	33.21	38.59	36.16	38.69	0.000477	1.41	79.84	26.48	0.26
Reale_02	62.6	Lat Struct									
Reale_02	62.4	Lat Struct									
Reale_02	62 Max WS	112.07	33.02	38.54	36.23	38.64	0.000512	1.44	77.89	26.3	0.27
Reale_02	61.6	Lat Struct									
Reale_02	61.4	Lat Struct									
Reale_02	61 Max WS	111.96	32.81	38.51	35.94	38.6	0.000434	1.36	82.25	26.62	0.25
Reale_02	60.6	Lat Struct									
Reale_02	60.4	Lat Struct									
Reale_02	60 Max WS	111.83	32.82	38.46	36.05	38.56	0.000489	1.41	79.28	26.66	0.26
Reale_02	59.6	Lat Struct									
Reale_02	59.4	Lat Struct									
Reale_02	59 Max WS	111.66	32.62	38.41	35.67	38.49	0.000447	1.31	85.44	30.22	0.25
Reale_02	58.6	Lat Struct									
Reale_02	58.4	Lat Struct									
Reale_02	58 Max WS	111.69	32.6	38.42	36.02	38.49	0.000293	1.14	98.34	30.43	0.2
Reale_02	57.6	Lat Struct									
Reale_02	57.4	Lat Struct									
Reale_02	57 Max WS	111.68	32.57	38.42	35.94	38.49	0.000317	1.17	95.6	29.79	0.21
Reale_02	56.5	Bridge									
Reale_02	56 Max WS	111.68	32.57	38.41	35.94	38.48	0.000319	1.17	95.38	29.78	0.21
Reale_02	55.6	Lat Struct									
Reale_02	55.4	Lat Struct									
Reale_02	55 Max WS	111.67	32.57	38.41	35.94	38.48	0.00032	1.2	92.95	28.11	0.21
Reale_02	54.6	Lat Struct									
Reale_02	54.4	Lat Struct									
Reale_02	54 Max WS	111.59	32.53	38.38	35.72	38.48	0.000479	1.36	81.83	28.43	0.26
Reale_02	53.6	Lat Struct									
Reale_02	53.4	Lat Struct									
Reale_02	53 Max WS	111.51	32.6	38.36	35.68	38.46	0.000464	1.39	80.03	26.07	0.25
Reale_02	52.6	Lat Struct									
Reale_02	52.4	Lat Struct									
Reale_02	52 Max WS	111.37	32.68	38.32	35.59	38.41	0.000448	1.37	81.02	26.3	0.25
Reale_02	51.6	Lat Struct									
Reale_02	51.4	Lat Struct									
Reale_02	51 Max WS	111.24	32.63	38.27	35.59	38.37	0.000457	1.39	80	25.8	0.25
Reale_02	50.6	Lat Struct									
Reale_02	50.4	Lat Struct									
Reale_02	50 Max WS	111.13	32.44	38.24	35.54	38.33	0.000437	1.36	81.49	26.3	0.25
Reale_02	49.6	Lat Struct									
Reale_02	49.4	Lat Struct									
Reale_02	49 Max WS	111	32.49	38.18	35.72	38.28	0.000489	1.41	78.77	26.64	0.26
Reale_02	48.6	Lat Struct									
Reale_02	48.4	Lat Struct									
Reale_02	48 Max WS	110.87	32.59	38.14	35.59	38.23	0.000454	1.37	80.8	26.88	0.25
Reale_02	47.6	Lat Struct									
Reale_02	47.4	Lat Struct									
Reale_02	47 Max WS	110.77	32.41	38.09	35.41	38.18	0.000433	1.35	81.89	26.66	0.25
Reale_02	46.6	Lat Struct									
Reale_02	46.4	Lat Struct									
Reale_02	46 Max WS	110.66	32.39	38.06	35.35	38.15	0.000423	1.34	82.7	26.93	0.24

Reale_02	25.4	Lat Struct										
Reale_02	25 Max WS	109.62	32.07	37.16	34.96	37.3	0.000798	1.65	66.52	25.54	0.33	
Reale_02	24.6	Lat Struct										
Reale_02	24.4	Lat Struct										
Reale_02	24 Max WS	109.59	31.97	37.08	34.86	37.22	0.000813	1.66	66.16	25.75	0.33	
Reale_02	23.6	Lat Struct										
Reale_02	23.4	Lat Struct										
Reale_02	23 Max WS	109.56	32.08	36.99	34.92	37.13	0.000803	1.66	66.02	25.53	0.33	
Reale_02	22.6	Lat Struct										
Reale_02	22.4	Lat Struct										
Reale_02	22 Max WS	109.52	32.01	36.87	34.87	37.03	0.000963	1.76	62.12	24.99	0.36	
Reale_02	21.6	Lat Struct										
Reale_02	21.4	Lat Struct										
Reale_02	21 Max WS	109.51	31.87	36.8	34.91	36.97	0.00105	1.81	60.5	25.07	0.37	
Reale_02	20.6	Lat Struct										
Reale_02	20.4	Lat Struct										
Reale_02	20 Max WS	109.51	31.74	36.7	34.52	36.86	0.000919	1.74	62.92	24.74	0.35	
Reale_02	19.6	Lat Struct										
Reale_02	19.4	Lat Struct										
Reale_02	19 Max WS	109.48	31.58	36.58	34.53	36.75	0.001035	1.81	60.55	24.72	0.37	
Reale_02	18.6	Lat Struct										
Reale_02	18.4	Lat Struct										
Reale_02	18 Max WS	109.48	31.95	36.36	34.9	36.62	0.001749	2.27	48.32	20.38	0.47	
Reale_02	17.6	Lat Struct										
Reale_02	17.4	Lat Struct										
Reale_02	17 Max WS	109.48	32.17	36.41	34.96	36.6	0.001353	1.92	56.9	26.23	0.42	
Reale_02	16.5	Bridge										
Reale_02	16 Max WS	109.48	32.17	36.38	34.92	36.57	0.001413	1.93	56.77	26.16	0.42	
Reale_02	15.6	Lat Struct										
Reale_02	15.4	Lat Struct										
Reale_02	15 Max WS	109.48	32.25	36.38	34.94	36.57	0.001514	1.93	56.62	28.81	0.44	
Reale_02	14.6	Lat Struct										
Reale_02	14.4	Lat Struct										
Reale_02	14 Max WS	109.47	31.95	36.27	34.9	36.55	0.001915	2.36	46.46	19.73	0.49	
Reale_02	13.6	Lat Struct										
Reale_02	13.4	Lat Struct										
Reale_02	13 Max WS	-0.94	32.04	36.11	32.33	36.11	0	-0.02	45.1	20.62	0	
Reale_02	12.6	Lat Struct										
Reale_02	12.4	Lat Struct										
Reale_02	12 Max WS	-1.01	32.24	36.11	32.39	36.11	0	-0.02	46.01	17.88	0	
Reale_02	11.6	Lat Struct										
Reale_02	11.4	Lat Struct										
Reale_02	11 Max WS	-0.68	32.1	36.11	32.31	36.11	0	-0.01	45.65	24.1	0	
Reale_02	10.6	Lat Struct										
Reale_02	10.4	Lat Struct										
Reale_02	10 Max WS	-0.17	32.08	36.1	32.11	36.1	0	0	48.27	12	0	
Reale_02	9.6	Lat Struct										
Reale_02	9.4	Lat Struct										
Reale_02	9 Max WS	-0.19	30.8	36.1	30.83	36.1	0	0	53.03	10	0	
Reale_02	8.6	Lat Struct										
Reale_02	8.4	Lat Struct										
Reale_02	8 Max WS	0	30.8	36.1	30.81	36.1	0	0	52.99	10	0	
Reale_02	7.6	Inl Struct										
Reale_02	7.1 Max WS	0	30.8	36.25	30.81	36.25	0	0	54.5	10	0	
Reale_02	7 Max WS	0	30.8	36.25	30.81	36.25	0	0	65.4	12	0	
Reale_02	1.6	Lat Struct										
Reale_02	1.4	Lat Struct										
Reale_02	1.1 Max WS	0	31.66	36.25	31.68	36.25	0	0	82.75	29.51	0	
Reale_02	1 Max WS	-0.01	31.66	36.25	31.68	36.25	0	0	82.75	29.51	0	

Reale_02	91.4	Lat Struct										
Reale_02	91 Max WS	71.63	34.67	38.6	37.14	38.7	0.000682	1.35	52.93	23.9	0.29	
Reale_02	90.6	Lat Struct										
Reale_02	90.4	Lat Struct										
Reale_02	90 Max WS	71.62	35.04	38.5	37.01	38.62	0.000988	1.55	46.06	23.43	0.35	
Reale_02	89.6	Lat Struct										
Reale_02	89.4	Lat Struct										
Reale_02	89 Max WS	71.62	35.14	38.51	37.2	38.6	0.000694	1.36	52.6	25.26	0.3	
Reale_02	88.5	Bridge										
Reale_02	88 Max WS	71.62	35.14	38.51	37.19	38.6	0.000672	1.34	53.26	25.42	0.3	
Reale_02	87.6	Lat Struct										
Reale_02	87.4	Lat Struct										
Reale_02	87 Max WS	71.62	35.14	38.5	37.2	38.59	0.000692	1.36	52.73	25.49	0.3	
Reale_02	86.6	Lat Struct										
Reale_02	86.4	Lat Struct										
Reale_02	86 Max WS	71.6	35.06	38.45	37.4	38.58	0.001077	1.6	44.67	23.35	0.37	
Reale_02	85.6	Lat Struct										
Reale_02	85.4	Lat Struct										
Reale_02	85 Max WS	71.54	34.82	38.32	36.68	38.45	0.00103	1.58	45.32	23.13	0.36	
Reale_02	84.6	Lat Struct										
Reale_02	84.4	Lat Struct										
Reale_02	84 Max WS	71.51	34.8	38.28	36.4	38.34	0.000467	1.13	63.23	28.66	0.24	
Reale_02	83.6	Lat Struct										
Reale_02	83.4	Lat Struct										
Reale_02	83 Max WS	71.53	34.62	38.31	36.36	38.33	0.000129	0.66	108.39	42.18	0.13	
Reale_02	82.6	Lat Struct										
Reale_02	82.4	Lat Struct										
Reale_02	82 Max WS	71.51	34.62	38.27	36.5	38.34	0.000434	1.18	60.76	22.45	0.23	
Reale_02	81.5	Bridge										
Reale_02	81 Max WS	71.51	34.62	38.26	36.5	38.33	0.000438	1.18	60.59	22.45	0.23	
Reale_02	80.6	Lat Struct										
Reale_02	80.4	Lat Struct										
Reale_02	80 Max WS	71.53	34.61	38.31	36.17	38.32	0.000091	0.58	123.78	45.9	0.11	
Reale_02	79.9 Max WS	71.53	34.6	38.31	36.17	38.32	0.000091	0.58	123.86	45.89	0.11	
Reale_02	79.6	Lat Struct										
Reale_02	79.4	Lat Struct										
Reale_02	79 Max WS	71.54	34.14	38.31	36.04	38.32	0.000063	0.49	145.83	51.31	0.09	
Reale_02	78 Max WS	71.52	34.14	38.28	36.18	38.33	0.000267	0.96	74.75	24.72	0.18	
Reale_02	77.5	Bridge										
Reale_02	77 Max WS	71.52	34.14	38.27	36.18	38.32	0.000269	0.96	74.63	24.72	0.18	
Reale_02	76.6	Lat Struct										
Reale_02	76.4	Lat Struct										
Reale_02	76 Max WS	71.52	34.09	38.27	36.3	38.32	0.000282	1.02	70.37	24.77	0.19	
Reale_02	75.6	Lat Struct										
Reale_02	75.4	Lat Struct										
Reale_02	75 Max WS	71.47	34.13	38.19	36.49	38.3	0.000935	1.52	47.02	23.43	0.34	
Reale_02	74.6	Lat Struct										
Reale_02	74.4	Lat Struct										
Reale_02	74 Max WS	71.35	34.01	38.08	37.12	38.24	0.001601	1.79	39.87	21.42	0.42	
Reale_02	73.5	Bridge										
Reale_02	73 Max WS	71.32	34.01	38.06	37.12	38.23	0.001652	1.81	39.43	21.34	0.42	
Reale_02	72.6	Lat Struct										
Reale_02	72.4	Lat Struct										
Reale_02	72 Max WS	71.37	33.98	38.09	37.12	38.22	0.001284	1.63	43.89	23.77	0.38	
Reale_02	71.6	Lat Struct										
Reale_02	71.4	Lat Struct										
Reale_02	71 Max WS	71.38	33.81	38.1	36.41	38.21	0.000829	1.48	48.2	22.74	0.32	
Reale_02	70.06	Lat Struct										
Reale_02	70.04	Lat Struct										
Reale_02	69.6	Lat Struct										
Reale_02	69.4	Lat Struct										
Reale_02	69 Max WS	71.37	33.33	38.1	35.99	38.17	0.000426	1.2	59.44	23.52	0.24	
Reale_02	68.6	Lat Struct										
Reale_02	68.4	Lat Struct										
Reale_02	68 Max WS	71.31	33	38.04	35.91	38.12	0.000537	1.27	56.14	23.74	0.26	

Reale_02	67.6	Lat Struct										
Reale_02	67.4	Lat Struct										
Reale_02	67 Max WS	71.24	33.19	37.97	35.55	38.05	0.000461	1.21	58.73	23.62	0.25	
Reale_02	66.6	Lat Struct										
Reale_02	66.4	Lat Struct										
Reale_02	66 Max WS	71.2	33.16	37.93	35.53	38	0.000457	1.2	59.31	24.17	0.24	
Reale_02	65.6	Lat Struct										
Reale_02	65.4	Lat Struct										
Reale_02	65 Max WS	71.15	33.09	37.88	35.41	37.95	0.000439	1.18	60.08	24.2	0.24	
Reale_02	64.6	Lat Struct										
Reale_02	64.4	Lat Struct										
Reale_02	64 Max WS	71.09	32.8	37.83	35.36	37.9	0.000413	1.16	61.4	24.5	0.23	
Reale_02	63.6	Lat Struct										
Reale_02	63.4	Lat Struct										
Reale_02	63 Max WS	71.02	33.21	37.78	35.55	37.85	0.000456	1.2	59.27	24.45	0.25	
Reale_02	62.6	Lat Struct										
Reale_02	62.4	Lat Struct										
Reale_02	62 Max WS	70.95	33.02	37.73	35.61	37.81	0.000499	1.23	57.52	24.26	0.26	
Reale_02	61.6	Lat Struct										
Reale_02	61.4	Lat Struct										
Reale_02	61 Max WS	70.89	32.81	37.7	35.31	37.77	0.000406	1.15	61.6	24.66	0.23	
Reale_02	60.6	Lat Struct										
Reale_02	60.4	Lat Struct										
Reale_02	60 Max WS	70.8	32.82	37.66	35.43	37.73	0.000476	1.21	58.63	24.71	0.25	
Reale_02	59.6	Lat Struct										
Reale_02	59.4	Lat Struct										
Reale_02	59 Max WS	70.72	32.62	37.61	35.02	37.67	0.000358	1.1	64.08	24.5	0.22	
Reale_02	58.6	Lat Struct										
Reale_02	58.4	Lat Struct										
Reale_02	58 Max WS	70.73	32.6	37.62	35.11	37.67	0.000269	0.95	74.54	28.79	0.19	
Reale_02	57.6	Lat Struct										
Reale_02	57.4	Lat Struct										
Reale_02	57 Max WS	70.72	32.57	37.62	35.03	37.67	0.000274	0.97	72.54	27.29	0.19	
Reale_02	56.5	Bridge										
Reale_02	56 Max WS	70.72	32.57	37.61	35.03	37.66	0.000276	0.98	72.39	27.27	0.19	
Reale_02	55.6	Lat Struct										
Reale_02	55.4	Lat Struct										
Reale_02	55 Max WS	70.72	32.57	37.61	35.03	37.66	0.000281	0.99	71.24	26.27	0.19	
Reale_02	54.6	Lat Struct										
Reale_02	54.4	Lat Struct										
Reale_02	54 Max WS	70.69	32.53	37.59	35.05	37.66	0.000427	1.16	61.01	24.81	0.24	
Reale_02	53.6	Lat Struct										
Reale_02	53.4	Lat Struct										
Reale_02	53 Max WS	70.66	32.6	37.57	35.03	37.64	0.000424	1.17	60.26	23.94	0.24	
Reale_02	52.6	Lat Struct										
Reale_02	52.4	Lat Struct										
Reale_02	52 Max WS	70.58	32.68	37.53	34.96	37.6	0.000403	1.15	61.21	24.07	0.23	
Reale_02	51.6	Lat Struct										
Reale_02	51.4	Lat Struct										
Reale_02	51 Max WS	70.5	32.63	37.49	34.95	37.56	0.000412	1.16	60.59	23.85	0.23	
Reale_02	50.6	Lat Struct										
Reale_02	50.4	Lat Struct										
Reale_02	50 Max WS	70.45	32.44	37.46	34.91	37.52	0.000389	1.14	61.85	24.18	0.23	
Reale_02	49.6	Lat Struct										
Reale_02	49.4	Lat Struct										
Reale_02	49 Max WS	70.33	32.49	37.41	35.09	37.48	0.000452	1.19	59.02	24.39	0.24	
Reale_02	48.6	Lat Struct										
Reale_02	48.4	Lat Struct										
Reale_02	48 Max WS	70.25	32.59	37.37	34.97	37.44	0.000411	1.15	60.96	24.62	0.23	
Reale_02	47.6	Lat Struct										
Reale_02	47.4	Lat Struct										
Reale_02	47 Max WS	70.1	32.41	37.32	34.77	37.39	0.000382	1.13	62.31	24.55	0.23	
Reale_02	46.6	Lat Struct										
Reale_02	46.4	Lat Struct										
Reale_02	46 Max WS	69.99	32.39	37.29	34.72	37.36	0.000371	1.11	63.01	24.8	0.22	

Reale_02	25.4	Lat Struct										
Reale_02	25 Max WS	-0.08	32.07	37.25	32.11	37.25	0	0	68.86	25.8	0	
Reale_02	24.6	Lat Struct										
Reale_02	24.4	Lat Struct										
Reale_02	24 Max WS	-0.16	31.97	37.25	32.08	37.25	0	0	70.72	26.24	0	
Reale_02	23.6	Lat Struct										
Reale_02	23.4	Lat Struct										
Reale_02	23 Max WS	-0.25	32.08	37.25	32.16	37.25	0	0	72.88	26.27	0	
Reale_02	22.6	Lat Struct										
Reale_02	22.4	Lat Struct										
Reale_02	22 Max WS	-0.35	32.01	37.25	32.12	37.25	0	0	71.78	26.07	0	
Reale_02	21.6	Lat Struct										
Reale_02	21.4	Lat Struct										
Reale_02	21 Max WS	-0.44	31.87	37.25	32.06	37.25	0	-0.01	72.17	26.35	0	
Reale_02	20.6	Lat Struct										
Reale_02	20.4	Lat Struct										
Reale_02	20 Max WS	-0.57	31.74	37.25	31.9	37.25	0	-0.01	77.01	26.36	0	
Reale_02	19.6	Lat Struct										
Reale_02	19.4	Lat Struct										
Reale_02	19 Max WS	-0.72	31.58	37.25	31.85	37.25	0	-0.01	77.87	26.68	0	
Reale_02	18.6	Lat Struct										
Reale_02	18.4	Lat Struct										
Reale_02	18 Max WS	-0.8	31.95	37.25	32.09	37.25	0	-0.01	69.5	25.49	0	
Reale_02	17.6	Lat Struct										
Reale_02	17.4	Lat Struct										
Reale_02	17 Max WS	-0.83	32.17	37.25		37.25	0	-0.01	79.7	28.1	0	
Reale_02	16.5	Bridge										
Reale_02	16 Max WS	-0.83	32.17	37.25	32.35	37.25	0	-0.01	80.34	28.1	0	
Reale_02	15.6	Lat Struct										
Reale_02	15.4	Lat Struct										
Reale_02	15 Max WS	-0.84	32.25	37.25	32.46	37.25	0	-0.01	83.44	32.45	0	
Reale_02	14.6	Lat Struct										
Reale_02	14.4	Lat Struct										
Reale_02	14 Max WS	-0.89	31.95	37.25	32.1	37.25	0	-0.01	69.51	25.49	0	
Reale_02	13.6	Lat Struct										
Reale_02	13.4	Lat Struct										
Reale_02	13 Max WS	-1.05	32.04	37.25	32.34	37.25	0	-0.01	73.7	26.87	0	
Reale_02	12.6	Lat Struct										
Reale_02	12.4	Lat Struct										
Reale_02	12 Max WS	-1.04	32.24	37.25	32.39	37.25	0	-0.01	74.04	27.53	0	
Reale_02	11.6	Lat Struct										
Reale_02	11.4	Lat Struct										
Reale_02	11 Max WS	-0.61	32.1	37.25	32.3	37.25	0	-0.01	75.09	27.46	0	
Reale_02	10.6	Lat Struct										
Reale_02	10.4	Lat Struct										
Reale_02	10 Max WS	-0.01	32.08	37.24	32.09	37.24	0	0	61.98	12	0	
Reale_02	9.6	Lat Struct										
Reale_02	9.4	Lat Struct										
Reale_02	9 Max WS	-0.01	30.8	37.24	30.81	37.24	0	0	64.45	10	0	
Reale_02	8.6	Lat Struct										
Reale_02	8.4	Lat Struct										
Reale_02	8 Max WS	0	30.8	37.24	30.81	37.24	0	0	64.44	10	0	
Reale_02	7.6	Inl Struct										
Reale_02	7.1 Max WS	0	30.8	37.41	30.81	37.41	0	0	66.1	10	0	
Reale_02	7 Max WS	0	30.8	37.41	30.81	37.41	0	0	79.32	12	0	
Reale_02	1.6	Lat Struct										
Reale_02	1.4	Lat Struct										
Reale_02	1.1 Max WS	0	31.66	37.41	31.68	37.41	0	0	118.76	34.12	0	
Reale_02	1 Max WS	-0.02	31.66	37.41	31.69	37.41	0	0	118.76	34.12	0	

Reale_02	91.4	Lat Struct										
Reale_02	91 Max WS	2.09	34.67	38.33	34.96	38.33	0.000001	0.05	46.38	23.23	0.01	
Reale_02	90.6	Lat Struct										
Reale_02	90.4	Lat Struct										
Reale_02	90 Max WS	2.04	35.04	38.33	35.26	38.33	0.000001	0.05	42.15	22.89	0.01	
Reale_02	89.6	Lat Struct										
Reale_02	89.4	Lat Struct										
Reale_02	89 Max WS	2.04	35.14	38.33	35.37	38.33	0.000001	0.04	48.05	24.69	0.01	
Reale_02	88.5	Bridge										
Reale_02	88 Max WS	2.04	35.14	38.33	35.37	38.33	0.000001	0.04	48.71	24.88	0.01	
Reale_02	87.6	Lat Struct										
Reale_02	87.4	Lat Struct										
Reale_02	87 Max WS	2.04	35.14	38.33	35.39	38.33	0.000001	0.04	48.34	24.94	0.01	
Reale_02	86.6	Lat Struct										
Reale_02	86.4	Lat Struct										
Reale_02	86 Max WS	2.02	35.06	38.33	35.35	38.33	0.000001	0.05	41.88	22.99	0.01	
Reale_02	85.6	Lat Struct										
Reale_02	85.4	Lat Struct										
Reale_02	85 Max WS	1.98	34.82	38.33	35.01	38.33	0.000001	0.04	45.33	23.13	0.01	
Reale_02	84.6	Lat Struct										
Reale_02	84.4	Lat Struct										
Reale_02	84 Max WS	1.92	34.8	38.32	34.97	38.32	0	0.03	64.6	28.67	0.01	
Reale_02	83.6	Lat Struct										
Reale_02	83.4	Lat Struct										
Reale_02	83 Max WS	1.91	34.62	38.32	34.9	38.32	0	0.02	108.9	42.2	0	
Reale_02	82.6	Lat Struct										
Reale_02	82.4	Lat Struct										
Reale_02	82 Max WS	1.91	34.62	38.32	34.92	38.32	0	0.03	62.04	22.5	0.01	
Reale_02	81.5	Bridge										
Reale_02	81 Max WS	1.91	34.62	38.32	34.92	38.32	0	0.03	62.04	22.5	0.01	
Reale_02	80.6	Lat Struct										
Reale_02	80.4	Lat Struct										
Reale_02	80 Max WS	1.92	34.61	38.32	34.85	38.32	0	0.02	124.55	45.92	0	
Reale_02	79.9 Max WS	1.91	34.6	38.32	34.84	38.32	0	0.02	124.64	45.92	0	
Reale_02	79.6	Lat Struct										
Reale_02	79.4	Lat Struct										
Reale_02	79 Max WS	1.91	34.14	38.32	34.49	38.32	0	0.01	146.53	51.31	0	
Reale_02	78 Max WS	1.89	34.14	38.32	34.49	38.32	0	0.02	75.85	24.72	0	
Reale_02	77.5	Bridge										
Reale_02	77 Max WS	1.91	34.14	38.32	34.49	38.32	0	0.03	75.84	24.72	0	
Reale_02	76.6	Lat Struct										
Reale_02	76.4	Lat Struct										
Reale_02	76 Max WS	1.89	34.09	38.32	34.43	38.32	0	0.03	71.81	24.81	0	
Reale_02	75.6	Lat Struct										
Reale_02	75.4	Lat Struct										
Reale_02	75 Max WS	1.83	34.13	38.32	34.39	38.32	0.000001	0.04	50.28	23.78	0.01	
Reale_02	74.6	Lat Struct										
Reale_02	74.4	Lat Struct										
Reale_02	74 Max WS	1.8	34.01	38.32	34.29	38.32	0.000001	0.04	45.17	22.31	0.01	
Reale_02	73.5	Bridge										
Reale_02	73 Max WS	1.8	34.01	38.32	34.29	38.32	0.000001	0.04	45.17	22.31	0.01	
Reale_02	72.6	Lat Struct										
Reale_02	72.4	Lat Struct										
Reale_02	72 Max WS	1.8	33.98	38.32	34.26	38.32	0.000001	0.04	49.53	24.46	0.01	
Reale_02	71.6	Lat Struct										
Reale_02	71.4	Lat Struct										
Reale_02	71 Max WS	1.8	33.81	38.32	34.17	38.32	0	0.03	53.38	23.4	0.01	
Reale_02	70.06	Lat Struct										
Reale_02	70.04	Lat Struct										
Reale_02	69.6	Lat Struct										
Reale_02	69.4	Lat Struct										
Reale_02	69 Max WS	1.81	33.33	38.32	33.86	38.32	0	0.03	64.84	24.17	0.01	
Reale_02	68.6	Lat Struct										
Reale_02	68.4	Lat Struct										
Reale_02	68 Max WS	1.77	33	38.32	33.53	38.32	0	0.03	62.95	24.53	0.01	

Reale_02	67.6	Lat Struct									
Reale_02	67.4	Lat Struct									
Reale_02	67 Max WS	1.68	33.19	38.32	33.43	38.32	0	0.02	67.16	24.59	0
Reale_02	66.6	Lat Struct									
Reale_02	66.4	Lat Struct									
Reale_02	66 Max WS	1.64	33.16	38.32	33.43	38.32	0	0.02	69.11	25.25	0
Reale_02	65.6	Lat Struct									
Reale_02	65.4	Lat Struct									
Reale_02	65 Max WS	1.57	33.09	38.32	33.36	38.32	0	0.02	71.12	25.41	0
Reale_02	64.6	Lat Struct									
Reale_02	64.4	Lat Struct									
Reale_02	64 Max WS	1.52	32.8	38.32	33.18	38.32	0	0.02	73.68	25.74	0
Reale_02	63.6	Lat Struct									
Reale_02	63.4	Lat Struct									
Reale_02	63 Max WS	1.47	33.21	38.32	33.48	38.32	0	0.02	72.89	25.81	0
Reale_02	62.6	Lat Struct									
Reale_02	62.4	Lat Struct									
Reale_02	62 Max WS	1.43	33.02	38.32	33.45	38.32	0	0.02	72.2	25.75	0
Reale_02	61.6	Lat Struct									
Reale_02	61.4	Lat Struct									
Reale_02	61 Max WS	1.38	32.81	38.32	33.13	38.32	0	0.02	77.34	26.17	0
Reale_02	60.6	Lat Struct									
Reale_02	60.4	Lat Struct									
Reale_02	60 Max WS	1.33	32.82	38.32	33.13	38.32	0	0.02	75.57	26.32	0
Reale_02	59.6	Lat Struct									
Reale_02	59.4	Lat Struct									
Reale_02	59 Max WS	1.27	32.62	38.32	32.84	38.32	0	0.02	82.81	29.75	0
Reale_02	58.6	Lat Struct									
Reale_02	58.4	Lat Struct									
Reale_02	58 Max WS	1.26	32.6	38.32	32.81	38.32	0	0.01	95.17	30.23	0
Reale_02	57.6	Lat Struct									
Reale_02	57.4	Lat Struct									
Reale_02	57 Max WS	1.26	32.57	38.32	32.78	38.32	0	0.01	92.63	29.67	0
Reale_02	56.5	Bridge									
Reale_02	56 Max WS	1.26	32.57	38.32	32.78	38.32	0	0.01	92.62	29.67	0
Reale_02	55.6	Lat Struct									
Reale_02	55.4	Lat Struct									
Reale_02	55 Max WS	1.26	32.57	38.32	32.78	38.32	0	0.01	90.47	27.92	0
Reale_02	54.6	Lat Struct									
Reale_02	54.4	Lat Struct									
Reale_02	54 Max WS	1.25	32.53	38.32	32.76	38.32	0	0.02	80.05	27.91	0
Reale_02	53.6	Lat Struct									
Reale_02	53.4	Lat Struct									
Reale_02	53 Max WS	1.22	32.6	38.32	32.85	38.32	0	0.02	78.94	25.95	0
Reale_02	52.6	Lat Struct									
Reale_02	52.4	Lat Struct									
Reale_02	52 Max WS	1.18	32.68	38.32	32.87	38.32	0	0.01	81.06	26.31	0
Reale_02	51.6	Lat Struct									
Reale_02	51.4	Lat Struct									
Reale_02	51 Max WS	1.14	32.63	38.32	32.86	38.32	0	0.01	81.2	25.92	0
Reale_02	50.6	Lat Struct									
Reale_02	50.4	Lat Struct									
Reale_02	50 Max WS	1.09	32.44	38.32	32.76	38.32	0	0.01	83.68	26.53	0
Reale_02	49.6	Lat Struct									
Reale_02	49.4	Lat Struct									
Reale_02	49 Max WS	1.04	32.49	38.32	32.87	38.32	0	0.01	82.41	27.03	0
Reale_02	48.6	Lat Struct									
Reale_02	48.4	Lat Struct									
Reale_02	48 Max WS	0.98	32.59	38.32	32.87	38.32	0	0.01	85.66	27.4	0
Reale_02	47.6	Lat Struct									
Reale_02	47.4	Lat Struct									
Reale_02	47 Max WS	0.92	32.41	38.32	32.61	38.32	0	0.01	88.08	27.29	0
Reale_02	46.6	Lat Struct									
Reale_02	46.4	Lat Struct									
Reale_02	46 Max WS	0.87	32.39	38.32	32.62	38.32	0	0.01	89.85	27.66	0

Reale_02	25.4	Lat Struct										
Reale_02	25 Max WS	-0.08	32.07	38.31	32.11	38.31	0	0	97.91	28.88	0	
Reale_02	24.6	Lat Struct										
Reale_02	24.4	Lat Struct										
Reale_02	24 Max WS	-0.16	31.97	38.31	32.08	38.31	0	0	100.16	29.21	0	
Reale_02	23.6	Lat Struct										
Reale_02	23.4	Lat Struct										
Reale_02	23 Max WS	-0.24	32.08	38.31	32.16	38.31	0	0	102.34	29.19	0	
Reale_02	22.6	Lat Struct										
Reale_02	22.4	Lat Struct										
Reale_02	22 Max WS	-0.34	32.01	38.31	32.11	38.31	0	0	101.08	29.11	0	
Reale_02	21.6	Lat Struct										
Reale_02	21.4	Lat Struct										
Reale_02	21 Max WS	-0.43	31.87	38.31	32.06	38.31	0	0	101.76	29.36	0	
Reale_02	20.6	Lat Struct										
Reale_02	20.4	Lat Struct										
Reale_02	20 Max WS	-0.56	31.74	38.31	31.9	38.31	0	-0.01	106.66	29.48	0	
Reale_02	19.6	Lat Struct										
Reale_02	19.4	Lat Struct										
Reale_02	19 Max WS	-0.68	31.58	38.31	31.84	38.31	0	-0.01	107.83	29.77	0	
Reale_02	18.6	Lat Struct										
Reale_02	18.4	Lat Struct										
Reale_02	18 Max WS	-0.77	31.95	38.31	32.09	38.31	0	-0.01	98.17	28.51	0	
Reale_02	17.6	Lat Struct										
Reale_02	17.4	Lat Struct										
Reale_02	17 Max WS	-0.82	32.17	38.32		38.32	0	-0.01	110.79	30.55	0	
Reale_02	16.5	Bridge										
Reale_02	16 Max WS	-0.82	32.17	38.32	32.35	38.32	0	-0.01	111.44	30.55	0	
Reale_02	15.6	Lat Struct										
Reale_02	15.4	Lat Struct										
Reale_02	15 Max WS	-0.8	32.25	38.32	32.46	38.32	0	-0.01	118.9	34	0	
Reale_02	14.6	Lat Struct										
Reale_02	14.4	Lat Struct										
Reale_02	14 Max WS	-0.86	31.95	38.32	32.1	38.32	0	-0.01	98.2	28.52	0	
Reale_02	13.6	Lat Struct										
Reale_02	13.4	Lat Struct										
Reale_02	13 Max WS	-1.07	32.04	38.32	32.34	38.32	0	-0.01	103.79	29.81	0	
Reale_02	12.6	Lat Struct										
Reale_02	12.4	Lat Struct										
Reale_02	12 Max WS	-0.99	32.24	38.31	32.38	38.31	0	-0.01	104.74	30.27	0	
Reale_02	11.6	Lat Struct										
Reale_02	11.4	Lat Struct										
Reale_02	11 Max WS	-0.53	32.1	38.31	32.29	38.31	0	0	105.94	30.59	0	
Reale_02	10.6	Lat Struct										
Reale_02	10.4	Lat Struct										
Reale_02	10 Max WS	0.01	32.08	38.31	32.09	38.31	0	0	74.74	12	0	
Reale_02	9.6	Lat Struct										
Reale_02	9.4	Lat Struct										
Reale_02	9 Max WS	0.01	30.8	38.31	30.81	38.31	0	0	75.08	10	0	
Reale_02	8.6	Lat Struct										
Reale_02	8.4	Lat Struct										
Reale_02	8 Max WS	0	30.8	38.31	30.81	38.31	0	0	75.08	10	0	
Reale_02	7.6	Inl Struct										
Reale_02	7.1 Max WS	0	30.8	38.87	30.81	38.87	0	0	80.7	10	0	
Reale_02	7 Max WS	0	30.8	38.87	30.81	38.87	0	0	96.84	12	0	
Reale_02	1.6	Lat Struct										
Reale_02	1.4	Lat Struct										
Reale_02	1.1 Max WS	0	31.66	38.87	31.67	38.87	0	0	172.46	38.67	0	
Reale_02	1 Max WS	-0.02	31.66	38.87	31.69	38.87	0	0	172.46	38.67	0	

Reale_02	91.4	Lat Struct										
Reale_02	91 Max WS	2.02	34.67	39.05	34.95	39.05	0	0.03	63.79	24.98	0.01	
Reale_02	90.6	Lat Struct										
Reale_02	90.4	Lat Struct										
Reale_02	90 Max WS	2	35.04	39.05	35.26	39.05	0	0.03	59.52	25.21	0.01	
Reale_02	89.6	Lat Struct										
Reale_02	89.4	Lat Struct										
Reale_02	89 Max WS	1.99	35.14	39.05	35.37	39.05	0	0.03	66.72	26.96	0.01	
Reale_02	88.5	Bridge										
Reale_02	88 Max WS	1.99	35.14	39.05	35.37	39.05	0	0.03	67.46	27.03	0.01	
Reale_02	87.6	Lat Struct										
Reale_02	87.4	Lat Struct										
Reale_02	87 Max WS	1.99	35.14	39.05	35.39	39.05	0	0.03	67.18	27.23	0.01	
Reale_02	86.6	Lat Struct										
Reale_02	86.4	Lat Struct										
Reale_02	86 Max WS	1.98	35.06	39.05	35.35	39.05	0	0.03	59.28	25.17	0.01	
Reale_02	85.6	Lat Struct										
Reale_02	85.4	Lat Struct										
Reale_02	85 Max WS	1.92	34.82	39.05	35.01	39.05	0	0.03	62.85	25.37	0.01	
Reale_02	84.6	Lat Struct										
Reale_02	84.4	Lat Struct										
Reale_02	84 Max WS	1.86	34.8	39.05	34.96	39.05	0	0.02	85.36	28.75	0	
Reale_02	83.6	Lat Struct										
Reale_02	83.4	Lat Struct										
Reale_02	83 Max WS	1.85	34.62	39.05	34.89	39.05	0	0.01	139.73	43.08	0	
Reale_02	82.6	Lat Struct										
Reale_02	82.4	Lat Struct										
Reale_02	82 Max WS	1.85	34.62	39.05	34.91	39.05	0	0.02	78.55	23.16	0	
Reale_02	81.5	Bridge										
Reale_02	81 Max WS	1.85	34.62	39.05	34.91	39.05	0	0.02	78.54	23.16	0	
Reale_02	80.6	Lat Struct										
Reale_02	80.4	Lat Struct										
Reale_02	80 Max WS	1.85	34.61	39.05	34.84	39.05	0	0.01	158.2	47.17	0	
Reale_02	79.9 Max WS	1.85	34.6	39.05	34.83	39.05	0	0.01	158.29	47.17	0	
Reale_02	79.6	Lat Struct										
Reale_02	79.4	Lat Struct										
Reale_02	79 Max WS	1.85	34.14	39.05	34.48	39.05	0	0.01	183.64	51.32	0	
Reale_02	78 Max WS	1.83	34.14	39.05	34.48	39.05	0	0.02	93.72	24.72	0	
Reale_02	77.5	Bridge										
Reale_02	77 Max WS	1.85	34.14	39.05	34.49	39.05	0	0.02	93.72	24.72	0	
Reale_02	76.6	Lat Struct										
Reale_02	76.4	Lat Struct										
Reale_02	76 Max WS	1.83	34.09	39.05	34.42	39.05	0	0.02	89.9	25.16	0	
Reale_02	75.6	Lat Struct										
Reale_02	75.4	Lat Struct										
Reale_02	75 Max WS	1.78	34.13	39.05	34.39	39.05	0	0.03	68.15	25.64	0.01	
Reale_02	74.6	Lat Struct										
Reale_02	74.4	Lat Struct										
Reale_02	74 Max WS	1.75	34.01	39.05	34.28	39.05	0	0.03	62.28	24.99	0.01	
Reale_02	73.5	Bridge										
Reale_02	73 Max WS	1.75	34.01	39.05	34.28	39.05	0	0.03	62.28	24.99	0.01	
Reale_02	72.6	Lat Struct										
Reale_02	72.4	Lat Struct										
Reale_02	72 Max WS	1.75	33.98	39.05	34.26	39.05	0	0.03	67.98	26.57	0.01	
Reale_02	71.6	Lat Struct										
Reale_02	71.4	Lat Struct										
Reale_02	71 Max WS	1.75	33.81	39.05	34.17	39.05	0	0.02	71.07	25.51	0	
Reale_02	70.06	Lat Struct										
Reale_02	70.04	Lat Struct										
Reale_02	69.6	Lat Struct										
Reale_02	69.4	Lat Struct										
Reale_02	69 Max WS	1.75	33.33	39.05	33.85	39.05	0	0.02	83.07	26.24	0	
Reale_02	68.6	Lat Struct										
Reale_02	68.4	Lat Struct										
Reale_02	68 Max WS	1.7	33	39.05	33.52	39.05	0	0.02	81.42	26.54	0	

Reale_02	67.6	Lat Struct									
Reale_02	67.4	Lat Struct									
Reale_02	67 Max WS	1.63	33.19	39.05	33.43	39.05	0	0.02	85.68	26.59	0
Reale_02	66.6	Lat Struct									
Reale_02	66.4	Lat Struct									
Reale_02	66 Max WS	1.59	33.16	39.05	33.42	39.05	0	0.02	88.1	27.23	0
Reale_02	65.6	Lat Struct									
Reale_02	65.4	Lat Struct									
Reale_02	65 Max WS	1.53	33.09	39.05	33.36	39.05	0	0.02	90.22	27.37	0
Reale_02	64.6	Lat Struct									
Reale_02	64.4	Lat Struct									
Reale_02	64 Max WS	1.48	32.8	39.04	33.17	39.04	0	0.02	92.97	27.57	0
Reale_02	63.6	Lat Struct									
Reale_02	63.4	Lat Struct									
Reale_02	63 Max WS	1.43	33.21	39.04	33.48	39.04	0	0.02	92.23	27.63	0
Reale_02	62.6	Lat Struct									
Reale_02	62.4	Lat Struct									
Reale_02	62 Max WS	1.4	33.02	39.04	33.45	39.04	0	0.02	91.5	27.57	0
Reale_02	61.6	Lat Struct									
Reale_02	61.4	Lat Struct									
Reale_02	61 Max WS	1.35	32.81	39.04	33.13	39.04	0	0.01	96.93	27.93	0
Reale_02	60.6	Lat Struct									
Reale_02	60.4	Lat Struct									
Reale_02	60 Max WS	1.31	32.82	39.04	33.13	39.04	0	0.01	95.26	28.08	0
Reale_02	59.6	Lat Struct									
Reale_02	59.4	Lat Struct									
Reale_02	59 Max WS	1.26	32.62	39.04	32.84	39.04	0	0.01	105.25	32.02	0
Reale_02	58.6	Lat Struct									
Reale_02	58.4	Lat Struct									
Reale_02	58 Max WS	1.25	32.6	39.04	32.81	39.04	0	0.01	117.42	30.97	0
Reale_02	57.6	Lat Struct									
Reale_02	57.4	Lat Struct									
Reale_02	57 Max WS	1.25	32.57	39.04	32.78	39.04	0	0.01	114.45	30.6	0
Reale_02	56.5	Bridge									
Reale_02	56 Max WS	1.25	32.57	39.04	32.78	39.04	0	0.01	114.45	30.6	0
Reale_02	55.6	Lat Struct									
Reale_02	55.4	Lat Struct									
Reale_02	55 Max WS	1.25	32.57	39.04	32.78	39.04	0	0.01	111.06	28.87	0
Reale_02	54.6	Lat Struct									
Reale_02	54.4	Lat Struct									
Reale_02	54 Max WS	1.24	32.53	39.04	32.76	39.04	0	0.01	102.03	31.85	0
Reale_02	53.6	Lat Struct									
Reale_02	53.4	Lat Struct									
Reale_02	53 Max WS	1.21	32.6	39.04	32.85	39.04	0	0.01	98.44	27.9	0
Reale_02	52.6	Lat Struct									
Reale_02	52.4	Lat Struct									
Reale_02	52 Max WS	1.18	32.68	39.04	32.87	39.04	0	0.01	100.86	28.36	0
Reale_02	51.6	Lat Struct									
Reale_02	51.4	Lat Struct									
Reale_02	51 Max WS	1.14	32.63	39.04	32.86	39.04	0	0.01	100.63	27.73	0
Reale_02	50.6	Lat Struct									
Reale_02	50.4	Lat Struct									
Reale_02	50 Max WS	1.09	32.44	39.04	32.76	39.04	0	0.01	103.62	28.5	0
Reale_02	49.6	Lat Struct									
Reale_02	49.4	Lat Struct									
Reale_02	49 Max WS	1.04	32.49	39.04	32.87	39.04	0	0.01	102.75	29.14	0
Reale_02	48.6	Lat Struct									
Reale_02	48.4	Lat Struct									
Reale_02	48 Max WS	0.98	32.59	39.04	32.87	39.04	0	0.01	106.27	29.52	0
Reale_02	47.6	Lat Struct									
Reale_02	47.4	Lat Struct									
Reale_02	47 Max WS	0.91	32.41	39.04	32.61	39.04	0	0.01	108.58	29.3	0
Reale_02	46.6	Lat Struct									
Reale_02	46.4	Lat Struct									
Reale_02	46 Max WS	0.87	32.39	39.04	32.62	39.04	0	0.01	110.62	29.68	0

Reale_02	25.4	Lat Struct										
Reale_02	25 Max WS	-0.04	32.07	39.04	32.1	39.04	0	0	119.61	30.99	0	
Reale_02	24.6	Lat Struct										
Reale_02	24.4	Lat Struct										
Reale_02	24 Max WS	-0.12	31.97	39.04	32.08	39.04	0	0	122.08	31.24	0	
Reale_02	23.6	Lat Struct										
Reale_02	23.4	Lat Struct										
Reale_02	23 Max WS	-0.21	32.08	39.04	32.15	39.04	0	0	124.23	31.19	0	
Reale_02	22.6	Lat Struct										
Reale_02	22.4	Lat Struct										
Reale_02	22 Max WS	-0.31	32.01	39.04	32.11	39.04	0	0	122.94	31.18	0	
Reale_02	21.6	Lat Struct										
Reale_02	21.4	Lat Struct										
Reale_02	21 Max WS	-0.4	31.87	39.04	32.05	39.04	0	0	123.78	31.4	0	
Reale_02	20.6	Lat Struct										
Reale_02	20.4	Lat Struct										
Reale_02	20 Max WS	-0.53	31.74	39.04	31.9	39.04	0	0	128.81	31.61	0	
Reale_02	19.6	Lat Struct										
Reale_02	19.4	Lat Struct										
Reale_02	19 Max WS	-0.66	31.58	39.04	31.84	39.04	0	-0.01	130.18	31.87	0	
Reale_02	18.6	Lat Struct										
Reale_02	18.4	Lat Struct										
Reale_02	18 Max WS	-0.75	31.95	39.04	32.08	39.04	0	-0.01	119.6	30.58	0	
Reale_02	17.6	Lat Struct										
Reale_02	17.4	Lat Struct										
Reale_02	17 Max WS	-0.79	32.17	39.04		39.04	0	-0.01	134.08	33.39	0	
Reale_02	16.5	Bridge										
Reale_02	16 Max WS	-0.76	32.17	39.04	32.34	39.04	0	-0.01	134.73	33.39	0	
Reale_02	15.6	Lat Struct										
Reale_02	15.4	Lat Struct										
Reale_02	15 Max WS	-0.79	32.25	39.04	32.46	39.04	0	-0.01	143.81	34.73	0	
Reale_02	14.6	Lat Struct										
Reale_02	14.4	Lat Struct										
Reale_02	14 Max WS	-0.83	31.95	39.04	32.09	39.04	0	-0.01	119.62	30.58	0	
Reale_02	13.6	Lat Struct										
Reale_02	13.4	Lat Struct										
Reale_02	13 Max WS	-1.05	32.04	39.04	32.34	39.04	0	-0.01	126.12	31.82	0	
Reale_02	12.6	Lat Struct										
Reale_02	12.4	Lat Struct										
Reale_02	12 Max WS	-0.98	32.24	39.04	32.38	39.04	0	-0.01	127.36	32.14	0	
Reale_02	11.6	Lat Struct										
Reale_02	11.4	Lat Struct										
Reale_02	11 Max WS	-0.46	32.1	39.04	32.28	39.04	0	0	128.89	32.72	0	
Reale_02	10.6	Lat Struct										
Reale_02	10.4	Lat Struct										
Reale_02	10 Max WS	0	32.08	39.03	32.09	39.03	0	0	83.46	12	0	
Reale_02	9.6	Lat Struct										
Reale_02	9.4	Lat Struct										
Reale_02	9 Max WS	0	30.8	39.03	30.81	39.03	0	0	82.34	10	0	
Reale_02	8.6	Lat Struct										
Reale_02	8.4	Lat Struct										
Reale_02	8 Max WS	0	30.8	39.03	30.81	39.03	0	0	82.34	10	0	
Reale_02	7.6	Inl Struct										
Reale_02	7.1 Max WS	0	30.8	39.22	30.81	39.22	0	0	84.2	10	0	
Reale_02	7 Max WS	0	30.8	39.22	30.81	39.22	0	0	101.04	12	0	
Reale_02	1.6	Lat Struct										
Reale_02	1.4	Lat Struct										
Reale_02	1.1 Max WS	0	31.66	39.22	31.67	39.22	0	0	186.16	39.56	0	
Reale_02	1 Max WS	-0.02	31.66	39.22	31.69	39.22	0	0	186.16	39.56	0	

Reale_02	91.4	Lat Struct										
Reale_02	91 Max WS	2.28	34.67	39.34	34.97	39.34	0	0.03	71.2	25.68	0.01	
Reale_02	90.6	Lat Struct										
Reale_02	90.4	Lat Struct										
Reale_02	90 Max WS	2.3	35.04	39.34	35.28	39.34	0	0.03	67.03	26.15	0.01	
Reale_02	89.6	Lat Struct										
Reale_02	89.4	Lat Struct										
Reale_02	89 Max WS	2.3	35.14	39.34	35.39	39.34	0	0.03	74.74	27.88	0.01	
Reale_02	88.5	Bridge										
Reale_02	88 Max WS	2.29	35.14	39.34	35.39	39.34	0	0.03	75.5	27.9	0.01	
Reale_02	87.6	Lat Struct										
Reale_02	87.4	Lat Struct										
Reale_02	87 Max WS	2.29	35.14	39.34	35.41	39.34	0	0.03	75.29	28.16	0.01	
Reale_02	86.6	Lat Struct										
Reale_02	86.4	Lat Struct										
Reale_02	86 Max WS	2.29	35.06	39.34	35.38	39.34	0	0.03	66.78	26.06	0.01	
Reale_02	85.6	Lat Struct										
Reale_02	85.4	Lat Struct										
Reale_02	85 Max WS	2.28	34.82	39.34	35.03	39.34	0	0.03	70.43	26.28	0.01	
Reale_02	84.6	Lat Struct										
Reale_02	84.4	Lat Struct										
Reale_02	84 Max WS	2.27	34.8	39.34	34.98	39.34	0	0.02	93.8	28.78	0	
Reale_02	83.6	Lat Struct										
Reale_02	83.4	Lat Struct										
Reale_02	83 Max WS	2.27	34.62	39.34	34.92	39.34	0	0.01	152.43	43.44	0	
Reale_02	82.6	Lat Struct										
Reale_02	82.4	Lat Struct										
Reale_02	82 Max WS	2.27	34.62	39.34	34.94	39.34	0	0.03	85.39	23.43	0	
Reale_02	81.5	Bridge										
Reale_02	81 Max WS	2.27	34.62	39.34	34.94	39.34	0	0.03	85.39	23.43	0	
Reale_02	80.6	Lat Struct										
Reale_02	80.4	Lat Struct										
Reale_02	80 Max WS	2.27	34.61	39.34	34.88	39.34	0	0.01	172.13	47.68	0	
Reale_02	79.9 Max WS	2.27	34.6	39.34	34.87	39.34	0	0.01	172.23	47.68	0	
Reale_02	79.6	Lat Struct										
Reale_02	79.4	Lat Struct										
Reale_02	79 Max WS	2.26	34.14	39.34	34.51	39.34	0	0.01	198.71	51.32	0	
Reale_02	78 Max WS	2.26	34.14	39.34	34.52	39.34	0	0.02	100.98	24.72	0	
Reale_02	77.5	Bridge										
Reale_02	77 Max WS	2.26	34.14	39.34	34.52	39.34	0	0.02	100.98	24.72	0	
Reale_02	76.6	Lat Struct										
Reale_02	76.4	Lat Struct										
Reale_02	76 Max WS	2.25	34.09	39.34	34.46	39.34	0	0.02	97.31	25.25	0	
Reale_02	75.6	Lat Struct										
Reale_02	75.4	Lat Struct										
Reale_02	75 Max WS	2.23	34.13	39.34	34.43	39.34	0	0.03	75.79	26.52	0.01	
Reale_02	74.6	Lat Struct										
Reale_02	74.4	Lat Struct										
Reale_02	74 Max WS	2.23	34.01	39.34	34.33	39.34	0	0.03	69.79	26.08	0.01	
Reale_02	73.5	Bridge										
Reale_02	73 Max WS	2.23	34.01	39.34	34.33	39.34	0	0.03	69.78	26.08	0.01	
Reale_02	72.6	Lat Struct										
Reale_02	72.4	Lat Struct										
Reale_02	72 Max WS	2.23	33.98	39.34	34.3	39.34	0	0.03	75.91	27.42	0.01	
Reale_02	71.6	Lat Struct										
Reale_02	71.4	Lat Struct										
Reale_02	71 Max WS	2.24	33.81	39.34	34.22	39.34	0	0.03	78.69	26.38	0.01	
Reale_02	70.06	Lat Struct										
Reale_02	70.04	Lat Struct										
Reale_02	69.6	Lat Struct										
Reale_02	69.4	Lat Struct										
Reale_02	69 Max WS	2.25	33.33	39.34	33.91	39.34	0	0.02	90.91	27.08	0	
Reale_02	68.6	Lat Struct										
Reale_02	68.4	Lat Struct										
Reale_02	68 Max WS	2.24	33	39.34	33.59	39.34	0	0.03	89.36	27.37	0	

Reale_02	67.6	Lat Struct									
Reale_02	67.4	Lat Struct									
Reale_02	67 Max WS	2.22	33.19	39.34	33.48	39.34	0	0.02	93.63	27.4	0
Reale_02	66.6	Lat Struct									
Reale_02	66.4	Lat Struct									
Reale_02	66 Max WS	2.22	33.16	39.34	33.48	39.34	0	0.02	96.24	28.03	0
Reale_02	65.6	Lat Struct									
Reale_02	65.4	Lat Struct									
Reale_02	65 Max WS	2.2	33.09	39.34	33.42	39.34	0	0.02	98.42	28.17	0
Reale_02	64.6	Lat Struct									
Reale_02	64.4	Lat Struct									
Reale_02	64 Max WS	2.19	32.8	39.34	33.24	39.34	0	0.02	101.22	28.32	0
Reale_02	63.6	Lat Struct									
Reale_02	63.4	Lat Struct									
Reale_02	63 Max WS	2.17	33.21	39.34	33.55	39.34	0	0.02	100.5	28.37	0
Reale_02	62.6	Lat Struct									
Reale_02	62.4	Lat Struct									
Reale_02	62 Max WS	2.16	33.02	39.34	33.52	39.34	0	0.02	99.76	28.32	0
Reale_02	61.6	Lat Struct									
Reale_02	61.4	Lat Struct									
Reale_02	61 Max WS	2.14	32.81	39.34	33.21	39.34	0	0.02	105.3	28.66	0
Reale_02	60.6	Lat Struct									
Reale_02	60.4	Lat Struct									
Reale_02	60 Max WS	2.12	32.82	39.34	33.23	39.34	0	0.02	103.68	28.79	0
Reale_02	59.6	Lat Struct									
Reale_02	59.4	Lat Struct									
Reale_02	59 Max WS	2.1	32.62	39.34	32.92	39.34	0	0.02	114.86	32.85	0
Reale_02	58.6	Lat Struct									
Reale_02	58.4	Lat Struct									
Reale_02	58 Max WS	2.1	32.6	39.34	32.89	39.34	0	0.02	126.61	31.21	0
Reale_02	57.6	Lat Struct									
Reale_02	57.4	Lat Struct									
Reale_02	57 Max WS	2.1	32.57	39.34	32.86	39.34	0	0.02	123.57	30.98	0
Reale_02	56.5	Bridge									
Reale_02	56 Max WS	2.1	32.57	39.34	32.86	39.34	0	0.02	123.57	30.98	0
Reale_02	55.6	Lat Struct									
Reale_02	55.4	Lat Struct									
Reale_02	55 Max WS	2.1	32.57	39.34	32.86	39.34	0	0.02	119.66	29.18	0
Reale_02	54.6	Lat Struct									
Reale_02	54.4	Lat Struct									
Reale_02	54 Max WS	2.09	32.53	39.34	32.85	39.34	0	0.02	111.6	32.79	0
Reale_02	53.6	Lat Struct									
Reale_02	53.4	Lat Struct									
Reale_02	53 Max WS	2.07	32.6	39.34	32.93	39.34	0	0.02	106.83	28.7	0
Reale_02	52.6	Lat Struct									
Reale_02	52.4	Lat Struct									
Reale_02	52 Max WS	2.07	32.68	39.34	32.95	39.34	0	0.02	109.4	29.21	0
Reale_02	51.6	Lat Struct									
Reale_02	51.4	Lat Struct									
Reale_02	51 Max WS	2.05	32.63	39.34	32.94	39.34	0	0.02	108.96	28.47	0
Reale_02	50.6	Lat Struct									
Reale_02	50.4	Lat Struct									
Reale_02	50 Max WS	2.02	32.44	39.34	32.85	39.34	0	0.02	112.19	29.31	0
Reale_02	49.6	Lat Struct									
Reale_02	49.4	Lat Struct									
Reale_02	49 Max WS	2	32.49	39.34	32.98	39.34	0	0.02	111.53	30	0
Reale_02	48.6	Lat Struct									
Reale_02	48.4	Lat Struct									
Reale_02	48 Max WS	1.97	32.59	39.34	32.97	39.34	0	0.02	115.17	30.38	0
Reale_02	47.6	Lat Struct									
Reale_02	47.4	Lat Struct									
Reale_02	47 Max WS	1.94	32.41	39.34	32.71	39.34	0	0.02	117.4	30.12	0
Reale_02	46.6	Lat Struct									
Reale_02	46.4	Lat Struct									
Reale_02	46 Max WS	1.91	32.39	39.34	32.72	39.34	0	0.02	119.56	30.51	0

Reale_02	25.4	Lat Struct										
Reale_02	25 Max WS	-0.49	32.07	39.34	32.18	39.34	0	0	129.01	31.86	0	
Reale_02	24.6	Lat Struct										
Reale_02	24.4	Lat Struct										
Reale_02	24 Max WS	-0.52	31.97	39.34	32.15	39.34	0	0	131.55	32.08	0	
Reale_02	23.6	Lat Struct										
Reale_02	23.4	Lat Struct										
Reale_02	23 Max WS	-0.58	32.08	39.34	32.21	39.34	0	0	133.69	32.02	0	
Reale_02	22.6	Lat Struct										
Reale_02	22.4	Lat Struct										
Reale_02	22 Max WS	-0.63	32.01	39.34	32.16	39.34	0	0	132.41	32.04	0	
Reale_02	21.6	Lat Struct										
Reale_02	21.4	Lat Struct										
Reale_02	21 Max WS	-0.69	31.87	39.34	32.09	39.34	0	-0.01	133.32	32.25	0	
Reale_02	20.6	Lat Struct										
Reale_02	20.4	Lat Struct										
Reale_02	20 Max WS	-0.78	31.74	39.34	31.92	39.34	0	-0.01	138.42	32.49	0	
Reale_02	19.6	Lat Struct										
Reale_02	19.4	Lat Struct										
Reale_02	19 Max WS	-0.85	31.58	39.34	31.87	39.34	0	-0.01	139.87	32.75	0	
Reale_02	18.6	Lat Struct										
Reale_02	18.4	Lat Struct										
Reale_02	18 Max WS	-0.91	31.95	39.34	32.1	39.34	0	-0.01	128.91	31.6	0	
Reale_02	17.6	Lat Struct										
Reale_02	17.4	Lat Struct										
Reale_02	17 Max WS	-0.95	32.17	39.34		39.34	0	-0.01	144.22	34.14	0	
Reale_02	16.5	Bridge										
Reale_02	16 Max WS	-0.95	32.17	39.34	32.36	39.34	0	-0.01	144.87	34.14	0	
Reale_02	15.6	Lat Struct										
Reale_02	15.4	Lat Struct										
Reale_02	15 Max WS	-0.97	32.25	39.34	32.47	39.34	0	-0.01	154.28	35.04	0	
Reale_02	14.6	Lat Struct										
Reale_02	14.4	Lat Struct										
Reale_02	14 Max WS	-1	31.95	39.34	32.11	39.34	0	-0.01	128.93	31.61	0	
Reale_02	13.6	Lat Struct										
Reale_02	13.4	Lat Struct										
Reale_02	13 Max WS	-1.2	32.04	39.34	32.36	39.34	0	-0.01	135.8	32.65	0	
Reale_02	12.6	Lat Struct										
Reale_02	12.4	Lat Struct										
Reale_02	12 Max WS	-1.04	32.24	39.34	32.39	39.34	0	-0.01	137.14	32.92	0	
Reale_02	11.6	Lat Struct										
Reale_02	11.4	Lat Struct										
Reale_02	11 Max WS	-0.45	32.1	39.34	32.27	39.34	0	0	138.86	33.6	0	
Reale_02	10.6	Lat Struct										
Reale_02	10.4	Lat Struct										
Reale_02	10 Max WS	0	32.08	39.34	32.09	39.34	0	0	87.07	12	0	
Reale_02	9.6	Lat Struct										
Reale_02	9.4	Lat Struct										
Reale_02	9 Max WS	0	30.8	39.34	30.81	39.34	0	0	85.35	10	0	
Reale_02	8.6	Lat Struct										
Reale_02	8.4	Lat Struct										
Reale_02	8 Max WS	0	30.8	39.34	30.81	39.34	0	0	85.35	10	0	
Reale_02	7.6	Inl Struct										
Reale_02	7.1 Max WS	0	30.8	39.2	30.81	39.2	0	0	84	10	0	
Reale_02	7 Max WS	0	30.8	39.2	30.81	39.2	0	0	100.8	12	0	
Reale_02	1.6	Lat Struct										
Reale_02	1.4	Lat Struct										
Reale_02	1.1 Max WS	0	31.66	39.2	31.67	39.2	0	0	185.36	39.51	0	
Reale_02	1 Max WS	-0.02	31.66	39.2	31.69	39.2	0	0	185.36	39.51	0	

Reale_02	91.4	Lat Struct										
Reale_02	91 Max WS	17.39	34.67	39	35.64	39.01	0.000024	0.28	62.61	24.86	0.06	
Reale_02	90.6	Lat Struct										
Reale_02	90.4	Lat Struct										
Reale_02	90 Max WS	17.22	35.04	39	35.88	39	0.000029	0.3	58.22	25.04	0.06	
Reale_02	89.6	Lat Struct										
Reale_02	89.4	Lat Struct										
Reale_02	89 Max WS	17.19	35.14	39	36.01	39	0.000021	0.26	65.34	26.8	0.05	
Reale_02	88.5	Bridge										
Reale_02	88 Max WS	17.2	35.14	39	36.01	39	0.000021	0.26	66.07	26.87	0.05	
Reale_02	87.6	Lat Struct										
Reale_02	87.4	Lat Struct										
Reale_02	87 Max WS	17.19	35.14	39	36.02	39	0.000021	0.26	65.78	27.07	0.05	
Reale_02	86.6	Lat Struct										
Reale_02	86.4	Lat Struct										
Reale_02	86 Max WS	17.16	35.06	38.99	36.03	39	0.000029	0.3	57.94	25.01	0.06	
Reale_02	85.6	Lat Struct										
Reale_02	85.4	Lat Struct										
Reale_02	85 Max WS	18.19	34.82	38.99	35.62	39	0.000027	0.3	61.43	25.2	0.06	
Reale_02	84.6	Lat Struct										
Reale_02	84.4	Lat Struct										
Reale_02	84 Max WS	18.17	34.8	38.99	35.48	38.99	0.000013	0.22	83.72	28.74	0.04	
Reale_02	83.6	Lat Struct										
Reale_02	83.4	Lat Struct										
Reale_02	83 Max WS	18.16	34.62	38.99	35.66	38.99	0.000004	0.13	137.33	43.02	0.02	
Reale_02	82.6	Lat Struct										
Reale_02	82.4	Lat Struct										
Reale_02	82 Max WS	18.16	34.62	38.99	35.62	38.99	0.000014	0.24	77.22	23.11	0.04	
Reale_02	81.5	Bridge										
Reale_02	81 Max WS	18.16	34.62	38.99	35.62	38.99	0.000014	0.24	77.18	23.11	0.04	
Reale_02	80.6	Lat Struct										
Reale_02	80.4	Lat Struct										
Reale_02	80 Max WS	18.16	34.61	38.99	35.68	38.99	0.000003	0.12	155.53	47.07	0.02	
Reale_02	79.9 Max WS	18.16	34.6	38.99	35.68	38.99	0.000003	0.12	155.62	47.07	0.02	
Reale_02	79.6	Lat Struct										
Reale_02	79.4	Lat Struct										
Reale_02	79 Max WS	18.15	34.14	38.99	35.23	38.99	0.000002	0.1	180.73	51.32	0.02	
Reale_02	78 Max WS	18.15	34.14	38.99	35.24	38.99	0.000009	0.2	92.29	24.72	0.03	
Reale_02	77.5	Bridge										
Reale_02	77 Max WS	18.16	34.14	38.99	35.24	38.99	0.000009	0.2	92.26	24.72	0.03	
Reale_02	76.6	Lat Struct										
Reale_02	76.4	Lat Struct										
Reale_02	76 Max WS	18.14	34.09	38.99	35.23	38.99	0.000009	0.21	88.41	25.14	0.03	
Reale_02	75.6	Lat Struct										
Reale_02	75.4	Lat Struct										
Reale_02	75 Max WS	18.1	34.13	38.99	35.22	38.99	0.000021	0.27	66.58	25.48	0.05	
Reale_02	74.6	Lat Struct										
Reale_02	74.4	Lat Struct										
Reale_02	74 Max WS	18.06	34.01	38.98	35.28	38.99	0.00003	0.3	60.71	24.76	0.06	
Reale_02	73.5	Bridge										
Reale_02	73 Max WS	18.06	34.01	38.98	35.28	38.99	0.00003	0.3	60.67	24.75	0.06	
Reale_02	72.6	Lat Struct										
Reale_02	72.4	Lat Struct										
Reale_02	72 Max WS	18.06	33.98	38.98	35.2	38.99	0.000024	0.27	66.29	26.38	0.05	
Reale_02	71.6	Lat Struct										
Reale_02	71.4	Lat Struct										
Reale_02	71 Max WS	18.06	33.81	38.98	35.09	38.99	0.000018	0.26	69.45	25.33	0.05	
Reale_02	70.06	Lat Struct										
Reale_02	70.04	Lat Struct										
Reale_02	69.6	Lat Struct										
Reale_02	69.4	Lat Struct										
Reale_02	69 Max WS	18.1	33.33	38.98	34.79	38.99	0.000011	0.22	81.41	26.06	0.04	
Reale_02	68.6	Lat Struct										
Reale_02	68.4	Lat Struct										
Reale_02	68 Max WS	18.1	33	38.98	34.56	38.98	0.000013	0.23	79.72	26.36	0.04	

Reale_02	67.6	Lat Struct									
Reale_02	67.4	Lat Struct									
Reale_02	67 Max WS	18.04	33.19	38.98	34.27	38.98	0.000011	0.21	83.93	26.41	0.04
Reale_02	66.6	Lat Struct									
Reale_02	66.4	Lat Struct									
Reale_02	66 Max WS	17.99	33.16	38.98	34.26	38.98	0.00001	0.21	86.29	27.04	0.04
Reale_02	65.6	Lat Struct									
Reale_02	65.4	Lat Struct									
Reale_02	65 Max WS	17.92	33.09	38.98	34.16	38.98	0.000009	0.2	88.38	27.19	0.04
Reale_02	64.6	Lat Struct									
Reale_02	64.4	Lat Struct									
Reale_02	64 Max WS	17.87	32.8	38.98	34.07	38.98	0.000008	0.2	91.09	27.4	0.03
Reale_02	63.6	Lat Struct									
Reale_02	63.4	Lat Struct									
Reale_02	63 Max WS	17.8	33.21	38.97	34.32	38.98	0.000008	0.2	90.31	27.46	0.03
Reale_02	62.6	Lat Struct									
Reale_02	62.4	Lat Struct									
Reale_02	62 Max WS	17.71	33.02	38.97	34.35	38.98	0.000009	0.2	89.56	27.39	0.03
Reale_02	61.6	Lat Struct									
Reale_02	61.4	Lat Struct									
Reale_02	61 Max WS	17.6	32.81	38.97	34.03	38.97	0.000007	0.19	94.94	27.76	0.03
Reale_02	60.6	Lat Struct									
Reale_02	60.4	Lat Struct									
Reale_02	60 Max WS	17.5	32.82	38.97	34.13	38.97	0.000007	0.19	93.23	27.9	0.03
Reale_02	59.6	Lat Struct									
Reale_02	59.4	Lat Struct									
Reale_02	59 Max WS	17.39	32.62	38.97	33.71	38.97	0.000006	0.17	102.91	31.81	0.03
Reale_02	58.6	Lat Struct									
Reale_02	58.4	Lat Struct									
Reale_02	58 Max WS	17.38	32.6	38.97	33.72	38.97	0.000004	0.15	115.16	30.94	0.02
Reale_02	57.6	Lat Struct									
Reale_02	57.4	Lat Struct									
Reale_02	57 Max WS	17.38	32.57	38.97	33.68	38.97	0.000005	0.15	112.21	30.51	0.03
Reale_02	56.5	Bridge									
Reale_02	56 Max WS	17.39	32.57	38.97	33.68	38.97	0.000005	0.16	112.18	30.51	0.03
Reale_02	55.6	Lat Struct									
Reale_02	55.4	Lat Struct									
Reale_02	55 Max WS	17.38	32.57	38.97	33.68	38.97	0.000005	0.16	108.91	28.78	0.03
Reale_02	54.6	Lat Struct									
Reale_02	54.4	Lat Struct									
Reale_02	54 Max WS	17.38	32.53	38.97	33.69	38.97	0.000007	0.17	99.66	31.62	0.03
Reale_02	53.6	Lat Struct									
Reale_02	53.4	Lat Struct									
Reale_02	53 Max WS	17.33	32.6	38.97	33.73	38.97	0.000007	0.18	96.36	27.7	0.03
Reale_02	52.6	Lat Struct									
Reale_02	52.4	Lat Struct									
Reale_02	52 Max WS	17.24	32.68	38.97	33.69	38.97	0.000006	0.17	98.72	28.15	0.03
Reale_02	51.6	Lat Struct									
Reale_02	51.4	Lat Struct									
Reale_02	51 Max WS	17.12	32.63	38.97	33.68	38.97	0.000006	0.17	98.5	27.54	0.03
Reale_02	50.6	Lat Struct									
Reale_02	50.4	Lat Struct									
Reale_02	50 Max WS	16.94	32.44	38.96	33.61	38.97	0.000005	0.17	101.4	28.29	0.03
Reale_02	49.6	Lat Struct									
Reale_02	49.4	Lat Struct									
Reale_02	49 Max WS	16.76	32.49	38.96	33.78	38.96	0.000006	0.17	100.45	28.91	0.03
Reale_02	48.6	Lat Struct									
Reale_02	48.4	Lat Struct									
Reale_02	48 Max WS	16.63	32.59	38.96	33.7	38.96	0.000005	0.16	103.92	29.28	0.03
Reale_02	47.6	Lat Struct									
Reale_02	47.4	Lat Struct									
Reale_02	47 Max WS	17.68	32.41	38.96	33.52	38.96	0.000005	0.17	106.22	29.07	0.03
Reale_02	46.6	Lat Struct									
Reale_02	46.4	Lat Struct									
Reale_02	46 Max WS	17.67	32.39	38.96	33.49	38.96	0.000005	0.16	108.22	29.46	0.03

Reale_02	25.4	Lat Struct										
Reale_02	25 Max WS	17.64	32.07	38.95	33.1	38.95	0.000004	0.15	116.9	30.73	0.02	
Reale_02	24.6	Lat Struct										
Reale_02	24.4	Lat Struct										
Reale_02	24 Max WS	17.64	31.97	38.95	33.04	38.95	0.000004	0.15	119.34	30.99	0.02	
Reale_02	23.6	Lat Struct										
Reale_02	23.4	Lat Struct										
Reale_02	23 Max WS	17.64	32.08	38.95	33.12	38.95	0.000004	0.15	121.48	30.95	0.02	
Reale_02	22.6	Lat Struct										
Reale_02	22.4	Lat Struct										
Reale_02	22 Max WS	17.65	32.01	38.95	33.04	38.95	0.000004	0.15	120.18	30.93	0.02	
Reale_02	21.6	Lat Struct										
Reale_02	21.4	Lat Struct										
Reale_02	21 Max WS	17.64	31.87	38.95	33.04	38.95	0.000004	0.15	120.98	31.15	0.02	
Reale_02	20.6	Lat Struct										
Reale_02	20.4	Lat Struct										
Reale_02	20 Max WS	17.65	31.74	38.95	32.73	38.95	0.000003	0.14	125.98	31.34	0.02	
Reale_02	19.6	Lat Struct										
Reale_02	19.4	Lat Struct										
Reale_02	19 Max WS	17.65	31.58	38.95	32.72	38.95	0.000003	0.14	127.32	31.61	0.02	
Reale_02	18.6	Lat Struct										
Reale_02	18.4	Lat Struct										
Reale_02	18 Max WS	17.65	31.95	38.95	33.01	38.95	0.000004	0.15	116.83	30.32	0.02	
Reale_02	17.6	Lat Struct										
Reale_02	17.4	Lat Struct										
Reale_02	17 Max WS	17.65	32.17	38.95	33.19	38.95	0.000003	0.13	131.06	33.17	0.02	
Reale_02	16.5	Bridge										
Reale_02	16 Max WS	17.65	32.17	38.95	33.19	38.95	0.000003	0.13	131.68	33.16	0.02	
Reale_02	15.6	Lat Struct										
Reale_02	15.4	Lat Struct										
Reale_02	15 Max WS	17.65	32.25	38.95	33.22	38.95	0.000003	0.13	140.64	34.64	0.02	
Reale_02	14.6	Lat Struct										
Reale_02	14.4	Lat Struct										
Reale_02	14 Max WS	17.65	31.95	38.95	33.01	38.95	0.000004	0.15	116.8	30.32	0.02	
Reale_02	13.6	Lat Struct										
Reale_02	13.4	Lat Struct										
Reale_02	13 Max WS	17.65	32.04	38.95	33.13	38.95	0.000004	0.14	123.17	31.56	0.02	
Reale_02	12.6	Lat Struct										
Reale_02	12.4	Lat Struct										
Reale_02	12 Max WS	17.65	32.24	38.95	33.14	38.95	0.000003	0.14	124.41	31.9	0.02	
Reale_02	11.6	Lat Struct										
Reale_02	11.4	Lat Struct										
Reale_02	11 Max WS	17.65	32.1	38.95	33.12	38.95	0.000003	0.14	125.97	32.45	0.02	
Reale_02	10.6	Lat Struct										
Reale_02	10.4	Lat Struct										
Reale_02	10 Max WS	17.65	32.08	38.95	32.68	38.95	0.000002	0.21	82.39	12	0.03	
Reale_02	9.6	Lat Struct										
Reale_02	9.4	Lat Struct										
Reale_02	9 Max WS	17.65	30.8	38.95	31.48	38.95	0.000004	0.22	81.46	10	0.02	
Reale_02	8.6	Lat Struct										
Reale_02	8.4	Lat Struct										
Reale_02	8 Max WS	17.65	30.8	38.95	31.48	38.95	0.000004	0.22	81.45	10	0.02	
Reale_02	7.6	Inl Struct										
Reale_02	7.1 Max WS	10.9	30.8	38.64	31.29	38.64	0.000002	0.14	78.39	10	0.02	
Reale_02	7 Max WS	10.9	30.8	38.64	31.24	38.64	0.000001	0.12	94.08	12	0.01	
Reale_02	1.6	Lat Struct										
Reale_02	1.4	Lat Struct										
Reale_02	1.1 Max WS	11.55	31.66	38.64	32.31	38.64	0.000001	0.07	163.64	38.08	0.01	
Reale_02	1 Max WS	11.54	31.66	38.64	32.31	38.64	0.000001	0.07	163.64	38.08	0.01	

VecchioTracciato	24.4	Lat Struct									
VecchioTracciato	24 Max WS	-1.73	31.97	38.44	32.28	38.44	0	-0.02	103.77	29.55	0
VecchioTracciato	23.6	Lat Struct									
VecchioTracciato	23.4	Lat Struct									
VecchioTracciato	23 Max WS	-1.89	32.08	38.44	32.34	38.44	0	-0.02	105.95	29.53	0
VecchioTracciato	22.6	Lat Struct									
VecchioTracciato	22.4	Lat Struct									
VecchioTracciato	22 Max WS	-2.17	32.01	38.44	32.3	38.44	0	-0.02	104.73	29.46	0
VecchioTracciato	21.6	Lat Struct									
VecchioTracciato	21.4	Lat Struct									
VecchioTracciato	21 Max WS	-2.5	31.87	38.44	32.28	38.44	0	-0.02	105.46	29.71	0
VecchioTracciato	20.6	Lat Struct									
VecchioTracciato	20.4	Lat Struct									
VecchioTracciato	20 Max WS	-2.48	31.74	38.44	32.07	38.44	0	-0.02	110.36	29.84	0
VecchioTracciato	19.6	Lat Struct									
VecchioTracciato	19.4	Lat Struct									
VecchioTracciato	19 Max WS	-2.76	31.58	38.44	32.04	38.44	0	-0.02	111.6	30.13	0
VecchioTracciato	18.6	Lat Struct									
VecchioTracciato	18.4	Lat Struct									
VecchioTracciato	18 Max WS	-3.05	31.95	38.44	32.29	38.44	0	-0.03	101.82	28.88	0.01
VecchioTracciato	17.6	Lat Struct									
VecchioTracciato	17.4	Lat Struct									
VecchioTracciato	17 Max WS	-3.1	32.17	38.44		38.44	0	-0.03	114.71	31.13	0
VecchioTracciato	16.5	Bridge									
VecchioTracciato	16 Max WS	-3.1	32.17	38.44	32.53	38.44	0	-0.03	115.39	31.14	0
VecchioTracciato	15.6	Lat Struct									
VecchioTracciato	15.4	Lat Struct									
VecchioTracciato	15 Max WS	-3.04	32.25	38.44	32.62	38.44	0	-0.02	123.24	34.13	0
VecchioTracciato	14.6	Lat Struct									
VecchioTracciato	14.4	Lat Struct									
VecchioTracciato	14 Max WS	-3.28	31.95	38.44	32.3	38.44	0	-0.03	101.83	28.88	0.01
VecchioTracciato	13.6	Lat Struct									
VecchioTracciato	13.4	Lat Struct									
VecchioTracciato	13 Max WS	-4.05	32.04	38.45	32.56	38.45	0	-0.04	107.71	30.17	0.01
VecchioTracciato	12.6	Lat Struct									
VecchioTracciato	12.4	Lat Struct									
VecchioTracciato	12 Max WS	-1.21	32.24	38.43	32.41	38.43	0	-0.01	108.25	30.57	0
VecchioTracciato	11.6	Lat Struct									
VecchioTracciato	11.4	Lat Struct									
VecchioTracciato	11 Max WS	0.02	32.1	38.42	32.15	38.42	0	0	109.36	30.91	0
VecchioTracciato	10.6	Lat Struct									
VecchioTracciato	10.4	Lat Struct									
VecchioTracciato	10 Max WS	0	32.08	38.42	32.09	38.42	0	0	76.12	12	0
VecchioTracciato	9.6	Lat Struct									
VecchioTracciato	9.4	Lat Struct									
VecchioTracciato	9 Max WS	0	30.8	38.42	30.81	38.42	0	0	76.23	10	0
VecchioTracciato	8.6	Lat Struct									
VecchioTracciato	8.4	Lat Struct									
VecchioTracciato	8 Max WS	0	30.8	38.42	30.81	38.42	0	0	76.23	10	0
VecchioTracciato	7.6	Inl Struct									
VecchioTracciato	7.1 Max WS	0	30.8	39.76	30.81	39.76	0	0	89.6	10	0
VecchioTracciato	7 Max WS	0	30.8	39.76	30.81	39.76	0	0	107.52	12	0
VecchioTracciato	1.6	Lat Struct									
VecchioTracciato	1.4	Lat Struct									
VecchioTracciato	1.1 Max WS	0.01	31.66	39.76	31.68	39.76	0	0	207.88	40.93	0
VecchioTracciato	1 Max WS	-0.02	31.66	39.76	31.69	39.76	0	0	207.88	40.93	0

VecchioTracciato	24.4	Lat Struct									
VecchioTracciato	24 Max WS	-1.73	31.97	38.44	32.28	38.44	0	-0.02	103.77	29.55	0
VecchioTracciato	23.6	Lat Struct									
VecchioTracciato	23.4	Lat Struct									
VecchioTracciato	23 Max WS	-1.89	32.08	38.44	32.34	38.44	0	-0.02	105.95	29.53	0
VecchioTracciato	22.6	Lat Struct									
VecchioTracciato	22.4	Lat Struct									
VecchioTracciato	22 Max WS	-2.17	32.01	38.44	32.3	38.44	0	-0.02	104.73	29.46	0
VecchioTracciato	21.6	Lat Struct									
VecchioTracciato	21.4	Lat Struct									
VecchioTracciato	21 Max WS	-2.5	31.87	38.44	32.28	38.44	0	-0.02	105.46	29.71	0
VecchioTracciato	20.6	Lat Struct									
VecchioTracciato	20.4	Lat Struct									
VecchioTracciato	20 Max WS	-2.48	31.74	38.44	32.07	38.44	0	-0.02	110.36	29.84	0
VecchioTracciato	19.6	Lat Struct									
VecchioTracciato	19.4	Lat Struct									
VecchioTracciato	19 Max WS	-2.76	31.58	38.44	32.04	38.44	0	-0.02	111.6	30.13	0
VecchioTracciato	18.6	Lat Struct									
VecchioTracciato	18.4	Lat Struct									
VecchioTracciato	18 Max WS	-3.05	31.95	38.44	32.29	38.44	0	-0.03	101.82	28.88	0.01
VecchioTracciato	17.6	Lat Struct									
VecchioTracciato	17.4	Lat Struct									
VecchioTracciato	17 Max WS	-3.1	32.17	38.44		38.44	0	-0.03	114.71	31.13	0
VecchioTracciato	16.5	Bridge									
VecchioTracciato	16 Max WS	-3.1	32.17	38.44	32.53	38.44	0	-0.03	115.39	31.14	0
VecchioTracciato	15.6	Lat Struct									
VecchioTracciato	15.4	Lat Struct									
VecchioTracciato	15 Max WS	-3.04	32.25	38.44	32.62	38.44	0	-0.02	123.24	34.13	0
VecchioTracciato	14.6	Lat Struct									
VecchioTracciato	14.4	Lat Struct									
VecchioTracciato	14 Max WS	-3.28	31.95	38.44	32.3	38.44	0	-0.03	101.83	28.88	0.01
VecchioTracciato	13.6	Lat Struct									
VecchioTracciato	13.4	Lat Struct									
VecchioTracciato	13 Max WS	-4.05	32.04	38.45	32.56	38.45	0	-0.04	107.71	30.17	0.01
VecchioTracciato	12.6	Lat Struct									
VecchioTracciato	12.4	Lat Struct									
VecchioTracciato	12 Max WS	-1.21	32.24	38.43	32.41	38.43	0	-0.01	108.25	30.57	0
VecchioTracciato	11.6	Lat Struct									
VecchioTracciato	11.4	Lat Struct									
VecchioTracciato	11 Max WS	0.02	32.1	38.42	32.15	38.42	0	0	109.36	30.91	0
VecchioTracciato	10.6	Lat Struct									
VecchioTracciato	10.4	Lat Struct									
VecchioTracciato	10 Max WS	0	32.08	38.42	32.09	38.42	0	0	76.12	12	0
VecchioTracciato	9.6	Lat Struct									
VecchioTracciato	9.4	Lat Struct									
VecchioTracciato	9 Max WS	0	30.8	38.42	30.81	38.42	0	0	76.23	10	0
VecchioTracciato	8.6	Lat Struct									
VecchioTracciato	8.4	Lat Struct									
VecchioTracciato	8 Max WS	0	30.8	38.42	30.81	38.42	0	0	76.23	10	0
VecchioTracciato	7.6	Inl Struct									
VecchioTracciato	7.1 Max WS	0	30.8	39.76	30.81	39.76	0	0	89.6	10	0
VecchioTracciato	7 Max WS	0	30.8	39.76	30.81	39.76	0	0	107.52	12	0
VecchioTracciato	1.6	Lat Struct									
VecchioTracciato	1.4	Lat Struct									
VecchioTracciato	1.1 Max WS	0.01	31.66	39.76	31.68	39.76	0	0	207.88	40.93	0
VecchioTracciato	1 Max WS	-0.02	31.66	39.76	31.69	39.76	0	0	207.88	40.93	0

VecchioTracciato	24.4	Lat Struct									
VecchioTracciato	24 Max WS	-1.73	31.97	38.44	32.28	38.44	0	-0.02	103.77	29.55	0
VecchioTracciato	23.6	Lat Struct									
VecchioTracciato	23.4	Lat Struct									
VecchioTracciato	23 Max WS	-1.89	32.08	38.44	32.34	38.44	0	-0.02	105.95	29.53	0
VecchioTracciato	22.6	Lat Struct									
VecchioTracciato	22.4	Lat Struct									
VecchioTracciato	22 Max WS	-2.17	32.01	38.44	32.3	38.44	0	-0.02	104.73	29.46	0
VecchioTracciato	21.6	Lat Struct									
VecchioTracciato	21.4	Lat Struct									
VecchioTracciato	21 Max WS	-2.5	31.87	38.44	32.28	38.44	0	-0.02	105.46	29.71	0
VecchioTracciato	20.6	Lat Struct									
VecchioTracciato	20.4	Lat Struct									
VecchioTracciato	20 Max WS	-2.48	31.74	38.44	32.07	38.44	0	-0.02	110.36	29.84	0
VecchioTracciato	19.6	Lat Struct									
VecchioTracciato	19.4	Lat Struct									
VecchioTracciato	19 Max WS	-2.76	31.58	38.44	32.04	38.44	0	-0.02	111.6	30.13	0
VecchioTracciato	18.6	Lat Struct									
VecchioTracciato	18.4	Lat Struct									
VecchioTracciato	18 Max WS	-3.05	31.95	38.44	32.29	38.44	0	-0.03	101.82	28.88	0.01
VecchioTracciato	17.6	Lat Struct									
VecchioTracciato	17.4	Lat Struct									
VecchioTracciato	17 Max WS	-3.1	32.17	38.44		38.44	0	-0.03	114.71	31.13	0
VecchioTracciato	16.5	Bridge									
VecchioTracciato	16 Max WS	-3.1	32.17	38.44	32.53	38.44	0	-0.03	115.39	31.14	0
VecchioTracciato	15.6	Lat Struct									
VecchioTracciato	15.4	Lat Struct									
VecchioTracciato	15 Max WS	-3.04	32.25	38.44	32.62	38.44	0	-0.02	123.24	34.13	0
VecchioTracciato	14.6	Lat Struct									
VecchioTracciato	14.4	Lat Struct									
VecchioTracciato	14 Max WS	-3.28	31.95	38.44	32.3	38.44	0	-0.03	101.83	28.88	0.01
VecchioTracciato	13.6	Lat Struct									
VecchioTracciato	13.4	Lat Struct									
VecchioTracciato	13 Max WS	-4.05	32.04	38.45	32.56	38.45	0	-0.04	107.71	30.17	0.01
VecchioTracciato	12.6	Lat Struct									
VecchioTracciato	12.4	Lat Struct									
VecchioTracciato	12 Max WS	-1.21	32.24	38.43	32.41	38.43	0	-0.01	108.25	30.57	0
VecchioTracciato	11.6	Lat Struct									
VecchioTracciato	11.4	Lat Struct									
VecchioTracciato	11 Max WS	0.02	32.1	38.42	32.15	38.42	0	0	109.36	30.91	0
VecchioTracciato	10.6	Lat Struct									
VecchioTracciato	10.4	Lat Struct									
VecchioTracciato	10 Max WS	0	32.08	38.42	32.09	38.42	0	0	76.12	12	0
VecchioTracciato	9.6	Lat Struct									
VecchioTracciato	9.4	Lat Struct									
VecchioTracciato	9 Max WS	0	30.8	38.42	30.81	38.42	0	0	76.23	10	0
VecchioTracciato	8.6	Lat Struct									
VecchioTracciato	8.4	Lat Struct									
VecchioTracciato	8 Max WS	0	30.8	38.42	30.81	38.42	0	0	76.23	10	0
VecchioTracciato	7.6	Inl Struct									
VecchioTracciato	7.1 Max WS	0	30.8	39.76	30.81	39.76	0	0	89.6	10	0
VecchioTracciato	7 Max WS	0	30.8	39.76	30.81	39.76	0	0	107.52	12	0
VecchioTracciato	1.6	Lat Struct									
VecchioTracciato	1.4	Lat Struct									
VecchioTracciato	1.1 Max WS	0.01	31.66	39.76	31.68	39.76	0	0	207.88	40.93	0
VecchioTracciato	1 Max WS	-0.02	31.66	39.76	31.69	39.76	0	0	207.88	40.93	0

VecchioTracciato	24.4	Lat Struct									
VecchioTracciato	24 Max WS	-1.73	31.97	38.44	32.28	38.44	0	-0.02	103.77	29.55	0
VecchioTracciato	23.6	Lat Struct									
VecchioTracciato	23.4	Lat Struct									
VecchioTracciato	23 Max WS	-1.89	32.08	38.44	32.34	38.44	0	-0.02	105.95	29.53	0
VecchioTracciato	22.6	Lat Struct									
VecchioTracciato	22.4	Lat Struct									
VecchioTracciato	22 Max WS	-2.17	32.01	38.44	32.3	38.44	0	-0.02	104.73	29.46	0
VecchioTracciato	21.6	Lat Struct									
VecchioTracciato	21.4	Lat Struct									
VecchioTracciato	21 Max WS	-2.5	31.87	38.44	32.28	38.44	0	-0.02	105.46	29.71	0
VecchioTracciato	20.6	Lat Struct									
VecchioTracciato	20.4	Lat Struct									
VecchioTracciato	20 Max WS	-2.48	31.74	38.44	32.07	38.44	0	-0.02	110.36	29.84	0
VecchioTracciato	19.6	Lat Struct									
VecchioTracciato	19.4	Lat Struct									
VecchioTracciato	19 Max WS	-2.76	31.58	38.44	32.04	38.44	0	-0.02	111.6	30.13	0
VecchioTracciato	18.6	Lat Struct									
VecchioTracciato	18.4	Lat Struct									
VecchioTracciato	18 Max WS	-3.05	31.95	38.44	32.29	38.44	0	-0.03	101.82	28.88	0.01
VecchioTracciato	17.6	Lat Struct									
VecchioTracciato	17.4	Lat Struct									
VecchioTracciato	17 Max WS	-3.1	32.17	38.44		38.44	0	-0.03	114.71	31.13	0
VecchioTracciato	16.5	Bridge									
VecchioTracciato	16 Max WS	-3.1	32.17	38.44	32.53	38.44	0	-0.03	115.39	31.14	0
VecchioTracciato	15.6	Lat Struct									
VecchioTracciato	15.4	Lat Struct									
VecchioTracciato	15 Max WS	-3.04	32.25	38.44	32.62	38.44	0	-0.02	123.24	34.13	0
VecchioTracciato	14.6	Lat Struct									
VecchioTracciato	14.4	Lat Struct									
VecchioTracciato	14 Max WS	-3.28	31.95	38.44	32.3	38.44	0	-0.03	101.83	28.88	0.01
VecchioTracciato	13.6	Lat Struct									
VecchioTracciato	13.4	Lat Struct									
VecchioTracciato	13 Max WS	-4.05	32.04	38.45	32.56	38.45	0	-0.04	107.71	30.17	0.01
VecchioTracciato	12.6	Lat Struct									
VecchioTracciato	12.4	Lat Struct									
VecchioTracciato	12 Max WS	-1.21	32.24	38.43	32.41	38.43	0	-0.01	108.25	30.57	0
VecchioTracciato	11.6	Lat Struct									
VecchioTracciato	11.4	Lat Struct									
VecchioTracciato	11 Max WS	0.02	32.1	38.42	32.15	38.42	0	0	109.36	30.91	0
VecchioTracciato	10.6	Lat Struct									
VecchioTracciato	10.4	Lat Struct									
VecchioTracciato	10 Max WS	0	32.08	38.42	32.09	38.42	0	0	76.12	12	0
VecchioTracciato	9.6	Lat Struct									
VecchioTracciato	9.4	Lat Struct									
VecchioTracciato	9 Max WS	0	30.8	38.42	30.81	38.42	0	0	76.23	10	0
VecchioTracciato	8.6	Lat Struct									
VecchioTracciato	8.4	Lat Struct									
VecchioTracciato	8 Max WS	0	30.8	38.42	30.81	38.42	0	0	76.23	10	0
VecchioTracciato	7.6	Inl Struct									
VecchioTracciato	7.1 Max WS	0	30.8	39.76	30.81	39.76	0	0	89.6	10	0
VecchioTracciato	7 Max WS	0	30.8	39.76	30.81	39.76	0	0	107.52	12	0
VecchioTracciato	1.6	Lat Struct									
VecchioTracciato	1.4	Lat Struct									
VecchioTracciato	1.1 Max WS	0.01	31.66	39.76	31.68	39.76	0	0	207.88	40.93	0
VecchioTracciato	1 Max WS	-0.02	31.66	39.76	31.69	39.76	0	0	207.88	40.93	0

VecchioTracciato	24.4	Lat Struct									
VecchioTracciato	24 Max WS	-1.73	31.97	38.44	32.28	38.44	0	-0.02	103.77	29.55	0
VecchioTracciato	23.6	Lat Struct									
VecchioTracciato	23.4	Lat Struct									
VecchioTracciato	23 Max WS	-1.89	32.08	38.44	32.34	38.44	0	-0.02	105.95	29.53	0
VecchioTracciato	22.6	Lat Struct									
VecchioTracciato	22.4	Lat Struct									
VecchioTracciato	22 Max WS	-2.17	32.01	38.44	32.3	38.44	0	-0.02	104.73	29.46	0
VecchioTracciato	21.6	Lat Struct									
VecchioTracciato	21.4	Lat Struct									
VecchioTracciato	21 Max WS	-2.5	31.87	38.44	32.28	38.44	0	-0.02	105.46	29.71	0
VecchioTracciato	20.6	Lat Struct									
VecchioTracciato	20.4	Lat Struct									
VecchioTracciato	20 Max WS	-2.48	31.74	38.44	32.07	38.44	0	-0.02	110.36	29.84	0
VecchioTracciato	19.6	Lat Struct									
VecchioTracciato	19.4	Lat Struct									
VecchioTracciato	19 Max WS	-2.76	31.58	38.44	32.04	38.44	0	-0.02	111.6	30.13	0
VecchioTracciato	18.6	Lat Struct									
VecchioTracciato	18.4	Lat Struct									
VecchioTracciato	18 Max WS	-3.05	31.95	38.44	32.29	38.44	0	-0.03	101.82	28.88	0.01
VecchioTracciato	17.6	Lat Struct									
VecchioTracciato	17.4	Lat Struct									
VecchioTracciato	17 Max WS	-3.1	32.17	38.44		38.44	0	-0.03	114.71	31.13	0
VecchioTracciato	16.5	Bridge									
VecchioTracciato	16 Max WS	-3.1	32.17	38.44	32.53	38.44	0	-0.03	115.39	31.14	0
VecchioTracciato	15.6	Lat Struct									
VecchioTracciato	15.4	Lat Struct									
VecchioTracciato	15 Max WS	-3.04	32.25	38.44	32.62	38.44	0	-0.02	123.24	34.13	0
VecchioTracciato	14.6	Lat Struct									
VecchioTracciato	14.4	Lat Struct									
VecchioTracciato	14 Max WS	-3.28	31.95	38.44	32.3	38.44	0	-0.03	101.83	28.88	0.01
VecchioTracciato	13.6	Lat Struct									
VecchioTracciato	13.4	Lat Struct									
VecchioTracciato	13 Max WS	-4.05	32.04	38.45	32.56	38.45	0	-0.04	107.71	30.17	0.01
VecchioTracciato	12.6	Lat Struct									
VecchioTracciato	12.4	Lat Struct									
VecchioTracciato	12 Max WS	-1.21	32.24	38.43	32.41	38.43	0	-0.01	108.25	30.57	0
VecchioTracciato	11.6	Lat Struct									
VecchioTracciato	11.4	Lat Struct									
VecchioTracciato	11 Max WS	0.02	32.1	38.42	32.15	38.42	0	0	109.36	30.91	0
VecchioTracciato	10.6	Lat Struct									
VecchioTracciato	10.4	Lat Struct									
VecchioTracciato	10 Max WS	0	32.08	38.42	32.09	38.42	0	0	76.12	12	0
VecchioTracciato	9.6	Lat Struct									
VecchioTracciato	9.4	Lat Struct									
VecchioTracciato	9 Max WS	0	30.8	38.42	30.81	38.42	0	0	76.23	10	0
VecchioTracciato	8.6	Lat Struct									
VecchioTracciato	8.4	Lat Struct									
VecchioTracciato	8 Max WS	0	30.8	38.42	30.81	38.42	0	0	76.23	10	0
VecchioTracciato	7.6	Inl Struct									
VecchioTracciato	7.1 Max WS	0	30.8	39.76	30.81	39.76	0	0	89.6	10	0
VecchioTracciato	7 Max WS	0	30.8	39.76	30.81	39.76	0	0	107.52	12	0
VecchioTracciato	1.6	Lat Struct									
VecchioTracciato	1.4	Lat Struct									
VecchioTracciato	1.1 Max WS	0.01	31.66	39.76	31.68	39.76	0	0	207.88	40.93	0
VecchioTracciato	1 Max WS	-0.02	31.66	39.76	31.69	39.76	0	0	207.88	40.93	0

VecchioTracciato	24.4	Lat Struct									
VecchioTracciato	24 Max WS	-1.73	31.97	38.44	32.28	38.44	0	-0.02	103.77	29.55	0
VecchioTracciato	23.6	Lat Struct									
VecchioTracciato	23.4	Lat Struct									
VecchioTracciato	23 Max WS	-1.89	32.08	38.44	32.34	38.44	0	-0.02	105.95	29.53	0
VecchioTracciato	22.6	Lat Struct									
VecchioTracciato	22.4	Lat Struct									
VecchioTracciato	22 Max WS	-2.17	32.01	38.44	32.3	38.44	0	-0.02	104.73	29.46	0
VecchioTracciato	21.6	Lat Struct									
VecchioTracciato	21.4	Lat Struct									
VecchioTracciato	21 Max WS	-2.5	31.87	38.44	32.28	38.44	0	-0.02	105.46	29.71	0
VecchioTracciato	20.6	Lat Struct									
VecchioTracciato	20.4	Lat Struct									
VecchioTracciato	20 Max WS	-2.48	31.74	38.44	32.07	38.44	0	-0.02	110.36	29.84	0
VecchioTracciato	19.6	Lat Struct									
VecchioTracciato	19.4	Lat Struct									
VecchioTracciato	19 Max WS	-2.76	31.58	38.44	32.04	38.44	0	-0.02	111.6	30.13	0
VecchioTracciato	18.6	Lat Struct									
VecchioTracciato	18.4	Lat Struct									
VecchioTracciato	18 Max WS	-3.05	31.95	38.44	32.29	38.44	0	-0.03	101.82	28.88	0.01
VecchioTracciato	17.6	Lat Struct									
VecchioTracciato	17.4	Lat Struct									
VecchioTracciato	17 Max WS	-3.1	32.17	38.44		38.44	0	-0.03	114.71	31.13	0
VecchioTracciato	16.5	Bridge									
VecchioTracciato	16 Max WS	-3.1	32.17	38.44	32.53	38.44	0	-0.03	115.39	31.14	0
VecchioTracciato	15.6	Lat Struct									
VecchioTracciato	15.4	Lat Struct									
VecchioTracciato	15 Max WS	-3.04	32.25	38.44	32.62	38.44	0	-0.02	123.24	34.13	0
VecchioTracciato	14.6	Lat Struct									
VecchioTracciato	14.4	Lat Struct									
VecchioTracciato	14 Max WS	-3.28	31.95	38.44	32.3	38.44	0	-0.03	101.83	28.88	0.01
VecchioTracciato	13.6	Lat Struct									
VecchioTracciato	13.4	Lat Struct									
VecchioTracciato	13 Max WS	-4.05	32.04	38.45	32.56	38.45	0	-0.04	107.71	30.17	0.01
VecchioTracciato	12.6	Lat Struct									
VecchioTracciato	12.4	Lat Struct									
VecchioTracciato	12 Max WS	-1.21	32.24	38.43	32.41	38.43	0	-0.01	108.25	30.57	0
VecchioTracciato	11.6	Lat Struct									
VecchioTracciato	11.4	Lat Struct									
VecchioTracciato	11 Max WS	0.02	32.1	38.42	32.15	38.42	0	0	109.36	30.91	0
VecchioTracciato	10.6	Lat Struct									
VecchioTracciato	10.4	Lat Struct									
VecchioTracciato	10 Max WS	0	32.08	38.42	32.09	38.42	0	0	76.12	12	0
VecchioTracciato	9.6	Lat Struct									
VecchioTracciato	9.4	Lat Struct									
VecchioTracciato	9 Max WS	0	30.8	38.42	30.81	38.42	0	0	76.23	10	0
VecchioTracciato	8.6	Lat Struct									
VecchioTracciato	8.4	Lat Struct									
VecchioTracciato	8 Max WS	0	30.8	38.42	30.81	38.42	0	0	76.23	10	0
VecchioTracciato	7.6	Inl Struct									
VecchioTracciato	7.1 Max WS	0	30.8	39.76	30.81	39.76	0	0	89.6	10	0
VecchioTracciato	7 Max WS	0	30.8	39.76	30.81	39.76	0	0	107.52	12	0
VecchioTracciato	1.6	Lat Struct									
VecchioTracciato	1.4	Lat Struct									
VecchioTracciato	1.1 Max WS	0.01	31.66	39.76	31.68	39.76	0	0	207.88	40.93	0
VecchioTracciato	1 Max WS	-0.02	31.66	39.76	31.69	39.76	0	0	207.88	40.93	0

VecchioTracciato	24.4	Lat Struct									
VecchioTracciato	24 Max WS	-1.73	31.97	38.44	32.28	38.44	0	-0.02	103.77	29.55	0
VecchioTracciato	23.6	Lat Struct									
VecchioTracciato	23.4	Lat Struct									
VecchioTracciato	23 Max WS	-1.89	32.08	38.44	32.34	38.44	0	-0.02	105.95	29.53	0
VecchioTracciato	22.6	Lat Struct									
VecchioTracciato	22.4	Lat Struct									
VecchioTracciato	22 Max WS	-2.17	32.01	38.44	32.3	38.44	0	-0.02	104.73	29.46	0
VecchioTracciato	21.6	Lat Struct									
VecchioTracciato	21.4	Lat Struct									
VecchioTracciato	21 Max WS	-2.5	31.87	38.44	32.28	38.44	0	-0.02	105.46	29.71	0
VecchioTracciato	20.6	Lat Struct									
VecchioTracciato	20.4	Lat Struct									
VecchioTracciato	20 Max WS	-2.48	31.74	38.44	32.07	38.44	0	-0.02	110.36	29.84	0
VecchioTracciato	19.6	Lat Struct									
VecchioTracciato	19.4	Lat Struct									
VecchioTracciato	19 Max WS	-2.76	31.58	38.44	32.04	38.44	0	-0.02	111.6	30.13	0
VecchioTracciato	18.6	Lat Struct									
VecchioTracciato	18.4	Lat Struct									
VecchioTracciato	18 Max WS	-3.05	31.95	38.44	32.29	38.44	0	-0.03	101.82	28.88	0.01
VecchioTracciato	17.6	Lat Struct									
VecchioTracciato	17.4	Lat Struct									
VecchioTracciato	17 Max WS	-3.1	32.17	38.44		38.44	0	-0.03	114.71	31.13	0
VecchioTracciato	16.5	Bridge									
VecchioTracciato	16 Max WS	-3.1	32.17	38.44	32.53	38.44	0	-0.03	115.39	31.14	0
VecchioTracciato	15.6	Lat Struct									
VecchioTracciato	15.4	Lat Struct									
VecchioTracciato	15 Max WS	-3.04	32.25	38.44	32.62	38.44	0	-0.02	123.24	34.13	0
VecchioTracciato	14.6	Lat Struct									
VecchioTracciato	14.4	Lat Struct									
VecchioTracciato	14 Max WS	-3.28	31.95	38.44	32.3	38.44	0	-0.03	101.83	28.88	0.01
VecchioTracciato	13.6	Lat Struct									
VecchioTracciato	13.4	Lat Struct									
VecchioTracciato	13 Max WS	-4.05	32.04	38.45	32.56	38.45	0	-0.04	107.71	30.17	0.01
VecchioTracciato	12.6	Lat Struct									
VecchioTracciato	12.4	Lat Struct									
VecchioTracciato	12 Max WS	-1.21	32.24	38.43	32.41	38.43	0	-0.01	108.25	30.57	0
VecchioTracciato	11.6	Lat Struct									
VecchioTracciato	11.4	Lat Struct									
VecchioTracciato	11 Max WS	0.02	32.1	38.42	32.15	38.42	0	0	109.36	30.91	0
VecchioTracciato	10.6	Lat Struct									
VecchioTracciato	10.4	Lat Struct									
VecchioTracciato	10 Max WS	0	32.08	38.42	32.09	38.42	0	0	76.12	12	0
VecchioTracciato	9.6	Lat Struct									
VecchioTracciato	9.4	Lat Struct									
VecchioTracciato	9 Max WS	0	30.8	38.42	30.81	38.42	0	0	76.23	10	0
VecchioTracciato	8.6	Lat Struct									
VecchioTracciato	8.4	Lat Struct									
VecchioTracciato	8 Max WS	0	30.8	38.42	30.81	38.42	0	0	76.23	10	0
VecchioTracciato	7.6	Inl Struct									
VecchioTracciato	7.1 Max WS	0	30.8	39.76	30.81	39.76	0	0	89.6	10	0
VecchioTracciato	7 Max WS	0	30.8	39.76	30.81	39.76	0	0	107.52	12	0
VecchioTracciato	1.6	Lat Struct									
VecchioTracciato	1.4	Lat Struct									
VecchioTracciato	1.1 Max WS	0.01	31.66	39.76	31.68	39.76	0	0	207.88	40.93	0
VecchioTracciato	1 Max WS	-0.02	31.66	39.76	31.69	39.76	0	0	207.88	40.93	0

VecchioTracciato	24.4	Lat Struct									
VecchioTracciato	24 Max WS	-1.73	31.97	38.44	32.28	38.44	0	-0.02	103.77	29.55	0
VecchioTracciato	23.6	Lat Struct									
VecchioTracciato	23.4	Lat Struct									
VecchioTracciato	23 Max WS	-1.89	32.08	38.44	32.34	38.44	0	-0.02	105.95	29.53	0
VecchioTracciato	22.6	Lat Struct									
VecchioTracciato	22.4	Lat Struct									
VecchioTracciato	22 Max WS	-2.17	32.01	38.44	32.3	38.44	0	-0.02	104.73	29.46	0
VecchioTracciato	21.6	Lat Struct									
VecchioTracciato	21.4	Lat Struct									
VecchioTracciato	21 Max WS	-2.5	31.87	38.44	32.28	38.44	0	-0.02	105.46	29.71	0
VecchioTracciato	20.6	Lat Struct									
VecchioTracciato	20.4	Lat Struct									
VecchioTracciato	20 Max WS	-2.48	31.74	38.44	32.07	38.44	0	-0.02	110.36	29.84	0
VecchioTracciato	19.6	Lat Struct									
VecchioTracciato	19.4	Lat Struct									
VecchioTracciato	19 Max WS	-2.76	31.58	38.44	32.04	38.44	0	-0.02	111.6	30.13	0
VecchioTracciato	18.6	Lat Struct									
VecchioTracciato	18.4	Lat Struct									
VecchioTracciato	18 Max WS	-3.05	31.95	38.44	32.29	38.44	0	-0.03	101.82	28.88	0.01
VecchioTracciato	17.6	Lat Struct									
VecchioTracciato	17.4	Lat Struct									
VecchioTracciato	17 Max WS	-3.1	32.17	38.44		38.44	0	-0.03	114.71	31.13	0
VecchioTracciato	16.5	Bridge									
VecchioTracciato	16 Max WS	-3.1	32.17	38.44	32.53	38.44	0	-0.03	115.39	31.14	0
VecchioTracciato	15.6	Lat Struct									
VecchioTracciato	15.4	Lat Struct									
VecchioTracciato	15 Max WS	-3.04	32.25	38.44	32.62	38.44	0	-0.02	123.24	34.13	0
VecchioTracciato	14.6	Lat Struct									
VecchioTracciato	14.4	Lat Struct									
VecchioTracciato	14 Max WS	-3.28	31.95	38.44	32.3	38.44	0	-0.03	101.83	28.88	0.01
VecchioTracciato	13.6	Lat Struct									
VecchioTracciato	13.4	Lat Struct									
VecchioTracciato	13 Max WS	-4.05	32.04	38.45	32.56	38.45	0	-0.04	107.71	30.17	0.01
VecchioTracciato	12.6	Lat Struct									
VecchioTracciato	12.4	Lat Struct									
VecchioTracciato	12 Max WS	-1.21	32.24	38.43	32.41	38.43	0	-0.01	108.25	30.57	0
VecchioTracciato	11.6	Lat Struct									
VecchioTracciato	11.4	Lat Struct									
VecchioTracciato	11 Max WS	0.02	32.1	38.42	32.15	38.42	0	0	109.36	30.91	0
VecchioTracciato	10.6	Lat Struct									
VecchioTracciato	10.4	Lat Struct									
VecchioTracciato	10 Max WS	0	32.08	38.42	32.09	38.42	0	0	76.12	12	0
VecchioTracciato	9.6	Lat Struct									
VecchioTracciato	9.4	Lat Struct									
VecchioTracciato	9 Max WS	0	30.8	38.42	30.81	38.42	0	0	76.23	10	0
VecchioTracciato	8.6	Lat Struct									
VecchioTracciato	8.4	Lat Struct									
VecchioTracciato	8 Max WS	0	30.8	38.42	30.81	38.42	0	0	76.23	10	0
VecchioTracciato	7.6	Inl Struct									
VecchioTracciato	7.1 Max WS	0	30.8	39.76	30.81	39.76	0	0	89.6	10	0
VecchioTracciato	7 Max WS	0	30.8	39.76	30.81	39.76	0	0	107.52	12	0
VecchioTracciato	1.6	Lat Struct									
VecchioTracciato	1.4	Lat Struct									
VecchioTracciato	1.1 Max WS	0.01	31.66	39.76	31.68	39.76	0	0	207.88	40.93	0
VecchioTracciato	1 Max WS	-0.02	31.66	39.76	31.69	39.76	0	0	207.88	40.93	0

VecchioTracciato	43.5	Max WS	-0.2	32.36	38.26	32.51	38.26	0	0	101.77	32.48	0
VecchioTracciato	43.26		Lat Struct									
VecchioTracciato	43.24		Lat Struct									
VecchioTracciato	43	Max WS	-0.16	32.46	38.26	32.59	38.26	0	0	85.35	27.96	0
VecchioTracciato	42.6		Lat Struct									
VecchioTracciato	42.4		Lat Struct									
VecchioTracciato	42	Max WS	-0.33	32.2	38.26	32.37	38.26	0	0	93.41	28.23	0
VecchioTracciato	41.6		Lat Struct									
VecchioTracciato	41.4		Lat Struct									
VecchioTracciato	41	Max WS	-0.31	32.22	38.26	32.36	38.26	0	0	91.58	28.59	0
VecchioTracciato	40.6		Lat Struct									
VecchioTracciato	40.4		Lat Struct									
VecchioTracciato	40	Max WS	-0.2	32.12	38.26	32.26	38.26	0	0	93.18	27.66	0
VecchioTracciato	39.6		Lat Struct									
VecchioTracciato	39.4		Lat Struct									
VecchioTracciato	39	Max WS	-0.2	32.31	38.26	32.42	38.26	0	0	91.7	29.07	0
VecchioTracciato	38.6		Lat Struct									
VecchioTracciato	38.4		Lat Struct									
VecchioTracciato	38	Max WS	-0.4	32.48	38.26		38.26	0	0	129.25	36.31	0
VecchioTracciato	37.5		Bridge									
VecchioTracciato	37.1	Max WS	-0.4	32.49	38.26	32.59	38.26	0	0	116.9	32.08	0
VecchioTracciato	37	Max WS	-0.41	32.49	38.26		38.26	0	0	116.9	32.08	0
VecchioTracciato	36.5		Bridge									
VecchioTracciato	36	Max WS	-0.41	32.49	38.26	32.59	38.26	0	0	116.9	32.08	0
VecchioTracciato	35.6		Lat Struct									
VecchioTracciato	35.4		Lat Struct									
VecchioTracciato	35	Max WS	-0.38	32.3	38.26	32.51	38.26	0	0	117.45	30.78	0
VecchioTracciato	34.6		Lat Struct									
VecchioTracciato	34.4		Lat Struct									
VecchioTracciato	34	Max WS	-0.66	32.16	38.26	32.32	38.26	0	-0.01	90.75	27.76	0
VecchioTracciato	33.6		Lat Struct									
VecchioTracciato	33.4		Lat Struct									
VecchioTracciato	33	Max WS	-0.39	32.12	38.26	32.25	38.26	0	0	91.46	27.87	0
VecchioTracciato	32.6		Lat Struct									
VecchioTracciato	32.4		Lat Struct									
VecchioTracciato	32	Max WS	-0.59	32.07	38.26	32.23	38.26	0	-0.01	92.91	28.17	0
VecchioTracciato	31.6		Lat Struct									
VecchioTracciato	31.4		Lat Struct									
VecchioTracciato	31	Max WS	-0.37	32.13	38.26	32.25	38.26	0	0	92.93	28.2	0
VecchioTracciato	30.6		Lat Struct									
VecchioTracciato	30.4		Lat Struct									
VecchioTracciato	30	Max WS	-0.53	32.02	38.26	32.14	38.26	0	-0.01	93.43	28.13	0
VecchioTracciato	29.6		Lat Struct									
VecchioTracciato	29.4		Lat Struct									
VecchioTracciato	29	Max WS	-0.57	32.06	38.26	32.25	38.26	0	-0.01	94.05	28.27	0
VecchioTracciato	28.6		Lat Struct									
VecchioTracciato	28.4		Lat Struct									
VecchioTracciato	28	Max WS	-0.6	32.14	38.26	32.3	38.26	0	-0.01	90.2	27.63	0
VecchioTracciato	27.6		Lat Struct									
VecchioTracciato	27.4		Lat Struct									
VecchioTracciato	27	Max WS	-0.64	31.92	38.26	32.12	38.26	0	-0.01	95.75	28.45	0
VecchioTracciato	26.6		Lat Struct									
VecchioTracciato	26.4		Lat Struct									
VecchioTracciato	26	Max WS	-0.73	32	38.26	32.21	38.26	0	-0.01	98.11	28.53	0
VecchioTracciato	25.6		Lat Struct									
VecchioTracciato	25.4		Lat Struct									
VecchioTracciato	25	Max WS	-0.81	32.07	38.25	32.22	38.25	0	-0.01	96.19	28.71	0
VecchioTracciato	24.6		Lat Struct									
VecchioTracciato	24.4		Lat Struct									
VecchioTracciato	24	Max WS	-0.9	31.97	38.25	32.2	38.25	0	-0.01	98.43	29.04	0
VecchioTracciato	23.6		Lat Struct									
VecchioTracciato	23.4		Lat Struct									
VecchioTracciato	23	Max WS	-0.99	32.08	38.25	32.26	38.25	0	-0.01	100.61	29.03	0
VecchioTracciato	22.6		Lat Struct									
VecchioTracciato	22.4		Lat Struct									
VecchioTracciato	22	Max WS	-0.98	32.01	38.26	32.2	38.26	0	-0.01	99.37	28.94	0
VecchioTracciato	21.6		Lat Struct									
VecchioTracciato	21.4		Lat Struct									
VecchioTracciato	21	Max WS	-1.12	31.87	38.26	32.15	38.26	0	-0.01	100.02	29.19	0

VecchioTracciato	20.6	Lat Struct										
VecchioTracciato	20.4	Lat Struct										
VecchioTracciato	20	Max WS	-1.32	31.74	38.26	31.98	38.26	0	-0.01	104.94	29.31	0
VecchioTracciato	19.6	Lat Struct										
VecchioTracciato	19.4	Lat Struct										
VecchioTracciato	19	Max WS	-1.44	31.58	38.26	31.93	38.26	0	-0.01	106.1	29.6	0
VecchioTracciato	18.6	Lat Struct										
VecchioTracciato	18.4	Lat Struct										
VecchioTracciato	18	Max WS	-1.57	31.95	38.26	32.17	38.26	0	-0.02	96.53	28.35	0
VecchioTracciato	17.6	Lat Struct										
VecchioTracciato	17.4	Lat Struct										
VecchioTracciato	17	Max WS	-1.59	32.17	38.26		38.26	0	-0.01	109.03	30.33	0
VecchioTracciato	16.5	Bridge										
VecchioTracciato	16	Max WS	-1.61	32.17	38.26	32.42	38.26	0	-0.01	109.67	30.33	0
VecchioTracciato	15.6	Lat Struct										
VecchioTracciato	15.4	Lat Struct										
VecchioTracciato	15	Max WS	-1.61	32.25	38.26	32.53	38.26	0	-0.01	116.94	33.94	0
VecchioTracciato	14.6	Lat Struct										
VecchioTracciato	14.4	Lat Struct										
VecchioTracciato	14	Max WS	-1.58	31.95	38.26	32.17	38.26	0	-0.02	96.55	28.35	0
VecchioTracciato	13.6	Lat Struct										
VecchioTracciato	13.4	Lat Struct										
VecchioTracciato	13	Max WS	-1.78	32.04	38.26	32.41	38.26	0	-0.02	102.07	29.65	0
VecchioTracciato	12.6	Lat Struct										
VecchioTracciato	12.4	Lat Struct										
VecchioTracciato	12	Max WS	-1.85	32.24	38.26	32.46	38.26	0	-0.02	103	30.12	0
VecchioTracciato	11.6	Lat Struct										
VecchioTracciato	11.4	Lat Struct										
VecchioTracciato	11	Max WS	-2.68	32.1	38.26	32.47	38.26	0	-0.03	104.4	30.44	0
VecchioTracciato	10.6	Lat Struct										
VecchioTracciato	10.4	Lat Struct										
VecchioTracciato	10	Max WS	-1.25	32.08	38.26	32.18	38.26	0	-0.02	74.18	12	0
VecchioTracciato	9.6	Lat Struct										
VecchioTracciato	9.4	Lat Struct										
VecchioTracciato	9	Max WS	-1.39	30.8	38.26	30.93	38.26	0	-0.02	74.63	10	0
VecchioTracciato	8.6	Lat Struct										
VecchioTracciato	8.4	Lat Struct										
VecchioTracciato	8	Max WS	0	30.8	38.25	30.81	38.25	0	0	74.46	10	0
VecchioTracciato	7.6	Inl Struct										
VecchioTracciato	7.1	Max WS	0	30.8	38.78	30.81	38.78	0	0	79.8	10	0
VecchioTracciato	7	Max WS	0	30.8	38.78	30.81	38.78	0	0	95.76	12	0
VecchioTracciato	1.6	Lat Struct										
VecchioTracciato	1.4	Lat Struct										
VecchioTracciato	1.1	Max WS	0	31.66	38.78	31.67	38.78	0	0	169	38.44	0
VecchioTracciato	1	Max WS	-0.02	31.66	38.78	31.69	38.78	0	0	169	38.44	0
VecchioTracciato	9	Max WS	0	30.8	38.42	30.81	38.42	0	0	76.23	10	0
VecchioTracciato	8.6	Lat Struct										
VecchioTracciato	8.4	Lat Struct										
VecchioTracciato	8	Max WS	0	30.8	38.42	30.81	38.42	0	0	76.23	10	0
VecchioTracciato	7.6	Inl Struct										
VecchioTracciato	7.1	Max WS	0	30.8	39.76	30.81	39.76	0	0	89.6	10	0
VecchioTracciato	7	Max WS	0	30.8	39.76	30.81	39.76	0	0	107.52	12	0
VecchioTracciato	1.6	Lat Struct										
VecchioTracciato	1.4	Lat Struct										
VecchioTracciato	1.1	Max WS	0.01	31.66	39.76	31.68	39.76	0	0	207.88	40.93	0
VecchioTracciato	1	Max WS	-0.02	31.66	39.76	31.69	39.76	0	0	207.88	40.93	0

VecchioTracciato	43.5	Max WS	-1.73	32.36	38.91	32.74	38.91	0	-0.01	123.21	33.34	0
VecchioTracciato	43.26		Lat Struct									
VecchioTracciato	43.24		Lat Struct									
VecchioTracciato	43	Max WS	-1.75	32.46	38.91	32.81	38.91	0	-0.02	104.06	29.93	0
VecchioTracciato	42.6		Lat Struct									
VecchioTracciato	42.4		Lat Struct									
VecchioTracciato	42	Max WS	-2.01	32.2	38.9	32.55	38.9	0	-0.02	112.22	30	0
VecchioTracciato	41.6		Lat Struct									
VecchioTracciato	41.4		Lat Struct									
VecchioTracciato	41	Max WS	-1.88	32.22	38.9	32.54	38.9	0	-0.02	110.6	30.28	0
VecchioTracciato	40.6		Lat Struct									
VecchioTracciato	40.4		Lat Struct									
VecchioTracciato	40	Max WS	-2.05	32.12	38.9	32.48	38.9	0	-0.02	111.66	29.45	0
VecchioTracciato	39.6		Lat Struct									
VecchioTracciato	39.4		Lat Struct									
VecchioTracciato	39	Max WS	-2.06	32.31	38.9	32.62	38.9	0	-0.02	111.18	31.11	0
VecchioTracciato	38.6		Lat Struct									
VecchioTracciato	38.4		Lat Struct									
VecchioTracciato	38	Max WS	-2.12	32.48	38.9		38.9	0	-0.01	153.3	38.11	0
VecchioTracciato	37.5		Bridge									
VecchioTracciato	37.1	Max WS	-2.12	32.49	38.9	32.78	38.9	0	-0.02	137.69	32.09	0
VecchioTracciato	37	Max WS	-2.12	32.49	38.9		38.9	0	-0.02	137.69	32.09	0
VecchioTracciato	36.5		Bridge									
VecchioTracciato	36	Max WS	-2.12	32.49	38.9	32.78	38.9	0	-0.02	137.69	32.09	0
VecchioTracciato	35.6		Lat Struct									
VecchioTracciato	35.4		Lat Struct									
VecchioTracciato	35	Max WS	-2.06	32.3	38.9	32.73	38.9	0	-0.02	137.4	30.8	0
VecchioTracciato	34.6		Lat Struct									
VecchioTracciato	34.4		Lat Struct									
VecchioTracciato	34	Max WS	-2.4	32.16	38.9	32.49	38.9	0	-0.02	109.32	29.65	0
VecchioTracciato	33.6		Lat Struct									
VecchioTracciato	33.4		Lat Struct									
VecchioTracciato	33	Max WS	-2.1	32.12	38.91	32.43	38.91	0	-0.02	110.15	29.8	0
VecchioTracciato	32.6		Lat Struct									
VecchioTracciato	32.4		Lat Struct									
VecchioTracciato	32	Max WS	-2.44	32.07	38.9	32.41	38.9	0	-0.02	111.82	30.15	0
VecchioTracciato	31.6		Lat Struct									
VecchioTracciato	31.4		Lat Struct									
VecchioTracciato	31	Max WS	-2.42	32.13	38.91	32.47	38.91	0	-0.02	111.83	30.02	0
VecchioTracciato	30.6		Lat Struct									
VecchioTracciato	30.4		Lat Struct									
VecchioTracciato	30	Max WS	-2.57	32.02	38.9	32.35	38.91	0	-0.02	112.35	30.12	0
VecchioTracciato	29.6		Lat Struct									
VecchioTracciato	29.4		Lat Struct									
VecchioTracciato	29	Max WS	-2.76	32.06	38.9	32.46	38.91	0	-0.02	113.04	30.22	0
VecchioTracciato	28.6		Lat Struct									
VecchioTracciato	28.4		Lat Struct									
VecchioTracciato	28	Max WS	-2.8	32.14	38.91	32.51	38.91	0	-0.03	108.76	29.49	0
VecchioTracciato	27.6		Lat Struct									
VecchioTracciato	27.4		Lat Struct									
VecchioTracciato	27	Max WS	-2.87	31.92	38.91	32.34	38.91	0	-0.02	114.9	30.44	0
VecchioTracciato	26.6		Lat Struct									
VecchioTracciato	26.4		Lat Struct									
VecchioTracciato	26	Max WS	-3.01	32	38.91	32.4	38.91	0	-0.03	117.29	30.43	0
VecchioTracciato	25.6		Lat Struct									
VecchioTracciato	25.4		Lat Struct									
VecchioTracciato	25	Max WS	-3.21	32.07	38.91	32.43	38.91	0	-0.03	115.51	30.6	0
VecchioTracciato	24.6		Lat Struct									
VecchioTracciato	24.4		Lat Struct									
VecchioTracciato	24	Max WS	-3.4	31.97	38.91	32.4	38.91	0	-0.03	117.95	30.87	0
VecchioTracciato	23.6		Lat Struct									
VecchioTracciato	23.4		Lat Struct									
VecchioTracciato	23	Max WS	-3.56	32.08	38.91	32.47	38.91	0	-0.03	120.12	30.83	0
VecchioTracciato	22.6		Lat Struct									
VecchioTracciato	22.4		Lat Struct									
VecchioTracciato	22	Max WS	-3.74	32.01	38.91	32.42	38.91	0	-0.03	118.85	30.8	0.01
VecchioTracciato	21.6		Lat Struct									
VecchioTracciato	21.4		Lat Struct									
VecchioTracciato	21	Max WS	-4.02	31.87	38.91	32.39	38.91	0	-0.03	119.68	31.03	0.01

VecchioTracciato	20.6	Lat Struct										
VecchioTracciato	20.4	Lat Struct										
VecchioTracciato	20	Max WS	-4.4	31.74	38.91	32.19	38.91	0	-0.04	124.72	31.23	0.01
VecchioTracciato	19.6	Lat Struct										
VecchioTracciato	19.4	Lat Struct										
VecchioTracciato	19	Max WS	-4.18	31.58	38.91	32.13	38.91	0	-0.03	126	31.49	0.01
VecchioTracciato	18.6	Lat Struct										
VecchioTracciato	18.4	Lat Struct										
VecchioTracciato	18	Max WS	-4.59	31.95	38.91	32.39	38.91	0	-0.04	115.67	30.21	0.01
VecchioTracciato	17.6	Lat Struct										
VecchioTracciato	17.4	Lat Struct										
VecchioTracciato	17	Max WS	-4.34	32.17	38.91		38.91	0	-0.03	129.74	33.07	0.01
VecchioTracciato	16.5	Bridge										
VecchioTracciato	16	Max WS	-4.15	32.17	38.91	32.6	38.91	0	-0.03	130.38	33.06	0.01
VecchioTracciato	15.6	Lat Struct										
VecchioTracciato	15.4	Lat Struct										
VecchioTracciato	15	Max WS	-4.76	32.25	38.91	32.72	38.91	0	-0.03	139.39	34.6	0.01
VecchioTracciato	14.6	Lat Struct										
VecchioTracciato	14.4	Lat Struct										
VecchioTracciato	14	Max WS	-4.45	31.95	38.91	32.38	38.91	0	-0.04	115.6	30.21	0.01
VecchioTracciato	13.6	Lat Struct										
VecchioTracciato	13.4	Lat Struct										
VecchioTracciato	13	Max WS	-6.03	32.04	38.92	32.67	38.92	0	-0.05	122.21	31.47	0.01
VecchioTracciato	12.6	Lat Struct										
VecchioTracciato	12.4	Lat Struct										
VecchioTracciato	12	Max WS	-4.54	32.24	38.91	32.62	38.91	0	-0.04	123.16	31.8	0.01
VecchioTracciato	11.6	Lat Struct										
VecchioTracciato	11.4	Lat Struct										
VecchioTracciato	11	Max WS	-0.3	32.1	38.89	32.25	38.89	0	0	124.01	32.28	0
VecchioTracciato	10.6	Lat Struct										
VecchioTracciato	10.4	Lat Struct										
VecchioTracciato	10	Max WS	0	32.08	38.88	32.09	38.88	0	0	81.66	12	0
VecchioTracciato	9.6	Lat Struct										
VecchioTracciato	9.4	Lat Struct										
VecchioTracciato	9	Max WS	0	30.8	38.88	30.81	38.88	0	0	80.85	10	0
VecchioTracciato	8.6	Lat Struct										
VecchioTracciato	8.4	Lat Struct										
VecchioTracciato	8	Max WS	0	30.8	38.88	30.81	38.88	0	0	80.85	10	0
VecchioTracciato	7.6	Inl Struct										
VecchioTracciato	7.1	Max WS	0	30.8	39.88	30.81	39.88	0	0	90.8	10	0
VecchioTracciato	7	Max WS	0	30.8	39.88	30.81	39.88	0	0	108.96	12	0
VecchioTracciato	1.6	Lat Struct										
VecchioTracciato	1.4	Lat Struct										
VecchioTracciato	1.1	Max WS	0.01	31.66	39.88	31.68	39.88	0	0	212.82	41.24	0
VecchioTracciato	1	Max WS	-0.02	31.66	39.88	31.69	39.88	0	0	212.82	41.24	0
VecchioTracciato	9	Max WS	0	30.8	38.42	30.81	38.42	0	0	76.23	10	0
VecchioTracciato	8.6	Lat Struct										
VecchioTracciato	8.4	Lat Struct										
VecchioTracciato	8	Max WS	0	30.8	38.42	30.81	38.42	0	0	76.23	10	0
VecchioTracciato	7.6	Inl Struct										
VecchioTracciato	7.1	Max WS	0	30.8	39.76	30.81	39.76	0	0	89.6	10	0
VecchioTracciato	7	Max WS	0	30.8	39.76	30.81	39.76	0	0	107.52	12	0
VecchioTracciato	1.6	Lat Struct										
VecchioTracciato	1.4	Lat Struct										
VecchioTracciato	1.1	Max WS	0.01	31.66	39.76	31.68	39.76	0	0	207.88	40.93	0
VecchioTracciato	1	Max WS	-0.02	31.66	39.76	31.69	39.76	0	0	207.88	40.93	0

VecchioTracciato	43.5	Max WS	2.72	32.36	39.4	32.83	39.4	0	0.02	139.81	33.35	0
VecchioTracciato	43.26	Lat Struct										
VecchioTracciato	43.24	Lat Struct										
VecchioTracciato	43	Max WS	2.64	32.46	39.4	32.89	39.4	0	0.02	119.35	31.45	0
VecchioTracciato	42.6	Lat Struct										
VecchioTracciato	42.4	Lat Struct										
VecchioTracciato	42	Max WS	2.53	32.2	39.4	32.59	39.4	0	0.02	127.51	31.36	0
VecchioTracciato	41.6	Lat Struct										
VecchioTracciato	41.4	Lat Struct										
VecchioTracciato	41	Max WS	2.59	32.22	39.4	32.6	39.4	0	0.02	126.05	31.6	0
VecchioTracciato	40.6	Lat Struct										
VecchioTracciato	40.4	Lat Struct										
VecchioTracciato	40	Max WS	2.46	32.12	39.4	32.51	39.4	0	0.02	126.73	31.67	0
VecchioTracciato	39.6	Lat Struct										
VecchioTracciato	39.4	Lat Struct										
VecchioTracciato	39	Max WS	2.46	32.31	39.4	32.65	39.4	0	0.02	127.16	33.34	0
VecchioTracciato	38.6	Lat Struct										
VecchioTracciato	38.4	Lat Struct										
VecchioTracciato	38	Max WS	2.41	32.48	39.4	32.82	39.4	0	0.01	173.09	41.15	0
VecchioTracciato	37.5	Bridge										
VecchioTracciato	37.1	Max WS	2.41	32.49	39.4	32.81	39.4	0	0.02	153.69	32.09	0
VecchioTracciato	37	Max WS	2.41	32.49	39.4	32.81	39.4	0	0.02	153.69	32.09	0
VecchioTracciato	36.5	Bridge										
VecchioTracciato	36	Max WS	2.41	32.49	39.4	32.81	39.4	0	0.02	153.69	32.09	0
VecchioTracciato	35.6	Lat Struct										
VecchioTracciato	35.4	Lat Struct										
VecchioTracciato	35	Max WS	2.41	32.3	39.4	32.76	39.4	0	0.02	152.75	30.81	0
VecchioTracciato	34.6	Lat Struct										
VecchioTracciato	34.4	Lat Struct										
VecchioTracciato	34	Max WS	2.07	32.16	39.4	32.46	39.4	0	0.02	124.55	31.36	0
VecchioTracciato	33.6	Lat Struct										
VecchioTracciato	33.4	Lat Struct										
VecchioTracciato	33	Max WS	0.55	32.12	39.4	32.27	39.4	0	0	125.39	31.28	0
VecchioTracciato	32.6	Lat Struct										
VecchioTracciato	32.4	Lat Struct										
VecchioTracciato	32	Max WS	0.44	32.07	39.4	32.21	39.4	0	0	127.28	31.73	0
VecchioTracciato	31.6	Lat Struct										
VecchioTracciato	31.4	Lat Struct										
VecchioTracciato	31	Max WS	0.43	32.13	39.41	32.26	39.41	0	0	127.18	31.42	0
VecchioTracciato	30.6	Lat Struct										
VecchioTracciato	30.4	Lat Struct										
VecchioTracciato	30	Max WS	0.39	32.02	39.41	32.12	39.41	0	0	127.82	31.66	0
VecchioTracciato	29.6	Lat Struct										
VecchioTracciato	29.4	Lat Struct										
VecchioTracciato	29	Max WS	0.25	32.06	39.41	32.2	39.41	0	0	128.54	31.72	0
VecchioTracciato	28.6	Lat Struct										
VecchioTracciato	28.4	Lat Struct										
VecchioTracciato	28	Max WS	-3	32.14	39.41	32.53	39.41	0	-0.02	124.19	32.02	0
VecchioTracciato	27.6	Lat Struct										
VecchioTracciato	27.4	Lat Struct										
VecchioTracciato	27	Max WS	-3.57	31.92	39.41	32.39	39.41	0	-0.03	130.53	31.98	0
VecchioTracciato	26.6	Lat Struct										
VecchioTracciato	26.4	Lat Struct										
VecchioTracciato	26	Max WS	-3.43	32	39.41	32.43	39.41	0	-0.03	132.95	31.9	0
VecchioTracciato	25.6	Lat Struct										
VecchioTracciato	25.4	Lat Struct										
VecchioTracciato	25	Max WS	-3.71	32.07	39.41	32.46	39.41	0	-0.03	131.24	32.06	0
VecchioTracciato	24.6	Lat Struct										
VecchioTracciato	24.4	Lat Struct										
VecchioTracciato	24	Max WS	-3.78	31.97	39.41	32.43	39.41	0	-0.03	133.81	32.27	0
VecchioTracciato	23.6	Lat Struct										
VecchioTracciato	23.4	Lat Struct										
VecchioTracciato	23	Max WS	-3.92	32.08	39.41	32.5	39.41	0	-0.03	135.97	32.21	0
VecchioTracciato	22.6	Lat Struct										
VecchioTracciato	22.4	Lat Struct										
VecchioTracciato	22	Max WS	-4.07	32.01	39.41	32.44	39.41	0	-0.03	134.7	32.24	0
VecchioTracciato	21.6	Lat Struct										
VecchioTracciato	21.4	Lat Struct										
VecchioTracciato	21	Max WS	-4.16	31.87	39.41	32.4	39.41	0	-0.03	135.63	32.45	0

VecchioTracciato	20.6	Lat Struct										
VecchioTracciato	20.4	Lat Struct										
VecchioTracciato	20 Max WS	-4.51	31.74	39.41	32.19	39.41	0	-0.03	140.77	32.7	0	
VecchioTracciato	19.6	Lat Struct										
VecchioTracciato	19.4	Lat Struct										
VecchioTracciato	19 Max WS	-4.4	31.58	39.41	32.15	39.41	0	-0.03	142.22	32.95	0	
VecchioTracciato	18.6	Lat Struct										
VecchioTracciato	18.4	Lat Struct										
VecchioTracciato	18 Max WS	-4.59	31.95	39.41	32.39	39.41	0	-0.04	131.22	32.43	0.01	
VecchioTracciato	17.6	Lat Struct										
VecchioTracciato	17.4	Lat Struct										
VecchioTracciato	17 Max WS	-4.53	32.17	39.41		39.41	0	-0.03	146.67	34.32	0	
VecchioTracciato	16.5	Bridge										
VecchioTracciato	16 Max WS	-4.53	32.17	39.41	32.62	39.41	0	-0.03	147.34	34.32	0	
VecchioTracciato	15.6	Lat Struct										
VecchioTracciato	15.4	Lat Struct										
VecchioTracciato	15 Max WS	-5.01	32.25	39.42	32.73	39.42	0	-0.03	156.91	35.11	0	
VecchioTracciato	14.6	Lat Struct										
VecchioTracciato	14.4	Lat Struct										
VecchioTracciato	14 Max WS	-4.95	31.95	39.41	32.41	39.41	0	-0.04	131.24	32.44	0.01	
VecchioTracciato	13.6	Lat Struct										
VecchioTracciato	13.4	Lat Struct										
VecchioTracciato	13 Max WS	-5.95	32.04	39.42	32.67	39.42	0	-0.04	138.34	32.86	0.01	
VecchioTracciato	12.6	Lat Struct										
VecchioTracciato	12.4	Lat Struct										
VecchioTracciato	12 Max WS	-4.31	32.24	39.41	32.61	39.41	0	-0.03	139.46	33.1	0	
VecchioTracciato	11.6	Lat Struct										
VecchioTracciato	11.4	Lat Struct										
VecchioTracciato	11 Max WS	-0.24	32.1	39.39	32.24	39.39	0	0	140.67	33.76	0	
VecchioTracciato	10.6	Lat Struct										
VecchioTracciato	10.4	Lat Struct										
VecchioTracciato	10 Max WS	0	32.08	39.39	32.09	39.39	0	0	87.73	12	0	
VecchioTracciato	9.6	Lat Struct										
VecchioTracciato	9.4	Lat Struct										
VecchioTracciato	9 Max WS	0	30.8	39.39	30.81	39.39	0	0	85.9	10	0	
VecchioTracciato	8.6	Lat Struct										
VecchioTracciato	8.4	Lat Struct										
VecchioTracciato	8 Max WS	0	30.8	39.39	30.81	39.39	0	0	85.9	10	0	
VecchioTracciato	7.6	Inl Struct										
VecchioTracciato	7.1 Max WS	0	30.8	40.15	30.81	40.15	0	0	93.5	10	0	
VecchioTracciato	7 Max WS	0	30.8	40.15	30.81	40.15	0	0	112.2	12	0	
VecchioTracciato	1.6	Lat Struct										
VecchioTracciato	1.4	Lat Struct										
VecchioTracciato	1.1 Max WS	0.01	31.66	40.15	31.68	40.15	0	0	224.05	41.93	0	
VecchioTracciato	1 Max WS	-0.02	31.66	40.15	31.69	40.15	0	0	224.05	41.93	0	
VecchioTracciato	9 Max WS	0	30.8	38.42	30.81	38.42	0	0	76.23	10	0	
VecchioTracciato	8.6	Lat Struct										
VecchioTracciato	8.4	Lat Struct										
VecchioTracciato	8 Max WS	0	30.8	38.42	30.81	38.42	0	0	76.23	10	0	
VecchioTracciato	7.6	Inl Struct										
VecchioTracciato	7.1 Max WS	0	30.8	39.76	30.81	39.76	0	0	89.6	10	0	
VecchioTracciato	7 Max WS	0	30.8	39.76	30.81	39.76	0	0	107.52	12	0	
VecchioTracciato	1.6	Lat Struct										
VecchioTracciato	1.4	Lat Struct										
VecchioTracciato	1.1 Max WS	0.01	31.66	39.76	31.68	39.76	0	0	207.88	40.93	0	
VecchioTracciato	1 Max WS	-0.02	31.66	39.76	31.69	39.76	0	0	207.88	40.93	0	

VecchioTracciato	43.5	Max WS	44.34	32.36	39.58	34.4	39.59	0.000014	0.3	145.83	33.71	0.05
VecchioTracciato	43.26	Lat Struct										
VecchioTracciato	43.24	Lat Struct										
VecchioTracciato	43	Max WS	44.34	32.46	39.58	34.4	39.59	0.000022	0.35	125	31.99	0.06
VecchioTracciato	42.6	Lat Struct										
VecchioTracciato	42.4	Lat Struct										
VecchioTracciato	42	Max WS	44.07	32.2	39.58	33.98	39.59	0.00002	0.33	133.54	35.58	0.05
VecchioTracciato	41.6	Lat Struct										
VecchioTracciato	41.4	Lat Struct										
VecchioTracciato	41	Max WS	42.95	32.22	39.58	34.01	39.58	0.000018	0.33	131.76	33.88	0.05
VecchioTracciato	40.6	Lat Struct										
VecchioTracciato	40.4	Lat Struct										
VecchioTracciato	40	Max WS	40.99	32.12	39.58	33.83	39.58	0.000016	0.31	132.48	33.32	0.05
VecchioTracciato	39.6	Lat Struct										
VecchioTracciato	39.4	Lat Struct										
VecchioTracciato	39	Max WS	40.89	32.31	39.58	33.99	39.58	0.000016	0.31	133.07	33.93	0.05
VecchioTracciato	38.6	Lat Struct										
VecchioTracciato	38.4	Lat Struct										
VecchioTracciato	38	Max WS	40.84	32.48	39.58	34.07	39.58	0.000008	0.23	180.44	42.22	0.03
VecchioTracciato	37.5	Bridge										
VecchioTracciato	37.1	Max WS	40.84	32.49	39.58	34.15	39.58	0.000011	0.26	159.28	32.1	0.04
VecchioTracciato	37	Max WS	40.84	32.49	39.58	34.15	39.58	0.000011	0.26	159.28	32.1	0.04
VecchioTracciato	36.5	Bridge										
VecchioTracciato	36	Max WS	40.84	32.49	39.58	34.15	39.58	0.000011	0.26	159.22	32.1	0.04
VecchioTracciato	35.6	Lat Struct										
VecchioTracciato	35.4	Lat Struct										
VecchioTracciato	35	Max WS	40.84	32.3	39.58	34.18	39.58	0.00001	0.26	158.06	30.82	0.04
VecchioTracciato	34.6	Lat Struct										
VecchioTracciato	34.4	Lat Struct										
VecchioTracciato	34	Max WS	38.7	32.16	39.57	33.85	39.58	0.000015	0.3	129.91	31.62	0.05
VecchioTracciato	33.6	Lat Struct										
VecchioTracciato	33.4	Lat Struct										
VecchioTracciato	33	Max WS	23.74	32.12	39.58	33.4	39.58	0.000005	0.18	130.89	32.11	0.03
VecchioTracciato	32.6	Lat Struct										
VecchioTracciato	32.4	Lat Struct										
VecchioTracciato	32	Max WS	19.79	32.07	39.58	33.22	39.58	0.000004	0.15	132.87	32.42	0.02
VecchioTracciato	31.6	Lat Struct										
VecchioTracciato	31.4	Lat Struct										
VecchioTracciato	31	Max WS	17.98	32.13	39.58	33.22	39.58	0.000003	0.14	132.67	31.97	0.02
VecchioTracciato	30.6	Lat Struct										
VecchioTracciato	30.4	Lat Struct										
VecchioTracciato	30	Max WS	17.97	32.02	39.58	33.1	39.58	0.000003	0.13	133.33	32.19	0.02
VecchioTracciato	29.6	Lat Struct										
VecchioTracciato	29.4	Lat Struct										
VecchioTracciato	29	Max WS	17.97	32.06	39.58	33.17	39.58	0.000003	0.13	134.06	32.31	0.02
VecchioTracciato	28.6	Lat Struct										
VecchioTracciato	28.4	Lat Struct										
VecchioTracciato	28	Max WS	2.84	32.14	39.58	32.52	39.58	0	0.02	129.77	32.26	0
VecchioTracciato	27.6	Lat Struct										
VecchioTracciato	27.4	Lat Struct										
VecchioTracciato	27	Max WS	0.41	31.92	39.58	32.09	39.58	0	0	136.1	32.35	0
VecchioTracciato	26.6	Lat Struct										
VecchioTracciato	26.4	Lat Struct										
VecchioTracciato	26	Max WS	0	32	39.58	32.01	39.58	0	0	138.47	32.4	0
VecchioTracciato	25.6	Lat Struct										
VecchioTracciato	25.4	Lat Struct										
VecchioTracciato	25	Max WS	0	32.07	39.58	32.08	39.58	0	0	136.78	32.56	0
VecchioTracciato	24.6	Lat Struct										
VecchioTracciato	24.4	Lat Struct										
VecchioTracciato	24	Max WS	0	31.97	39.58	32	39.58	0	0	139.37	32.75	0
VecchioTracciato	23.6	Lat Struct										
VecchioTracciato	23.4	Lat Struct										
VecchioTracciato	23	Max WS	0	32.08	39.58	32.09	39.58	0	0	141.49	32.68	0
VecchioTracciato	22.6	Lat Struct										
VecchioTracciato	22.4	Lat Struct										
VecchioTracciato	22	Max WS	0	32.01	39.58	32.02	39.58	0	0	140.21	32.73	0
VecchioTracciato	21.6	Lat Struct										
VecchioTracciato	21.4	Lat Struct										
VecchioTracciato	21	Max WS	0	31.87	39.58	31.89	39.58	0	0	141.26	35.45	0

VecchioTracciato	20.6	Lat Struct										
VecchioTracciato	20.4	Lat Struct										
VecchioTracciato	20 Max WS	0	31.74	39.58	31.76	39.58	0	0	146.31	33.2	0	
VecchioTracciato	19.6	Lat Struct										
VecchioTracciato	19.4	Lat Struct										
VecchioTracciato	19 Max WS	0	31.58	39.58	31.61	39.58	0	0	147.83	33.45	0	
VecchioTracciato	18.6	Lat Struct										
VecchioTracciato	18.4	Lat Struct										
VecchioTracciato	18 Max WS	0	31.95	39.58	31.96	39.58	0	0	136.82	34.36	0	
VecchioTracciato	17.6	Lat Struct										
VecchioTracciato	17.4	Lat Struct										
VecchioTracciato	17 Max WS	0	32.17	39.58	32.19	39.58	0	0	152.48	34.74	0	
VecchioTracciato	16.5	Bridge										
VecchioTracciato	16 Max WS	0	32.17	39.58	32.19	39.58	0	0	153.12	34.74	0	
VecchioTracciato	15.6	Lat Struct										
VecchioTracciato	15.4	Lat Struct										
VecchioTracciato	15 Max WS	0	32.25	39.58	32.27	39.58	0	0	162.71	35.28	0	
VecchioTracciato	14.6	Lat Struct										
VecchioTracciato	14.4	Lat Struct										
VecchioTracciato	14 Max WS	0	31.95	39.58	31.96	39.58	0	0	136.82	34.36	0	
VecchioTracciato	13.6	Lat Struct										
VecchioTracciato	13.4	Lat Struct										
VecchioTracciato	13 Max WS	0	32.04	39.58	32.07	39.58	0	0	143.67	33.31	0	
VecchioTracciato	12.6	Lat Struct										
VecchioTracciato	12.4	Lat Struct										
VecchioTracciato	12 Max WS	0	32.24	39.58	32.25	39.58	0	0	145.1	33.54	0	
VecchioTracciato	11.6	Lat Struct										
VecchioTracciato	11.4	Lat Struct										
VecchioTracciato	11 Max WS	0	32.1	39.58	32.11	39.58	0	0	147.09	34.31	0	
VecchioTracciato	10.6	Lat Struct										
VecchioTracciato	10.4	Lat Struct										
VecchioTracciato	10 Max WS	0	32.08	39.58	32.09	39.58	0	0	90	12	0	
VecchioTracciato	9.6	Lat Struct										
VecchioTracciato	9.4	Lat Struct										
VecchioTracciato	9 Max WS	0	30.8	39.58	30.81	39.58	0	0	87.8	10	0	
VecchioTracciato	8.6	Lat Struct										
VecchioTracciato	8.4	Lat Struct										
VecchioTracciato	8 Max WS	0	30.8	39.58	30.81	39.58	0	0	87.8	10	0	
VecchioTracciato	7.6	Inl Struct										
VecchioTracciato	7.1 Max WS	0	30.8	40.1	30.81	40.1	0	0	93	10	0	
VecchioTracciato	7 Max WS	0	30.8	40.1	30.81	40.1	0	0	111.6	12	0	
VecchioTracciato	1.6	Lat Struct										
VecchioTracciato	1.4	Lat Struct										
VecchioTracciato	1.1 Max WS	0.01	31.66	40.1	31.68	40.1	0	0	221.96	41.8	0	
VecchioTracciato	1 Max WS	-0.02	31.66	40.1	31.69	40.1	0	0	221.96	41.8	0	
VecchioTracciato	9 Max WS	0	30.8	38.42	30.81	38.42	0	0	76.23	10	0	
VecchioTracciato	8.6	Lat Struct										
VecchioTracciato	8.4	Lat Struct										
VecchioTracciato	8 Max WS	0	30.8	38.42	30.81	38.42	0	0	76.23	10	0	
VecchioTracciato	7.6	Inl Struct										
VecchioTracciato	7.1 Max WS	0	30.8	39.76	30.81	39.76	0	0	89.6	10	0	
VecchioTracciato	7 Max WS	0	30.8	39.76	30.81	39.76	0	0	107.52	12	0	
VecchioTracciato	1.6	Lat Struct										
VecchioTracciato	1.4	Lat Struct										
VecchioTracciato	1.1 Max WS	0.01	31.66	39.76	31.68	39.76	0	0	207.88	40.93	0	
VecchioTracciato	1 Max WS	-0.02	31.66	39.76	31.69	39.76	0	0	207.88	40.93	0	

VecchioTracciato	43.5	Max WS	39.69	32.36	39.57	34.28	39.58	0.000012	0.27	145.45	33.58	0.04
VecchioTracciato	43.26	Lat Struct										
VecchioTracciato	43.24	Lat Struct										
VecchioTracciato	43	Max WS	39.69	32.46	39.57	34.29	39.58	0.000018	0.32	124.65	31.96	0.05
VecchioTracciato	42.6	Lat Struct										
VecchioTracciato	42.4	Lat Struct										
VecchioTracciato	42	Max WS	39.5	32.2	39.57	33.88	39.57	0.000016	0.3	133.16	35.56	0.05
VecchioTracciato	41.6	Lat Struct										
VecchioTracciato	41.4	Lat Struct										
VecchioTracciato	41	Max WS	38.72	32.22	39.57	33.91	39.57	0.000015	0.29	131.41	33.72	0.05
VecchioTracciato	40.6	Lat Struct										
VecchioTracciato	40.4	Lat Struct										
VecchioTracciato	40	Max WS	37.2	32.12	39.57	33.74	39.57	0.000014	0.28	132.13	33.31	0.05
VecchioTracciato	39.6	Lat Struct										
VecchioTracciato	39.4	Lat Struct										
VecchioTracciato	39	Max WS	37.12	32.31	39.57	33.9	39.57	0.000013	0.28	132.71	33.91	0.05
VecchioTracciato	38.6	Lat Struct										
VecchioTracciato	38.4	Lat Struct										
VecchioTracciato	38	Max WS	37.07	32.48	39.57	33.99	39.57	0.000006	0.21	179.99	42.16	0.03
VecchioTracciato	37.5	Bridge										
VecchioTracciato	37.1	Max WS	37.07	32.49	39.57	34.06	39.57	0.000009	0.23	158.94	32.1	0.03
VecchioTracciato	37	Max WS	37.07	32.49	39.57	34.06	39.57	0.000009	0.23	158.94	32.1	0.03
VecchioTracciato	36.5	Bridge										
VecchioTracciato	36	Max WS	37.07	32.49	39.57	34.06	39.57	0.000009	0.23	158.9	32.1	0.03
VecchioTracciato	35.6	Lat Struct										
VecchioTracciato	35.4	Lat Struct										
VecchioTracciato	35	Max WS	37.07	32.3	39.57	34.09	39.57	0.000008	0.24	157.74	30.81	0.03
VecchioTracciato	34.6	Lat Struct										
VecchioTracciato	34.4	Lat Struct										
VecchioTracciato	34	Max WS	35.11	32.16	39.56	33.76	39.57	0.000012	0.27	129.6	31.6	0.04
VecchioTracciato	33.6	Lat Struct										
VecchioTracciato	33.4	Lat Struct										
VecchioTracciato	33	Max WS	21.3	32.12	39.57	33.33	39.57	0.000004	0.16	130.55	32.1	0.03
VecchioTracciato	32.6	Lat Struct										
VecchioTracciato	32.4	Lat Struct										
VecchioTracciato	32	Max WS	18.01	32.07	39.57	33.15	39.57	0.000003	0.14	132.52	32.4	0.02
VecchioTracciato	31.6	Lat Struct										
VecchioTracciato	31.4	Lat Struct										
VecchioTracciato	31	Max WS	16.58	32.13	39.57	33.17	39.57	0.000003	0.13	132.32	31.88	0.02
VecchioTracciato	30.6	Lat Struct										
VecchioTracciato	30.4	Lat Struct										
VecchioTracciato	30	Max WS	16.58	32.02	39.57	33.05	39.57	0.000003	0.12	132.97	32.16	0.02
VecchioTracciato	29.6	Lat Struct										
VecchioTracciato	29.4	Lat Struct										
VecchioTracciato	29	Max WS	16.58	32.06	39.57	33.13	39.57	0.000002	0.12	133.71	32.25	0.02
VecchioTracciato	28.6	Lat Struct										
VecchioTracciato	28.4	Lat Struct										
VecchioTracciato	28	Max WS	2.51	32.14	39.57	32.49	39.57	0	0.02	129.41	32.24	0
VecchioTracciato	27.6	Lat Struct										
VecchioTracciato	27.4	Lat Struct										
VecchioTracciato	27	Max WS	0.28	31.92	39.57	32.07	39.57	0	0	135.74	32.34	0
VecchioTracciato	26.6	Lat Struct										
VecchioTracciato	26.4	Lat Struct										
VecchioTracciato	26	Max WS	0.01	32	39.57	32.03	39.57	0	0	138.11	32.37	0
VecchioTracciato	25.6	Lat Struct										
VecchioTracciato	25.4	Lat Struct										
VecchioTracciato	25	Max WS	0.01	32.07	39.57	32.08	39.57	0	0	136.41	32.52	0
VecchioTracciato	24.6	Lat Struct										
VecchioTracciato	24.4	Lat Struct										
VecchioTracciato	24	Max WS	0	31.97	39.57	32	39.57	0	0	139	32.72	0
VecchioTracciato	23.6	Lat Struct										
VecchioTracciato	23.4	Lat Struct										
VecchioTracciato	23	Max WS	0	32.08	39.57	32.09	39.57	0	0	141.13	32.65	0
VecchioTracciato	22.6	Lat Struct										
VecchioTracciato	22.4	Lat Struct										
VecchioTracciato	22	Max WS	0	32.01	39.57	32.03	39.57	0	0	139.84	32.69	0
VecchioTracciato	21.6	Lat Struct										
VecchioTracciato	21.4	Lat Struct										
VecchioTracciato	21	Max WS	0	31.87	39.57	31.9	39.57	0	0	140.86	35.06	0

VecchioTracciato	20.6	Lat Struct										
VecchioTracciato	20.4	Lat Struct										
VecchioTracciato	20 Max WS	0	31.74	39.57	31.76	39.57	0	0	145.93	33.16	0	
VecchioTracciato	19.6	Lat Struct										
VecchioTracciato	19.4	Lat Struct										
VecchioTracciato	19 Max WS	0	31.58	39.57	31.61	39.57	0	0	147.45	33.41	0	
VecchioTracciato	18.6	Lat Struct										
VecchioTracciato	18.4	Lat Struct										
VecchioTracciato	18 Max WS	0	31.95	39.57	31.96	39.57	0	0	136.42	34.23	0	
VecchioTracciato	17.6	Lat Struct										
VecchioTracciato	17.4	Lat Struct										
VecchioTracciato	17 Max WS	0	32.17	39.57		39.57	0	0	152.09	34.71	0	
VecchioTracciato	16.5	Bridge										
VecchioTracciato	16 Max WS	0	32.17	39.57	32.19	39.57	0	0	152.72	34.71	0	
VecchioTracciato	15.6	Lat Struct										
VecchioTracciato	15.4	Lat Struct										
VecchioTracciato	15 Max WS	0	32.25	39.57	32.27	39.57	0	0	162.3	35.27	0	
VecchioTracciato	14.6	Lat Struct										
VecchioTracciato	14.4	Lat Struct										
VecchioTracciato	14 Max WS	0	31.95	39.57	31.96	39.57	0	0	136.43	34.23	0	
VecchioTracciato	13.6	Lat Struct										
VecchioTracciato	13.4	Lat Struct										
VecchioTracciato	13 Max WS	0	32.04	39.57	32.06	39.57	0	0	143.29	33.28	0	
VecchioTracciato	12.6	Lat Struct										
VecchioTracciato	12.4	Lat Struct										
VecchioTracciato	12 Max WS	0	32.24	39.57	32.25	39.57	0	0	144.72	33.51	0	
VecchioTracciato	11.6	Lat Struct										
VecchioTracciato	11.4	Lat Struct										
VecchioTracciato	11 Max WS	0	32.1	39.57	32.11	39.57	0	0	146.71	34.28	0	
VecchioTracciato	10.6	Lat Struct										
VecchioTracciato	10.4	Lat Struct										
VecchioTracciato	10 Max WS	0	32.08	39.57	32.09	39.57	0	0	89.87	12	0	
VecchioTracciato	9.6	Lat Struct										
VecchioTracciato	9.4	Lat Struct										
VecchioTracciato	9 Max WS	0	30.8	39.57	30.81	39.57	0	0	87.69	10	0	
VecchioTracciato	8.6	Lat Struct										
VecchioTracciato	8.4	Lat Struct										
VecchioTracciato	8 Max WS	0	30.8	39.57	30.81	39.57	0	0	87.69	10	0	
VecchioTracciato	7.6	Inl Struct										
VecchioTracciato	7.1 Max WS	0	30.8	40.05	30.81	40.05	0	0	92.5	10	0	
VecchioTracciato	7 Max WS	0	30.8	40.05	30.81	40.05	0	0	111	12	0	
VecchioTracciato	1.6	Lat Struct										
VecchioTracciato	1.4	Lat Struct										
VecchioTracciato	1.1 Max WS	-0.02	31.66	40.05	31.69	40.05	0	0	219.87	41.67	0	
VecchioTracciato	1 Max WS	-0.02	31.66	40.05	31.69	40.05	0	0	219.87	41.67	0	
VecchioTracciato	9 Max WS	0	30.8	38.42	30.81	38.42	0	0	76.23	10	0	
VecchioTracciato	8.6	Lat Struct										
VecchioTracciato	8.4	Lat Struct										
VecchioTracciato	8 Max WS	0	30.8	38.42	30.81	38.42	0	0	76.23	10	0	
VecchioTracciato	7.6	Inl Struct										
VecchioTracciato	7.1 Max WS	0	30.8	39.76	30.81	39.76	0	0	89.6	10	0	
VecchioTracciato	7 Max WS	0	30.8	39.76	30.81	39.76	0	0	107.52	12	0	
VecchioTracciato	1.6	Lat Struct										
VecchioTracciato	1.4	Lat Struct										
VecchioTracciato	1.1 Max WS	0.01	31.66	39.76	31.68	39.76	0	0	207.88	40.93	0	
VecchioTracciato	1 Max WS	-0.02	31.66	39.76	31.69	39.76	0	0	207.88	40.93	0	

VecchioTracciato	43.5	Max WS	32.11	32.36	39.55	34.09	39.55	0.000008	0.22	144.75	33.4	0.03
VecchioTracciato	43.26	Lat Struct										
VecchioTracciato	43.24	Lat Struct										
VecchioTracciato	43	Max WS	32.11	32.46	39.55	34.1	39.55	0.000012	0.26	124	31.9	0.04
VecchioTracciato	42.6	Lat Struct										
VecchioTracciato	42.4	Lat Struct										
VecchioTracciato	42	Max WS	32.03	32.2	39.55	33.69	39.55	0.000011	0.24	132.43	35.53	0.04
VecchioTracciato	41.6	Lat Struct										
VecchioTracciato	41.4	Lat Struct										
VecchioTracciato	41	Max WS	31.69	32.22	39.55	33.74	39.55	0.000001	0.24	130.74	33.43	0.04
VecchioTracciato	40.6	Lat Struct										
VecchioTracciato	40.4	Lat Struct										
VecchioTracciato	40	Max WS	30.83	32.12	39.55	33.59	39.55	0.000009	0.23	131.47	33.28	0.04
VecchioTracciato	39.6	Lat Struct										
VecchioTracciato	39.4	Lat Struct										
VecchioTracciato	39	Max WS	30.77	32.31	39.55	33.74	39.55	0.000009	0.23	132.03	33.88	0.04
VecchioTracciato	38.6	Lat Struct										
VecchioTracciato	38.4	Lat Struct										
VecchioTracciato	38	Max WS	30.75	32.48	39.55	33.84	39.55	0.000005	0.17	179.15	42.04	0.03
VecchioTracciato	37.5	Bridge										
VecchioTracciato	37.1	Max WS	30.75	32.49	39.55	33.9	39.55	0.000006	0.19	158.31	32.1	0.03
VecchioTracciato	37	Max WS	30.75	32.49	39.55	33.9	39.55	0.000006	0.19	158.31	32.1	0.03
VecchioTracciato	36.5	Bridge										
VecchioTracciato	36	Max WS	30.75	32.49	39.55	33.9	39.55	0.000006	0.19	158.27	32.1	0.03
VecchioTracciato	35.6	Lat Struct										
VecchioTracciato	35.4	Lat Struct										
VecchioTracciato	35	Max WS	30.75	32.3	39.55	33.93	39.55	0.000006	0.2	157.15	30.81	0.03
VecchioTracciato	34.6	Lat Struct										
VecchioTracciato	34.4	Lat Struct										
VecchioTracciato	34	Max WS	29.08	32.16	39.54	33.6	39.55	0.000008	0.23	129	31.58	0.04
VecchioTracciato	33.6	Lat Struct										
VecchioTracciato	33.4	Lat Struct										
VecchioTracciato	33	Max WS	17.31	32.12	39.55	33.19	39.55	0.000003	0.13	129.91	32.07	0.02
VecchioTracciato	32.6	Lat Struct										
VecchioTracciato	32.4	Lat Struct										
VecchioTracciato	32	Max WS	15.13	32.07	39.55	33.05	39.55	0.000002	0.11	131.87	32.37	0.02
VecchioTracciato	31.6	Lat Struct										
VecchioTracciato	31.4	Lat Struct										
VecchioTracciato	31	Max WS	14.28	32.13	39.55	33.09	39.55	0.000002	0.11	131.68	31.82	0.02
VecchioTracciato	30.6	Lat Struct										
VecchioTracciato	30.4	Lat Struct										
VecchioTracciato	30	Max WS	14.28	32.02	39.55	32.96	39.55	0.000002	0.11	132.33	32.1	0.02
VecchioTracciato	29.6	Lat Struct										
VecchioTracciato	29.4	Lat Struct										
VecchioTracciato	29	Max WS	14.28	32.06	39.55	33.04	39.55	0.000002	0.11	133.07	32.14	0.02
VecchioTracciato	28.6	Lat Struct										
VecchioTracciato	28.4	Lat Struct										
VecchioTracciato	28	Max WS	2.03	32.14	39.55	32.45	39.55	0	0.02	128.75	32.21	0
VecchioTracciato	27.6	Lat Struct										
VecchioTracciato	27.4	Lat Struct										
VecchioTracciato	27	Max WS	0.12	31.92	39.55	32.03	39.55	0	0	135.08	32.31	0
VecchioTracciato	26.6	Lat Struct										
VecchioTracciato	26.4	Lat Struct										
VecchioTracciato	26	Max WS	0	32	39.55	32.03	39.55	0	0	137.44	32.31	0
VecchioTracciato	25.6	Lat Struct										
VecchioTracciato	25.4	Lat Struct										
VecchioTracciato	25	Max WS	0	32.07	39.55	32.08	39.55	0	0	135.75	32.47	0
VecchioTracciato	24.6	Lat Struct										
VecchioTracciato	24.4	Lat Struct										
VecchioTracciato	24	Max WS	0	31.97	39.55	32	39.55	0	0	138.33	32.66	0
VecchioTracciato	23.6	Lat Struct										
VecchioTracciato	23.4	Lat Struct										
VecchioTracciato	23	Max WS	0	32.08	39.55	32.09	39.55	0	0	140.46	32.6	0
VecchioTracciato	22.6	Lat Struct										
VecchioTracciato	22.4	Lat Struct										
VecchioTracciato	22	Max WS	0	32.01	39.55	32.02	39.55	0	0	139.17	32.64	0
VecchioTracciato	21.6	Lat Struct										
VecchioTracciato	21.4	Lat Struct										
VecchioTracciato	21	Max WS	0	31.87	39.55	31.9	39.55	0	0	140.15	34.36	0

VecchioTracciato	20.6	Lat Struct										
VecchioTracciato	20.4	Lat Struct										
VecchioTracciato	20 Max WS	0	31.74	39.55	31.76	39.55	0	0	145.26	33.1	0	
VecchioTracciato	19.6	Lat Struct										
VecchioTracciato	19.4	Lat Struct										
VecchioTracciato	19 Max WS	0	31.58	39.55	31.61	39.55	0	0	146.76	33.35	0	
VecchioTracciato	18.6	Lat Struct										
VecchioTracciato	18.4	Lat Struct										
VecchioTracciato	18 Max WS	0	31.95	39.55	31.96	39.55	0	0	135.73	34	0	
VecchioTracciato	17.6	Lat Struct										
VecchioTracciato	17.4	Lat Struct										
VecchioTracciato	17 Max WS	0	32.17	39.55	32.18	39.55	0	0	151.37	34.66	0	
VecchioTracciato	16.5	Bridge										
VecchioTracciato	16 Max WS	0	32.17	39.55	32.18	39.55	0	0	152.01	34.66	0	
VecchioTracciato	15.6	Lat Struct										
VecchioTracciato	15.4	Lat Struct										
VecchioTracciato	15 Max WS	0	32.25	39.55	32.26	39.55	0	0	161.58	35.25	0	
VecchioTracciato	14.6	Lat Struct										
VecchioTracciato	14.4	Lat Struct										
VecchioTracciato	14 Max WS	0	31.95	39.55	31.96	39.55	0	0	135.73	34	0	
VecchioTracciato	13.6	Lat Struct										
VecchioTracciato	13.4	Lat Struct										
VecchioTracciato	13 Max WS	0	32.04	39.55	32.06	39.55	0	0	142.6	33.22	0	
VecchioTracciato	12.6	Lat Struct										
VecchioTracciato	12.4	Lat Struct										
VecchioTracciato	12 Max WS	0	32.24	39.55	32.25	39.55	0	0	144.03	33.45	0	
VecchioTracciato	11.6	Lat Struct										
VecchioTracciato	11.4	Lat Struct										
VecchioTracciato	11 Max WS	0	32.1	39.55	32.11	39.55	0	0	146	34.22	0	
VecchioTracciato	10.6	Lat Struct										
VecchioTracciato	10.4	Lat Struct										
VecchioTracciato	10 Max WS	0	32.08	39.55	32.09	39.55	0	0	89.62	12	0	
VecchioTracciato	9.6	Lat Struct										
VecchioTracciato	9.4	Lat Struct										
VecchioTracciato	9 Max WS	0	30.8	39.55	30.81	39.55	0	0	87.48	10	0	
VecchioTracciato	8.6	Lat Struct										
VecchioTracciato	8.4	Lat Struct										
VecchioTracciato	8 Max WS	0	30.8	39.55	30.81	39.55	0	0	87.48	10	0	
VecchioTracciato	7.6	Inl Struct										
VecchioTracciato	7.1 Max WS	0	30.8	39.99	30.81	39.99	0	0	91.9	10	0	
VecchioTracciato	7 Max WS	0	30.8	39.99	30.81	39.99	0	0	110.28	12	0	
VecchioTracciato	1.6	Lat Struct										
VecchioTracciato	1.4	Lat Struct										
VecchioTracciato	1.1 Max WS	-0.02	31.66	39.99	31.69	39.99	0	0	217.37	41.52	0	
VecchioTracciato	1 Max WS	-0.02	31.66	39.99	31.69	39.99	0	0	217.37	41.52	0	
VecchioTracciato	9 Max WS	0	30.8	38.42	30.81	38.42	0	0	76.23	10	0	
VecchioTracciato	8.6	Lat Struct										
VecchioTracciato	8.4	Lat Struct										
VecchioTracciato	8 Max WS	0	30.8	38.42	30.81	38.42	0	0	76.23	10	0	
VecchioTracciato	7.6	Inl Struct										
VecchioTracciato	7.1 Max WS	0	30.8	39.76	30.81	39.76	0	0	89.6	10	0	
VecchioTracciato	7 Max WS	0	30.8	39.76	30.81	39.76	0	0	107.52	12	0	
VecchioTracciato	1.6	Lat Struct										
VecchioTracciato	1.4	Lat Struct										
VecchioTracciato	1.1 Max WS	0.01	31.66	39.76	31.68	39.76	0	0	207.88	40.93	0	
VecchioTracciato	1 Max WS	-0.02	31.66	39.76	31.69	39.76	0	0	207.88	40.93	0	

VecchioTracciato	43.5	Max WS	0.71	32.36	37.88	32.61	37.88	0	0.01	89.76	31.02	0
VecchioTracciato	43.26		Lat Struct									
VecchioTracciato	43.24		Lat Struct									
VecchioTracciato	43	Max WS	0.71	32.46	37.88	32.7	37.88	0	0.01	74.98	26.8	0
VecchioTracciato	42.6		Lat Struct									
VecchioTracciato	42.4		Lat Struct									
VecchioTracciato	42	Max WS	0.72	32.2	37.88	32.42	37.88	0	0.01	82.91	27.2	0
VecchioTracciato	41.6		Lat Struct									
VecchioTracciato	41.4		Lat Struct									
VecchioTracciato	41	Max WS	0.69	32.22	37.88	32.42	37.88	0	0.01	80.88	27.58	0
VecchioTracciato	40.6		Lat Struct									
VecchioTracciato	40.4		Lat Struct									
VecchioTracciato	40	Max WS	0.57	32.12	37.88	32.34	37.88	0	0.01	82.87	26.61	0
VecchioTracciato	39.6		Lat Struct									
VecchioTracciato	39.4		Lat Struct									
VecchioTracciato	39	Max WS	0.57	32.31	37.88	32.47	37.88	0	0.01	80.89	27.88	0
VecchioTracciato	38.6		Lat Struct									
VecchioTracciato	38.4		Lat Struct									
VecchioTracciato	38	Max WS	0.46	32.48	37.88	32.64	37.88	0	0	115.63	35.34	0
VecchioTracciato	37.5		Bridge									
VecchioTracciato	37.1	Max WS	0.49	32.49	37.88	32.61	37.88	0	0	104.7	32.08	0
VecchioTracciato	37	Max WS	0.49	32.49	37.88	32.61	37.88	0	0	104.7	32.08	0
VecchioTracciato	36.5		Bridge									
VecchioTracciato	36	Max WS	0.49	32.49	37.88	32.61	37.88	0	0	104.7	32.08	0
VecchioTracciato	35.6		Lat Struct									
VecchioTracciato	35.4		Lat Struct									
VecchioTracciato	35	Max WS	0.44	32.3	37.88	32.52	37.88	0	0	105.74	30.78	0
VecchioTracciato	34.6		Lat Struct									
VecchioTracciato	34.4		Lat Struct									
VecchioTracciato	34	Max WS	0.12	32.16	37.88	32.23	37.88	0	0	80.45	26.65	0
VecchioTracciato	33.6		Lat Struct									
VecchioTracciato	33.4		Lat Struct									
VecchioTracciato	33	Max WS	0.18	32.12	37.88	32.21	37.88	0	0	81.13	26.75	0
VecchioTracciato	32.6		Lat Struct									
VecchioTracciato	32.4		Lat Struct									
VecchioTracciato	32	Max WS	-0.21	32.07	37.88	32.17	37.88	0	0	82.46	27.02	0
VecchioTracciato	31.6		Lat Struct									
VecchioTracciato	31.4		Lat Struct									
VecchioTracciato	31	Max WS	-0.08	32.13	37.88	32.19	37.88	0	0	82.43	27.14	0
VecchioTracciato	30.6		Lat Struct									
VecchioTracciato	30.4		Lat Struct									
VecchioTracciato	30	Max WS	-0.21	32.02	37.88	32.09	37.88	0	0	82.99	26.96	0
VecchioTracciato	29.6		Lat Struct									
VecchioTracciato	29.4		Lat Struct									
VecchioTracciato	29	Max WS	-0.26	32.06	37.88	32.2	37.88	0	0	83.55	27.14	0
VecchioTracciato	28.6		Lat Struct									
VecchioTracciato	28.4		Lat Struct									
VecchioTracciato	28	Max WS	-0.43	32.14	37.88	32.27	37.88	0	-0.01	79.95	26.54	0
VecchioTracciato	27.6		Lat Struct									
VecchioTracciato	27.4		Lat Struct									
VecchioTracciato	27	Max WS	-0.43	31.92	37.88	32.1	37.88	0	-0.01	85.2	27.29	0
VecchioTracciato	26.6		Lat Struct									
VecchioTracciato	26.4		Lat Struct									
VecchioTracciato	26	Max WS	-0.22	32	37.87	32.13	37.87	0	0	87.45	27.41	0
VecchioTracciato	25.6		Lat Struct									
VecchioTracciato	25.4		Lat Struct									
VecchioTracciato	25	Max WS	-0.32	32.07	37.87	32.16	37.87	0	0	85.44	27.6	0
VecchioTracciato	24.6		Lat Struct									
VecchioTracciato	24.4		Lat Struct									
VecchioTracciato	24	Max WS	-0.42	31.97	37.87	32.14	37.87	0	0	87.54	27.98	0
VecchioTracciato	23.6		Lat Struct									
VecchioTracciato	23.4		Lat Struct									
VecchioTracciato	23	Max WS	-0.58	32.08	37.87	32.21	37.87	0	-0.01	89.71	27.98	0
VecchioTracciato	22.6		Lat Struct									
VecchioTracciato	22.4		Lat Struct									
VecchioTracciato	22	Max WS	-0.64	32.01	37.87	32.16	37.87	0	-0.01	88.51	27.84	0
VecchioTracciato	21.6		Lat Struct									
VecchioTracciato	21.4		Lat Struct									
VecchioTracciato	21	Max WS	-0.79	31.87	37.87	32.11	37.87	0	-0.01	89.06	28.11	0

VecchioTracciato	20.6	Lat Struct										
VecchioTracciato	20.4	Lat Struct										
VecchioTracciato	20 Max WS	-1.02	31.74	37.87	31.95	37.87	0	-0.01	93.94	28.18	0	
VecchioTracciato	19.6	Lat Struct										
VecchioTracciato	19.4	Lat Struct										
VecchioTracciato	19 Max WS	-1.25	31.58	37.87	31.92	37.87	0	-0.01	94.99	28.48	0	
VecchioTracciato	18.6	Lat Struct										
VecchioTracciato	18.4	Lat Struct										
VecchioTracciato	18 Max WS	-1.33	31.95	37.87	32.15	37.87	0	-0.02	85.87	27.26	0	
VecchioTracciato	17.6	Lat Struct										
VecchioTracciato	17.4	Lat Struct										
VecchioTracciato	17 Max WS	-1.35	32.17	37.87		37.87	0	-0.01	97.56	29.48	0	
VecchioTracciato	16.5	Bridge										
VecchioTracciato	16 Max WS	-1.39	32.17	37.87	32.4	37.87	0	-0.01	98.21	29.48	0	
VecchioTracciato	15.6	Lat Struct										
VecchioTracciato	15.4	Lat Struct										
VecchioTracciato	15 Max WS	-1.39	32.25	37.87	32.51	37.87	0	-0.01	104	33.55	0	
VecchioTracciato	14.6	Lat Struct										
VecchioTracciato	14.4	Lat Struct										
VecchioTracciato	14 Max WS	-1.38	31.95	37.87	32.15	37.87	0	-0.02	85.89	27.26	0	
VecchioTracciato	13.6	Lat Struct										
VecchioTracciato	13.4	Lat Struct										
VecchioTracciato	13 Max WS	-1.63	32.04	37.88	32.39	37.88	0	-0.02	90.92	28.59	0	
VecchioTracciato	12.6	Lat Struct										
VecchioTracciato	12.4	Lat Struct										
VecchioTracciato	12 Max WS	-1.78	32.24	37.87	32.45	37.87	0	-0.02	91.64	29.13	0	
VecchioTracciato	11.6	Lat Struct										
VecchioTracciato	11.4	Lat Struct										
VecchioTracciato	11 Max WS	-2.65	32.1	37.88	32.47	37.88	0	-0.03	92.95	29.31	0.01	
VecchioTracciato	10.6	Lat Struct										
VecchioTracciato	10.4	Lat Struct										
VecchioTracciato	10 Max WS	-1.29	32.08	37.88	32.19	37.88	0	-0.02	69.58	12	0	
VecchioTracciato	9.6	Lat Struct										
VecchioTracciato	9.4	Lat Struct										
VecchioTracciato	9 Max WS	-1.45	30.8	37.88	30.93	37.88	0	-0.02	70.8	10	0	
VecchioTracciato	8.6	Lat Struct										
VecchioTracciato	8.4	Lat Struct										
VecchioTracciato	8 Max WS	0	30.8	37.86	30.81	37.86	0	0	70.62	10	0	
VecchioTracciato	7.6	Inl Struct										
VecchioTracciato	7.1 Max WS	0	30.8	38.78	30.81	38.78	0	0	79.8	10	0	
VecchioTracciato	7 Max WS	0	30.8	38.78	30.81	38.78	0	0	95.76	12	0	
VecchioTracciato	1.6	Lat Struct										
VecchioTracciato	1.4	Lat Struct										
VecchioTracciato	1.1 Max WS	0	31.66	38.78	31.67	38.78	0	0	169	38.44	0	
VecchioTracciato	1 Max WS	-0.02	31.66	38.78	31.69	38.78	0	0	169	38.44	0	
VecchioTracciato	9 Max WS	0	30.8	38.42	30.81	38.42	0	0	76.23	10	0	
VecchioTracciato	8.6	Lat Struct										
VecchioTracciato	8.4	Lat Struct										
VecchioTracciato	8 Max WS	0	30.8	38.42	30.81	38.42	0	0	76.23	10	0	
VecchioTracciato	7.6	Inl Struct										
VecchioTracciato	7.1 Max WS	0	30.8	39.76	30.81	39.76	0	0	89.6	10	0	
VecchioTracciato	7 Max WS	0	30.8	39.76	30.81	39.76	0	0	107.52	12	0	
VecchioTracciato	1.6	Lat Struct										
VecchioTracciato	1.4	Lat Struct										
VecchioTracciato	1.1 Max WS	0.01	31.66	39.76	31.68	39.76	0	0	207.88	40.93	0	
VecchioTracciato	1 Max WS	-0.02	31.66	39.76	31.69	39.76	0	0	207.88	40.93	0	

VecchioTracciato	43.5	Max WS	66.1	32.36	37.04	34.87	37.09	0.000347	1.02	64.79	28.26	0.22
VecchioTracciato	43.26	Lat Struct										
VecchioTracciato	43.24	Lat Struct										
VecchioTracciato	43	Max WS	65.96	32.46	37	34.85	37.08	0.000575	1.25	52.6	24.13	0.27
VecchioTracciato	42.6	Lat Struct										
VecchioTracciato	42.4	Lat Struct										
VecchioTracciato	42	Max WS	65.86	32.2	36.98	34.41	37.04	0.000393	1.11	59.58	24.75	0.23
VecchioTracciato	41.6	Lat Struct										
VecchioTracciato	41.4	Lat Struct										
VecchioTracciato	41	Max WS	65.71	32.22	36.92	34.46	36.99	0.000493	1.18	55.77	25.08	0.25
VecchioTracciato	40.6	Lat Struct										
VecchioTracciato	40.4	Lat Struct										
VecchioTracciato	40	Max WS	65.65	32.12	36.88	34.32	36.94	0.000419	1.14	57.64	23.86	0.23
VecchioTracciato	39.6	Lat Struct										
VecchioTracciato	39.4	Lat Struct										
VecchioTracciato	39	Max WS	65.63	32.31	36.87	34.5	36.94	0.000528	1.21	54.38	24.7	0.26
VecchioTracciato	38.6	Lat Struct										
VecchioTracciato	38.4	Lat Struct										
VecchioTracciato	38	Max WS	65.66	32.48	36.9	34.54	36.93	0.000195	0.8	82.24	32.92	0.16
VecchioTracciato	37.5	Bridge										
VecchioTracciato	37.1	Max WS	65.64	32.49	36.87	34.96	36.92	0.000334	0.9	72.54	32.07	0.19
VecchioTracciato	37	Max WS	65.64	32.49	36.87	34.96	36.92	0.000334	0.9	72.54	32.07	0.19
VecchioTracciato	36.5	Bridge										
VecchioTracciato	36	Max WS	65.63	32.49	36.86	34.96	36.9	0.00034	0.91	72.16	32.07	0.19
VecchioTracciato	35.6	Lat Struct										
VecchioTracciato	35.4	Lat Struct										
VecchioTracciato	35	Max WS	65.63	32.3	36.86	34.66	36.9	0.000249	0.88	74.53	30.76	0.18
VecchioTracciato	34.6	Lat Struct										
VecchioTracciato	34.4	Lat Struct										
VecchioTracciato	34	Max WS	65.46	32.16	36.77	34.41	36.85	0.000545	1.24	52.74	23.41	0.26
VecchioTracciato	33.6	Lat Struct										
VecchioTracciato	33.4	Lat Struct										
VecchioTracciato	33	Max WS	65.3	32.12	36.71	34.37	36.79	0.000568	1.26	51.97	23.28	0.27
VecchioTracciato	32.6	Lat Struct										
VecchioTracciato	32.4	Lat Struct										
VecchioTracciato	32	Max WS	65.26	32.07	36.67	34.3	36.75	0.000564	1.25	52.05	23.35	0.27
VecchioTracciato	31.6	Lat Struct										
VecchioTracciato	31.4	Lat Struct										
VecchioTracciato	31	Max WS	65.21	32.13	36.6	34.36	36.69	0.000639	1.3	50.1	23.56	0.29
VecchioTracciato	30.6	Lat Struct										
VecchioTracciato	30.4	Lat Struct										
VecchioTracciato	30	Max WS	0.28	32.02	36.53	32.11	36.53	0	0.01	49.54	22.14	0
VecchioTracciato	29.6	Lat Struct										
VecchioTracciato	29.4	Lat Struct										
VecchioTracciato	29	Max WS	0.29	32.06	36.53	32.21	36.53	0	0.01	49.78	23.12	0
VecchioTracciato	28.6	Lat Struct										
VecchioTracciato	28.4	Lat Struct										
VecchioTracciato	28	Max WS	0.2	32.14	36.53	32.23	36.53	0	0	46.87	21.88	0
VecchioTracciato	27.6	Lat Struct										
VecchioTracciato	27.4	Lat Struct										
VecchioTracciato	27	Max WS	0.2	31.92	36.53	32.05	36.53	0	0	51.29	23.17	0
VecchioTracciato	26.6	Lat Struct										
VecchioTracciato	26.4	Lat Struct										
VecchioTracciato	26	Max WS	-0.04	32	36.53	32.06	36.53	0	0	53.28	23.49	0
VecchioTracciato	25.6	Lat Struct										
VecchioTracciato	25.4	Lat Struct										
VecchioTracciato	25	Max WS	-0.08	32.07	36.53	32.11	36.53	0	0	51.01	23.71	0
VecchioTracciato	24.6	Lat Struct										
VecchioTracciato	24.4	Lat Struct										
VecchioTracciato	24	Max WS	-0.1	31.97	36.53	32.07	36.53	0	0	52.51	24.22	0
VecchioTracciato	23.6	Lat Struct										
VecchioTracciato	23.4	Lat Struct										
VecchioTracciato	23	Max WS	-0.28	32.08	36.53	32.16	36.53	0	-0.01	54.63	24.27	0
VecchioTracciato	22.6	Lat Struct										
VecchioTracciato	22.4	Lat Struct										
VecchioTracciato	22	Max WS	-0.45	32.01	36.53	32.13	36.53	0	-0.01	53.69	24	0
VecchioTracciato	21.6	Lat Struct										
VecchioTracciato	21.4	Lat Struct										
VecchioTracciato	21	Max WS	-0.64	31.87	36.53	32.09	36.53	0	-0.01	53.84	24.31	0

VecchioTracciato	20.6	Lat Struct										
VecchioTracciato	20.4	Lat Struct										
VecchioTracciato	20	Max WS	-0.89	31.74	36.53	31.94	36.53	0	-0.02	58.73	24.23	0
VecchioTracciato	19.6	Lat Struct										
VecchioTracciato	19.4	Lat Struct										
VecchioTracciato	19	Max WS	-1.11	31.58	36.53	31.9	36.53	0	-0.02	59.35	24.57	0
VecchioTracciato	18.6	Lat Struct										
VecchioTracciato	18.4	Lat Struct										
VecchioTracciato	18	Max WS	-1.11	31.95	36.53	32.12	36.53	0	-0.02	51.93	22.2	0
VecchioTracciato	17.6	Lat Struct										
VecchioTracciato	17.4	Lat Struct										
VecchioTracciato	17	Max WS	-1.11	32.17	36.53		36.53	0	-0.02	59.98	26.49	0
VecchioTracciato	16.5	Bridge										
VecchioTracciato	16	Max WS	-1.13	32.17	36.53	32.38	36.53	0	-0.02	60.62	26.49	0
VecchioTracciato	15.6	Lat Struct										
VecchioTracciato	15.4	Lat Struct										
VecchioTracciato	15	Max WS	-1.15	32.25	36.53	32.49	36.53	0	-0.02	61.08	29.45	0
VecchioTracciato	14.6	Lat Struct										
VecchioTracciato	14.4	Lat Struct										
VecchioTracciato	14	Max WS	-1.18	31.95	36.53	32.13	36.53	0	-0.02	51.93	22.2	0
VecchioTracciato	13.6	Lat Struct										
VecchioTracciato	13.4	Lat Struct										
VecchioTracciato	13	Max WS	-1.94	32.04	36.53	32.42	36.53	0	-0.04	55.02	24.87	0.01
VecchioTracciato	12.6	Lat Struct										
VecchioTracciato	12.4	Lat Struct										
VecchioTracciato	12	Max WS	-1.37	32.24	36.53	32.42	36.53	0	-0.02	54.84	25.67	0.01
VecchioTracciato	11.6	Lat Struct										
VecchioTracciato	11.4	Lat Struct										
VecchioTracciato	11	Max WS	-2.58	32.1	36.54	32.47	36.54	0.000001	-0.05	56.26	25.36	0.01
VecchioTracciato	10.6	Lat Struct										
VecchioTracciato	10.4	Lat Struct										
VecchioTracciato	10	Max WS	-1.46	32.08	36.54	32.19	36.54	0	-0.03	53.48	12	0
VecchioTracciato	9.6	Lat Struct										
VecchioTracciato	9.4	Lat Struct										
VecchioTracciato	9	Max WS	-1.68	30.8	36.54	30.94	36.54	0	-0.03	57.39	10	0
VecchioTracciato	8.6	Lat Struct										
VecchioTracciato	8.4	Lat Struct										
VecchioTracciato	8	Max WS	0	30.8	36.51	30.81	36.51	0	0	57.14	10	0
VecchioTracciato	7.6	Inl Struct										
VecchioTracciato	7.1	Max WS	0	30.8	36.25	30.81	36.25	0	0	54.5	10	0
VecchioTracciato	7	Max WS	0	30.8	36.25	30.81	36.25	0	0	65.4	12	0
VecchioTracciato	1.6	Lat Struct										
VecchioTracciato	1.4	Lat Struct										
VecchioTracciato	1.1	Max WS	0	31.66	36.25	31.67	36.25	0	0	82.75	29.51	0
VecchioTracciato	1	Max WS	-0.01	31.66	36.25	31.68	36.25	0	0	82.75	29.51	0
VecchioTracciato	9	Max WS	0	30.8	38.42	30.81	38.42	0	0	76.23	10	0
VecchioTracciato	8.6	Lat Struct										
VecchioTracciato	8.4	Lat Struct										
VecchioTracciato	8	Max WS	0	30.8	38.42	30.81	38.42	0	0	76.23	10	0
VecchioTracciato	7.6	Inl Struct										
VecchioTracciato	7.1	Max WS	0	30.8	39.76	30.81	39.76	0	0	89.6	10	0
VecchioTracciato	7	Max WS	0	30.8	39.76	30.81	39.76	0	0	107.52	12	0
VecchioTracciato	1.6	Lat Struct										
VecchioTracciato	1.4	Lat Struct										
VecchioTracciato	1.1	Max WS	0.01	31.66	39.76	31.68	39.76	0	0	207.88	40.93	0
VecchioTracciato	1	Max WS	-0.02	31.66	39.76	31.69	39.76	0	0	207.88	40.93	0

VecchioTracciato	43.5	Max WS	1.22	32.36	37.66	32.68	37.66	0	0.01	82.98	30.17	0
VecchioTracciato	43.26		Lat Struct									
VecchioTracciato	43.24		Lat Struct									
VecchioTracciato	43	Max WS	1.24	32.46	37.66	32.76	37.66	0	0.02	69.13	26.13	0
VecchioTracciato	42.6		Lat Struct									
VecchioTracciato	42.4		Lat Struct									
VecchioTracciato	42	Max WS	1.06	32.2	37.66	32.46	37.66	0	0.01	76.96	26.6	0
VecchioTracciato	41.6		Lat Struct									
VecchioTracciato	41.4		Lat Struct									
VecchioTracciato	41	Max WS	0.98	32.22	37.66	32.46	37.66	0	0.01	74.91	27.01	0
VecchioTracciato	40.6		Lat Struct									
VecchioTracciato	40.4		Lat Struct									
VecchioTracciato	40	Max WS	0.91	32.12	37.66	32.38	37.66	0	0.01	77.12	26.01	0
VecchioTracciato	39.6		Lat Struct									
VecchioTracciato	39.4		Lat Struct									
VecchioTracciato	39	Max WS	0.91	32.31	37.66	32.51	37.66	0	0.01	74.87	27.19	0
VecchioTracciato	38.6		Lat Struct									
VecchioTracciato	38.4		Lat Struct									
VecchioTracciato	38	Max WS	0.85	32.48	37.66	32.69	37.66	0	0.01	107.96	34.79	0
VecchioTracciato	37.5		Bridge									
VecchioTracciato	37.1	Max WS	0.85	32.49	37.66	32.66	37.66	0	0.01	97.68	32.08	0
VecchioTracciato	37	Max WS	0.85	32.49	37.66	32.66	37.66	0	0.01	97.68	32.08	0
VecchioTracciato	36.5		Bridge									
VecchioTracciato	36	Max WS	0.85	32.49	37.66	32.66	37.66	0	0.01	97.68	32.08	0
VecchioTracciato	35.6		Lat Struct									
VecchioTracciato	35.4		Lat Struct									
VecchioTracciato	35	Max WS	0.76	32.3	37.66	32.58	37.66	0	0.01	98.99	30.77	0
VecchioTracciato	34.6		Lat Struct									
VecchioTracciato	34.4		Lat Struct									
VecchioTracciato	34	Max WS	0.62	32.16	37.66	32.31	37.66	0	0.01	74.62	26	0
VecchioTracciato	33.6		Lat Struct									
VecchioTracciato	33.4		Lat Struct									
VecchioTracciato	33	Max WS	0.69	32.12	37.66	32.29	37.66	0	0.01	75.27	26.08	0
VecchioTracciato	32.6		Lat Struct									
VecchioTracciato	32.4		Lat Struct									
VecchioTracciato	32	Max WS	0.71	32.07	37.66	32.24	37.66	0	0.01	76.56	26.35	0
VecchioTracciato	31.6		Lat Struct									
VecchioTracciato	31.4		Lat Struct									
VecchioTracciato	31	Max WS	0.47	32.13	37.66	32.27	37.66	0	0.01	76.52	26.52	0
VecchioTracciato	30.6		Lat Struct									
VecchioTracciato	30.4		Lat Struct									
VecchioTracciato	30	Max WS	0.65	32.02	37.65	32.16	37.66	0	0.01	77.1	26.28	0
VecchioTracciato	29.6		Lat Struct									
VecchioTracciato	29.4		Lat Struct									
VecchioTracciato	29	Max WS	0.55	32.06	37.65	32.25	37.65	0	0.01	77.58	26.47	0
VecchioTracciato	28.6		Lat Struct									
VecchioTracciato	28.4		Lat Struct									
VecchioTracciato	28	Max WS	0.45	32.14	37.65	32.28	37.65	0	0.01	74.08	25.9	0
VecchioTracciato	27.6		Lat Struct									
VecchioTracciato	27.4		Lat Struct									
VecchioTracciato	27	Max WS	0.45	31.92	37.65	32.1	37.65	0	0.01	79.17	26.6	0
VecchioTracciato	26.6		Lat Struct									
VecchioTracciato	26.4		Lat Struct									
VecchioTracciato	26	Max WS	0.28	32	37.65	32.15	37.65	0	0	81.46	26.77	0
VecchioTracciato	25.6		Lat Struct									
VecchioTracciato	25.4		Lat Struct									
VecchioTracciato	25	Max WS	0.23	32.07	37.65	32.14	37.65	0	0	79.42	26.96	0
VecchioTracciato	24.6		Lat Struct									
VecchioTracciato	24.4		Lat Struct									
VecchioTracciato	24	Max WS	0.22	31.97	37.65	32.1	37.65	0	0	81.43	27.36	0
VecchioTracciato	23.6		Lat Struct									
VecchioTracciato	23.4		Lat Struct									
VecchioTracciato	23	Max WS	0.06	32.08	37.65	32.11	37.65	0	0	83.59	27.37	0
VecchioTracciato	22.6		Lat Struct									
VecchioTracciato	22.4		Lat Struct									
VecchioTracciato	22	Max WS	-0.09	32.01	37.65	32.07	37.65	0	0	82.41	27.21	0
VecchioTracciato	21.6		Lat Struct									
VecchioTracciato	21.4		Lat Struct									
VecchioTracciato	21	Max WS	-0.16	31.87	37.65	32	37.65	0	0	82.89	27.48	0

VecchioTracciato	20.6	Lat Struct										
VecchioTracciato	20.4	Lat Struct										
VecchioTracciato	20	Max WS	-0.35	31.74	37.65	31.87	37.65	0	0	87.75	27.53	0
VecchioTracciato	19.6	Lat Struct										
VecchioTracciato	19.4	Lat Struct										
VecchioTracciato	19	Max WS	-0.47	31.58	37.65	31.81	37.65	0	-0.01	88.72	27.84	0
VecchioTracciato	18.6	Lat Struct										
VecchioTracciato	18.4	Lat Struct										
VecchioTracciato	18	Max WS	-0.58	31.95	37.65	32.06	37.65	0	-0.01	79.87	26.62	0
VecchioTracciato	17.6	Lat Struct										
VecchioTracciato	17.4	Lat Struct										
VecchioTracciato	17	Max WS	-0.56	32.17	37.65		37.65	0	-0.01	91.05	28.98	0
VecchioTracciato	16.5	Bridge										
VecchioTracciato	16	Max WS	-0.55	32.17	37.65	32.32	37.65	0	-0.01	91.7	28.98	0
VecchioTracciato	15.6	Lat Struct										
VecchioTracciato	15.4	Lat Struct										
VecchioTracciato	15	Max WS	-0.55	32.25	37.65	32.43	37.65	0	-0.01	96.55	33.32	0
VecchioTracciato	14.6	Lat Struct										
VecchioTracciato	14.4	Lat Struct										
VecchioTracciato	14	Max WS	-0.59	31.95	37.65	32.06	37.65	0	-0.01	79.87	26.62	0
VecchioTracciato	13.6	Lat Struct										
VecchioTracciato	13.4	Lat Struct										
VecchioTracciato	13	Max WS	-0.77	32.04	37.65	32.31	37.65	0	-0.01	84.59	27.97	0
VecchioTracciato	12.6	Lat Struct										
VecchioTracciato	12.4	Lat Struct										
VecchioTracciato	12	Max WS	-0.85	32.24	37.65	32.37	37.65	0	-0.01	85.23	28.56	0
VecchioTracciato	11.6	Lat Struct										
VecchioTracciato	11.4	Lat Struct										
VecchioTracciato	11	Max WS	-1.02	32.1	37.65	32.34	37.65	0	-0.01	86.35	28.64	0
VecchioTracciato	10.6	Lat Struct										
VecchioTracciato	10.4	Lat Struct										
VecchioTracciato	10	Max WS	-1.22	32.08	37.66	32.18	37.66	0	-0.02	66.97	12	0
VecchioTracciato	9.6	Lat Struct										
VecchioTracciato	9.4	Lat Struct										
VecchioTracciato	9	Max WS	-1.57	30.8	37.66	30.94	37.66	0	-0.02	68.64	10	0
VecchioTracciato	8.6	Lat Struct										
VecchioTracciato	8.4	Lat Struct										
VecchioTracciato	8	Max WS	0	30.8	37.64	30.81	37.64	0	0	68.44	10	0
VecchioTracciato	7.6	Inl Struct										
VecchioTracciato	7.1	Max WS	0	30.8	37.41	30.81	37.41	0	0	66.1	10	0
VecchioTracciato	7	Max WS	0	30.8	37.41	30.81	37.41	0	0	79.32	12	0
VecchioTracciato	1.6	Lat Struct										
VecchioTracciato	1.4	Lat Struct										
VecchioTracciato	1.1	Max WS	-0.01	31.66	37.41	31.68	37.41	0	0	118.76	34.12	0
VecchioTracciato	1	Max WS	-0.02	31.66	37.41	31.69	37.41	0	0	118.76	34.12	0
VecchioTracciato	9	Max WS	0	30.8	38.42	30.81	38.42	0	0	76.23	10	0
VecchioTracciato	8.6	Lat Struct										
VecchioTracciato	8.4	Lat Struct										
VecchioTracciato	8	Max WS	0	30.8	38.42	30.81	38.42	0	0	76.23	10	0
VecchioTracciato	7.6	Inl Struct										
VecchioTracciato	7.1	Max WS	0	30.8	39.76	30.81	39.76	0	0	89.6	10	0
VecchioTracciato	7	Max WS	0	30.8	39.76	30.81	39.76	0	0	107.52	12	0
VecchioTracciato	1.6	Lat Struct										
VecchioTracciato	1.4	Lat Struct										
VecchioTracciato	1.1	Max WS	0.01	31.66	39.76	31.68	39.76	0	0	207.88	40.93	0
VecchioTracciato	1	Max WS	-0.02	31.66	39.76	31.69	39.76	0	0	207.88	40.93	0

VecchioTracciato	43.5	Max WS	1.2	32.36	38.07	32.68	38.07	0	0.01	95.71	31.75	0
VecchioTracciato	43.26		Lat Struct									
VecchioTracciato	43.24		Lat Struct									
VecchioTracciato	43	Max WS	1.12	32.46	38.07	32.75	38.07	0	0.01	80.12	27.38	0
VecchioTracciato	42.6		Lat Struct									
VecchioTracciato	42.4		Lat Struct									
VecchioTracciato	42	Max WS	1.1	32.2	38.07	32.47	38.07	0	0.01	88.14	27.72	0
VecchioTracciato	41.6		Lat Struct									
VecchioTracciato	41.4		Lat Struct									
VecchioTracciato	41	Max WS	1.04	32.22	38.07	32.46	38.07	0	0.01	86.19	28.09	0
VecchioTracciato	40.6		Lat Struct									
VecchioTracciato	40.4		Lat Struct									
VecchioTracciato	40	Max WS	0.82	32.12	38.07	32.37	38.07	0	0.01	88.03	27.14	0
VecchioTracciato	39.6		Lat Struct									
VecchioTracciato	39.4		Lat Struct									
VecchioTracciato	39	Max WS	0.81	32.31	38.07	32.5	38.07	0	0.01	86.3	28.48	0
VecchioTracciato	38.6		Lat Struct									
VecchioTracciato	38.4		Lat Struct									
VecchioTracciato	38	Max WS	0.67	32.48	38.07	32.67	38.07	0	0.01	122.46	35.83	0
VecchioTracciato	37.5		Bridge									
VecchioTracciato	37.1	Max WS	0.67	32.49	38.07	32.64	38.07	0	0.01	110.84	32.08	0
VecchioTracciato	37	Max WS	0.67	32.49	38.07	32.64	38.07	0	0.01	110.84	32.08	0
VecchioTracciato	36.5		Bridge									
VecchioTracciato	36	Max WS	0.67	32.49	38.07	32.64	38.07	0	0.01	110.84	32.08	0
VecchioTracciato	35.6		Lat Struct									
VecchioTracciato	35.4		Lat Struct									
VecchioTracciato	35	Max WS	0.63	32.3	38.07	32.56	38.07	0	0.01	111.63	30.78	0
VecchioTracciato	34.6		Lat Struct									
VecchioTracciato	34.4		Lat Struct									
VecchioTracciato	34	Max WS	0.59	32.16	38.07	32.31	38.07	0	0.01	85.6	27.21	0
VecchioTracciato	33.6		Lat Struct									
VecchioTracciato	33.4		Lat Struct									
VecchioTracciato	33	Max WS	0.63	32.12	38.07	32.28	38.07	0	0.01	86.25	27.31	0
VecchioTracciato	32.6		Lat Struct									
VecchioTracciato	32.4		Lat Struct									
VecchioTracciato	32	Max WS	0.46	32.07	38.07	32.21	38.07	0	0.01	87.65	27.6	0
VecchioTracciato	31.6		Lat Struct									
VecchioTracciato	31.4		Lat Struct									
VecchioTracciato	31	Max WS	0.6	32.13	38.07	32.29	38.07	0	0.01	87.62	27.67	0
VecchioTracciato	30.6		Lat Struct									
VecchioTracciato	30.4		Lat Struct									
VecchioTracciato	30	Max WS	0.36	32.02	38.07	32.12	38.07	0	0	88.18	27.55	0
VecchioTracciato	29.6		Lat Struct									
VecchioTracciato	29.4		Lat Struct									
VecchioTracciato	29	Max WS	0.39	32.06	38.07	32.23	38.07	0	0	88.77	27.71	0
VecchioTracciato	28.6		Lat Struct									
VecchioTracciato	28.4		Lat Struct									
VecchioTracciato	28	Max WS	0.28	32.14	38.07	32.25	38.07	0	0	85.03	27.09	0
VecchioTracciato	27.6		Lat Struct									
VecchioTracciato	27.4		Lat Struct									
VecchioTracciato	27	Max WS	0.17	31.92	38.07	32.04	38.07	0	0	90.45	27.87	0
VecchioTracciato	26.6		Lat Struct									
VecchioTracciato	26.4		Lat Struct									
VecchioTracciato	26	Max WS	0.43	32	38.06	32.17	38.06	0	0	92.73	27.97	0
VecchioTracciato	25.6		Lat Struct									
VecchioTracciato	25.4		Lat Struct									
VecchioTracciato	25	Max WS	0.34	32.07	38.06	32.16	38.06	0	0	90.77	28.16	0
VecchioTracciato	24.6		Lat Struct									
VecchioTracciato	24.4		Lat Struct									
VecchioTracciato	24	Max WS	0.27	31.97	38.06	32.11	38.06	0	0	92.94	28.51	0
VecchioTracciato	23.6		Lat Struct									
VecchioTracciato	23.4		Lat Struct									
VecchioTracciato	23	Max WS	0.18	32.08	38.06	32.14	38.06	0	0	95.11	28.5	0
VecchioTracciato	22.6		Lat Struct									
VecchioTracciato	22.4		Lat Struct									
VecchioTracciato	22	Max WS	0.07	32.01	38.06	32.06	38.06	0	0	93.86	28.39	0
VecchioTracciato	21.6		Lat Struct									
VecchioTracciato	21.4		Lat Struct									
VecchioTracciato	21	Max WS	-0.03	31.87	38.06	31.93	38.06	0	0	94.45	28.64	0

VecchioTracciato	20.6	Lat Struct										
VecchioTracciato	20.4	Lat Struct										
VecchioTracciato	20	Max WS	-0.18	31.74	38.06	31.84	38.06	0	0	99.3	28.73	0
VecchioTracciato	19.6	Lat Struct										
VecchioTracciato	19.4	Lat Struct										
VecchioTracciato	19	Max WS	-0.38	31.58	38.06	31.79	38.06	0	0	100.35	29.03	0
VecchioTracciato	18.6	Lat Struct										
VecchioTracciato	18.4	Lat Struct										
VecchioTracciato	18	Max WS	-0.43	31.95	38.06	32.04	38.06	0	0	90.99	27.79	0
VecchioTracciato	17.6	Lat Struct										
VecchioTracciato	17.4	Lat Struct										
VecchioTracciato	17	Max WS	-0.47	32.17	38.06		38.06	0	0	103.07	29.89	0
VecchioTracciato	16.5	Bridge										
VecchioTracciato	16	Max WS	-0.47	32.17	38.06	32.31	38.06	0	0	103.72	29.89	0
VecchioTracciato	15.6	Lat Struct										
VecchioTracciato	15.4	Lat Struct										
VecchioTracciato	15	Max WS	-0.48	32.25	38.06	32.42	38.06	0	0	110.23	33.74	0
VecchioTracciato	14.6	Lat Struct										
VecchioTracciato	14.4	Lat Struct										
VecchioTracciato	14	Max WS	-0.5	31.95	38.06	32.05	38.06	0	-0.01	90.98	27.79	0
VecchioTracciato	13.6	Lat Struct										
VecchioTracciato	13.4	Lat Struct										
VecchioTracciato	13	Max WS	-1.22	32.04	38.06	32.36	38.06	0	-0.01	96.28	29.1	0
VecchioTracciato	12.6	Lat Struct										
VecchioTracciato	12.4	Lat Struct										
VecchioTracciato	12	Max WS	-0.78	32.24	38.06	32.36	38.06	0	-0.01	97.06	29.61	0
VecchioTracciato	11.6	Lat Struct										
VecchioTracciato	11.4	Lat Struct										
VecchioTracciato	11	Max WS	-0.93	32.1	38.06	32.33	38.06	0	-0.01	98.23	29.84	0
VecchioTracciato	10.6	Lat Struct										
VecchioTracciato	10.4	Lat Struct										
VecchioTracciato	10	Max WS	-1.29	32.08	38.07	32.18	38.07	0	-0.02	71.86	12	0
VecchioTracciato	9.6	Lat Struct										
VecchioTracciato	9.4	Lat Struct										
VecchioTracciato	9	Max WS	-1.63	30.8	38.07	30.94	38.07	0	-0.02	72.72	10	0
VecchioTracciato	8.6	Lat Struct										
VecchioTracciato	8.4	Lat Struct										
VecchioTracciato	8	Max WS	0	30.8	38.05	30.81	38.05	0	0	72.51	10	0
VecchioTracciato	7.6	Inl Struct										
VecchioTracciato	7.1	Max WS	0	30.8	38.87	30.81	38.87	0	0	80.7	10	0
VecchioTracciato	7	Max WS	0	30.8	38.87	30.81	38.87	0	0	96.84	12	0
VecchioTracciato	1.6	Lat Struct										
VecchioTracciato	1.4	Lat Struct										
VecchioTracciato	1.1	Max WS	-0.01	31.66	38.87	31.68	38.87	0	0	172.46	38.67	0
VecchioTracciato	1	Max WS	-0.02	31.66	38.87	31.69	38.87	0	0	172.46	38.67	0
VecchioTracciato	9	Max WS	0	30.8	38.42	30.81	38.42	0	0	76.23	10	0
VecchioTracciato	8.6	Lat Struct										
VecchioTracciato	8.4	Lat Struct										
VecchioTracciato	8	Max WS	0	30.8	38.42	30.81	38.42	0	0	76.23	10	0
VecchioTracciato	7.6	Inl Struct										
VecchioTracciato	7.1	Max WS	0	30.8	39.76	30.81	39.76	0	0	89.6	10	0
VecchioTracciato	7	Max WS	0	30.8	39.76	30.81	39.76	0	0	107.52	12	0
VecchioTracciato	1.6	Lat Struct										
VecchioTracciato	1.4	Lat Struct										
VecchioTracciato	1.1	Max WS	0.01	31.66	39.76	31.68	39.76	0	0	207.88	40.93	0
VecchioTracciato	1	Max WS	-0.02	31.66	39.76	31.69	39.76	0	0	207.88	40.93	0

VecchioTracciato	43.5	Max WS	-0.6	32.36	38.18	32.59	38.18	0	-0.01	99.15	32.17	0
VecchioTracciato	43.26		Lat Struct									
VecchioTracciato	43.24		Lat Struct									
VecchioTracciato	43	Max WS	-0.65	32.46	38.18	32.69	38.18	0	-0.01	83.09	27.71	0
VecchioTracciato	42.6		Lat Struct									
VecchioTracciato	42.4		Lat Struct									
VecchioTracciato	42	Max WS	-0.71	32.2	38.18	32.42	38.18	0	-0.01	91.11	28.01	0
VecchioTracciato	41.6		Lat Struct									
VecchioTracciato	41.4		Lat Struct									
VecchioTracciato	41	Max WS	-0.74	32.22	38.18	32.43	38.18	0	-0.01	89.27	28.37	0
VecchioTracciato	40.6		Lat Struct									
VecchioTracciato	40.4		Lat Struct									
VecchioTracciato	40	Max WS	-0.82	32.12	38.18	32.37	38.18	0	-0.01	91	27.44	0
VecchioTracciato	39.6		Lat Struct									
VecchioTracciato	39.4		Lat Struct									
VecchioTracciato	39	Max WS	-0.82	32.31	38.18	32.5	38.18	0	-0.01	89.42	28.82	0
VecchioTracciato	38.6		Lat Struct									
VecchioTracciato	38.4		Lat Struct									
VecchioTracciato	38	Max WS	-0.84	32.48	38.18		38.18	0	-0.01	126.4	36.11	0
VecchioTracciato	37.5		Bridge									
VecchioTracciato	37.1	Max WS	-0.84	32.49	38.18	32.65	38.18	0	-0.01	114.37	32.08	0
VecchioTracciato	37	Max WS	-0.84	32.49	38.18		38.18	0	-0.01	114.37	32.08	0
VecchioTracciato	36.5		Bridge									
VecchioTracciato	36	Max WS	-0.82	32.49	38.18	32.65	38.18	0	-0.01	114.38	32.08	0
VecchioTracciato	35.6		Lat Struct									
VecchioTracciato	35.4		Lat Struct									
VecchioTracciato	35	Max WS	-0.83	32.3	38.18	32.59	38.18	0	-0.01	115.03	30.78	0
VecchioTracciato	34.6		Lat Struct									
VecchioTracciato	34.4		Lat Struct									
VecchioTracciato	34	Max WS	-0.9	32.16	38.18	32.34	38.18	0	-0.01	88.59	27.53	0
VecchioTracciato	33.6		Lat Struct									
VecchioTracciato	33.4		Lat Struct									
VecchioTracciato	33	Max WS	-0.86	32.12	38.18	32.31	38.18	0	-0.01	89.28	27.64	0
VecchioTracciato	32.6		Lat Struct									
VecchioTracciato	32.4		Lat Struct									
VecchioTracciato	32	Max WS	-0.9	32.07	38.18	32.27	38.18	0	-0.01	90.74	27.94	0
VecchioTracciato	31.6		Lat Struct									
VecchioTracciato	31.4		Lat Struct									
VecchioTracciato	31	Max WS	-0.88	32.13	38.18	32.32	38.18	0	-0.01	90.73	27.98	0
VecchioTracciato	30.6		Lat Struct									
VecchioTracciato	30.4		Lat Struct									
VecchioTracciato	30	Max WS	-0.63	32.02	38.18	32.16	38.18	0	-0.01	91.25	27.89	0
VecchioTracciato	29.6		Lat Struct									
VecchioTracciato	29.4		Lat Struct									
VecchioTracciato	29	Max WS	-0.88	32.06	38.18	32.29	38.18	0	-0.01	91.87	28.04	0
VecchioTracciato	28.6		Lat Struct									
VecchioTracciato	28.4		Lat Struct									
VecchioTracciato	28	Max WS	-0.95	32.14	38.18	32.34	38.18	0	-0.01	88.09	27.41	0
VecchioTracciato	27.6		Lat Struct									
VecchioTracciato	27.4		Lat Struct									
VecchioTracciato	27	Max WS	-0.95	31.92	38.18	32.16	38.18	0	-0.01	93.59	28.22	0
VecchioTracciato	26.6		Lat Struct									
VecchioTracciato	26.4		Lat Struct									
VecchioTracciato	26	Max WS	-0.93	32	38.18	32.23	38.18	0	-0.01	95.94	28.3	0
VecchioTracciato	25.6		Lat Struct									
VecchioTracciato	25.4		Lat Struct									
VecchioTracciato	25	Max WS	-0.98	32.07	38.18	32.24	38.18	0	-0.01	94.01	28.49	0
VecchioTracciato	24.6		Lat Struct									
VecchioTracciato	24.4		Lat Struct									
VecchioTracciato	24	Max WS	-0.87	31.97	38.18	32.19	38.18	0	-0.01	96.22	28.83	0
VecchioTracciato	23.6		Lat Struct									
VecchioTracciato	23.4		Lat Struct									
VecchioTracciato	23	Max WS	-0.7	32.08	38.18	32.22	38.18	0	-0.01	98.35	28.82	0
VecchioTracciato	22.6		Lat Struct									
VecchioTracciato	22.4		Lat Struct									
VecchioTracciato	22	Max WS	-0.73	32.01	38.18	32.17	38.18	0	-0.01	97.12	28.71	0
VecchioTracciato	21.6		Lat Struct									
VecchioTracciato	21.4		Lat Struct									
VecchioTracciato	21	Max WS	-0.75	31.87	38.18	32.1	38.18	0	-0.01	97.76	28.97	0

VecchioTracciato	20.6	Lat Struct										
VecchioTracciato	20.4	Lat Struct										
VecchioTracciato	20	Max WS	-0.83	31.74	38.18	31.93	38.18	0	-0.01	102.65	29.08	0
VecchioTracciato	19.6	Lat Struct										
VecchioTracciato	19.4	Lat Struct										
VecchioTracciato	19	Max WS	-0.94	31.58	38.18	31.88	38.18	0	-0.01	103.8	29.37	0
VecchioTracciato	18.6	Lat Struct										
VecchioTracciato	18.4	Lat Struct										
VecchioTracciato	18	Max WS	-0.93	31.95	38.18	32.1	38.18	0	-0.01	94.31	28.13	0
VecchioTracciato	17.6	Lat Struct										
VecchioTracciato	17.4	Lat Struct										
VecchioTracciato	17	Max WS	-0.97	32.17	38.18		38.18	0	-0.01	106.65	30.16	0
VecchioTracciato	16.5	Bridge										
VecchioTracciato	16	Max WS	-0.93	32.17	38.18	32.36	38.18	0	-0.01	107.29	30.16	0
VecchioTracciato	15.6	Lat Struct										
VecchioTracciato	15.4	Lat Struct										
VecchioTracciato	15	Max WS	-0.95	32.25	38.18	32.47	38.18	0	-0.01	114.26	33.86	0
VecchioTracciato	14.6	Lat Struct										
VecchioTracciato	14.4	Lat Struct										
VecchioTracciato	14	Max WS	-0.97	31.95	38.18	32.11	38.18	0	-0.01	94.31	28.13	0
VecchioTracciato	13.6	Lat Struct										
VecchioTracciato	13.4	Lat Struct										
VecchioTracciato	13	Max WS	-1.03	32.04	38.18	32.34	38.18	0	-0.01	99.74	29.43	0
VecchioTracciato	12.6	Lat Struct										
VecchioTracciato	12.4	Lat Struct										
VecchioTracciato	12	Max WS	-1.01	32.24	38.18	32.39	38.18	0	-0.01	100.65	29.92	0
VecchioTracciato	11.6	Lat Struct										
VecchioTracciato	11.4	Lat Struct										
VecchioTracciato	11	Max WS	-0.95	32.1	38.18	32.33	38.18	0	-0.01	101.88	30.19	0
VecchioTracciato	10.6	Lat Struct										
VecchioTracciato	10.4	Lat Struct										
VecchioTracciato	10	Max WS	-1.34	32.08	38.19	32.19	38.19	0	-0.02	73.33	12	0
VecchioTracciato	9.6	Lat Struct										
VecchioTracciato	9.4	Lat Struct										
VecchioTracciato	9	Max WS	-1.68	30.8	38.19	30.94	38.19	0	-0.02	73.94	10	0
VecchioTracciato	8.6	Lat Struct										
VecchioTracciato	8.4	Lat Struct										
VecchioTracciato	8	Max WS	0	30.8	38.17	30.81	38.17	0	0	73.73	10	0
VecchioTracciato	7.6	Inl Struct										
VecchioTracciato	7.1	Max WS	0	30.8	39.22	30.81	39.22	0	0	84.2	10	0
VecchioTracciato	7	Max WS	0	30.8	39.22	30.81	39.22	0	0	101.04	12	0
VecchioTracciato	1.6	Lat Struct										
VecchioTracciato	1.4	Lat Struct										
VecchioTracciato	1.1	Max WS	-0.01	31.66	39.22	31.68	39.22	0	0	186.16	39.56	0
VecchioTracciato	1	Max WS	-0.02	31.66	39.22	31.69	39.22	0	0	186.16	39.56	0
VecchioTracciato	9	Max WS	0	30.8	38.42	30.81	38.42	0	0	76.23	10	0
VecchioTracciato	8.6	Lat Struct										
VecchioTracciato	8.4	Lat Struct										
VecchioTracciato	8	Max WS	0	30.8	38.42	30.81	38.42	0	0	76.23	10	0
VecchioTracciato	7.6	Inl Struct										
VecchioTracciato	7.1	Max WS	0	30.8	39.76	30.81	39.76	0	0	89.6	10	0
VecchioTracciato	7	Max WS	0	30.8	39.76	30.81	39.76	0	0	107.52	12	0
VecchioTracciato	1.6	Lat Struct										
VecchioTracciato	1.4	Lat Struct										
VecchioTracciato	1.1	Max WS	0.01	31.66	39.76	31.68	39.76	0	0	207.88	40.93	0
VecchioTracciato	1	Max WS	-0.02	31.66	39.76	31.69	39.76	0	0	207.88	40.93	0

VecchioTracciato	43.5	Max WS	0.93	32.36	38.39	32.64	38.39	0	0.01	105.97	32.91	0
VecchioTracciato	43.26		Lat Struct									
VecchioTracciato	43.24		Lat Struct									
VecchioTracciato	43	Max WS	0.92	32.46	38.39	32.72	38.39	0	0.01	88.96	28.35	0
VecchioTracciato	42.6		Lat Struct									
VecchioTracciato	42.4		Lat Struct									
VecchioTracciato	42	Max WS	0.87	32.2	38.39	32.44	38.39	0	0.01	97.07	28.59	0
VecchioTracciato	41.6		Lat Struct									
VecchioTracciato	41.4		Lat Struct									
VecchioTracciato	41	Max WS	0.81	32.22	38.39	32.44	38.39	0	0.01	95.29	28.92	0
VecchioTracciato	40.6		Lat Struct									
VecchioTracciato	40.4		Lat Struct									
VecchioTracciato	40	Max WS	0.67	32.12	38.39	32.35	38.39	0	0.01	96.82	28.02	0
VecchioTracciato	39.6		Lat Struct									
VecchioTracciato	39.4		Lat Struct									
VecchioTracciato	39	Max WS	0.66	32.31	38.39	32.48	38.39	0	0.01	95.53	29.48	0
VecchioTracciato	38.6		Lat Struct									
VecchioTracciato	38.4		Lat Struct									
VecchioTracciato	38	Max WS	0.62	32.48	38.39	32.66	38.39	0	0	134.03	36.64	0
VecchioTracciato	37.5		Bridge									
VecchioTracciato	37.1	Max WS	0.57	32.49	38.39	32.62	38.39	0	0	121.1	32.08	0
VecchioTracciato	37	Max WS	0.59	32.49	38.39	32.62	38.39	0	0	121.1	32.08	0
VecchioTracciato	36.5		Bridge									
VecchioTracciato	36	Max WS	0.54	32.49	38.39	32.62	38.39	0	0	121.1	32.08	0
VecchioTracciato	35.6		Lat Struct									
VecchioTracciato	35.4		Lat Struct									
VecchioTracciato	35	Max WS	0.56	32.3	38.39	32.54	38.39	0	0	121.48	30.79	0
VecchioTracciato	34.6		Lat Struct									
VecchioTracciato	34.4		Lat Struct									
VecchioTracciato	34	Max WS	0.35	32.16	38.39	32.27	38.39	0	0	94.43	28.14	0
VecchioTracciato	33.6		Lat Struct									
VecchioTracciato	33.4		Lat Struct									
VecchioTracciato	33	Max WS	0.26	32.12	38.39	32.22	38.39	0	0	95.13	28.26	0
VecchioTracciato	32.6		Lat Struct									
VecchioTracciato	32.4		Lat Struct									
VecchioTracciato	32	Max WS	0.2	32.07	38.39	32.17	38.39	0	0	96.67	28.58	0
VecchioTracciato	31.6		Lat Struct									
VecchioTracciato	31.4		Lat Struct									
VecchioTracciato	31	Max WS	0.16	32.13	38.39	32.21	38.39	0	0	96.7	28.58	0
VecchioTracciato	30.6		Lat Struct									
VecchioTracciato	30.4		Lat Struct									
VecchioTracciato	30	Max WS	0.11	32.02	38.39	32.07	38.39	0	0	97.24	28.54	0
VecchioTracciato	29.6		Lat Struct									
VecchioTracciato	29.4		Lat Struct									
VecchioTracciato	29	Max WS	0.09	32.06	38.39	32.15	38.39	0	0	97.88	28.68	0
VecchioTracciato	28.6		Lat Struct									
VecchioTracciato	28.4		Lat Struct									
VecchioTracciato	28	Max WS	0.07	32.14	38.39	32.2	38.39	0	0	93.95	28.01	0
VecchioTracciato	27.6		Lat Struct									
VecchioTracciato	27.4		Lat Struct									
VecchioTracciato	27	Max WS	0.07	31.92	38.39	32.01	38.39	0	0	99.61	28.86	0
VecchioTracciato	26.6		Lat Struct									
VecchioTracciato	26.4		Lat Struct									
VecchioTracciato	26	Max WS	0.05	32	38.39	32.08	38.39	0	0	102.01	28.93	0
VecchioTracciato	25.6		Lat Struct									
VecchioTracciato	25.4		Lat Struct									
VecchioTracciato	25	Max WS	0.04	32.07	38.39	32.1	38.39	0	0	100.13	29.11	0
VecchioTracciato	24.6		Lat Struct									
VecchioTracciato	24.4		Lat Struct									
VecchioTracciato	24	Max WS	0.04	31.97	38.39	32.04	38.39	0	0	102.42	29.43	0
VecchioTracciato	23.6		Lat Struct									
VecchioTracciato	23.4		Lat Struct									
VecchioTracciato	23	Max WS	0.02	32.08	38.39	32.1	38.39	0	0	104.61	29.41	0
VecchioTracciato	22.6		Lat Struct									
VecchioTracciato	22.4		Lat Struct									
VecchioTracciato	22	Max WS	0.02	32.01	38.39	32.04	38.39	0	0	103.36	29.33	0
VecchioTracciato	21.6		Lat Struct									
VecchioTracciato	21.4		Lat Struct									
VecchioTracciato	21	Max WS	0.02	31.87	38.39	31.93	38.39	0	0	104.04	29.58	0

VecchioTracciato	20.6	Lat Struct										
VecchioTracciato	20.4	Lat Struct										
VecchioTracciato	20	Max WS	0.01	31.74	38.39	31.78	38.39	0	0	108.96	29.71	0
VecchioTracciato	19.6	Lat Struct										
VecchioTracciato	19.4	Lat Struct										
VecchioTracciato	19	Max WS	0.01	31.58	38.39	31.63	38.39	0	0	110.16	29.99	0
VecchioTracciato	18.6	Lat Struct										
VecchioTracciato	18.4	Lat Struct										
VecchioTracciato	18	Max WS	0.01	31.95	38.39	31.96	38.39	0	0	100.39	28.74	0
VecchioTracciato	17.6	Lat Struct										
VecchioTracciato	17.4	Lat Struct										
VecchioTracciato	17	Max WS	0	32.17	38.39	32.19	38.39	0	0	113.17	30.9	0
VecchioTracciato	16.5	Bridge										
VecchioTracciato	16	Max WS	0.01	32.17	38.39	32.2	38.39	0	0	113.81	30.9	0
VecchioTracciato	15.6	Lat Struct										
VecchioTracciato	15.4	Lat Struct										
VecchioTracciato	15	Max WS	0	32.25	38.39	32.27	38.39	0	0	121.53	34.08	0
VecchioTracciato	14.6	Lat Struct										
VecchioTracciato	14.4	Lat Struct										
VecchioTracciato	14	Max WS	0.01	31.95	38.39	31.96	38.39	0	0	100.4	28.74	0
VecchioTracciato	13.6	Lat Struct										
VecchioTracciato	13.4	Lat Struct										
VecchioTracciato	13	Max WS	0	32.04	38.39	32.07	38.39	0	0	106.06	30.02	0
VecchioTracciato	12.6	Lat Struct										
VecchioTracciato	12.4	Lat Struct										
VecchioTracciato	12	Max WS	0	32.24	38.39	32.25	38.39	0	0	107.1	30.47	0
VecchioTracciato	11.6	Lat Struct										
VecchioTracciato	11.4	Lat Struct										
VecchioTracciato	11	Max WS	0	32.1	38.39	32.11	38.39	0	0	108.42	30.82	0
VecchioTracciato	10.6	Lat Struct										
VecchioTracciato	10.4	Lat Struct										
VecchioTracciato	10	Max WS	0	32.08	38.39	32.09	38.39	0	0	75.75	12	0
VecchioTracciato	9.6	Lat Struct										
VecchioTracciato	9.4	Lat Struct										
VecchioTracciato	9	Max WS	0	30.8	38.39	30.81	38.39	0	0	75.92	10	0
VecchioTracciato	8.6	Lat Struct										
VecchioTracciato	8.4	Lat Struct										
VecchioTracciato	8	Max WS	0	30.8	38.39	30.81	38.39	0	0	75.92	10	0
VecchioTracciato	7.6	Inl Struct										
VecchioTracciato	7.1	Max WS	0	30.8	39.2	30.81	39.2	0	0	84	10	0
VecchioTracciato	7	Max WS	0	30.8	39.2	30.81	39.2	0	0	100.8	12	0
VecchioTracciato	1.6	Lat Struct										
VecchioTracciato	1.4	Lat Struct										
VecchioTracciato	1.1	Max WS	-0.02	31.66	39.2	31.69	39.2	0	0	185.36	39.51	0
VecchioTracciato	1	Max WS	-0.02	31.66	39.2	31.69	39.2	0	0	185.36	39.51	0
VecchioTracciato	9	Max WS	0	30.8	38.42	30.81	38.42	0	0	76.23	10	0
VecchioTracciato	8.6	Lat Struct										
VecchioTracciato	8.4	Lat Struct										
VecchioTracciato	8	Max WS	0	30.8	38.42	30.81	38.42	0	0	76.23	10	0
VecchioTracciato	7.6	Inl Struct										
VecchioTracciato	7.1	Max WS	0	30.8	39.76	30.81	39.76	0	0	89.6	10	0
VecchioTracciato	7	Max WS	0	30.8	39.76	30.81	39.76	0	0	107.52	12	0
VecchioTracciato	1.6	Lat Struct										
VecchioTracciato	1.4	Lat Struct										
VecchioTracciato	1.1	Max WS	0.01	31.66	39.76	31.68	39.76	0	0	207.88	40.93	0
VecchioTracciato	1	Max WS	-0.02	31.66	39.76	31.69	39.76	0	0	207.88	40.93	0

VecchioTracciato	43.5	Max WS	0.57	32.36	38.49	32.59	38.49	0	0.01	109.47	33.14	0
VecchioTracciato	43.26	Lat Struct										
VecchioTracciato	43.24	Lat Struct										
VecchioTracciato	43	Max WS	0.54	32.46	38.49	32.67	38.49	0	0.01	91.98	28.67	0
VecchioTracciato	42.6	Lat Struct										
VecchioTracciato	42.4	Lat Struct										
VecchioTracciato	42	Max WS	0.39	32.2	38.49	32.38	38.49	0	0	100.09	28.87	0
VecchioTracciato	41.6	Lat Struct										
VecchioTracciato	41.4	Lat Struct										
VecchioTracciato	41	Max WS	0.35	32.22	38.49	32.37	38.49	0	0	98.36	29.2	0
VecchioTracciato	40.6	Lat Struct										
VecchioTracciato	40.4	Lat Struct										
VecchioTracciato	40	Max WS	0.31	32.12	38.49	32.29	38.49	0	0	99.8	28.31	0
VecchioTracciato	39.6	Lat Struct										
VecchioTracciato	39.4	Lat Struct										
VecchioTracciato	39	Max WS	0.31	32.31	38.49	32.43	38.49	0	0	98.67	29.82	0
VecchioTracciato	38.6	Lat Struct										
VecchioTracciato	38.4	Lat Struct										
VecchioTracciato	38	Max WS	0.17	32.48	38.49	32.59	38.49	0	0	137.9	36.91	0
VecchioTracciato	37.5	Bridge										
VecchioTracciato	37.1	Max WS	0.17	32.49	38.49	32.55	38.49	0	0	124.48	32.08	0
VecchioTracciato	37	Max WS	0.17	32.49	38.49	32.55	38.49	0	0	124.48	32.08	0
VecchioTracciato	36.5	Bridge										
VecchioTracciato	36	Max WS	0.17	32.49	38.49	32.55	38.49	0	0	124.48	32.08	0
VecchioTracciato	35.6	Lat Struct										
VecchioTracciato	35.4	Lat Struct										
VecchioTracciato	35	Max WS	0.16	32.3	38.49	32.45	38.49	0	0	124.72	30.79	0
VecchioTracciato	34.6	Lat Struct										
VecchioTracciato	34.4	Lat Struct										
VecchioTracciato	34	Max WS	0.12	32.16	38.49	32.23	38.49	0	0	97.39	28.45	0
VecchioTracciato	33.6	Lat Struct										
VecchioTracciato	33.4	Lat Struct										
VecchioTracciato	33	Max WS	0.15	32.12	38.49	32.2	38.49	0	0	98.1	28.57	0
VecchioTracciato	32.6	Lat Struct										
VecchioTracciato	32.4	Lat Struct										
VecchioTracciato	32	Max WS	0.16	32.07	38.49	32.16	38.49	0	0	99.65	28.89	0
VecchioTracciato	31.6	Lat Struct										
VecchioTracciato	31.4	Lat Struct										
VecchioTracciato	31	Max WS	0.18	32.13	38.49	32.22	38.49	0	0	99.64	28.86	0
VecchioTracciato	30.6	Lat Struct										
VecchioTracciato	30.4	Lat Struct										
VecchioTracciato	30	Max WS	0	32.02	38.49	32.02	38.49	0	0	100.16	28.85	0
VecchioTracciato	29.6	Lat Struct										
VecchioTracciato	29.4	Lat Struct										
VecchioTracciato	29	Max WS	-0.15	32.06	38.49	32.18	38.49	0	0	100.81	28.98	0
VecchioTracciato	28.6	Lat Struct										
VecchioTracciato	28.4	Lat Struct										
VecchioTracciato	28	Max WS	-0.14	32.14	38.49	32.22	38.49	0	0	96.81	28.3	0
VecchioTracciato	27.6	Lat Struct										
VecchioTracciato	27.4	Lat Struct										
VecchioTracciato	27	Max WS	-0.15	31.92	38.49	32.04	38.49	0	0	102.55	29.17	0
VecchioTracciato	26.6	Lat Struct										
VecchioTracciato	26.4	Lat Struct										
VecchioTracciato	26	Max WS	-0.18	32	38.49	32.12	38.49	0	0	104.93	29.22	0
VecchioTracciato	25.6	Lat Struct										
VecchioTracciato	25.4	Lat Struct										
VecchioTracciato	25	Max WS	-0.38	32.07	38.49	32.17	38.49	0	0	103.07	29.4	0
VecchioTracciato	24.6	Lat Struct										
VecchioTracciato	24.4	Lat Struct										
VecchioTracciato	24	Max WS	-0.05	31.97	38.49	32.04	38.49	0	0	105.33	29.7	0
VecchioTracciato	23.6	Lat Struct										
VecchioTracciato	23.4	Lat Struct										
VecchioTracciato	23	Max WS	-0.14	32.08	38.49	32.14	38.49	0	0	107.48	29.68	0
VecchioTracciato	22.6	Lat Struct										
VecchioTracciato	22.4	Lat Struct										
VecchioTracciato	22	Max WS	-0.25	32.01	38.49	32.1	38.49	0	0	106.21	29.61	0
VecchioTracciato	21.6	Lat Struct										
VecchioTracciato	21.4	Lat Struct										
VecchioTracciato	21	Max WS	-0.32	31.87	38.49	32.04	38.49	0	0	106.91	29.85	0

VecchioTracciato	20.6	Lat Struct										
VecchioTracciato	20.4	Lat Struct										
VecchioTracciato	20	Max WS	-0.48	31.74	38.49	31.89	38.49	0	0	111.85	29.99	0
VecchioTracciato	19.6	Lat Struct										
VecchioTracciato	19.4	Lat Struct										
VecchioTracciato	19	Max WS	-0.59	31.58	38.49	31.83	38.49	0	-0.01	113.08	30.27	0
VecchioTracciato	18.6	Lat Struct										
VecchioTracciato	18.4	Lat Struct										
VecchioTracciato	18	Max WS	-0.68	31.95	38.49	32.07	38.49	0	-0.01	103.19	29.01	0
VecchioTracciato	17.6	Lat Struct										
VecchioTracciato	17.4	Lat Struct										
VecchioTracciato	17	Max WS	-0.67	32.17	38.49		38.49	0	-0.01	116.18	31.35	0
VecchioTracciato	16.5	Bridge										
VecchioTracciato	16	Max WS	-0.67	32.17	38.49	32.33	38.49	0	-0.01	116.83	31.35	0
VecchioTracciato	15.6	Lat Struct										
VecchioTracciato	15.4	Lat Struct										
VecchioTracciato	15	Max WS	-0.66	32.25	38.49	32.45	38.49	0	-0.01	124.84	34.17	0
VecchioTracciato	14.6	Lat Struct										
VecchioTracciato	14.4	Lat Struct										
VecchioTracciato	14	Max WS	-0.73	31.95	38.49	32.08	38.49	0	-0.01	103.19	29.01	0
VecchioTracciato	13.6	Lat Struct										
VecchioTracciato	13.4	Lat Struct										
VecchioTracciato	13	Max WS	-0.87	32.04	38.49	32.32	38.49	0	-0.01	109.01	30.29	0
VecchioTracciato	12.6	Lat Struct										
VecchioTracciato	12.4	Lat Struct										
VecchioTracciato	12	Max WS	-0.85	32.24	38.49	32.37	38.49	0	-0.01	110.06	30.72	0
VecchioTracciato	11.6	Lat Struct										
VecchioTracciato	11.4	Lat Struct										
VecchioTracciato	11	Max WS	-0.94	32.1	38.49	32.33	38.49	0	-0.01	111.38	31.1	0
VecchioTracciato	10.6	Lat Struct										
VecchioTracciato	10.4	Lat Struct										
VecchioTracciato	10	Max WS	-1.29	32.08	38.5	32.18	38.5	0	-0.02	77.04	12	0
VecchioTracciato	9.6	Lat Struct										
VecchioTracciato	9.4	Lat Struct										
VecchioTracciato	9	Max WS	-1.62	30.8	38.5	30.94	38.5	0	-0.02	77.03	10	0
VecchioTracciato	8.6	Lat Struct										
VecchioTracciato	8.4	Lat Struct										
VecchioTracciato	8	Max WS	0	30.8	38.48	30.81	38.48	0	0	76.83	10	0
VecchioTracciato	7.6	Inl Struct										
VecchioTracciato	7.1	Max WS	0	30.8	38.64	30.81	38.64	0	0	78.4	10	0
VecchioTracciato	7	Max WS	0	30.8	38.64	30.81	38.64	0	0	94.08	12	0
VecchioTracciato	1.6	Lat Struct										
VecchioTracciato	1.4	Lat Struct										
VecchioTracciato	1.1	Max WS	-0.01	31.66	38.64	31.68	38.64	0	0	163.64	38.08	0
VecchioTracciato	1	Max WS	-0.02	31.66	38.64	31.69	38.64	0	0	163.64	38.08	0
VecchioTracciato	9	Max WS	0	30.8	38.42	30.81	38.42	0	0	76.23	10	0
VecchioTracciato	8.6	Lat Struct										
VecchioTracciato	8.4	Lat Struct										
VecchioTracciato	8	Max WS	0	30.8	38.42	30.81	38.42	0	0	76.23	10	0
VecchioTracciato	7.6	Inl Struct										
VecchioTracciato	7.1	Max WS	0	30.8	39.76	30.81	39.76	0	0	89.6	10	0
VecchioTracciato	7	Max WS	0	30.8	39.76	30.81	39.76	0	0	107.52	12	0
VecchioTracciato	1.6	Lat Struct										
VecchioTracciato	1.4	Lat Struct										
VecchioTracciato	1.1	Max WS	0.01	31.66	39.76	31.68	39.76	0	0	207.88	40.93	0
VecchioTracciato	1	Max WS	-0.02	31.66	39.76	31.69	39.76	0	0	207.88	40.93	0